

Analyse du canal Bs-> Jpsi K*bar et contraintes sur les processus pingouins dans les désintégrations Bs->Jpsi Phi auprès du détecteur LHCb

W. Kanso

▶ To cite this version:

W. Kanso. Analyse du canal Bs-> Jpsi K*bar et contraintes sur les processus pingouins dans les désintégrations Bs-> Jpsi Phi auprès du détecteur LHCb. Physique des Hautes Energies - Expérience [hep-ex]. Aix Marseille Université, 2015. Français. NNT: . tel-01285924

HAL Id: tel-01285924 https://hal.in2p3.fr/tel-01285924

Submitted on 10 Mar 2016

HAL is a multi-disciplinary open access archive for the deposit and dissemination of scientific research documents, whether they are published or not. The documents may come from teaching and research institutions in France or abroad, or from public or private research centers.

L'archive ouverte pluridisciplinaire **HAL**, est destinée au dépôt et à la diffusion de documents scientifiques de niveau recherche, publiés ou non, émanant des établissements d'enseignement et de recherche français ou étrangers, des laboratoires publics ou privés.







CPPM-T-2015-04

Aix-Marseille Université

Faculté des Sciences de Luminy

Ecole Doctorale 352
Physique et Sciences de la Matière
Centre de Physique des Particules de Marseille UMR 734

Thèse présentée pour obtenir le grade universitaire de docteur

Discipline : Physique et Sciences de la Matière

Spécialité : Physique des Particules et Astroparticules

Walaa KANSO

Analyse du canal $B^0_s o J/\psi \bar K^{*0}$ et contraintes sur les processus pingouins dans les désintégrations $B^0_s o J/\psi \phi$ auprès du détecteur LHCb

Soutenue le 29 septembre 2015 devant le jury composé de :

Mme.	Yasmine	AMHIS	Examinateur
Mme.	Marta	CALVI	Rapporteur
M.	Eric	KAJFASZ	Président du jury
M.	Olivier	LEROY	Directeur de thèse
M	Sténhane	MONTEIL	Rapporteur

Remerciements

Je souhaite d'abord remercier Éric Kajfasz, directeur du CPPM, pour m'avoir accueillie au sein de son laboratoire et avoir accepté de présider mon jury de thèse. Je suis reconnaissante envers Marta Calvi et Stéphane Monteil d'avoir accepté d'être les rapporteurs de mon manuscrit. De même, je remercie Yasmine Amhis pour avoir accepté le rôle d'examinateur.

Je tiens à adresser mes plus chaleureux remerciements à mon directeur de thèse, Olivier Leroy, pour son encadrement et son soutien tout au long de ces quatre dernières années. J'ai beaucoup appris de ta passion pour la physique et ton perfectionnisme. Olivier, je suis vraiment reconnaissante pour tout ce que tu as fait pour moi.

Je tiens à remercier Renaud Le Gac et Giampiero Mancinelli de m'avoir permis d'effectuer un stage puis une thèse dans le groupe LHCb. J'adresse mes très sincères remerciements à tous les membres du groupe LHCb pour leur grande sympathie et leur aide. C'était vraiment un grand plaisir de passer ces années avec vous. J'ai une extrême reconnaissance envers Simon. Merci pour ton aide précieuse, tes conseils avisés et pour les nombreuses pauses café qu'on a partagées. Je remercie du fond du coeur les étudiants du bureau 306 : Émilie, Mathieu, Alessandro et Morgan. Un grand merci pour vos conseils et les beaux moments qu'on a partagés, vous avez rendu le chemin beaucoup plus agréable.

Je pense aussi aux membres de la collaboration LHCb avec qui j'ai interagi presque quotidiennement notamment Diego, Carlos, Vasilis et Juan.

Je remercie tous mes collègues de travail surtout les thésards, dont la plupart sont devenus de très bons amis. Un remerciement spécial est dédié à Georges sans qui cette dernière année de thèse aurait été beaucoup plus dure.

Merci aussi à tout le personnel du service informatique, service administratif et services généraux.

Pendant les quatre dernières années, j'ai eu la chance de rencontrer des gens aimables et généreux qui ont rendu mon séjour en France enrichissant et agréable.

Je remercie tous mes amis en France, spécialement Élie et Sophie qui ont toujours été là pour moi.

Je tiens à remercier chaleureusement ma famille pour leur soutien inconditionnel. Sans vous, tout cela n'aurait jamais été possible. Pour finir, je remercie infiniment mon mari Ali, pour son amour bien sûr mais aussi pour sa grande patience.

Table des matières

In	trodu	ction		1
1	Phé	noméno	ologie	3
	1.1	Modè	le Standard	3
		1.1.1	Particules élémentaires et leurs interactions	4
		1.1.2	Groupe de symétries du Modèle Standard	5
		1.1.3	Interaction forte	6
		1.1.4	Interaction électrofaible	7
		1.1.5	Brisure spontanée de symétrie électrofaible	7
		1.1.6	Limites du Modèle Standard	8
	1.2	Violat	ion de la symétrie <i>CP</i>	9
		1.2.1	Matrice CKM	9
		1.2.2	Contraintes expérimentales sur la matrice CKM	10
	1.3	Phéno	ménologie des mésons B	14
		1.3.1	Définitions des états de masse et de <i>CP</i>	14
		1.3.2	Dépendance temporelle des oscillations	15
		1.3.3	Calculs des taux de transition	16
	1.4	Violat	ion de la symétrie <i>CP</i> dans les mésons neutres	17
		1.4.1	Violation <i>CP</i> directe	17
		1.4.2	Violation <i>CP</i> dans le mélange	18
		1.4.3	Violation <i>CP</i> : interférence entre mélange et désintégration .	18
	1.5	Désint	tégrations $B_s^0 \to J/\psi \phi$	19
		1.5.1	Définition de la phase ϕ_s	19
		1.5.2	Impact de la Nouvelle Physique	21
		1.5.3	Analyse angulaire	21
		1.5.4	Taux de désintégrations $B_s^0 \to J/\psi \phi$	23
	1.6	Mesur	re de la phase ϕ_s	23
		1.6.1	$B_s^0 \rightarrow J/\psi K^- K^+ \dots \dots \dots \dots \dots$	23
		1.6.2	$B_s^0 o J/\psi \pi^- \pi^+$	25
	17	Régun		27

2	Mét	léthodologie du contrôle de la contribution des diagrammes pin-									
	goui	T 100 1 10 10 10 10 10 10 10 10 10 10 10	29								
	2.1	Canal $B_s^0 \to J/\psi \overline{K}^{*0}$	29								
			30								
		2.1.2 Paramètres mesurés dans le canal $B_s^0 \to J/\psi \overline{K}^{*0}$	33								
	2.2	Canal $B^0 o J/\psi \rho^0$	34								
	2.3	Ajustement combiné des paramètres pingouins dans $B_s^0 \to J/\psi \bar{K}^{*0}$									
		et $B^0 o J/\psi ho^0$	35								
	2.4	Résumé	36								
3	Le d	étecteur LHCb au LHC	39								
	3.1	Grand collisionneur de hadrons : LHC	39								
	3.2	Présentation générale du détecteur LHCb	41								
		3.2.1 Production des paires de quarks $b\bar{b}$	41								
		3.2.2 Détecteur dédié à la physique des hadrons $B \dots \dots$	42								
	3.3	Trajectographe du détecteur LHCb	44								
		3.3.1 Détecteur de vertex	44								
		3.3.2 Stations en silicium	45								
		3.3.3 Trajectographe externe	46								
		3.3.4 Algorithme de reconstruction des traces	48								
	3.4	Identification des particules dans LHCb	48								
		3.4.1 Détecteurs à effet Cherenkov	49								
		3.4.2 Calorimètres	50								
		3.4.3 Système à muons	51								
		3.4.4 Algorithmes d'identification des particules	52								
	3.5	Système de déclenchement	52								
		3.5.1 Système de déclenchement de niveau 0 : L0	53								
		3.5.2 Système de déclenchement de haut niveau : HLT	54								
	3.6	Simulation et analyse des données	54								
	3.7	Résumé	54								
4	Ana	lyse de $B^0_s o J/\psi ar K^{*0}$	57								
	4.1	Sélection	58								
	4.2	Description des bruits de fond	59								
	4.3	Méthode de maximum de vraisemblance étendue	61								
	4.4	Modélisation de la masse	62								
		4.4.1 Formalisme	62								
		4.4.2 Résultats de l'ajustement de la masse	63								
	4.5	Méthode $_s\mathcal{P}lot$	68								
	46	Modélisation angulaire	68								

4.6.1	Formalisme angulaire	68
4.6.2	Facteurs C_{SP}	72
4.6.3		
Asymé	étrie <i>CP</i> directe	76
4.7.1	Définition	76
4.7.2	Asymétrie CP directe dépendante de polarisations	77
4.7.3	Asymétrie de production	77
4.7.4	Asymétrie de détection	80
Valida	tion de l'ajustement avec des pseudo-expériences	82
4.8.1	Généralités	82
4.8.2	Validation de l'ajustement de la masse	83
4.8.3	Validation de l'ajustement des angles	85
Résult	ats	92
Incerti	tudes systématiques	95
4.10.1	Acceptance angulaire	95
4.10.2	Modèle de masse $m(J/\psi K^+\pi^-)$	95
4.10.3	Bruit de fond non combinatoire	96
	· · · · · · · · · · · · · · · · · · ·	
4.10.5	Facteurs C_{SP}	96
4.10.6	Corrélations entre la masse et les angles	. 97
4.10.7	Contribution de l'onde D	97
4.11.2	Fractions de l'onde S dans $B_s^0 \to J/\psi \bar{K}^{*0}$ et $B^0 \to J/\psi K^{*0}$.	101
Résum	né	103
manátat	ion des végultots	105
-		
	war in the second of the secon	
	Aiustement global combinant les canaux $R^0 \rightarrow I/\nu r \overline{K}^{*0}$ et	112
5.2.5	$R^0 \rightarrow I/\psi n^0$	112
Résum		119
	4.6.2 4.6.3 Asymod 4.7.1 4.7.2 4.7.3 4.7.4 Valida 4.8.1 4.8.2 4.8.3 Résult 1.0.1 4.10.2 4.10.3 4.10.4 4.10.5 4.10.6 4.10.7 Vérific 4.11.1 4.11.2 Résum 5.1.1 5.1.2 5.1.3 5.1.4 Effets 5.2.1 5.2.2 5.2.3 5.2.4 5.2.5	4.6.2 Facteurs C_{SP} . 4.6.3 Acceptance angulaire Asymétrie CP directe 4.7.1 Définition 4.7.2 Asymétrie CP directe dépendante de polarisations 4.7.3 Asymétrie de production 4.7.4 Asymétrie de détection Validation de l'ajustement avec des pseudo-expériences 4.8.1 Généralités 4.8.2 Validation de l'ajustement de la masse 4.8.3 Validation de l'ajustement des angles Résultats Incertitudes systématiques 4.10.1 Acceptance angulaire 4.10.2 Modèle de masse $m(J/\psi K^+\pi^-)$ 4.10.3 Bruit de fond non combinatoire 4.10.4 Biais de l'ajustement 4.10.5 Facteurs C_{SP} 4.10.6 Corrélations entre la masse et les angles 4.10.7 Contribution de l'onde D Vérifications 4.11.1 Ajustement angulaire pour le canal $B^0 \to J/\psi K^{*0}$ 4.11.2 Fractions de l'onde S dans $B_s^0 \to J/\psi \bar{K}^{*0}$ 4.11.2 Fractions de l'onde S dans $S_s^0 \to J/\psi \bar{K}^{*0}$ 5.1.1 Efficacités calculées dans la simulation 5.1.2 Normalisation avec $B_s^0 \to J/\psi \bar{K}^{*0}$ 5.1.3 Normalisation avec $B_s^0 \to J/\psi \bar{K}^{*0}$ 5.1.4 Calcul de $B(B_s^0 \to J/\psi \bar{K}^{*0})$ Effets des processus pingouins sur ϕ_s 5.2.1 Formalisme 5.2.2 Facteurs théoriques 5.2.3 Résultats de l'ajustement avec le canal $B_s^0 \to J/\psi \bar{K}^{*0}$ 5.2.4 Brisure de la symétrie $SU(3)$ 5.2.5 Ajustement global combinant les canaux $B_s^0 \to J/\psi \bar{K}^{*0}$ et $B_s^0 \to J/\psi \bar{K}^{*0}$

Co	onclusions et perspectives	121
A	Sélection	123
В	Résultats de l'ajustement de masse	127
C	Taux de désintégration complet	131
D	Pseudo-expériences pour le modèle angulaire	133
	D.1 Distributions de pulls	133
	D.2 Corrélations entre les paramètres angulaires	138
	D.3 Pseudo-expériences avec des valeurs non nulles de A^{CP}	139
Bi	bliographie	145

Introduction

Depuis 1960, le Modèle Standard est la théorie effective qui décrit la physique des particules élémentaires. Pour l'instant, toutes les prédictions de ce modèle ont été confirmées par l'expérience. Cependant, le Modèle Standard ne répond pas à plusieurs questions fondamentales comme la hiérarchie des masses des particules élémentaires ou la prédominance de la matière sur l'anti-matière dans l'univers. Le nombre des paramètres libres de ce modèle est élevé (28) et la gravitation n'est pas prise en compte. Pour ces raisons, les physiciens cherchent une théorie plus fondamentale au delà du Modèle Standard essentiellement par deux moyens : recherche directe et indirecte. La première consiste à augmenter l'énergie des accélérateurs afin de produire directement de nouvelles particules, la deuxième consiste à étudier les nouvelles particules qui interviennent de manière virtuelle dans les diagrammes en boucles. Pour découvrir la Nouvelle Physique, les mesures expérimentales doivent dévier de façon visible des prédictions du Modèle Standard. Les paramètres ayant des incertitudes théoriques faibles jouent un rôle important dans cette recherche.

Le grand collisionneur de hadrons (LHC) a été construit pour repousser les limites du Modèle Standard et ainsi sonder la Nouvelle Physique. Le détecteur LHCb est essentiellement dédié à l'étude de la violation de la symétrie CP et les désintégrations rares dans le secteur de la beauté et du charme. La combinaison des deux opérateurs C (charge) et P (parité) permet de transformer une particule en son antiparticule.

Une des mesures phares de LHCb est la mesure de la phase ϕ_s engendrée par l'interférence entre les amplitudes désintégrations directes des mésons B_s^0 en $J/\psi\phi$ et via les oscillations B_s^0 . La détermination indirecte de ϕ_s via des ajustements globaux des données expérimentales dans le cadre du Modèle Standard donne $\phi_s = -0.0363 \pm 0.0013$ rad [1]. La faible incertitude sur ϕ_s rend ce paramètre particulièrement sensible à la présence de Nouvelle Physique. En effet, de nouvelles particules peuvent intervenir dans le diagramme en boîte d'oscillations B_s^0 et modifier la valeur de ϕ_s [2]. En 2015, LHCb a publié la meilleure mesure mondiale de cette phase : $\phi_s = -0.010 \pm 0.039$ rad [3]. La désintégration $B_s^0 \to J/\psi\phi$ peut se faire en deux processus principaux : l'arbre et les pingouins sous-dominants. Négligées

jusqu'à maintenant, les contributions des diagrammes pingouins deviennent un sujet de préoccupation majeure à cause de la grande précision expérimentale actuelle sur ϕ_s . En effet, cette précision expérimentale nécessite d'affiner la prédiction théorique pour bien détecter la Nouvelle Physique.

Dans cette thèse, nous présentons la première étude de la contribution des diagrammes pingouins avec une luminosité de 3 fb⁻¹ en utilisant le canal de contrôle $B_s^0 \to J/\psi \bar{K}^{*0}$ suivant une méthode proposée dans [4]. Nous effectuons une analyse angulaire des produits de désintégrations J/ψ et \bar{K}^{*0} afin d'extraire les fractions de polarisations et l'asymétrie *CP* directe en fonction des différents états de polarisations de l'état final.

Après avoir introduit le cadre théorique de cette analyse dans le chapitre 1, nous détaillons la méthodologie de la mesure des diagrammes pingouins contribuant au canal $B_s^0 \to J/\psi \phi$ dans le chapitre 2. Nous donnons ensuite une description succincte du détecteur LHCb dans le chapitre 3, avant de décrire l'analyse expérimentale du canal $B_s^0 \to J/\psi \bar{K}^{*0}$ dans le chapitre 4. Enfin, le chapitre 5 est consacré à l'interprétation des résultats et leurs conséquences sur l'effet des diagrammes pingouins dans la mesure de ϕ_s .

Chapitre 1

Phénoménologie

"There could be no fairer destiny for any physical theory than that it should point the way to a more comprehensive theory in which it lives on as a limiting case".

Albert Einstein

Ce chapitre présente succinctement le Modèle Standard et plus particulièrement l'interaction faible. Nous présentons la symétrie CP et sa violation, ainsi que la matrice de Cabibbo, Kobayashi et Maskawa. Nous détaillons la phénoménologie des oscillations des mésons B neutres. La désintégration $B_s^0 \to J/\psi\phi$ est présentée comme un exemple de la violation CP dépendante du temps. Dans cette désintégration, nous nous intéressons à la phase ϕ_s violant CP. Cette dernière est due à l'interférence entre la désintégration directe du méson B_s^0 et la désintégration après mélange B_s^0 . Enfin, le statut expérimental actuel de la mesure de la phase ϕ_s est présenté ainsi que l'effet des contributions possibles des processus au-delà du Modèle Standard sur ϕ_s .

🛚 1.1 Modèle Standard

Le but de la physique des particules est de comprendre les lois de la nature à l'échelle de l'infiniment petit. Actuellement, la meilleure description du monde subatomique est donnée par le Modèle Standard. Développée à partir des années 1960, cette théorie relativiste et renormalisable des champs quantiques regroupe l'état actuel des connaissances sur les interactions fondamentales décrivant les processus physiques à l'échelle subatomique. Basé sur la théorie des champs, le Modèle Standard permet de décrire les systèmes ayant un nombre inconstant de particules relativistes. De plus, en tant que théorie quantique, il décrit la nature microscopique de ces particules.

Le Modèle Standard combine la théorie des interactions fortes, dite "Quantum Chromo Dynamics" (QCD), avec la théorie électrofaible de Glashow-SalamWeinberg [5, 6, 7]. Il a prédit avec exactitude l'existence de phénomènes et particules, illustrées dans la figure 1.1. Dans la suite de ce chapitre, nous présentons
un résumé de principaux concepts du Modèle Standard, basé sur des articles plus
détaillés dans la littérature [8, 9, 10, 11].

1.1.1 Particules élémentaires et leurs interactions

Le Modèle Standard contient trois familles de fermions. Chacune contient deux leptons et deux quarks sensibles à différentes interactions.

Les quarks de la première génération sont appelés up(u) et down(d), ceux de la deuxième charm(c) et strange(s), et beauty(b) et top(t) pour la troisième.

Les quarks sont sensibles à l'interaction forte; ils portent une charge de couleur (rouge, vert, bleu et leur anti-couleur associée). Ils sont également sensibles aux interactions électromagnétique et faible. Chaque famille contient un quark de type up et un autre de type down ayant respectivement des charges électriques égales à +2/3 et -1/3 de la charge de l'électron. Ainsi, la seule particularité de chaque famille est la masse des particules qui augmente avec l'index de la génération. Comme l'interaction forte a une portée infinie et sa force ne diminue pas avec la distance, un quark isolé portant une charge de couleur pourrait émettre des rayonnements avec une énergie infinie. Par conséquent, les quarks n'existent pas à l'état libre. Ils se regroupent par paires (appelées mésons) ou par triplets 1 (appelés baryons) arrangés de façon à constituer un ensemble neutre vis-à-vis de l'interaction forte. Ce processus est appelé hadronisation. Dans cette thèse, nous étudions les désintégrations des mésons B neutres qui peuvent être des B^0 ou B^0_s . Un méson B^0_s contient les deux quarks \bar{b} et s, alors qu'un B^0 est composé d'un quark \bar{b} ainsi que d'un d.

Les leptons, quant à eux, ne sont pas sensibles à la force forte. Chaque famille comporte deux types de leptons. La première des espèces est sensible aux forces électromagnétique et faible, tandis que la seconde subit uniquement la force faible. La première famille contient l'électron e^- , et le neutrino électronique v_e . Leurs homologues dans la deuxième famille sont le muon μ avec son neutrino associé v_{μ} . De manière similaire, le tau τ avec son neutrino composent la troisième famille. On retrouve ici la même différence entre les famille que celle dans les quarks, à savoir la masse des particules. Concernant les neutrinos, leurs masses restent inconnues pour l'instant. L'observation des oscillations des neutrinos indiquent que leurs masses ne peuvent pas être nulles.

^{1.} LHCb a publié en 2014 l'observation de l'état $Z(4430)^-$ constitué de $c\bar{c}d\bar{u}$ [12], ainsi que l'observation d'un état pentaquark dans les désintégrations $\Lambda_b^0 \to J/\psi p K^-$ en 2015 [13]

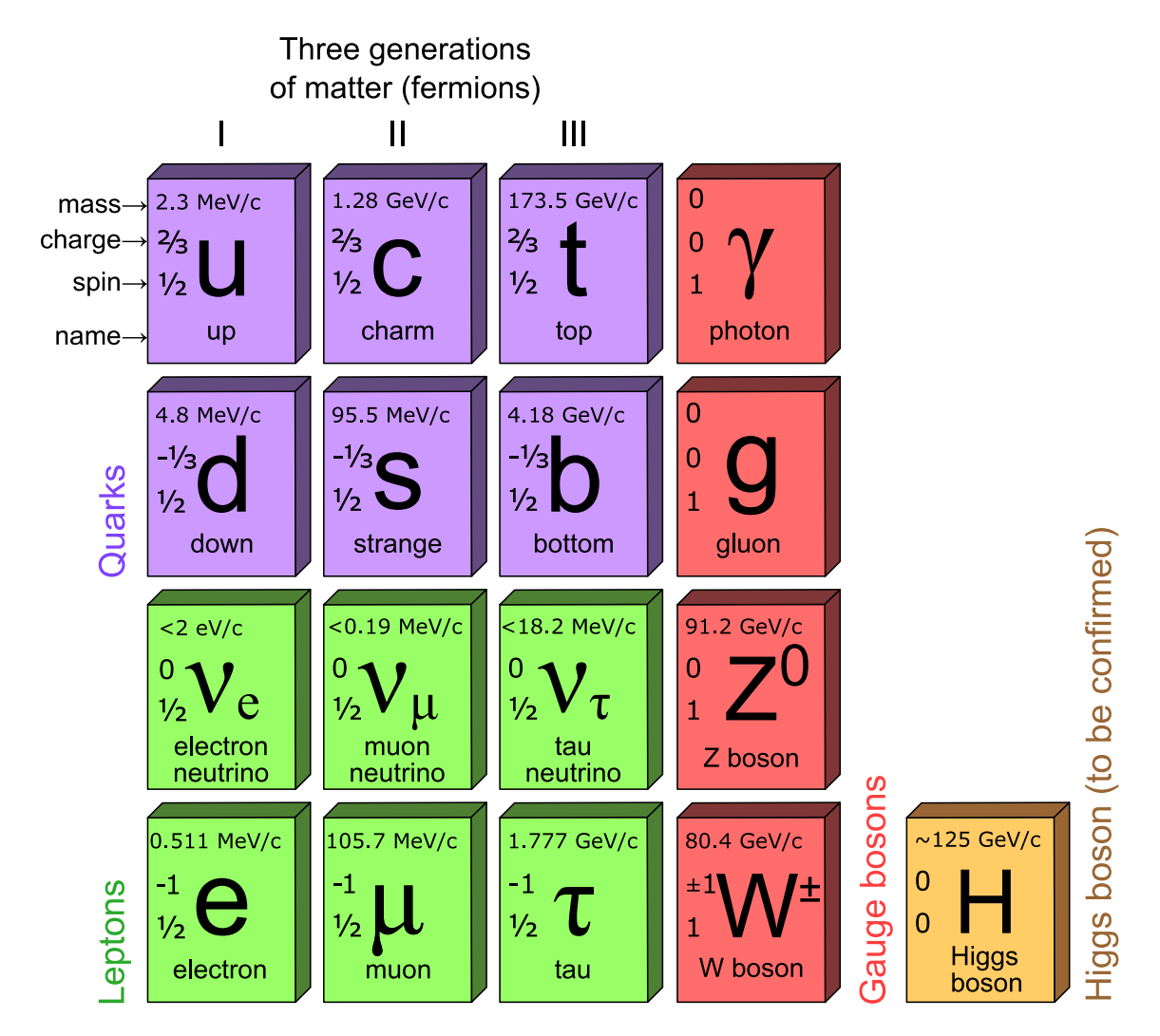


FIGURE 1.1 – Fermions et bosons du Modèle Standard.

1.1.2 Groupe de symétries du Modèle Standard

113

117

122

Une symétrie est une transformation laissant un système invariant. Les symétries sont essentielles à notre compréhension de l'univers. En effet, elles permettent de réduire le nombre de degrés de liberté d'un système, de contraindre sa dynamique, mais aussi de connaître les quantités conservées par une telle transformation. Cette dernière caractéristique résulte du théorème de Noether, qui implique qu'à toute transformation infinitésimale laissant invariante l'intégrale d'action correspond une quantité conservée. Par exemple, l'invariance du lagrangien de la théorie électrofaible sous une rotation globale de la phase de la fonction d'onde entraîne une conservation de la charge électrique.

Le lagrangien du Modèle Standard est caractérisé par son invariance sous les

transformations de jauge locales du groupe $SU(3)_c \otimes SU(2)_L \otimes U(1)_Y$. Les symétries de jauge régissent les interactions de la théorie via les bosons de jauge.

En plus des symétries de jauge, trois symétries discrètes sont particulièrement intéressantes en physique des particules : C, P et T. La conjugaison de charge C transforme une particule en son anti-particule en inversant les nombres quantiques du groupe U(1), sauf le spin. La parité P inverse le signe des coordonnées spatiales x, y, z. Par conséquent, la combinaison CP transforme une particule en son anti-particule. La symétrie CP indique que la Nature ne distingue pas une particule gauche de son anti-particule droite et vice versa. Quant au renversement du temps T, il amène un système d'un temps $t + \Delta t$ à $t - \Delta t$. Cette transformation change le signe des spins et impulsions des particules. Le Modèle Standard est invariant sous CPT, ce qui implique l'égalité de la masse et de la durée de vie d'une particule et de son anti-particule.

1.1.3 Interaction forte

 $SU(3)_c$ est le groupe de jauge de QCD, où l'indice c désigne la couleur. Les bosons de jauge de QCD sont les huit gluons, chacun correspondant à l'un des générateurs de $SU(3)_c$. Seuls les quarks participent à l'interaction forte car les leptons ne portent pas de charge de couleur. Cette interaction est responsable de la liaison des quarks dans les mésons et les baryons et de la liaison des protons et des neutrons dans les noyaux. Le gluon porte également la charge de couleur, ce qui permet des interactions entre gluons. La constante de couplage de QCD, α_s , s'écrit en fonction de l'énergie μ considérée :

$$\alpha_s(\mu) \propto 1/\ln(\mu^2/\lambda_{QCD}^2),$$
 (1.1)

où l'échelle de QCD, λ_{QCD} , est de l'ordre de 1 GeV. On distingue deux régimes dans la chromodynamique quantique :

- un régime *perturbatif* caractérisé par de hautes énergies $(\mu \gg \lambda)$ et de courtes distances ($\ll 1$ fm). Ainsi, la constante de couplage α_s peut être développée en série ;
- un régime *non perturbatif* faisant intervenir de petites énergies, de l'ordre de λ_{QCD} , et de grandes distances ($\approx 1 \, \mathrm{fm}$). À cette échelle, le développement en série n'est plus possible. Par conséquent, les calculs deviennent complexes voire limitants pour certaines mesures en physique du B comme la mesure de la contribution des diagrammes pingouins dans $B_s^0 \to J/\psi \phi$, qui est le sujet de cette thèse.

1.1.4 Interaction électrofaible

La théorie électrofaible unifie les interactions électromagnétique et faible. Elle est décrite par le groupe de symétrie $SU(2)_L \otimes U(1)_Y$. Les bosons de jauge résultant de l'invariance du lagrangien sous les transformations de jauge sont les bosons W_i^{μ} (i = 1, 2, 3) et B^{μ} . La lettre L dans $SU(2)_L$ indique que les bosons de jauge interagissent seulement avec les doublets gauches d'isospin faible. D'autre part, le boson B^{μ} interagit avec les doublets gauches ainsi qu'avec les singlets droits d'isospin faible portant une hypercharge faible désignée par Y. Quarks et leptons participent à l'interaction électrofaible. De manière comparable au groupe $SU(3)_c$, les commutateurs du groupe $SU(2)_L$ sont non nuls ce qui induit une auto-interaction entre les bosons W_i^{μ} . Les bosons faibles chargés W^+ et W^- sont donnés par des combinaisons linéaires de W_1^{μ} et W_2^{μ} . Le boson neutre Z^0 et le photon sont des combinaisons linéaires de W_3^{μ} et B^{μ} . Le photon est le médiateur de la force électromagnétique qui est responsable de la cohésion des atomes et des molécules. Il interagit avec les particules électriquement chargées et est lui-même électriquement neutre. Puisque le photon est sans masse, la force électromagnétique est caractérisée par une longue portée. Contrairement à la force électromagnétique et l'interaction forte, l'interaction faible n'est pas invariante sous l'opération de parité P en raison de la différence de couplage entre les champs droits et gauches.

1.1.5 Brisure spontanée de symétrie électrofaible

178

L'observation expérimentale a prouvé que les bosons faibles W^{\pm} et Z^0 , contrairement au photon, sont massifs. Les masses de toutes les particules dans le Modèle Standard, quarks et leptons ainsi que les bosons de jauge massifs, sont générées par le mécanisme de brisure de symétrie spontanée, connu sous le nom de mécanisme de Higgs. Peter Higgs fut l'un des premiers théoriciens avec F. Englert, R. Brout, G. S. Gu-

Peter Higgs fut l'un des premiers théoriciens avec F. Englert, R. Brout, G. S. Guralnik, C. R. Hagen, et T. W. B. Kibble à introduire ce mécanisme, en 1964, dans le lagrangien du Modèle Standard. Cela se traduit par un doublet d'isospin faible ϕ composé de deux champs scalaires complexes et un potentiel dits de Higgs: $V(\phi) = \mu^2 \phi^{\dagger} \phi + \lambda (\phi^{\dagger} \phi)^2$ avec $\mu^2 < 0$ et $\lambda > 0$. Ce mécanisme brise la symétrie électrofaible en symétrie de charge électrique représentée par le groupe $U(1)_Q$. Les bosons de jauge lourds acquièrent une masse via les dérivées covariantes dans le terme cinématique $(D^{\mu}\phi)^{\dagger}(D_{\mu}\phi)$. Les masses de fermions apparaissent via le couplage de Yukawa. Les termes de Yukawa ne sont en général pas diagonaux. Leur diagonalisation pour les quarks conduit à leurs états propres de masse. Le passage entre les états propres de masse et les états propres de l'interaction faible est pos-

sible grâce à la matrice de Cabibbo-Kobayashi-Maskawa (CKM).

Le mécanisme de Higgs prévoit une particule massive de spin 0, appelée le boson de Higgs. La recherche de cette particule était l'une des principales motivations pour la construction du LHC où elle a été découverte en 2012 par les expériences AT-LAS [14] et CMS [15]. Le prix Nobel de physique a ensuite été attribué à François Englert et Peter Higgs en 2013.

a 1.1.6 Limites du Modèle Standard

213

214

216

Pour l'instant, toutes les prédictions du Modèle Standard ont été confirmées par l'expérience. Cependant, ce dernier ne permet pas de répondre à plusieurs questions fondamentales comme la prédominance de la matière sur l'anti-matière dans l'univers, la nature de la matière noire et de l'énergie noire. En outre, la gravitation n'est pas prise en compte comme une quatrième force fondamentale. De plus, la hiérarchie des masses des particules élémentaires est énigmatique, sachant que ces masses ne sont pas fixées par la théorie. Tous ces arguments indiquent qu'il ne s'agit certainement pas de " la théorie ultime ", mais plutôt d'une très bonne approximation d'une théorie plus fondamentale sous-jacente. Ainsi, les physiciens cherchent activement les signes d'une théorie plus générale permettant de répondre à ces questions fondamentales.

Dans le cadre de cette thèse, nous analysons des données enregistrées par le détecteur LHCb placé auprès du LHC. Le détecteur LHCb, présenté dans le chapitre suivant, a pour objectif d'apporter des éléments de réponse à la question suivante : pourquoi vivons-nous dans un Univers qui semble être constitué de matière, sans aucune présence d'antimatière ?

Il y a quatorze milliards d'années, l'Univers a commencé avec une explosion qui a produit des quantités égales de matière et d'anti-matière. Mais comme l'Univers s'est refroidi et élargi, sa composition a changé. Juste une seconde après le Big Bang, l'anti-matière a pratiquement disparu, laissant la matière pour former tout ce que nous voyons autour de nous.

Le LHC est mis en place pour étudier ce qui s'est passé juste après le Big Bang, et qui a permis de construire l'Univers dans lequel nous habitons aujourd'hui. Le Modèle Standard des particules est basé sur des symétries, l'une d'entre elles est appelée " la symétrie *CP*", elle indique que la Nature ne distingue pas une particule de son anti-particule. Le déséquilibre entre matière et anti-matière indique une violation de cette symétrie *CP*. Ce point sera développé dans la section suivante. Le Modèle Standard autorise une violation de cette symétrie, ce qui a été observé expérimentalement. Cependant, elle n'est pas suffisante pour comprendre l'asymétrie entre la matière et l'anti-matière à l'échelle de l'Univers. L'expérience LHCb effectue des mesures de précision dans le secteur de la beauté et du charme pour trouver

d'autres sources de violation de la symétrie CP.

1.2 Violation de la symétrie *CP*

Une symétrie est violée lorsque $[S,H] \neq 0$, c'est-à-dire lorsque S l'opérateur de la symétrie et H l'hamiltonien ne commutent pas. En 1964, Cronin et Fitch découvrent que l'interaction faible dans le système des kaons neutres viole la symétrie CP [16]. Cette violation est mise en évidence en 2001 dans les mésons B^0 , par les expériences BaBar et Belle [17, 18], en 2013 dans les mésons B^0 par LHCb [19].

1.2.1 Matrice CKM

L'interaction faible chargée est la seule qui peut changer la saveur d'une particule dans le Modèle Standard. Notons de plus qu'il n'y a pas de changement de saveur par courant neutre (FCNC) à l'arbre dans le Modèle Standard. Les mesures expérimentales sur les FCNC permettent de contraindre fortement toute extension du modèle standard.

La partie du courant chargé dans le lagrangien du Modèle Standard qui régit l'interaction faible est donnée par :

$$\mathcal{L}^{CC} = -\frac{g_2}{\sqrt{2}} \begin{pmatrix} \overline{u}_L & \overline{c}_L & \overline{t}_L \end{pmatrix} \gamma^{\mu} V_{CKM} \begin{pmatrix} d_L \\ s_L \\ b_L \end{pmatrix} W_{\mu}^{\dagger} + h.c, \tag{1.2}$$

où g_2 est le couplage de jauge relatif au groupe $SU(2)_L$, γ^{μ} sont les matrices de Dirac, W^{\dagger}_{μ} correspond au boson W chargé, et V_{CKM} est la matrice CKM. On peut redéfinir les champs de quarks de type up et down de la manière suivante :

$$U \to \exp(i\zeta_U)U$$
, et $D \to \exp(i\zeta_D)D$,

où ζ_U et ζ_D sont des phases arbitraires. Suite à cette transformation, l'invariance du lagrangien de l'interaction par courant chargé impose que les éléments de la matrice CKM sont changés de la manière suivante : $V_{UD} \to \exp(i\zeta_U)V_{UD}\exp(-i\zeta_D)$

La matrice CKM est ainsi définie par quatre paramètres : trois angles et une phase violant *CP* [20]. Elle est représentée de la manière suivante [20] :

$$V_{CKM} = \left(egin{array}{ccc} V_{ud} & V_{us} & V_{ub} \ V_{cd} & V_{cs} & V_{cb} \ V_{td} & V_{ts} & V_{tb} \end{array}
ight).$$

Une des paramétrisations de cette matrice est due à Wolfenstein, elle rend compte de la hiérarchie des transitions entre les quarks, observée expérimentalement [21]:

$$V_{CKM} = \begin{pmatrix} 1 - \frac{1}{2}\lambda^2 - \frac{1}{8}\lambda^4 & \lambda & A\lambda^3(\rho - i\eta) \\ -\lambda & 1 - \frac{1}{2}\lambda^2 - \frac{1}{8}\lambda^4(1 + 4A^2) & A\lambda^2 \\ A\lambda^3(1 - \rho - i\eta) & -A\lambda^2 + \frac{1}{2}A\lambda^4(1 - 2(\rho + i\eta)) & 1 - \frac{1}{2}A^2\lambda^4 \end{pmatrix} + O(\lambda^5),$$
(1.3)

$$000 \lambda = \sqrt{\frac{|V_{us}|^2}{|V_{ud}|^2 + |V_{us}|^2}} = 0.22548^{+0.00068}_{-0.00034}, \rho \text{ et } \eta \text{ sont 2 réels et } A = \frac{|V_{cb}|}{\lambda^2} = 0.810 \pm 0.026 \text{ [1]}.$$

L'élément V_{ij} est proportionnel au couplage dans la transition entre deux quarks i et j. La matrice est unitaire, c'est-à-dire $V_{CKM}^{\dagger}V_{CKM} = 1$. L'orthogonalité entre les éléments donne six équations, chacune définissant un triangle dit d'unitarité, comme indiqué sur la figure 1.2. Parmi ces relations, l'équation suivante définit le triangle d'unitarité relié aux mésons B^0 composés de quarks $\bar{b}d$:

$$V_{ud}V_{ub}^{\star} + V_{cd}V_{cb}^{\star} + V_{td}V_{tb}^{\star} = 0. \tag{1.4}$$

Ce triangle correspond au triangle (db) sur la figure 1.2. Ses angles peuvent être écrits en fonction de la matrice CKM :

$$\alpha = \arg(-\frac{V_{td}V_{tb}^{\star}}{V_{ud}V_{ub}^{\star}}), \tag{1.5}$$

$$\beta = \arg(-\frac{V_{cd}V_{cb}^{\star}}{V_{td}V_{tb}^{\star}}), \tag{1.6}$$

$$\gamma = \arg\left(-\frac{V_{ud}V_{ub}^{\star}}{V_{cd}V_{cb}^{\star}}\right). \tag{1.7}$$

De la même manière, la relation du triangle des mésons B_s^0 est définie par :

$$V_{ub}V_{us}^{\star} + V_{cb}V_{cs}^{\star} + V_{tb}V_{ts}^{\star} = 0. \tag{1.8}$$

Il est représenté par le triangle (sb) sur la figure 1.2. On définit le plus petit angle de ce triangle $\beta_s = \arg(\frac{-V_{ts}V_{tb}^*}{V_{cs}V_{cb}^*})$.

1.2.2 Contraintes expérimentales sur la matrice CKM

Le Modèle Standard ne prédit pas les valeurs des éléments de la matrice CKM. Un des buts de la physique des saveurs est de contraindre les triangles d'unitarité dans le cadre du Modèle Standard mais aussi d'autres modèles de la Nouvelle Physique. Le groupe CKMfitter combinent toutes les contraintes expérimentales actuelles des triangles (db) et (sb) en utilisant une approche fréquentiste. Cela permet

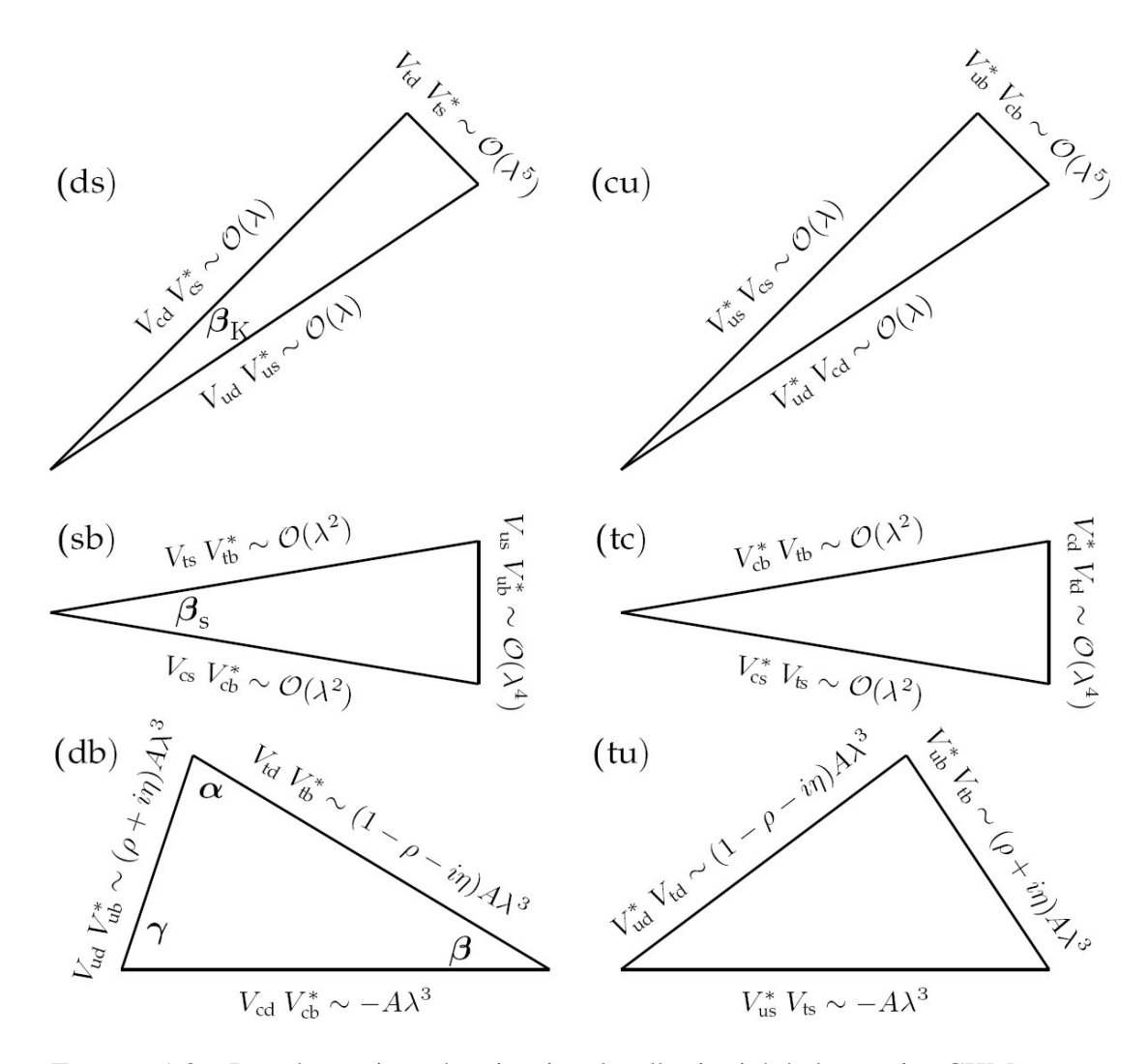


FIGURE 1.2 – Représentations des six triangles d'unitarité de la matrice CKM.

de tester la validité du Modèle Standard et de sonder l'existence de Nouvelle Physique ayant un impact dans le secteur de la saveur. Les figures 1.3 et 1.4 montrent les triangles d'unitarité résultant d'un ajustement global des mesures expérimentales des éléments de la matrice CKM dans le Modèle Standard. Les triangles (db) et (sb)sont respectivement contraints dans les plans complexes $(\bar{\rho}, \bar{\eta})$ et $(\bar{\rho}_s, \bar{\eta}_s)$, tel que :

$$\bar{\rho} + \bar{\eta} = -\frac{V_{ud}V_{ub}^{\star}}{V_{cd}V_{cb}^{\star}}; \quad \bar{\rho} = (1 - \frac{\lambda^2}{2})\rho \quad \text{et} \quad \bar{\eta} = (1 - \frac{\lambda^2}{2})\eta,$$
 (1.9)

$$\bar{\rho}_s + \bar{\eta}_s = -\frac{V_{us}V_{ub}^*}{V_{cs}V_{cb}^*}; \quad \bar{\rho}_s = -\frac{\lambda^2}{1 - \lambda^2/2}\rho \quad \text{et} \quad \bar{\eta}_s = \frac{\lambda^2}{1 - \lambda^2/2}\eta. \tag{1.10}$$

Les longueurs des côtés des triangles d'unitarité sont définies par les valeurs abso-

lues des éléments de la matrice CKM.

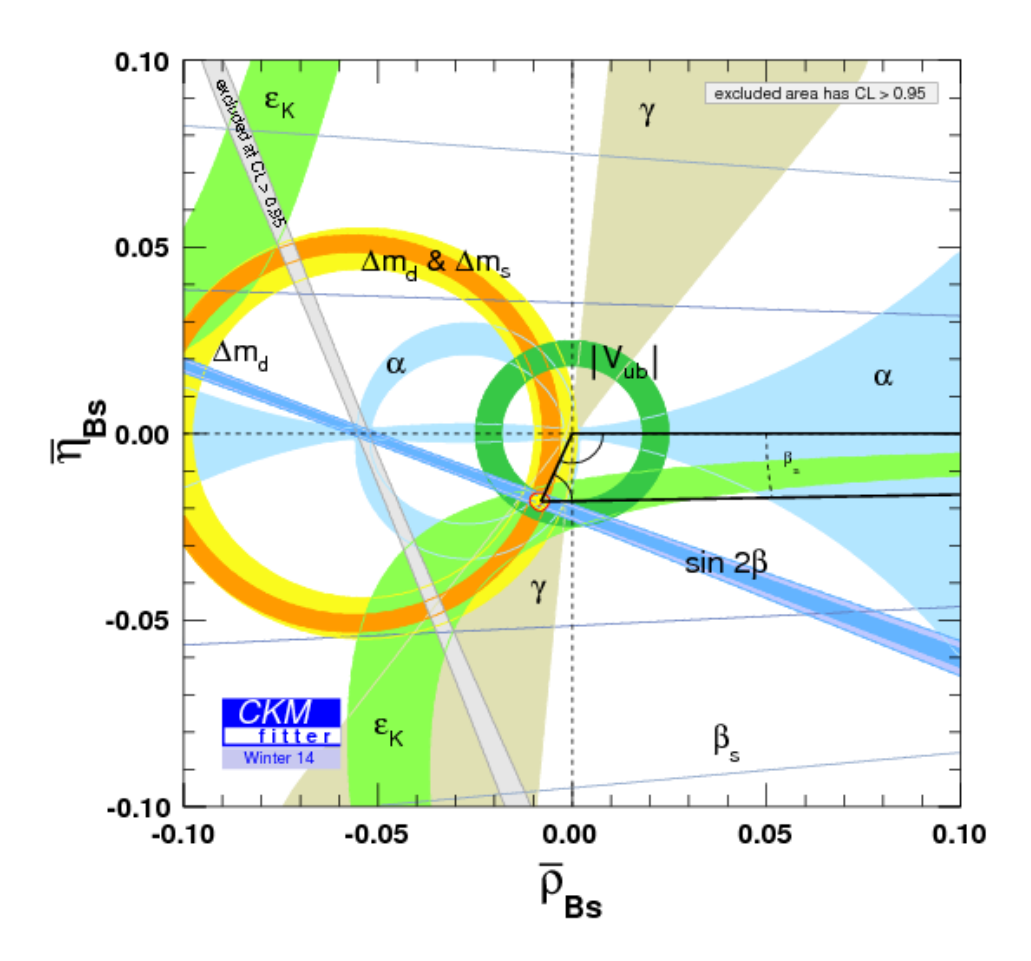


FIGURE 1.3 – Contraintes expérimentales actuelles du triangle (sb) dans le plan $(\bar{\rho}_s, \bar{\eta}_s)$ combinées par le groupe CKMfitter après la conférence de Moriond 2014 [1].

— $|V_{ub}|$ et $|V_{cb}|$ déterminent la longueur de la partie gauche du triangle de B^0 . Les deux quantités peuvent être mesurées via les désintégrations semileptoniques du méson B. $|V_{ub}|$ peut être extrait à partir des désintégrations semileptoniques vers des mésons légers, par exemple $B \to \pi \ell \nu$. $|V_{cb}|$ peut être mesuré à l'aide d'autres types de désintégrations semileptoniques où le méson B donne des quarks c, comme $B \to D \ell \nu$;

278

281

— Le côté droit du triangle B^0 est déterminé par les éléments V_{td} et V_{tb} qui peuvent être contraints en étudiant les mélanges $B_s^0 - \overline{B_s^0}$ et $B^0 - \overline{B^0}$.

Les angles des triangles d'unitarité sont directement liés aux éléments complexes de la matrice CKM. Ils sont accessibles par des mesures de précision de la violation de *CP*.

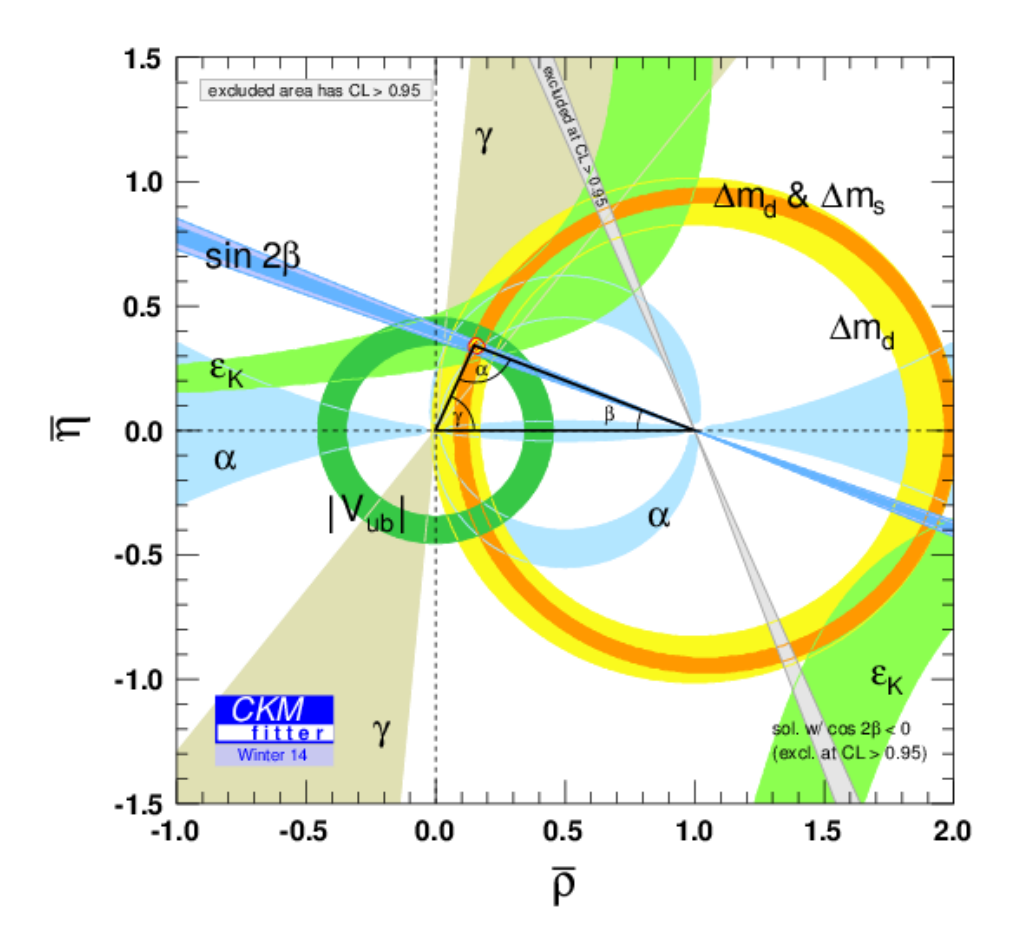


FIGURE 1.4 – Contraintes expérimentales actuelles du triangle (db) dans le plan $(\bar{p}, \bar{\eta})$ combinées par le groupe CKMfitter après la conférence de Moriond 2014 [1]

— L'angle β apparaît dans le mélange des hadrons B^0 . La mesure précise de $\sin 2\beta$ fût l'un des objectifs principaux des expériences BaBar et Belle. Cette mesure a pour la première fois confirmé l'existence de la violation de CP dans le secteur de la beauté. Les deux expériences ont utilisé le canal clé $B^0 \rightarrow J/\psi K_S^0$ pour déterminer β . La moyenne mondiale de cet angle est [22]:

287

292

295

$$\sin 2\beta = 0.665 \pm 0.024,\tag{1.11}$$

— l'angle β_s apparaît dans le mélange des hadrons B_s^0 . Les ajustements globaux des données expérimentales, dans le cadre du Modèle Standard, donnent $\phi_s = -2\beta_s = -0.0363 \pm 0.0013$ rad [1]. La phase ϕ_s apparaît dans les transitions $\bar{b} \to c\bar{c}s$ où contribuent des boucles, ce qui constitue un cadre prometteur pour la recherche de la Nouvelle Physique. La mesure de cette phase

est un élément phare du programme physique de l'expérience LHCb. L'état actuel de cette mesure sera détaillé ultérieurement.

1.3 Phénoménologie des mésons *B*

Dans cette section, nous présentons la phénoménologie des oscillations des mésons B neutres schématisées sur la figure 1.5. Notons que le formalisme décrit cidessous est aussi valide pour les mésons K et D neutres.

1.3.1 Définitions des états de masse et de *CP*

Les états propres de saveurs B et \overline{B} correspondent respectivement aux quarks $\overline{b}q$ et $b\overline{q}$ avec q=s,d. Les états propres de masse qui vérifient l'équation de Schrödinger 1.13 sont :

$$|B_{\rm L,H}\rangle = p|B(t)\rangle \pm q|\bar{B}(t)\rangle,$$
 (1.12)

- où les coefficients complexes p et q vérifient l'équation : $|p|^2 + |q|^2 = 1$.
- Les symboles L et H désignent "Light " (léger) et "Heavy " (lourd) respectivement.
- L'évolution temporelle des mésons $B_{L,H}$ est décrite par l'équation de Schrödinger :

$$i\frac{\mathrm{d}}{\mathrm{d}t} \begin{pmatrix} p(t) \\ q(t) \end{pmatrix} = \mathcal{H} \begin{pmatrix} p(t) \\ q(t) \end{pmatrix},$$
 (1.13)

avec \mathcal{H} l'hamiltonien effectif du système :

31

314

$$\mathcal{H} = M - \frac{i}{2}\Gamma,\tag{1.14}$$

où M et Γ sont deux matrices hermitiennes qui désignent respectivement la masse et la largeur des mésons B.

$$\mathcal{H} = \begin{pmatrix} M_{11} & M_{12} \\ M_{21} & M_{22} \end{pmatrix} - \frac{i}{2} \begin{pmatrix} \Gamma_{11} & \Gamma_{12} \\ \Gamma_{21} & \Gamma_{22} \end{pmatrix}. \tag{1.15}$$

Du fait de l'hermiticité, les éléments non diagonaux sont des complexes conjugués : $M_{21} = M_{12}^{\star}$ et $\Gamma_{21} = \Gamma_{12}^{\star}$. Ils s'écrivent en fonction d'une phase de mélange θ_M et d'une phase de désintégration θ_D :

$$M_{12} = \exp^{i\theta_M} |M_{12}|, \quad \Gamma_{12} = \exp^{i\theta_D} |\Gamma_{12}|.$$
 (1.16)

D'après le théorème CPT, les éléments diagonaux des deux matrices sont égaux : $M_{11}=M_{22}=m$ et $\Gamma_{11}=\Gamma_{22}=\Gamma$.

Le rapport q/p correspond à :

$$\frac{q}{p} = -\sqrt{\frac{(M_{12}^{\star} - \frac{i}{2}\Gamma_{12}^{\star})}{(M_{12} - \frac{i}{2}\Gamma_{12})}}.$$
(1.17)

Les valeurs propres de l'hamiltonien sont définies telles que :

$$\lambda_{H,L} = (m - \frac{i}{2}\Gamma) \pm \sqrt{(M_{12} - \frac{i}{2}\Gamma_{12})(M_{12}^{\star} - \frac{i}{2}\Gamma_{12}^{\star})}.$$
 (1.18)

Par convention, l'état propre lourd (H) a la plus grande masse, donc sa valeur propre correspond à λ_H . La valeur propre de l'état léger (L) est λ_L . Les différences de masse Δm et de largeur $\Delta \Gamma$ entre les états propres de masse sont données par :

$$\Delta m = m_{\rm H} - m_{\rm L}, \quad \Delta \Gamma = \Gamma_{\rm L} - \Gamma_{\rm H}.$$
 (1.19)

La largeur moyenne est :

331

$$\Gamma_q = \frac{\Gamma_{\rm H} + \Gamma_{\rm L}}{2}.\tag{1.20}$$

1.3.2 Dépendance temporelle des oscillations

Les états propres de masse $|B_{H,L}(t)\rangle$ évoluent avec le temps de la manière suivante :

$$|B_{\rm H}(t)\rangle = e^{-im_{\rm H}t}e^{-\Gamma_{\rm H}\frac{t}{2}}|B_{\rm H}(0)\rangle,$$

$$|B_{\rm I}(t)\rangle = e^{-im_{\rm L}t}e^{-\Gamma_{\rm L}\frac{t}{2}}|B_{\rm I}(0)\rangle.$$
(1.21)

Or les états de saveur sont liés aux états propres de masse. Cela se traduit par :

$$|B(t)\rangle = \frac{1}{2p}(|B_{\rm H}(t)\rangle + |B_{\rm L}(t)\rangle),\tag{1.22}$$

$$|\bar{B}(t)\rangle = \frac{1}{2q}(|B_{\rm H}(t)\rangle - |B_{\rm L}(t)\rangle). \tag{1.23}$$

En insérant $|B_{\rm H}(t)\rangle$ et $|B_{\rm L}(t)\rangle$ dans les équations 1.3.2 et 1.3.2, nous obtenons l'évolution temporelle des états propres de saveur :

$$|B(t)\rangle = g_{+}(t)|B(0)\rangle + \frac{q}{p}g_{-}(t)|\bar{B}(0)\rangle,$$
 (1.24)

et $|\bar{B}(t)\rangle = g_{+}(t)|\bar{B}(0)\rangle + \frac{p}{a}g_{-}(t)|B(0)\rangle,$ (1.25)

avec

$$g_{\pm}(t) = \frac{1}{2} \left[\exp^{-i(m_{\rm H} - \frac{1}{2}\Gamma_{\rm H})t} \pm \exp^{-i(m_{\rm L} - \frac{1}{2}\Gamma_{\rm L})t} \right]. \tag{1.26}$$

Les équations 1.3.2 et 1.3.2 nous permettent de calculer les probabilités pour qu'un méson de saveur initiale $B(\bar{B})$ soit $B(\bar{B})$ à l'instant t:

 $\mathcal{P}(B(t)|B(0)) = \mathcal{P}(B(t)|\bar{B}(0)) = |g_{+}(t)|^{2}, \tag{1.27}$

$$\mathcal{P}(\bar{B}(t)|B(0)) = |\frac{p}{a}|^2 |g_{-}(t)|^2, \tag{1.28}$$

$$\mathcal{P}(B(t)|\bar{B}(0)) = |\frac{q}{p}|^2 |g_{-}(t)|^2. \tag{1.29}$$

1.3.3 Calculs des taux de transition

On notera les amplitudes des désintégrations de B et \overline{B} vers un état final f ou \overline{f} :

$$A_{f} = \langle f | \mathcal{H} | B \rangle,$$

$$A_{\bar{f}} = \langle \bar{f} | \mathcal{H} | B \rangle,$$

$$\bar{A}_{\bar{f}} = \langle \bar{f} | \mathcal{H} | \bar{B} \rangle,$$

$$\bar{A}_{f} = \langle f | \mathcal{H} | \bar{B} \rangle.$$
(1.30)

On définit les paramètres complexes :

$$\lambda_f = \frac{q}{p} \frac{\overline{A}_f}{A_f}, \quad \bar{\lambda}_{\bar{f}} = \frac{p}{q} \frac{A_{\bar{f}}}{\overline{A}_{\bar{f}}}.$$
 (1.31)

En utilisant les formules introduites précédemment ainsi que les paramètres $A_f, \bar{A}_{\bar{f}}, \lambda_f$ et $\bar{\lambda}_{\bar{f}}$, on peut écrire les taux de transitions tels que :

$$\Gamma(B(t) \to f) = |A_f|^2 (|g_+(t)|^2 + |\lambda_f|^2 |g_-(t)|^2 + 2\Re(\lambda_f g_+^*(t) g_-(t))),$$

$$\Gamma(B(t) \to \bar{f}) = |\bar{A}_{\bar{f}}|^2 |\frac{q}{p}|^2 (|g_-(t)|^2 + |\bar{\lambda}_{\bar{f}}|^2 |g_+(t)|^2 + 2\Re(\bar{\lambda}_{\bar{f}} g_+(t) g_-^*(t))),$$

$$\Gamma(\bar{B}(t) \to f) = |A_f|^2 |\frac{p}{q}|^2 (|g_-(t)|^2 + |\lambda_f|^2 |g_+(t)|^2 + 2\Re(\lambda_f g_+(t) g_-^*(t))), \quad (1.32)$$

$$\Gamma(\bar{B}(t) \to \bar{f}) = |\bar{A}_{\bar{f}}|^2 (|g_+(t)|^2 + |\bar{\lambda}_{\bar{f}}|^2 |g_-(t)|^2 + 2\Re(\bar{\lambda}_{\bar{f}} g_+^*(t) g_-(t))),$$

où :

$$|g_{\pm}(t)|^{2} = \frac{1}{4} \left[\exp^{-\Gamma_{L}t} + \exp^{-\Gamma_{H}t} \pm 2 \exp^{-\Gamma_{L}t} \cos(\Delta m_{q}t) \right],$$

$$g_{-}(t)g_{+}^{\star}(t) = \frac{1}{4} \left[\exp^{-\Gamma_{H}t} - \exp^{-\Gamma_{L}t} - 2i \exp^{-\Gamma_{L}t} \sin(\Delta m_{q}t) \right].$$
(1.33)

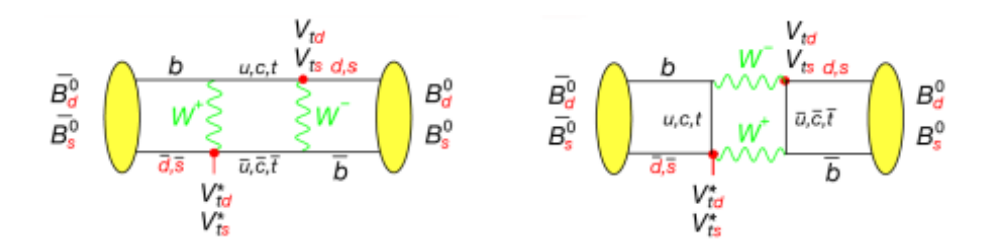


FIGURE 1.5 – Diagrammes de Feynman dominants le processus d'oscillations B_s^0 – $\overline{B_s^0}$ dans le Modèle Standard.

En utilisant 1.32 et 1.33, avec les approximations $|\frac{p}{q}| = 1$, $|\lambda_f| = 1$ et $|\bar{\lambda}_{\bar{f}}| = 1$, on peut réécrire les taux des désintégrations selon :

$$\Gamma(B \to f) = \frac{|A_f|^2}{2} e^{-\Gamma_q t} [\cosh(\frac{\Delta \Gamma t}{2}) + \Re(\lambda_f) \sinh(\frac{\Delta \Gamma t}{2}) + \Im(\lambda_f) \sin(\Delta m t)],$$

$$\Gamma(\overline{B} \to f) = \frac{|A_f|^2}{2} e^{-\Gamma_q t} [\cosh(\frac{\Delta \Gamma t}{2}) + \Re(\lambda_f) \sinh(\frac{\Delta \Gamma t}{2}) - \Im(\lambda_f) \sin(\Delta m t)].$$

1.4 Violation de la symétrie *CP* dans les mésons neutres

On distingue trois types de violation *CP*: dans le mélange, dans la désintégration ou dans l'interférence entre le mélange et la désintégration.

1.4.1 Violation *CP* directe

C'est le seul type de violation de la symétrie CP qui puisse se produire dans les désintégrations donnant des états spécifiques de saveur. Pour les mésons chargés, c'est aussi l'unique manière de briser la symétrie CP. Si $|A_f| \neq |\bar{A}_{\bar{f}}|$, il y a violation de CP dans les désintégrations des mésons B. En d'autres termes, les amplitudes du processus $B \to f$ et de son CP conjugué $\bar{B} \to \bar{f}$ sont inégales. On définit :

$$A^{CP} = \frac{\Gamma(\bar{B} \to \bar{f}) - \Gamma(B \to f)}{\Gamma(\bar{B} \to \bar{f}) + \Gamma(B \to f)} = \frac{|\bar{A}_{\bar{f}}|^2 - |A_f|^2}{|\bar{A}_{\bar{f}}|^2 + |A_f|^2}.$$
 (1.34)

Durant cette thèse, nous avons étudié ce type de violation CP dans les canaux $B^0_s \to J/\psi \bar{K}^{*0}$ et $B^0 \to J/\psi K^{*0}$.

Concernant la désintégration $B_s^0 \to J/\psi \phi$, la violation directe est fortement supprimée par un facteur λ^2 dans le Modèle Standard.

1.4.2 Violation *CP* dans le mélange

37

Si $|q| \neq |p|$, la violation *CP* intervient dans le mélange $B - \overline{B}$, illustré sur la figure 1.5. Dans ce cas, la probabilité de la transition d'un méson neutre B en son anti-particule \overline{B} , $\mathcal{P}(B \to \overline{B} \to \overline{f})$, est différente de la probabilité du processus CP conjugué, $\mathcal{P}(\overline{B} \to B \to f)$. L'asymétrie résultante peut être exprimée comme :

$$A^{M} = \frac{\Gamma(\bar{B} \to B \to f) - \Gamma(B \to \bar{B} \to \bar{f})}{\Gamma(\bar{B} \to B \to f) + \Gamma(B \to \bar{B} \to \bar{f})},$$
(1.35)

$$= \frac{|\frac{p}{q}g_{-}(t)A_{f}|^{2} - |\frac{q}{p}g_{-}(t)\bar{A}_{\bar{f}}|^{2}}{|\frac{p}{q}g_{-}(t)A_{f}|^{2} + |\frac{q}{p}g_{-}(t)\bar{A}_{\bar{f}}|^{2}},$$
(1.36)

$$= \frac{1 - |q/p|^4}{1 + |q/p|^4}. (1.37)$$

Cette définition suppose une violation CP directe nulle, c'est-à-dire :

$$|A_f| = |\bar{A}_{\bar{f}}|.$$

La violation CP dans le mélange peut être mesurée en utilisant des désintégrations semileptoniques comme $B^0 \to X \ell^+ \nu$. Les évènements correspondant à un méson B qui a oscillé avant de se désintégrer semileptoniquement sont désignés par les désintégrations du "faux signe" et contiennent un ℓ^- dans l'état final. En supposant que les mésons B et \bar{B} sont produits en quantités égales, l'inégalité $\mathcal{P}(B \to \bar{B} \to \bar{B})$ $\bar{f} \to \bar{f} \to$

1.4.3 Violation CP: interférence entre mélange et désintégration

Le dernier type est la violation CP dans l'interférence entre une désintégration sans mélange $B \to f$ et une désintégration avec mélange $B \to \overline{B} \to f$ où f est un état propre de CP. Dans ce cas $\lambda_f = \frac{q}{p} \overline{A_f} \neq 1$. En supposant $|\frac{p}{q}| = 1$, nous écrivons cette asymétrie CP dépendante du temps comme :

$$A^{CP}(t) = \frac{\Gamma(\bar{B} \to f)(t) - \Gamma(B \to f)(t)}{\Gamma(\bar{B} \to f)(t) + \Gamma(B \to f)(t)},$$

$$= \frac{-(1 - |\lambda_f|^2)\cos(\Delta mt) + 2\sin(\Delta mt)\Im(\lambda_f)}{(1 + |\lambda_f|^2)\cosh(\frac{\Delta\Gamma}{2}t) + 2\sinh(\frac{\Delta\Gamma}{2}t)\Re(\lambda_f)},$$
(1.38)

où $\Re(\lambda_f)$ et $\Im(\lambda_f)$ représentent respectivement les parties réelles et imaginaires de λ_f . Dans le cas où $\Delta\Gamma=0$ et $|\lambda_f|=1$, cette asymétrie peut être simplifiée en :

$$A^{CP}(t) = \sin(\Delta mt)\Im(\lambda_f). \tag{1.39}$$

Un exemple typique de cette violation de *CP* a lieu dans le canal $B_s^0 \to J/\psi \phi$, ou encore pour le méson B^0 dans le canal $B^0 \to J/\psi K_S^0$.

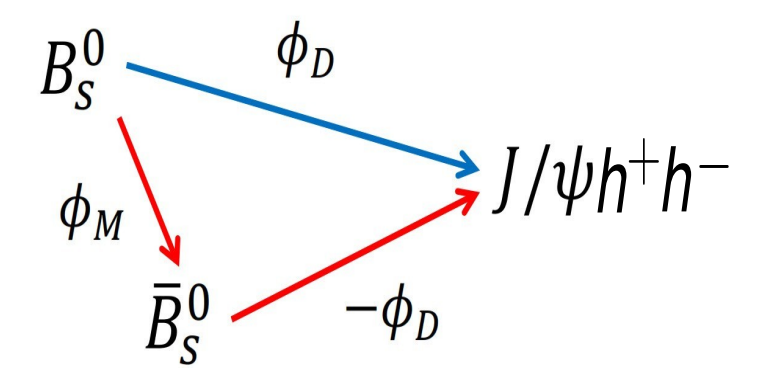


FIGURE 1.6 – Interférence entre la désintégration directe et la désintégration après le mélange $B_s^0 - \overline{B_s^0}$ $(h = K, \pi)$.

1.5 Désintégrations $B^0_s o J/\psi \phi$

L'interférence entre un méson B_s^0 qui se désintègre directement via les transitions $b \to c\bar{c}s$ vers des états propres de CP et celui qui se désintègre après des oscillations $B_s^0 - \overline{B_s^0}$ donne lieu à une phase violant CP (cf. figure 1.6).

1.5.1 Définition de la phase ϕ_s

401

L'amplitude totale de la désintégration $B^0_s o J/\psi \phi$ est donnée par :

$$A_{J/\psi\phi} = V_{cs}V_{cb}^{\star}T + V_{us}V_{ub}^{\star}P_{u} + V_{cs}V_{cb}^{\star}P_{c} + V_{ts}V_{tb}^{\star}P_{t}, \tag{1.40}$$

où T désigne l'amplitude des processus à l'arbre, schématisés sur la figure 1.7, à gauche. Le terme P_q (q=u,c,t) désigne l'amplitude des processus pingouins mettant en jeu le quark q, comme illustré sur la figure 1.7, à droite [23]. Nous négligeons les diagrammes d'ordre supérieur.

En utilisant la relation du triangle d'unitarité (équation 1.8), l'équation 1.40 devient :

$$A_{J/\psi\phi} = V_{cs}V_{cb}^{\star}(T + P_c - P_t) + V_{us}V_{ub}^{\star}(P_u - P_t). \tag{1.41}$$

En négligeant les processus pingouins, le rapport $\frac{\bar{A}_{\bar{f}}}{A_f}$ s'écrit :

$$\frac{\bar{A}_{\bar{f}}}{A_f} = -\eta_{J/\psi\phi} e^{i(2\phi_{\rm D})},\tag{1.42}$$

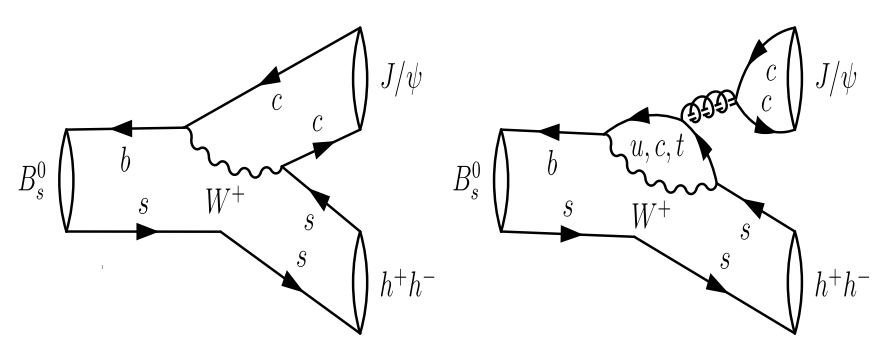


FIGURE 1.7 – Diagrammes de Feynman contribuant à la désintégration dans $B_s^0 \to J/\psi h^- h^+$ $(h=K,\pi)$ dans le Modèle Standard. À gauche : diagramme à l'arbre, à droite : diagramme pingouin.

avec $e^{2i\phi_{\rm D}}=rac{V_{cs}^{\star}V_{cb}}{V_{cs}V_{cb}^{\star}}$ et $\eta_{J/\psi\phi}$ est donnée par : $CP|J/\psi\phi\rangle=\eta_{J/\psi\phi}|J/\psi\phi\rangle$. Le rapport du mélange $\frac{p}{q}$ s'écrit :

$$\frac{p}{q} = -\frac{V_{tb}^{\star} V_{ts}}{V_{tb} V_{ts}^{\star}} = -e^{-i\phi_{\rm M}},\tag{1.43}$$

où $\phi_{\rm M}=-2arg\left(V_{tb}^{\star}V_{ts}\right)$. Par conséquent, le paramètre λ_f dans l'équation 1.31 s'écrit [24] :

$$\lambda_f = \eta_{J/\psi\phi} e^{i(2\phi_D - \phi_M)}. \tag{1.44}$$

L'interférence entre mélange et désintégration reçoit une phase faible standard :

$$2\phi_{\rm D} - \phi_{\rm M} = -2\arg(-\frac{V_{tb}^{\star}V_{ts}}{V_{cs}V_{cb}^{\star}}) = -2\beta_{s}.$$
 (1.45)

La phase effective mesurée dans la désintégration $B_s^0 o J/\psi \phi$ est donnée par :

$$\phi_{J/\psi\phi}^{\text{eff}} = -2\beta_s + \Delta\phi_s^{\text{peng,SM}} + \phi_s^{\text{NP}}, \qquad (1.46)$$

où β_s est le plus petit angle du triangle d'unitarité, illustré sur la figure 1.2 [25]. La phase des contributions pingouins dans le Modèle Standard est représentée par $\Delta\phi_s^{\rm peng,SM}$, tandis que $\phi_s^{\rm NP}$ désigne la contribution de la Nouvelle Physique. Bien que faibles, il est essentiel de contraindre les effets des processus pingouins afin de pouvoir correctement interpréter la mesure de $\phi_{J/\psi\phi}^{\rm eff}$ et la présence, ou non, de la Nouvelle Physique [26, 4]. La contribution des diagrammes pingouins constitue le sujet principal de ce manuscrit et va être discuter en détail dans les chapitres suivants. Dans la suite, on notera $\phi_{J/\psi\phi}^{\rm eff} = \phi_s$.

1.5.2 Impact de la Nouvelle Physique

419

Les processus physiques au-delà du Modèle Standard (Nouvelle Physique) peuvent se manifester au niveau du mélange des mésons B^0 et B^0_s mais aussi des désintégrations à l'arbre. Cela affecterait les éléments non diagonaux M_{12} et Γ_{12} de l'hamiltonien dans l'équation 1.13. La figure 1.8 illustre une contribution possible de la Nouvelle Physique faisant intervenir des gluinos dans les modèles supersymétriques [27]. Les éventuelles contributions de la Nouvelle Physique dans le mélange B^0_s - $\overline{B^0_s}$ peuvent être paramétrées d'une manière indépendante de tout modèle théorique. Nous notons Δ^M_s la Nouvelle Physique reliée au mélange, tandis que celle des désintégrations à l'arbre est désignée par Δ^T_s . Ces termes affectent M_{12} et Γ_{12} de la manière suivante [28]:

$$M_{12} = M_{12}^{\text{SM}} \Delta_s^M = M_{12}^{\text{SM}} |\Delta_s^M| e^{i\phi_s^{\Delta_s^M}},$$

$$\Gamma_{12} = \Gamma_{12}^{\text{SM}} \Delta_s^T = \Gamma_{12}^{\text{SM}} |\Delta_s^T| e^{i\phi_s^{\Delta_s^T}}.$$
(1.47)

Le Modèle Standard suppose que : $\Delta_s^M = \Delta_s^T = 1$. La Nouvelle Physique peut aussi apparaître dans les diagrammes pingouins sous-dominants : $\Delta \phi_s^{\text{peng}}$. La phase ϕ_s correspond donc à la somme :

$$\phi_s = -2\beta_s + \Delta\phi_s^{\text{peng,SM}} + \phi_s^{\Delta_s^{\text{M}}} + \phi_s^{\Delta_s^{\text{T}}} + \Delta\phi_s^{\text{peng,NP}}.$$
 (1.48)

De plus, la présence de la Nouvelle Physique dans le mélange, Δ_s^M , peut être détectée dans la mesure d'une asymétrie spécifique de saveur, dite a_{fs} :

$$a_{fs} = \left| \frac{M_{12}}{\Gamma_{12}} \right| \sin\left(\arg\left(-\frac{M_{12}}{\Gamma_{12}}\right) + \Delta_s^{\mathrm{M}}\right). \tag{1.49}$$

Ce paramètre est accessible dans les désintégrations semileptoniques.

1.5.3 Analyse angulaire

La désintégration $B_s^0 \to J/\psi \phi$ fait intervenir un pseudo-scalaire se désintégrant en deux vecteurs. L'état propre *CP* de l'état final se définit par :

$$CP|J/\psi\phi\rangle_{\ell} = \eta_f|J/\psi\phi\rangle_{\ell} = (-1)^{\ell}|J/\psi\phi\rangle_{\ell}, \qquad (1.50)$$

avec η_f la valeur propre de CP et ℓ est le moment angulaire orbital entre les deux mésons vecteurs de l'état final ($\ell=0,1,2$). On en déduit qu'il y a une superposition des composantes CP paires et impaires dans l'état final. Afin de différencier ces 2 composantes, une analyse angulaire est exigée. Deux bases sont couramment utilisées dans cette analyse : la base de transversité et celle d'hélicité. Par la suite,

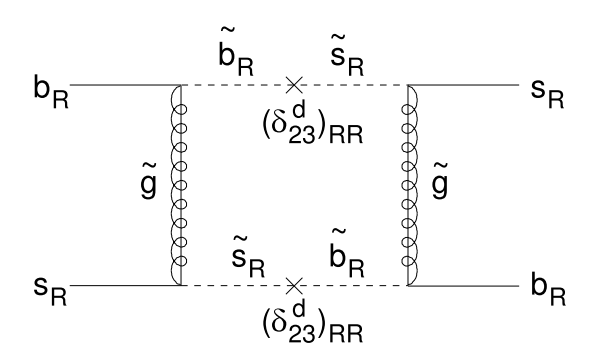


FIGURE 1.8 – Exemple de contribution de la Nouvelle Physique via des diagrammes gluinos [27].

nous considérons seulement la base d'hélicité, représentée sur la figure 1.9. Les amplitudes de désintégrations correspondent aux différents états de polarisations entre les spins du méson vecteur, ainsi qu'à la polarisation du spin de chaque méson par rapport à l'impulsion. À l'instant t=0, les amplitudes sont : CP-paire pour $A_0(0)$ et $A_{\parallel}(0)$ ($\ell=0,2$), alors que $A_{\perp}(0)$ est CP-impaire ($\ell=1$). Lorsque les spins sont polarisés de manière longitudinale par rapport aux impulsions, et de manière parallèle les uns par rapport aux autres, il s'agit de $A_0(0)$. Lorsque les spins sont polarisés de manière transversale par rapport aux impulsions, mais parallèle les uns aux autres, il s'agit de $A_{\parallel}(0)$. Le dernier cas correspond à la polarisation transversale des spins par rapport aux impulsions, et perpendiculaires les uns par rapport aux autres, il s'agit $A_{\perp}(0)$.

Ces amplitudes ont chacune une phase forte : δ_0 , δ_{\parallel} et δ_{\perp} . Seules 2 amplitudes et 2 phases fortes sont indépendantes. Par convention, on utilise :

$$\delta_0=0,\, \delta_\parallel=rg(A_\parallel(0)A_0^\star(0)) ext{ et } \delta_\perp=rg(A_\perp(0)A_0^\star(0))$$
 .

Le méson ϕ est défini par la résonance de deux kaons chargés ayant un moment angulaire orbital égal à 1. On parle ainsi d'une contribution suivant l'onde P. Or, les kaons peuvent aussi contribuer à cette désintégration suivant une autre onde correspondant à un moment angulaire orbital nul, dite onde S. Ce cas-ci apporte de l'information sur la phase ϕ_S , cependant le système K^+K^- ne peut être appelé " méson ϕ ". L'onde S est introduite dans le taux de désintégration via son amplitude A_S et sa phase forte δ_S , liée à un état de polarisation CP impair.

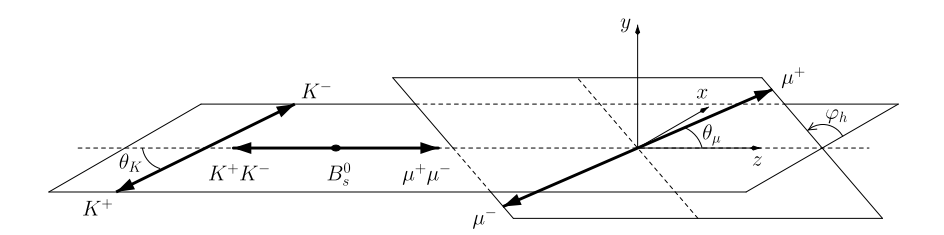


FIGURE 1.9 – Définition des angles en base d'hélicité. Le K^+ est caractérisé par son angle polaire θ_K dans le référentiel du centre de masse de K^+K^- . De même, la direction du μ^+ est décrite par son angle θ_μ dans le référentiel de centre de masse du dimuon $(\mu^+\mu^-)$. L'orientation relative de K^+K^- et $\mu^+\mu^-$ est donnée par l'angle φ_h .

1.5.4 Taux de désintégrations $B^0_s o J/\psi \phi$

Le taux de désintégration différentiel est donné par [29] :

$$\frac{d^4\Gamma(t)}{dm_{KK}^2d\cos\theta_Kd\cos\theta_\mu d\varphi_h} = \sum_{k=1}^{10} N_k h_k(t) f_k(\theta_K, \theta_\mu, \varphi_h), \qquad (1.51)$$

où m_{KK} désigne la masse de K^+K^- et les fonctions dépendantes de temps $h_k(t)$ sont définies telles que :

$$h_k(t) = \frac{3}{4\pi}e^{-\Gamma_s t} \left\{ a_k \cosh \frac{\Delta \Gamma t}{2} + b_k \sinh \frac{\Delta \Gamma t}{2} + c_k \cos(\Delta m t) + d_k \sin(\Delta m t) \right\} (1.52)$$

Les fonctions angulaires $f_k(\theta_K, \theta_\mu, \varphi_h)$ sont indépendantes de la saveur du méson B_s^0 . Pour un méson ayant la saveur B_s^0 à la production, les signes de c_k and d_k doivent être inversés. Les expressions explicites de l'ensemble des termes intervenant dans le taux de désintégration différentiel sont données dans la table 1.1.

$_{ iny 69}$ 1.6 Mesure de la phase $\phi_{\scriptscriptstyle S}$

Dans cette section, nous abordons les stratégies et résultats de la mesure de la phase ϕ_s dans les canaux caractérisés par les transitions $b \to c\overline{c}s$, notamment les désintégrations $B_s^0 \to J/\psi K^- K^+$ et $B_s^0 \to J/\psi \pi^- \pi^+$.

1.6.1
$$B_s^0 \to J/\psi K^- K^+$$

Le but de cette analyse est principalement de mesurer ϕ_s , $|\lambda|$ qui est liée à la violation directe de CP, la différence de largeur de désintégration $\Delta\Gamma_s$ et Γ_s [3]. $B \to J/\psi(\to \mu^+\mu^-)\phi(\to K^+K^-)$ est un pseudo-scalaire se désintégrant en deux mésons vecteurs. Le taux de désintégration différentiel peut être écrit comme suit :

utilisées pour les fonctions cosinus et sinus : $c_K = \cos \theta_K$, $s_K = \sin \theta_K$, $c_\ell = \cos \theta_\mu$, $s_\ell = \sin \theta_\mu$, $c_{\varphi_h} = \cos \varphi_h$ et $s_{\varphi_h} = \sin \varphi_h$. TABLE 1.1 – Les fonctions angulaires et celles dépendantes du temps utilisées dans les équations (1.51) et (1.52). Quelques abréviations sont

$\frac{2}{\sqrt{3}}c_Ks_\ell^2$		$-\frac{2}{\sqrt{6}}S_KS_\ell C_\ell S_{\phi_h}$ $\frac{2}{\sqrt{2}}C_K S_\ell^2$		$\frac{1}{3}S_{\ell}^{2}$ $\frac{2}{\sqrt{6}}S_{K}S_{\ell}C_{\ell}C_{\boldsymbol{\varphi}_{h}}$ $-\frac{2}{\sqrt{6}}S_{K}S_{\ell}C_{\ell}S_{\boldsymbol{\varphi}_{h}}$		$-\sqrt{2}s_Kc_Ks_\ell c_\ell s_{\phi_h}$		$\sqrt{2}s_{K}c_{K}s_{\ell}c_{\ell}c_{\phi_{h}}$		$s_K^2 s_\ell^2 s_{m{\phi}_i} c_{m{\phi}_i}$		$\frac{1}{2}s_K^2(1-s_{\phi_h}^2s_\ell^2)$	$\frac{1}{2}s_K^2(1-c_{\phi_h}^2s_\ell^2)$	$c_K^2 s_\ell^2$	0.70			
0.05v	\ \ \ \ \ \ \ \ \ \ \ \ \ \ \ \ \ \ \		$ A_{ m S}A_{\perp} $		$ A_SA_\perp $		$A_{c}A_{=}$	$ A_{\rm S} ^2$		$A \cap A$		AnA =		A - A	$ A_{\perp} ^2$	$ A_{ } ^2$	$ A_0 ^2$	>
$\cos(\delta_S-\delta_0-\phi_S+\phi_0)$	$\frac{1}{2}\left[\cos(\delta_S-\delta_0)- \lambda_S\lambda_0 ight]$	$\sin(\delta_S - \delta_\perp - \phi_S + \phi_\perp) igg]$	$-rac{1}{2}igg[\sin(\delta_S-\delta_\perp)+ \lambda_S\lambda_\perp $	$\cos(\delta_S - \delta_{ } - \phi_S + \phi_{ })$	$\left.rac{1}{2} ight \cos(\delta_S-\delta_{ })- \lambda_S\lambda_{ } $	$\frac{1}{2}(1+ \lambda_{\mathrm{S}} ^2)$	$\sin(\delta_0 - \delta_\perp - \phi_0 + \phi_\perp)$	$-rac{1}{2}igg[\sin(\delta_0-\delta_\perp)\!-\! \lambda_0\lambda_\perp $	$\cos(\delta_0-\delta_{ }-\phi_0+\phi_{ })$	$rac{1}{2}igg[\cos(\delta_0-\delta_{ })+ \lambda_0\lambda_{ } $	$\sin(\delta_\perp - \delta_{ } - \phi_\perp + \phi_{ })$	$rac{1}{2}\Bigg \sin(\delta_\perp\!-\delta_{ })\!-\! \lambda_\perp\lambda_{ } $	$rac{1}{2}(1+ \lambda_{\perp} ^2)$	$\frac{1}{2}(1+ \lambda_{ } ^2)$	$rac{1}{2}(1+ \lambda_0 ^2)$	*		
$- \lambda_0 \cos(\delta_0-\delta_S-\phi_0)\bigg]$	$rac{1}{2}igg[\lambda_S \cos(\delta_S-\delta_0-\phi_S)$	$- \lambda_{\perp} \sin(\delta_{\perp}-\delta_{S}-\phi_{\perp})igg]$	$-rac{1}{2}igg[\lambda_{\mathcal{S}} \sin(\delta_{\mathcal{S}}-\delta_{\perp}-\phi_{\mathcal{S}})$	$- \lambda_{ } \cos(\delta_{ }-\delta_{S}-\phi_{ })$	$rac{1}{2}igg \lambda_{S} \cos{(\delta_{S}-\delta_{ }-\phi_{S})}$	$ \lambda_{S} \cos(\phi_{S})$	$+ \lambda_{\perp} \sin(\delta_{\perp}-\delta_{0}-\phi_{\perp})igg]$	$rac{1}{2}igg[\lambda_0 \sin(\delta_0-\delta_\perp-\phi_0)igg]$	$+ \lambda_{ } \cos(\delta_{ }-\delta_{0}-\phi_{ })\bigg]$	$-rac{1}{2}igg[\lambda_0 \cos(\delta_0-\delta_{ }-\phi_0)$	$+ \lambda_{ } \sin(\delta_{ }-\delta_{\perp}-\phi_{ }) igg]$	$rac{1}{2}\Bigg \lambda_{\perp} \sin(\delta_{\perp}-\delta_{\parallel}-\phi_{\perp})$	$ \lambda_{\perp} \cos(\phi_{\perp})$	$- \lambda_{ } \cos(\phi_{ })$	$- \lambda_0 \cos(\phi_0)$:		
$\left[\cos(\delta_S-\delta_0-\phi_S+\phi_0)\right]$	$rac{1}{2}igg[\cos(\delta_S\!-\!\delta_0)\!+\! \lambda_S\lambda_0 $	$\sin(\delta_S\!-\delta_\perp\!-\phi_S\!+\phi_\perp) igg]$	$-rac{1}{2}igg[\sin(\delta_S\!-\!\delta_\perp)\!-\! \lambda_S^{}\lambda_\perp $	$\cos(\delta_S - \delta_{\parallel} - \phi_S + \phi_{\parallel})$	$rac{1}{2}\left[\cos(\delta_S-\delta_\parallel)+ \lambda_S\lambda_\parallel ight]$	$\frac{1}{2}(1- \lambda_{\mathrm{S}} ^2)$	$\sin(\delta_0-\delta_\perp-\phi_0+\phi_\perp)$	$-rac{1}{2}igg[\sin(\delta_0-\delta_\perp)+ \lambda_0\lambda_\perp $	$\cos(\delta_0-\delta_{ }-\phi_0+\phi_{ })$	$rac{1}{2}igg[\cos(\delta_0-\delta_\parallel)- \lambda_0\lambda_\parallel $	$\sin(\delta_{\perp}-\delta_{\parallel}-\phi_{\perp}+\phi_{\parallel})$	$rac{1}{2}\left[\sin(\delta_{\perp}-\delta_{\parallel})+ \lambda_{\perp}\lambda_{\parallel} ight]$	$\frac{1}{2}(1- \lambda_{\perp} ^2)$	$\frac{1}{2}(1- \lambda_{\parallel} ^2)$	$\frac{1}{2}(1- \lambda_0 ^2)$			
$- \lambda_0 \sin(\delta_0-\delta_S-\phi_0)\bigg]$	$rac{1}{2}igg[\lambda_S \sin(\delta_S-\delta_0-\phi_S)$	$+ \lambda_{\perp} \cos(\delta_{\perp}\!-\!\delta_{\!S}\!-\!\phi_{\perp})igg]$	$-rac{1}{2}igg[- \lambda_S \cos(\delta_S-\delta_\perp-\phi_S)$	$- \lambda_{ } \sin(\delta_{ }-\delta_{S}-\phi_{ })$	$rac{1}{2}igg \lambda_{\mathcal{S}} \sin(\delta_{\mathcal{S}}-\delta_{ }-\phi_{\mathcal{S}})$	$- \lambda_{\mathrm{S}} \sin(\phi_{\mathrm{S}})$	$+ \lambda_{\perp} \cos(\delta_{\perp}\!-\!\delta_{0}\!-\!\phi_{\perp})\Big]$	$-rac{1}{2}igg[\lambda_0 \cos(\delta_0-\delta_\perp-\phi_0)igg]$	$+ \lambda_{ } \sin(\delta_{ }-\delta_{0}-\phi_{ })$	$-rac{1}{2}igg[\lambda_0 \sin(\delta_0-\delta_{ }-\phi_0)$	$+ \lambda_{ } \cos(\delta_{ }-\delta_{\perp}-\phi_{ })$	$-rac{1}{2}\Bigg \lambda_{\perp} \cos(\delta_{\perp}-\delta_{ }-\phi_{\perp})$	$- \lambda_{\perp} \sin(\phi_{\perp})$	$ \lambda_{ } \sin(\phi_{ })$	$ \lambda_0 \sin(\phi_0)$			

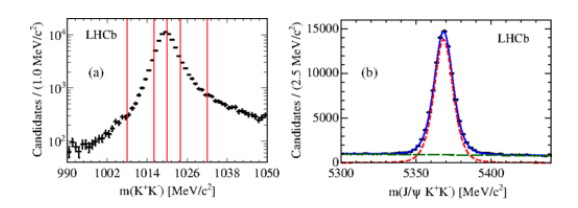


FIGURE 1.10 – La masse invariante de $J/\psi K^+K^-$. Les points noirs correspondent aux données, la courbe bleue est la projection de l'ajustement de la fonction totale, la courbe rouge est la composante du signal B_s^0 , tandis que le vert représente le bruit de fond combinatoire [3].

$$\frac{\mathrm{d}^4\Gamma(B_s^0\to J/\psi K^-K^+)}{\mathrm{d}t\,\,\mathrm{d}\cos\theta_{\mu}\,\,\mathrm{d}\phi_{h}\,\,\mathrm{d}\cos\theta_{K}} = f(\phi_s, \Delta\Gamma_s, \Gamma_s, M_{B_s^0}, |A_{\parallel}|^2, |A_{\perp}|^2, |A_s|^2, \delta_{\perp}, \delta_{\parallel}, \delta_s, \cdots)$$

L'étude de ce canal nécessite une analyse angulaire pour distinguer les composantes CP paires et impaires dans l'état final. Après la soustraction statistique du bruit de fond [30], un ajustement de temps propre du méson B_s^0 et des trois angles en base d'hélicité est effectué dans six bins de m_{KK} . La masse invariante $(J/\psi K^+K^-)$ est illustrée sur la figure 1.10. Les projections de cet ajustement correspondent à la figure 1.11. Pour tenir compte des effets de détection et de sélection, l'acceptance 484 temporelle est étudiée dans les données réelles alors que l'acceptance angulaire est déterminée dans la simulation. La résolution sur le temps propre du méson B_s^0 est modélisée par une gaussienne de largeur $S_{\sigma_t} \times \sigma_t$, où σ_t est l'incertitude tempo-487 relle estimée pour chaque évènement, et le facteur correctif, S_{σ_t} , est mesuré dans un échantillon de bruit de fond $J/\psi \to \mu^+\mu^-$ provenant uniquement du vertex primaire. Le facteur S_{σ_t} intègre les défauts d'alignement et de description du matériel du détecteur. La résolution effective est de 46 fs pour $B^0_s o J/\psi \phi$. Les mésons B^0_s oscillant, leurs produits de désintégration ne portent pas d'information sur leur saveur initiale. La saveur du méson B_s^0 , à la production, est déterminée par l'algorithme d'étiquetage ayant une puissance : $\varepsilon(1-2\omega)^2=(3.73\pm0.15)\%$, où ε indique l'efficacité d'étiquetage, et ω la probabilité que l'information apportée par l'algorithme d'étiquetage soit fausse [31].

En utilisant 3 fb^{-1} de données collectées en 2011 et 2012, LHCb a obtenu [3]:

$$\phi_s = -0.058 \pm 0.049 \text{ (stat)} \pm 0.006 \text{ (syst)}, \ |\lambda| = 0.964 \pm 0.019 \text{ (stat)} \pm 0.007 \text{ (syst)}, \ \Gamma_s = 0.6603 \pm 0.0027 \text{ (stat)} \pm 0.0015 \text{ (syst)}, \ \Delta\Gamma_s = 0.0805 \pm 0.0091 \text{ (stat)} \pm 0.0032 \text{ (syst)}.$$

1.6.2
$$B_s^0 \to J/\psi \pi^- \pi^+$$

478

Un autre canal utile pour mesurer ϕ_s est $B_s^0 \to J/\psi \pi^- \pi^+$. Cette désintégration est dominée à 97.7% par la composante *CP* impaire, à 95% C.L. [32]. Néanmoins,

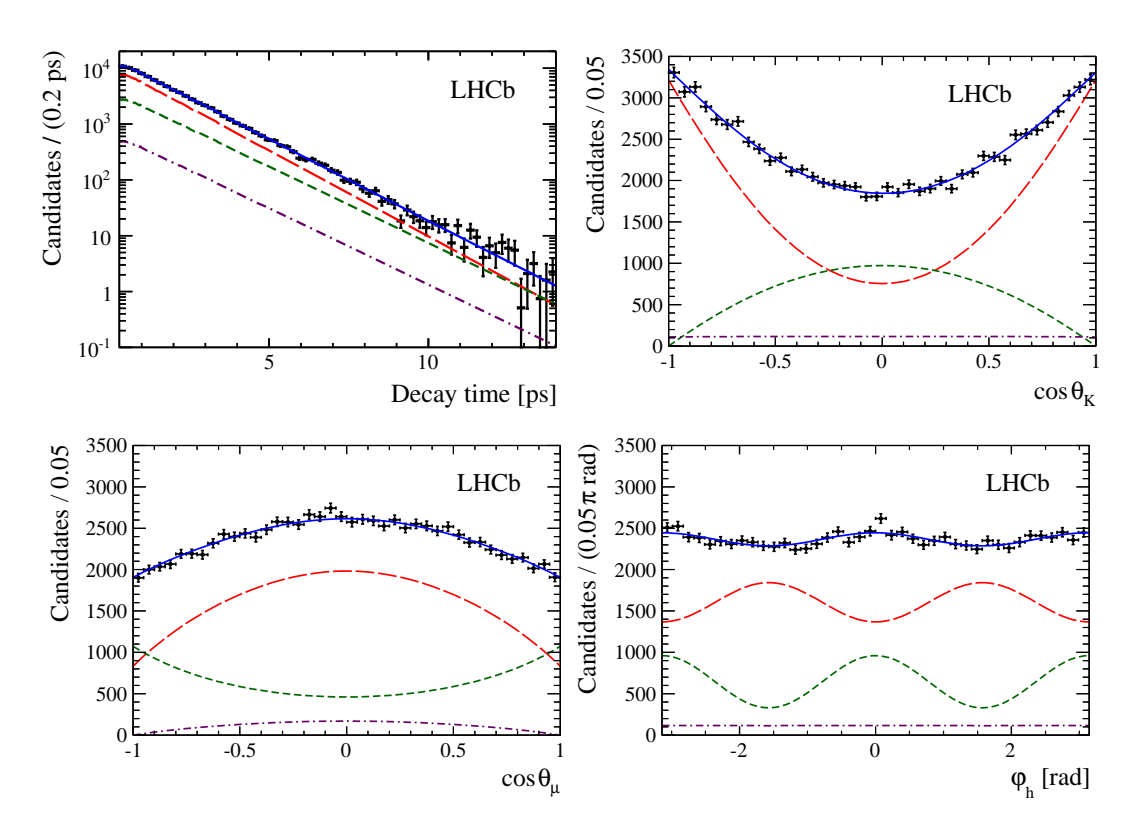


FIGURE 1.11 – Projections de l'ajustement sur les distributions du temps ainsi que les 3 angles des candidats $B_s^0 \to J/\psi K^+K^-$. Les points noirs correspondent aux données. La courbe bleue désigne la contribution totale du signal, composée des états CP pairs (courbe rouge en tiret) et CP impairs (courbe verte en tiret) et l'onde S en violet [3].

une analyse angulaire est nécessaire pour extraire la petite composante CP paire. Un ajustement à six dimensions, est effectué. Les observables mises en jeu sont les masses du méson B_s^0 et des particules filles $\pi\pi$, le temps et les trois angles d'hélicité. L'acceptance temporelle est déterminée via le canal $B^0 \to J/\psi K^{*0}$ et la simulation. En outre, $\Delta\Gamma_s$ et Γ_s sont fixées aux valeurs mesurées par l'analyse de $B_s^0 \to J/\psi \phi$. Cette analyse vise la mesure de ϕ_s et $|\lambda|$. En suivant la même méthodologie que dans $B_s^0 \to J/\psi \phi$ pour déterminer la résolution temporelle effective, le résultat est : 40 fs. L'algorithme d'étiquetage atteint une puissance de : $\varepsilon(1-2\omega)^2=(3.89\pm0.25)\%$. LHCb a analysé 3 fb $^{-1}$ de $B_s^0 \to J/\psi \pi^- \pi^+$ collectés en 2011 et 2012. En supposant une violation CP directe nulle $(|\lambda|=1)$, la phase violant CP, ϕ_s , est mesurée :

$$\phi_s = 0.075 \pm 0.067 \text{ (stat)} \pm 0.008 \text{ (syst)}.$$

512

514

515

En autorisant l'ajustement à extraire la quantité de violation de *CP* directe, les résultats sont :

$$\phi_s = 0.070 \pm 0.068 \text{ (stat)} \pm 0.008 \text{ (syst)},$$

 $\lambda = 0.89 \pm 0.05 \text{ (stat)} \pm 0.01 \text{ (syst)},$

Une combinaison de $B^0_s o J/\psi \pi^- \pi^+$ et $B^0_s o J/\psi K^- K^+$, donne :

$$\phi_s = -0.010 \pm 0.039,$$

 $|\lambda| = 0.957 \pm 0.017,$

Cette mesure est compatible avec le Modèle Standard mais n'exclut pas la présence de la Nouvelle Physique. Une comparaison du résulat obtenu par LHCb et ceux des autres expériences est schématisée sur la figure 1.12.

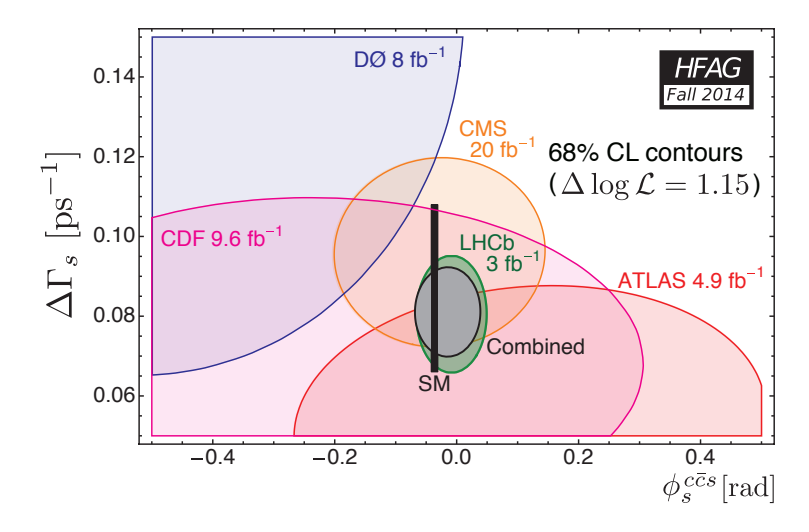


FIGURE 1.12 – Les contraintes expérimentales actuelles dans le plan ϕ_s - $\Delta\Gamma_s$ [22], incluant les derniers résultats obtenus par les collaborations Atlas [33] et CMS [34].

1.7 Résumé

517

Dans ce chapitre, nous avons introduit le Modèle Standard de la physique des particules qui autorise une violation de la symétrie CP ayant lieu dans les systèmes $B - \bar{B}$. Puis, nous avons abordé la phénoménologie des mésons B, et les différents types de violation de la symétrie CP dans ces particules. Ensuite, la phase ϕ_s violant CP dans les désintégrations $B_s^0 \to J/\psi \phi$ a été définie. La mesure de cette phase est en bon accord avec le Modèle Standard, mais la précision expérimentale actuelle laisse une place à la Nouvelle Physique. En vue des progrès à venir, il est crucial de déterminer la pollution des diagrammes pingouins, négligés jusqu'à maintenant, dans la prédiction de ϕ_s . Cela permet d'isoler les contributions du Modèle Standard et de la Nouvelle Physique. Nous expliquons dans le chapitre suivant la méthodologie de contrôle des processus pingouins dans la phase ϕ_s .

Chapitre 2

Méthodologie du contrôle de la contribution des diagrammes pingouins dans la mesure de la phase $\phi_{\scriptscriptstyle S}$

"In theory, theory and practice are the same.

In practice, they are not."

Albert Einstein

Dans ce chapitre, nous présentons la méthodologie du contrôle de la contribution des diagrammes pingouins dans la mesure de la phase ϕ_s dans le canal $B_s^0 \to J/\psi\phi$. Tout d'abord, nous décrivons la stratégie en utilisant le canal $B_s^0 \to J/\psi\bar{K}^{*0}$ dans la section 2.1 [4], et en utilisant le canal $B^0 \to J/\psi\rho^0$ dans la section 2.2 [32]. Les diagrammes à l'arbre et pingouins contribuant aux canaux $B_q \to J/\psi X$ sont illustrés sur la figure 2.1, où $q \in (u,d,s)$ et X représente un des mésons $\pi^0, \pi^+, K^+, K_s^0, \rho^0, \phi^0$ ou \bar{K}^{*0} . Dans la dernière section, nous résumons une stratégie récente qui permet de combiner les résultats dans les canaux $B_s^0 \to J/\psi\bar{K}^{*0}$ et $B^0 \to J/\psi\rho^0$ [35]. Cela nous permettra d'aborder les chapitres suivants en ayant une vision globale de l'analyse.

2.1 Canal $B_s^0 \rightarrow J/\psi \overline{K}^{*0}$

Les diagrammes de Feynman dominants le canal $B_s^0 \to J/\psi \bar{K}^{*0}$ sont illustrés sur la figure 2.2. L'avantage des désintégration $B_s^0 \to J/\psi \bar{K}^{*0}$ est que les contributions des processus pingouins ne sont pas supprimés par rapport aux processus à l'arbre. En revanche, les processus pingouins sont supprimés par un facteur λ^2 par rapport à l'arbre dans le canal $B_s^0 \to J/\psi \phi$.

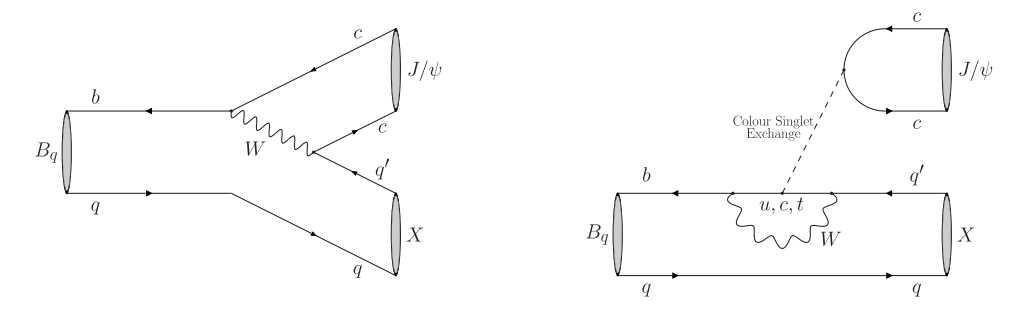


FIGURE 2.1 – Illustration des diagrammes à l'arbre (à gauche) et pingouins (à droite) qui contribuent aux canaux $B_q \to J/\psi X$ où $q \in (u,d,s), q' \in (d,s)$ et X représente un des mésons $\pi^0, \pi^+, K^+, K_s^0, \rho^0, \phi^0$ ou \bar{K}^{*0} [35]

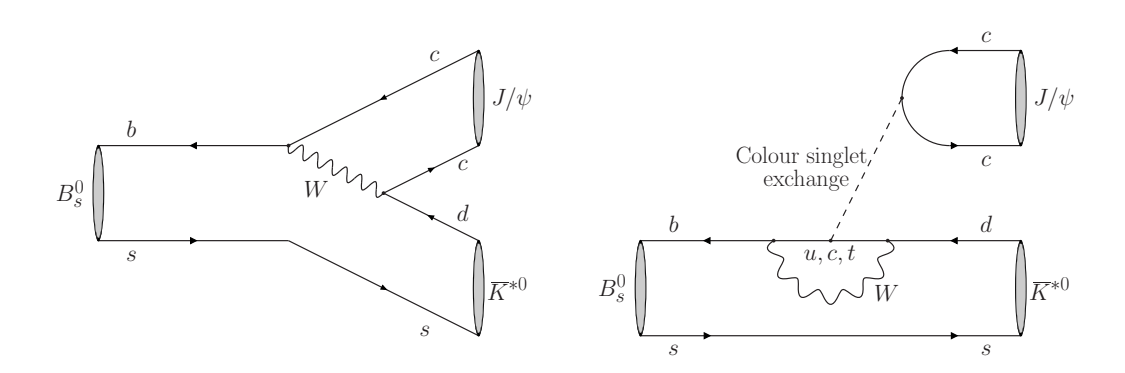


FIGURE 2.2 – Les diagrammes dominants qui contribuent à $B_s^0 \to J/\psi \bar{K}^{*0}$. Les pingouins (à droite) ne sont pas supprimés par rapport à l'arbre (à gauche).

557 2.1.1 Formalisme

En utilisant la paramétrisation de Wolfenstein (équation 1.3), nous introduisons l'amplitude de désintégration $B_s^0 \to J/\psi \phi$ suivant la polarisation linéaire i des deux mésons vecteurs J/ψ et ϕ :

$$A_i' = \left(1 - \frac{\lambda^2}{2}\right) \mathcal{A}_i' \left[1 + \varepsilon a_i' e^{i\theta_f'} e^{i\gamma}\right],\tag{2.1}$$

avec γ est l'angle du triangle d'unitarité, tel que $\gamma=(73.2^{+6.3}_{-7.0})^{\circ}$ [1], Les diagrammes pingouins d'annihilation et les diagrammes d'échange, schématisés sur la figure 2.3, sont négligés. Le terme \mathcal{A}'_i s'écrit :

$$\mathcal{A}'_{i} = \lambda^{2} |V_{cb}| \left[T_{c}^{i} + P_{c}^{i} - P_{t}^{i} \right]. \tag{2.2}$$

T désigne l'amplitude de l'arbre et P_q (q=u,c,t) est l'amplitude du processus pingouin mettant en jeu le quark q. Les paramètres pingouins sont :

$$a_{t}'e^{i\theta_{t}'} = \left(1 - \frac{\lambda^{2}}{2}\right)|V_{ub}/(\lambda V_{cb})| \left[\frac{P_{u}^{i} - P_{t}^{i}}{T_{c}^{i} + P_{c}^{i} - P_{t}^{i}}\right], \tag{2.3}$$

et les paramètres CKM [1]:

$$\lambda \simeq |V_{us}| = 0.22548^{+0.00068}_{-0.00034}, \quad \varepsilon = \frac{\lambda^2}{1 - \lambda^2} = 0.0536 \pm 0.003.$$
 (2.4)

Le paramètre a'_i représente la contribution relative des processus pingouins. La différence de phase forte entre les diagrammes à l'arbre et pingouins est paramétrée par θ'_i , tandis que la différence de phase faible est donnée par l'angle γ . Le signe devant l'angle γ change pour le processus conjugué.

On définit le taux de désintégration de $B_s^0 o J/\psi \phi$ [36]:

$$\Gamma_i(t) = |A_i'(t)|^2 + |\bar{A}_i'(t)|^2,$$
(2.5)

et la différence :

$$|A'_{i}(t)|^{2} - |\bar{A}'_{i}(t)|^{2} = 2e^{-\Gamma_{s}t} \left[A'_{i}^{CP} \cos(\Delta mt) + A'_{i}^{M} \sin(\Delta mt) \right], \qquad (2.6)$$

où $A^{'CP}$ et $A^{'M}$ désignent respectivement la violation de la symétrie CP dans la désintégration et l'interférence entre mélange et désintégration. D'après la référence [36], on obtient l'expression suivante pour l'asymétrie CP directe :

$$A_i^{'CP} = \frac{-2\varepsilon a_i' \sin \theta_i' \sin \gamma}{1 + 2\varepsilon a_i' \cos \theta_i' \cos \gamma + \varepsilon^2 a_i'^2},$$
(2.7)

et dans l'interférence entre mélange et désintégration

$$A_i^{\prime M} = \frac{\eta_i \left[\sin \phi + 2\varepsilon a_i^{\prime} \cos \theta_i^{\prime} \sin(\phi + \gamma) + \varepsilon^2 a_i^{\prime 2} \sin(\phi + 2\gamma) \right]}{1 + 2\varepsilon a_i^{\prime} \cos \theta_i^{\prime} \cos \gamma + \varepsilon^2 a_i^{\prime 2}}.$$
 (2.8)

Les contributions des diagrammes pingouins aboutissent à une déviation $\Delta \phi_{s,i}$ sur l'angle ϕ_s telle que :

$$\tan(\Delta \phi_{s,i}) = \frac{2\varepsilon a_i' \cos \theta_i' \sin \gamma + \varepsilon^2 a_i'^2 \sin 2\gamma}{1 + 2\varepsilon a_i' \cos \theta_i' \cos \gamma + \varepsilon^2 a_i'^2 \cos 2\gamma}.$$
 (2.9)

On remarque que $\Delta \phi_{s,i}$ ne dépend pas de la valeur de ϕ_s elle-même. L'analyse d'un échantillon de 3 fb⁻¹ de $B_s^0 \to J/\psi \phi$ a permis de mesurer pour la première fois les phases ϕ_s dépendantes des polarisations des produits de désintégration [3] :

$$\phi_{s,0} = -0.045 \pm 0.053 \pm 0.007 = -(2.58 \pm 3.04 \pm 0.4)^{\circ},$$
 (2.10)

$$\phi_{s,\parallel} - \phi_{s,0}^{\text{eff}} = -0.018 \pm 0.043 \pm 0.009 = -(1.03 \pm 2.46 \pm 0.52)^{\circ},$$
 (2.11)

$$\phi_{s,\perp} - \phi_{s,0}^{\text{eff}} = -0.014 \pm 0.035 \pm 0.006 = -(0.8 \pm 2.01 \pm 0.34)^{\circ}.$$
 (2.12)

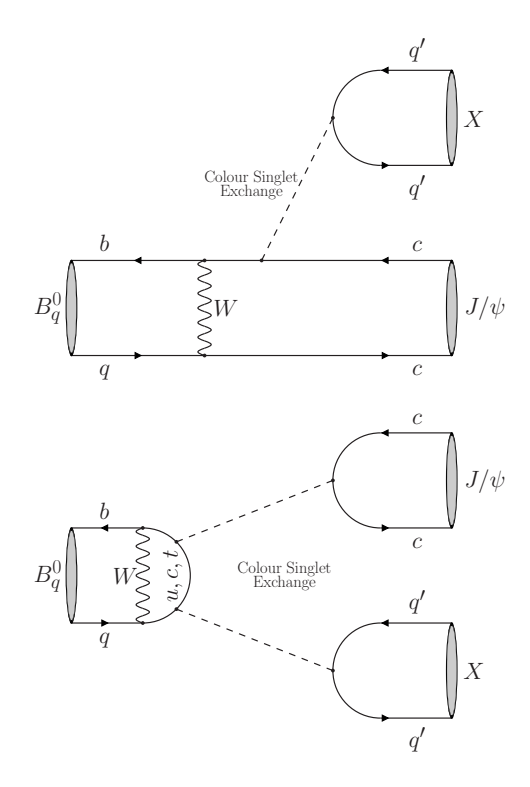


FIGURE 2.3 – Illustration des diagrammes supplémentaires contribuant à certains canaux $B \to J/\psi X$: diagrammes d'échange (en haut) et pingouins d'annihilation (en bas) [35].

Dans le canal $B_s^0 \to J/\psi \bar{K}^{*0}$, l'amplitude de désintégration s'écrit, en analogie avec la définition 2.1 :

$$A(B_s^0 \to J/\psi \overline{K}^{*0}) = -\lambda \mathcal{A}_i [1 - a_i e^{i\theta_i} e^{i\gamma}], \qquad (2.13)$$

où \mathcal{A}_i et $a_i e^{i\theta_i}$ sont les paramètres homologues de ceux introduits dans 2.2 et 2.3 pour $B_s^0 \to J/\psi\phi$. Les paramètres pingouins dans l'équation 2.13 ne sont pas multipliés par le facteur suppressif ε comme dans l'amplitude du canal $B_s^0 \to J/\psi\phi$. Le canal $B_s^0 \to J/\psi \bar{K}^{*0}$ est une transition $b \to c \bar{c} d$ alors que $B_s^0 \to J/\psi\phi$ est une transition $b \to c \bar{c} s$. Pour appliquer les résultats expérimentaux extraits de $B_s^0 \to J/\psi \bar{K}^{*0}$ au canal $B_s^0 \to J/\psi\phi$, nous utilisons l'approximation SU(3) de saveurs qui suppose que les quarks u,d et s sont identiques [26]. Cela donne :

$$a_i = a_i', \quad \theta_i = \theta_i'. \tag{2.14}$$

Ces approximations ajoutent une erreur théorique qui sera détaillée dans le chapitre 5.

2.1.2 Paramètres mesurés dans le canal $B_s^0 o J/\psi \overline{K}^{*0}$

Contrairement à $B_s^0 oup J/\psi[oup \ell^+\ell^-]\phi[oup K^+K^-]$, les états finaux de $B_s^0 oup J/\psi[oup \ell^+\ell^-]\bar{K}^{*0}[oup K^-\pi^+]$ spécifient la saveur du méson B_s^0 à l'instant de sa désintégration, i.e les charges des pions et des kaons provenant des désintégrations $K^{*0} oup K^+\pi^-$ et $\bar{K}^{*0} oup K^-\pi^+$ distinguent la saveur finale du méson B_s^0 (\bar{B}_s^0). Il n'y a donc pas de violation CP dans l'interférence entre le mélange $B_s^0 oup \bar{B}_s^0$ et la désintégration. Le canal $B_s^0 oup J/\psi \bar{K}^{*0}$ est, comme $B_s^0 oup J/\psi \phi$, une désintégration d'un pseudo-scalaire en deux mésons vecteurs (P oup VV). On a donc besoin d'une analyse angulaire des produits de désintégration afin de mesurer l'asymétrie CP directe. Nous utilisons aussi le rapport d'embranchement du canal $B_s^0 oup J/\psi \bar{K}^{*0}$ et les fractions de polarisations pour construire un paramètre dit H_i .

Paramètre H_i

Le paramètre H_i est proportionnel au rapport des fractions d'embranchements pondérées par les fractions de polarisations i:

$$H_{i} = \frac{1}{\varepsilon} \left| \frac{\mathcal{A}'_{i}}{\mathcal{A}_{i}} \right|^{2} \frac{\Phi(m_{J/\psi}/m_{B_{s}^{0}}, m_{\phi}/m_{B_{s}^{0}})}{\Phi(m_{J/\psi}/m_{B_{s}^{0}}, m_{\bar{K}^{*0}}/m_{B_{s}^{0}})} \frac{\mathcal{B}(B_{s}^{0} \to J/\psi \bar{K}^{*0})_{\text{theo}}}{\mathcal{B}(B_{s}^{0} \to J/\psi \phi)_{\text{theo}}} \frac{f_{i}}{f'_{i}},$$
(2.15)

où $\mathcal{A}_i'/\mathcal{A}_i$ sont les termes hadroniques contenant les facteurs de forme $B \to V$ ($V = K^{*0}, \phi$) (cf. équation 2.2). Les expressions des amplitudes hadroniques sont plus compliquées pour un canal $B \to VV$ que pour les canaux $B \to VP$ ou $B \to PP$. De plus, Φ désigne le facteur d'espace de phase entre deux corps :

$$\Phi(x,y) = \sqrt{(1 - (x - y)^2)(1 - (x + y)^2)}.$$
 (2.16)

Le paramètre H_i s'écrit en fonction des paramètres pingouins tel que :

$$H_i = \frac{1 - 2a_i \cos \theta_i \cos \gamma + a_i^2}{1 + 2\varepsilon a_i' \cos \theta_i' \cos \gamma + \varepsilon^2 a_i'^2}.$$
 (2.17)

Asymétrie *CP* directe

Pour déterminer expérimentalement l'asymétrie CP directe dans $B_s^0 \to J/\psi \bar{K}^{*0}$, nous mesurons le rapport

$$A_{i}^{CP} = \frac{\Gamma(\overline{B_{s}^{0}} \to J/\psi K^{*0})_{i} - \Gamma(B_{s}^{0} \to J/\psi \overline{K}^{*0})_{i}}{\Gamma(\overline{B_{s}^{0}} \to J/\psi K^{*0})_{i} + \Gamma(B_{s}^{0} \to J/\psi \overline{K}^{*0})_{i}}.$$
(2.18)

Cette asymétrie s'exprime en fonction des paramètres pingouins :

$$A_i^{CP} = \frac{-2a_i \sin \theta_i \sin \gamma}{1 - 2a_i \cos \theta_i \cos \gamma + a_i^2}.$$
 (2.19)

Nous devons prendre en compte les effets induits par les différentes sections ef-618 ficaces d'interactions entre les particules de l'état final et le détecteur, l'acceptance du détecteur et la reconstruction des évènements. En outre, la présence d'une asymétrie de production doit être prise en considération. Ces corrections sont détaillées dans le chapitre 4.

Les équations 2.15, 2.17, 2.18 et 2.19 sont utilisées pour construire un ajustement par la méthode de moindres carrés [37].

Canal $B^0 \rightarrow J/\psi \rho^0$ 2.2

Compte tenu de l'excellente précision de la première mesure de violation CP dans $B^0 \to J/\psi \rho^0$ [32], ce canal joue un rôle capital dans la connaissance des effets des diagrammes pingouins sur ϕ_s . Le canal $B^0 \to J/\psi \rho^0$ est une transition $b \to c\bar{c}d$. Il s'agit d'une désintégration $P \rightarrow VV$ avec un état final propre de CP. La mesure de la violation CP dans l'interférence est possible via une analyse angulaire des produits de désintégration $J/\psi \to \ell^+\ell^-$ et $\rho^0 \to \pi^+\pi^-$, comme dans $B_s^0 \to J/\psi \phi$.

LHCb a récemment publié la premier résultat expérimental de la violation CP dans le canal $B^0 \rightarrow J/\psi \rho^0$ [32]:

$$(A^{CP})_{\psi\rho} \equiv C_{J/\psi\rho} = -0.063 \pm 0.056^{+0.019}_{-0.014},$$
 (2.20)

$$(A^{CP})_{\psi\rho} \equiv C_{J/\psi\rho} = -0.063 \pm 0.056^{+0.019}_{-0.014},$$

$$-(A^{M})_{\psi\rho} \equiv S_{J/\psi\rho} = -0.66^{+0.13}_{-0.12}^{+0.09}_{-0.03}.$$
(2.20)

 $(A^{CP})_{\psi\rho}$ et $(A^M)_{\psi\rho}$ sont les paramètres de l'asymétrie CP dans $B^0 \to J/\psi\rho^0$, homologues à ceux introduites dans 2.7 et 2.8.

La phase violant CP dans ce canal est donnée en fonction des différents états de polarisations de l'état final [32]:

$$\phi_{d,0}^{\text{eff}} = (44.1 \pm 10.2^{+3.0}_{-6.9})^{\circ},$$
 (2.22)

$$\phi_{d,0}^{\text{eff}} = (44.1 \pm 10.2^{+3.0}_{-6.9})^{\circ}, \qquad (2.22)$$

$$\phi_{d,\parallel}^{\text{eff}} - \phi_{d,0}^{\text{eff}} = -(0.8 \pm 6.5^{+1.9}_{-1.3})^{\circ}, \qquad (2.23)$$

$$\phi_{d,\perp}^{\text{eff}} - \phi_{d,0}^{\text{eff}} = -(3.6 \pm 7.2^{+2.0}_{-1.})^{\circ}.$$
 (2.24)

Sachant que $\phi_{d,i}^{\mathrm{eff}}=\phi_d+\Delta\,\phi_{d,i}$. Ces résultats montrent que la phase ϕ_d ne dépend pas de l'état de polarisation i, dans les incertitudes actuelles.

Afin de déterminer les paramètres pingouins a et θ dans le canal $B^0 \to J/\psi \rho^0$, les topologies d'ordre supérieur sont négligées (cf. figure 2.3). De plus, la différence entre le méson ρ^0 qui est un état octet de $SU(3)_F$ et le ϕ qui est un état singlet, n'est pas prise en compte. Les résultats sont :

$$a_{\psi\rho} = 0.035^{+0.082}_{-0.035}$$
 , $\theta_{\psi\rho} = (285^{+69}_{-95})^{\circ}$.

Ces paramètres pingouins sont utilisés pour calculer $\Delta \phi_d^{\ \psi\rho}$ et $\Delta \phi_s$:

$$\Delta \phi_d^{\psi \rho} = -(1.5^{+12}_{-10})^{\circ}, \tag{2.25}$$

$$\Delta \phi_s = (0.05 \pm 0.56)^{\circ}. \tag{2.26}$$

La déviation $\Delta \phi_s$ est comprise dans l'intervalle $[-1.05^{\circ}, 1.18^{\circ}]$ à 95% de niveau de confiance (C.L.) [32].

Ces résultats ont été affinés dans l'article [35], en prenant en compte l'erreur expérimentale sur ϕ_d , ce qui donne les valeurs suivantes des paramètres pingouins :

$$a_{\psi\rho} = 0.037^{+0.097}_{-0.037}, \quad \theta_{\psi\rho} = -(67^{+281}_{-141})^{\circ},$$

Donc:

644

646

647

$$\Delta \phi_d^{\psi \rho} = -(1.5^{+12}_{-10})^{\circ}, \tag{2.27}$$

$$\Delta \phi_s = \left(0.08^{+0.56}_{-0.72}(\text{stat})^{+0.15}_{-0.13}(SU(3))\right)^{\circ}. \tag{2.28}$$

Les termes hadroniques de SU(3) intervenant dans le paramètre H_i , définie dans l'équation 2.15, peuvent être calculés :

$$\left| \frac{\mathcal{A}'_{0}(B^{0}_{s} \to J/\psi \phi)}{\mathcal{A}_{0}(B^{0} \to J/\psi \rho^{0})} \right| = 1.06 \pm 0.07(\text{stat}) \pm 0.04(a_{0}, \theta_{0}),
\left| \frac{\mathcal{A}'_{\parallel}(B^{0}_{s} \to J/\psi \phi)}{\mathcal{A}_{\parallel}(B^{0} \to J/\psi \rho^{0})} \right| = 1.08 \pm 0.08(\text{stat}) \pm 0.05(a_{\parallel}, \theta_{\parallel}),
\left| \frac{\mathcal{A}'_{\perp}(B^{0}_{s} \to J/\psi \rho^{0})}{\mathcal{A}_{\perp}(B^{0} \to J/\psi \rho^{0})} \right| = 1.24 \pm 0.15(\text{stat}) \pm 0.06(a_{\perp}, \theta_{\perp}).$$
(2.29)

2.3 Ajustement combiné des paramètres pingouins

dans
$$B_s^0 \to J/\psi \bar{K}^{*0}$$
 et $B^0 \to J/\psi \rho^0$

Le canal $B^0_s \to J/\psi \bar{K}^{*0}$ est semblable au canal $B^0 \to J/\psi \rho^0$, si :

- le quark spectateur s est remplacé par un quark d via la symétrie SU(3) de saveur,
 - les diagrammes d'échange et les diagrammes pingouins d'annihilation et dans $B^0 \to J/\psi \rho^0$ sont négligés (cf. figure 2.3).

Par conséquent, les paramètres des diagrammes pingouins (a,θ) sont égaux dans $B_s^0 \to J/\psi \bar{K}^{*0}$ et $B^0 \to J/\psi \rho^0$. De plus, les asymétries CP directes dans $B_s^0 \to J/\psi \bar{K}^{*0}$ sont supposées être égales à celles dans $B^0 \to J/\psi \rho^0$:

$$(A^{CP})_0 = -0.094 \pm 0.071,$$
 (2.30)

$$(A^{CP})_{\parallel} = -0.12 \pm 0.12,$$
 (2.31)

$$(A^{CP})_{\perp} = 0.03 \pm 0.22.$$
 (2.32)

Contrairement à l'analyse $B^0 \to J/\psi \rho^0$, dans laquelle la violation de CP dans l'interférence joue un rôle clé, l'extraction des paramètres pingouins dans $B^0_s \to J/\psi \bar{K}^{*0}$ est affectée par des incertitudes hadroniques qui entrent dans les facteurs H_i [35]. La combinaison des résultats obtenus dans $B^0_s \to J/\psi \bar{K}^{*0}$ et $B^0 \to J/\psi \rho^0$ permet de déterminer expérimentalement les amplitudes hadroniques $\left(\frac{\mathcal{A}_i'}{\mathcal{A}_i}\right)$ en supposant que :

$$\left| \frac{\mathcal{A}_i'(B_s^0 \to J/\psi \phi)}{\mathcal{A}_i(B_s^0 \to J/\psi \bar{K}^{*0})} \right| = \left| \frac{\mathcal{A}_i'(B_s^0 \to J/\psi \phi)}{\mathcal{A}_i(B^0 \to J/\psi \rho^0)} \right|. \tag{2.33}$$

Cette méthode, représentée sur la figure 2.4, permet de réduire les incertitudes théoriques.

2.4 Résumé

Dans ce chapitre, nous avons présenté la méthodologie de mesure des effets des processus pingouins sous-dominants tel que proposé dans [4]. Pour estimer ces ef-674 fets, il faut d'abord sélectionner des candidats $B_s^0 \to J/\psi \bar{K}^{*0}$. Avec cet échantillon, nous mesurons le rapport d'embranchement de $B^0_s o J/\psi ar K^{*0}$ et les trois amplitudes de polarisation pour déterminer H_i . De plus, l'échantillon $B_s^0 \to J/\psi \overline{K}^{*0}$ doit 677 être divisé suivant la charge du kaon dans l'état final pour déterminer l'asymétrie CP directe. Les équations 2.15, 2.17, 2.19 et 2.18 sont utilisées par la méthode de moindres carrés afin d'extraire les deux inconnus : a et θ , qui sont les paramètres que l'on cherche à déterminer, pour estimer $\Delta \phi_s$ donnée par l'équation 5.22. Dans le chapitre suivant, nous présentons le détecteur LHCb qui a servi à effectuer les mesures présentées dans le chapitre 4. Au delà du travail réalisé dans cette thèse, l'étude combinée de plusieurs canaux devrait permettre à long terme de contraindre non seulement les diagrammes pingouins mais également les processus d'ordre supérieur comme l'échange ainsi que les diagrammes pingouins d'annihilation (cf.

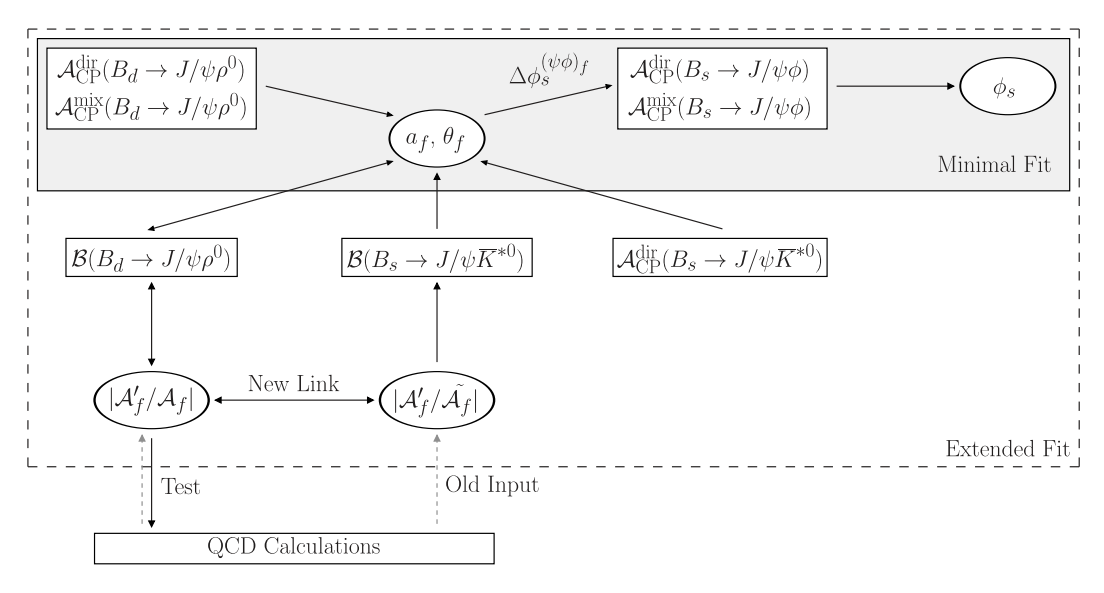


FIGURE 2.4 – Illustration d'une analyse combinée des canaux $B_s^0 \to J/\psi \bar{K}^{*0}$, $B^0 \to J/\psi \rho^0$ et $B_s^0 \to J/\psi \phi$ permettant de déterminer simultanément les paramètres des diagrammes pingouins et le rapport des amplitudes hadroniques [35]

.

figure 2.3). Les canaux clés dans ce travail seront $B^0_s o J/\psi \phi$, $B^0(B^0_s) o J/\psi \rho^0$, $B^0_s o J/\psi \bar K^{*0}$, $B^0(B^0_s) o J/\psi K^0_s$ et $B^0 o J/\psi \pi^0$ [35].

... Chapitre 3

Le détecteur LHCb au LHC

"Experience without theory is blind, but theory without experience is mere intellectual play." Immanuel Kant

Ce chapitre présente le cadre expérimental dans lequel cette thèse s'est déroulée. La première section est consacrée au grand collisionneur de hadrons, le LHC [38]. Puis, nous présentons de manière générale le détecteur LHCb avant de détailler ses différents sous-détecteurs. Ensuite, nous abordons le système de déclenchement du détecteur LHCb. Dans la dernière section, nous introduisons succinctement la simulation et les logiciels d'analyse des données. Ce chapitre est basé sur une déscription plus détaillée du détecteur dans [39].

3.1 Grand collisionneur de hadrons : LHC

En 1984, le CERN lance le projet du LHC et prépare le fonctionnement du grand collisionneur electron-positron (LEP)¹. Le conseil du CERN approuve le LHC en 1994, et les quatre grandes expériences LHCb, ATLAS, CMS et ALICE [40, 41, 42] entre 1996 et 1998. Fin 2009, alors que les deux usines à *B*, BaBar et Belle, ont terminé la phase de prise de données, les premières paires de protons entrent en collision au LHC.

Les premières collisions ont eu lieu à une énergie de 900 GeV. Depuis mars 2010 et durant l'année 2011, les collisions ont lieu avec une énergie dans le centre de masse de 7 TeV. Cette dernière a augmenté pour atteindre 8 TeV en 2012 et 13 TeV en 2015.

^{1.} Le LEP fonctionnait de 1989 à 2000.

La chaîne d'accélération du LHC

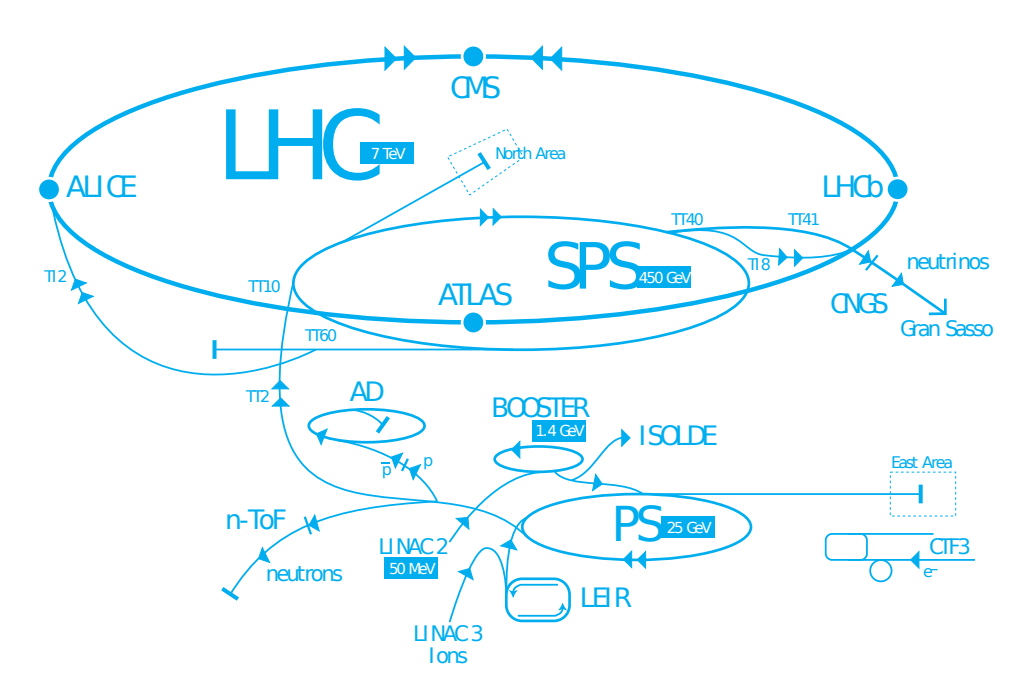


FIGURE 3.1 – Ensemble de la chaîne d'accélération des protons au LHC.

Les éléments clés de ce programme d'exploration sont l'énergie accessible dans le centre de masse et le taux de collision. Les protons sont les hadrons les plus 715 appropriés pour atteindre une haute luminosité, et une énergie au dessus de TeV. Le 716 LHC, installé dans le tunnel du LEP, est un collisionneur proton-proton. Il permet également de réaliser des collisions entre ions lourds dans le but d'étudier le plasma 718 quarks-gluons. Avant d'être accélérés et d'entrer en collision, les protons sont isolés 719 en appliquant un champ électrique sur un gaz d'hydrogène. Ces protons sont ensuite accélérés jusqu'à une énergie de 750 keV par un quadripôle radiofréquence. Puis un LINAC (LINear ACcelerator) amène les protons à une énergie de 50 MeV, avant que le PSB (Proton Synchrotron Booster) les porte à 1.4 GeV. Le PS (Proton Synchroton) les regroupe alors en paquet d'environ 10¹¹ protons et les accélère jusqu'à 26 GeV. Ensuite le SPS (Super Proton Synchroton) amène ces faisceaux à une énergie de 450 GeV, avant l'étape finale : l'injection dans le LHC. Chaque tour dans le LHC apporte une énergie de 485 keV. Il faut alors une dizaine de minutes pour atteindre l'énergie de 3.5 TeV. La chaîne d'accélération est représentée sur la figure 3.1. Une fois les faisceaux stables, les collisions débutent. Un schéma de collision est donné par la figure 3.2.

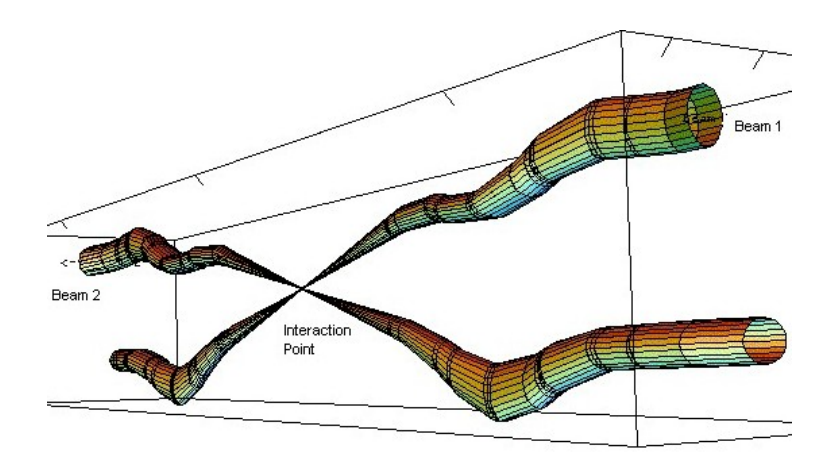


FIGURE 3.2 – Deux faisceaux de protons autour du point d'interaction.

3.2 Présentation générale du détecteur LHCb

Pendant longtemps, les mesures de précision dans le domaine de la physique du B se produisaient principalement auprès des collisionneurs e^+e^- . Toutefois, le Tevatron a prouvé que des mesures précises sont également possibles dans un environnement hadronique et, encore plus, complémentaires à celles effectuées dans les usines à B. En effet, les deux environnements représentent deux compromis différents entre la production des mésons B et la pureté du signal. Le principal avantage de LHCb par rapport aux usines à B est la possibilité d'étudier tous les types de hadrons b, notamment le méson B_s^0 . De plus, les collisions hadroniques permettent de produire de grands échantillons dans de nombreux canaux. Cependant, la pureté en paires $b\bar{b}$ est beaucoup plus faible dans l'environnement du LHC. Elle passe d'environ un quart pour les usines à B, à $\sim 0.6\%$ au LHC. De plus la grande multiplicité des traces dans l'environnement hadronique et le fait que ces traces soient produites dans un petit angle, rendent les analyses plus compliquées, notamment pour rejeter efficacement les bruits de fond.

$ar{b}$ 3.2.1 Production des paires de quarks $bar{b}$

Dans l'intervalle d'énergie au LHC, les quarks b sont principalement produits en paire via des collisions inélastiques pp. Les diagrammes de Feynman prédominants, issus de la simulation à $\sqrt{s} = 14$ TeV, sont présentés sur la figure 3.3. Les paires $b\bar{b}$ sont majoritairement créées par excitation des saveurs (57 %), où deux gluons de la mer de quarks de chaque proton interagissent et produisent une paire $b\bar{b}$. Environ 27% des paires $b\bar{b}$ sont issues de la séparation des gluons, c'est-à-dire la fusion de deux gluons en un seul, qui à son tour produira une paire $b\bar{b}$. Le restant des cas

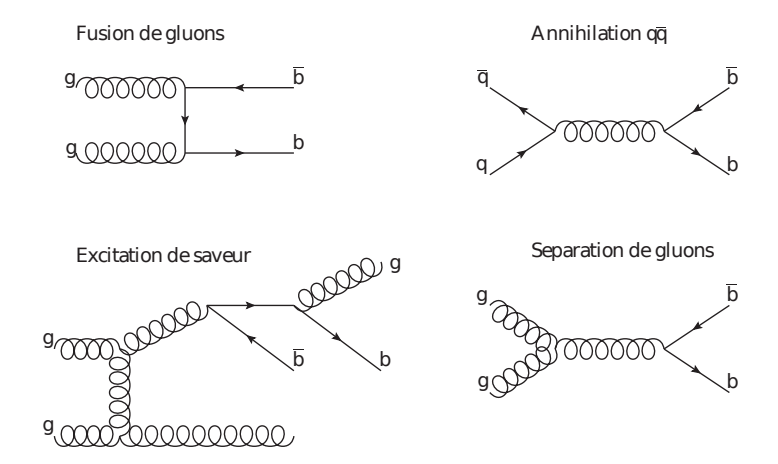


FIGURE 3.3 – Production de paires $b\bar{b}$ au LHC à $\sqrt{s} = 14 \text{ TeV}$.

correspond à la création de paires $b\bar{b}$ soit par un processus de fusion des gluons soit par une annihilation quark-antiquark. La section efficace de la production des quarks $b\bar{b}$ dépend de l'énergie dans le centre de masse comme montré sur la figure 3.4. Elle a été mesurée par LHCb à une énergie de 7 TeV au centre de masse, en utilisant les mésons J/ψ résultants de la désintégration des hadrons b [44]:

$$\sigma_{b\bar{b}} = \sigma_{pp \to b\bar{b}X} = (288 \pm 4 \pm 48) \mu b.$$
 (3.1)

La première incertitude est statistique, la deuxième est systématique. Cette dernière est dominée par l'incertitude sur l'efficacité du trajectographe et la détermination de luminosité.

3.2.2 Détecteur dédié à la physique des hadrons B

Le détecteur LHCb est un spectromètre orienté vers l'avant, comme montré sur la figure 3.5. L'axe z est défini dans la direction de l'axe de faisceaux, l'axe y représente la direction verticale. L'acceptance géométrique du détecteur varie dans un intervalle de 10 à 300 mrad dans le plan x-z, et de 10 à 250 mrad dans le plan y-z. Environ 25% des paires $b\bar{b}$ sont produites dans l'acceptance géométrique du détecteur LHCb. Comme il est improbable que les deux gluons ou quarks produisant la paire $b\bar{b}$ portent la même fraction de l'impulsion de proton, les paires $b\bar{b}$ sont boostées dans la direction de l'axe du faisceau. Par conséquent, elles sont principalement produites vers l'avant ou l'arrière, comme schématisé sur la figure. 3.6, où la répartition de l'angle entre le quark $b(\bar{b})$ et l'axe du faisceau z est illustrée, en utilisant des évènements simulés à $\sqrt{s} = 7$ TeV. Dans la section suivante, nous présentons l'ensemble des sous-détecteurs constituant LHCb. Autour de la région de l'interaction

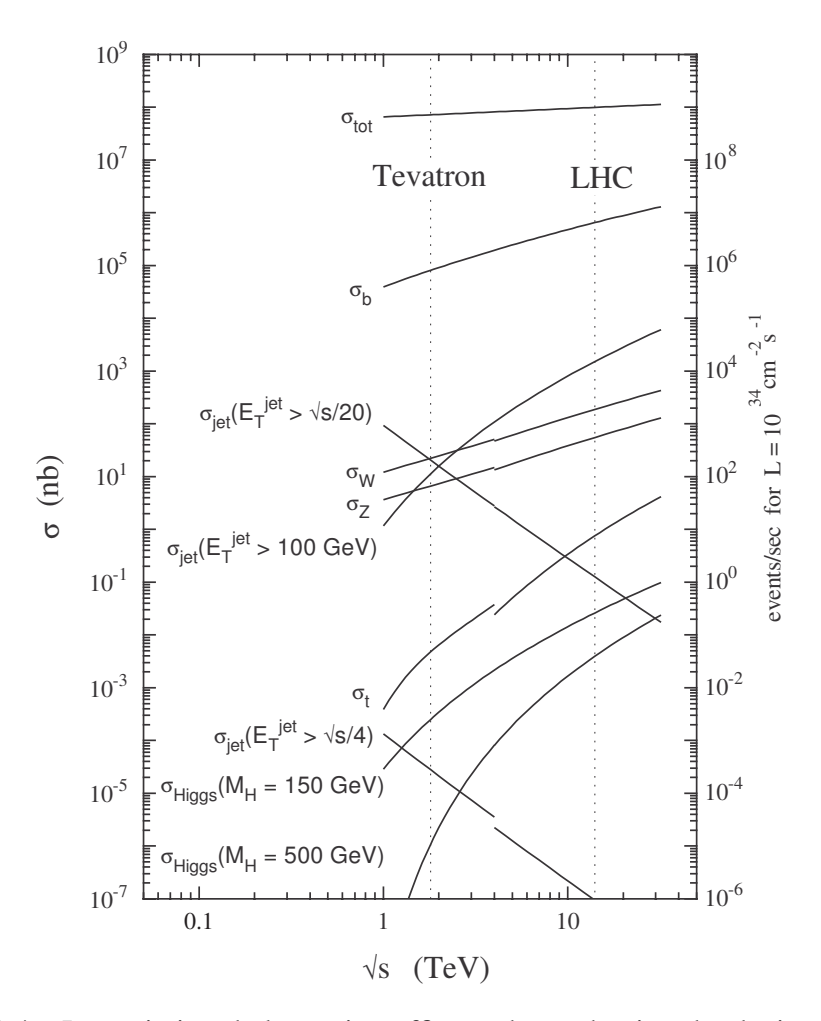


FIGURE 3.4 - La variation de la section efficace de production de plusieurs processus en fonction de l'énergie pp au centre de masse [43].

pp, le détecteur de vertex (VELO) permet de reconstruire les vertex de production et de désintégration des mésons *B* [45]. Il est suivi des stations (TT, T1, T2 et T3) conçues pour reconstruire les trajectoires et mesurer les impulsions des particules chargées traversant le détecteur. Ces parties sont détaillées dans la section 3.3. Les deux détecteurs à effet Cherenkov (RICH1 et RICH2) sont primordiales afin de distinguer les kaons, pions et de protons. À la suite du RICH2, se trouve le scintillateur (SPD) suivi par les calorimètres électromagnétique (ECAL) et hadronique (HCAL). En outre, l'expérience dispose de cinq sous-détecteurs dédiés aux muons (M1-M5), la première station à muons M1 est placée avant et les quatre autres après le calorimètre. Les sous-détecteurs identifiant les particules sont abordés dans la section 3.4. Enfin, le système de déclenchement, présenté dans la section 3.5, sélectionne les évènements importants pour être ensuite analysés.

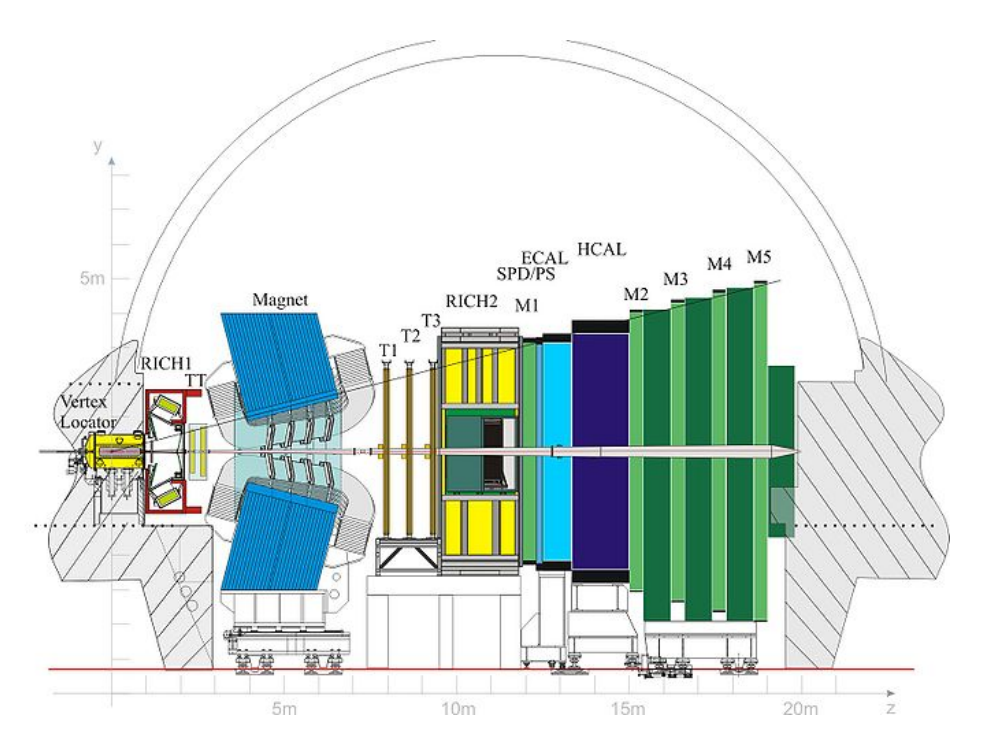


FIGURE 3.5 – Le détecteur LHCb.

75 3.3 Trajectographe du détecteur LHCb

Le trajectographe permet de mesurer la trajectoire, la charge et l'impulsion des particules chargées. Le trajectographe de LHCb comprend un détecteur de vertex proche du point d'interaction, la station TT [48], un aimant dipolaire et, en aval, les trois stations T1, T2, T3. Ces dernières sont constituées de deux parties. Un détecteur interne (IT) et un détecteur externe (OT) [49] qui utilisent des systèmes de détection différents. L'aimant dipolaire génère un champ magnétique intégré de 4 T.m qui courbe la trajectoire des particules chargées. Il n'est pas supra-conducteur, ce qui permet de diminuer les incertitudes systématiques relatives aux différences droite-gauche en inversant régulièrement sa polarité. Les différents sous-systèmes du trajectographe couvrent l'acceptance du détecteur LHCb.

3.3.1 Détecteur de vertex

Les vertex de production et de désintégration d'un méson *B* sont utilisés afin de sélectionner les évènements de signal dans plusieurs analyses physiques. Dans LHCb, les mésons *B* volent en moyenne 1 cm à partir du vertex primaire avant de se désintégrer. Pour protéger le VELO des radiations lorsque les faisceaux ne sont pas stables, il se rétracte jusqu'à une distance de 30 mm. Le VELO est constitué de

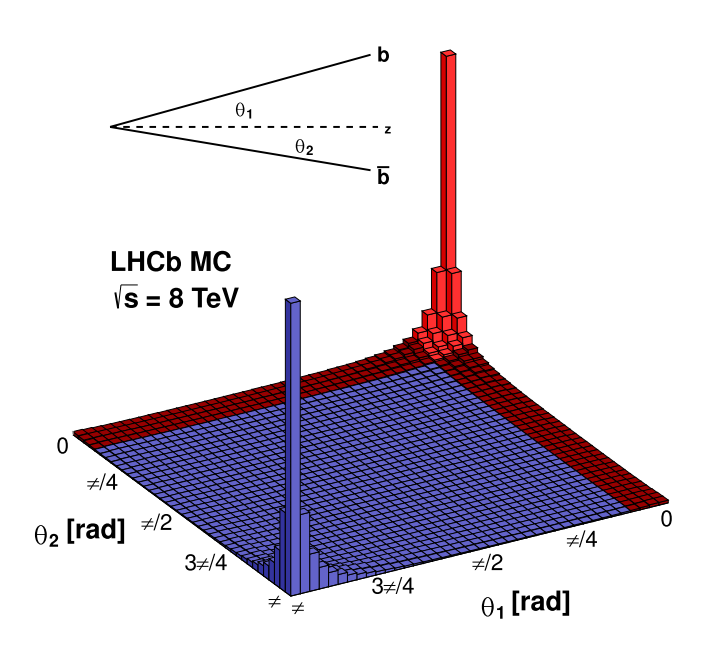


FIGURE 3.6 – La corrélation angulaire entre les quarks b et \bar{b} produits au LHC, selon des données simulées [46, 47]

deux hémisphères, composés chacun de 21 stations de silicium, disposés sur environ 1 m le long de l'axe des faisceaux, comme modélisé par la figure 3.7. Chaque station comporte des modules dits en r et ϕ donnant respectivement les coordonnées cylindriques r et ϕ des traces. Cette base, schématisée par la figure 3.8, permet une reconstruction rapide et efficace du paramètre d'impact des traces utilisées par le système de déclenchement du haut niveau. Pour améliorer la résolution spatiale des vertex primaires, l'espacement entre les pistes de détection augmente le long de l'axe des faisceaux. Le VELO contient deux modules r supplémentaires, placés en amont du point de collision proton-proton, afin de mesurer le nombre de collisions par croisement de faisceaux.

2 3.3.2 Stations en silicium

Les stations en silicium TT et T1, T2, T3 permettent de reconstruire les trajectoires des particules chargées. Les parties internes de T1, T2 et T3 sont désignées par IT (Inner Tracker). Les stations TT et IT sont constituées de quatre couches de micro-pistes de silicium pour gérer la grande densité de traces et résister aux radia-

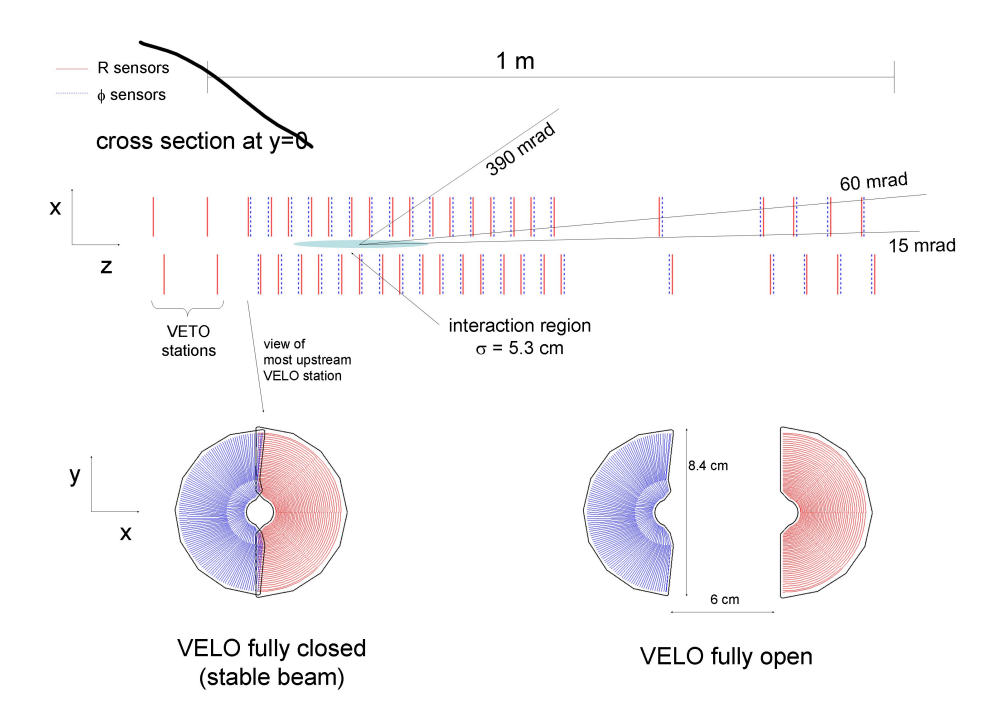


FIGURE 3.7 – Schéma du VELO. La partie supérieure montre les différentes stations lorsque le VELO est entièrement fermé dans le plan (x,z) avec y=0. Les premières stations sont celles du compteur d'empilement (pile-up). Les 21 stations suivantes sont illustrées avec un espacement qui grandit en s'éloignant de la zone d'interaction. Dans la partie inférieure de la figure, le VELO est modélisé en étant fermé à gauche, et ouvert à droite.

tions. Les pistes sont distantes de $200 \, \mu m$. La première et la quatrième couches sont placées verticalement, tandis que la seconde et la troisième forment un angle de \pm 5 degrés avec la verticale. Cette configuration est représentée sur la figure 3.9. Elle offre une résolution spatiale de $50 \, \mu m$ sur la position et présente plusieurs avantages : reconstruction des traces en trois dimensions, réduction de temps de calcul, meilleure efficacité de l'algorithme de reconstruction...

3.3.3 Trajectographe externe

814

815

Le trajectographe est complété par les stations externes dites OT de T1, T2 et T3 [50]. Seule la région interne du trajectographe, où la densité des traces est plus élevée, est fabriquée en utilisant la technologie silicium qui est précise mais chère. La partie externe est formée de tubes à dérive comportant 4 couches. Celles-ci présentent la même géométrie que IT, soit successivement : verticale, +5 degrés, -5

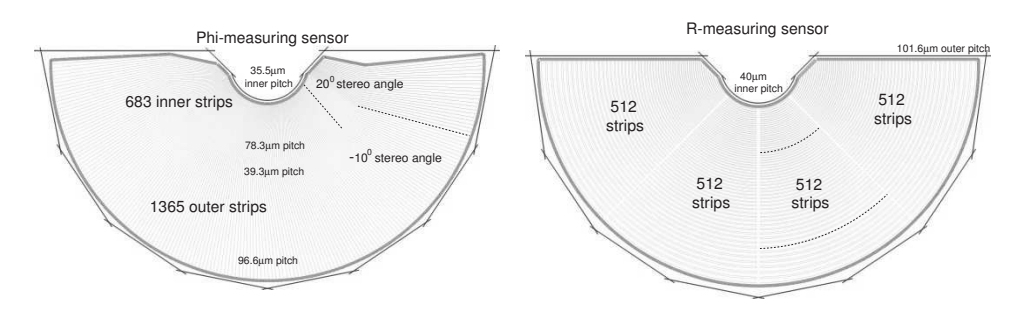


FIGURE 3.8 – Schéma de la géométrie du VELO en ϕ (à droite) et r (à gauche).

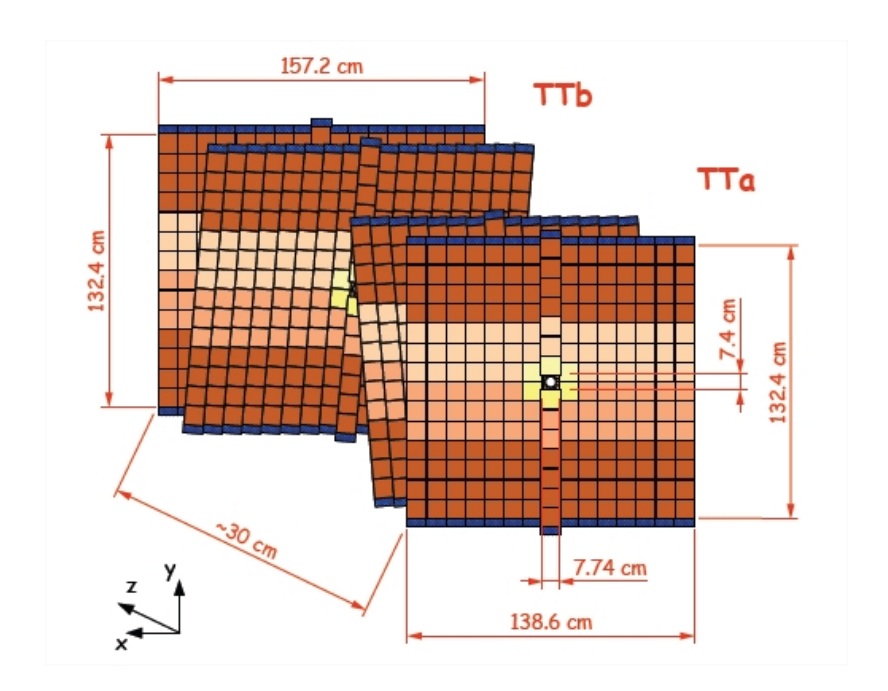


FIGURE 3.9 – Positionnement des différentes couches des stations TT du trajectographe.

degrés, verticale. Chaque couche est composée de plusieurs modules de largeur 34 cm, contenant deux épaisseurs de tubes en quinconce. Chaque tube est un cylindre en kapton et aluminium au centre duquel se situe un fil d'anode métallique.

Ils sont remplis avec un mélange d'argon à 70% et de CO_2 à 30%, comme schématisé sur la figure 3.10. Les électrons, ionisés par les particule chargées traversant ces stations, sont collectés en un temps de dérive inférieur à la durée entre deux croisements de faisceaux au LHC, soit 25 ns. La résolution sur la coordonnée de dérive est inférieure à 200 μ m.

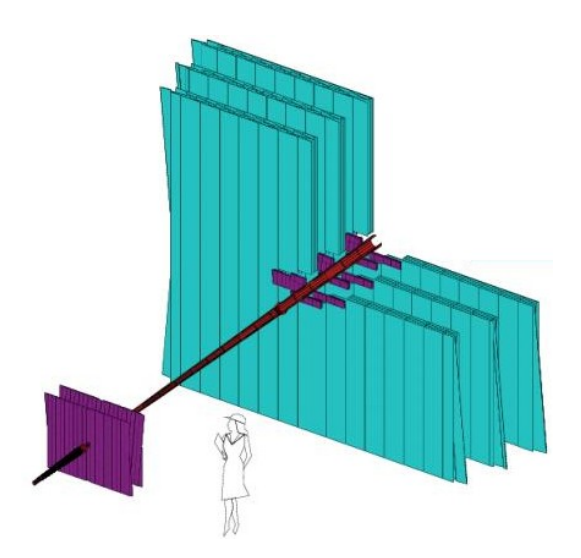


FIGURE 3.10 – Les stations TT et T1-T3 du trajectographe. Le violet indique la partie fabriquée en silicium, alors que la partie bleue-verte représente l'utilisation des tubes en quinconce.

3.3.4 Algorithme de reconstruction des traces

Tous les impacts dans le trajectographe sont fournis à un algorithme afin de reconstruire les trajectoires des particules [51]. L'algorithme de reconstruction recherche d'abord les graines de traces, laissées par les particules chargées dans le VELO et la station TT. Le champ magnétique de l'aimant ne change presque pas la trajectoire des particules chargées dans le VELO. Les traces détectées dans le VELO sont extrapolées pour déterminer les trajectoires dans la station TT, puis dans les stations T1, T2 et T3. La deuxième étape consiste à évaluer la qualité des traces trouvées. Les traces sont ajustées par la technique du filtre de Kalman. Ce dernier renvoie, pour chaque trace, le paramètre χ^2 pour qualifier la qualité de la trace. Les traces ayant la meilleure impulsion et meilleure résolution sur le paramètre d'impact sont utilisées dans les analyses physiques. Ce système dispose d'une résolution en impulsion, σ_p/p , qui va de 0.4% à 5 GeV/c jusqu'à 0.6% à 100 GeV/c et une résolution sur le paramètre d'impact d'environ $15 \,\mu$ m pour les traces de grandes impulsions transverses, à savoir de 5 à 100 GeV/c.

3.4 Identification des particules dans LHCb

Plusieurs sous-détecteurs sont utilisés afin d'identifier les particules produites des désintégrations des mésons *B* comme illustré sur la figure 3.11. Dans la suite, nous détaillons les détecteurs à effet Cherenkov [52], les calorimètres [53] puis les

détecteurs à muons [54].

850

3.4.1 Détecteurs à effet Cherenkov

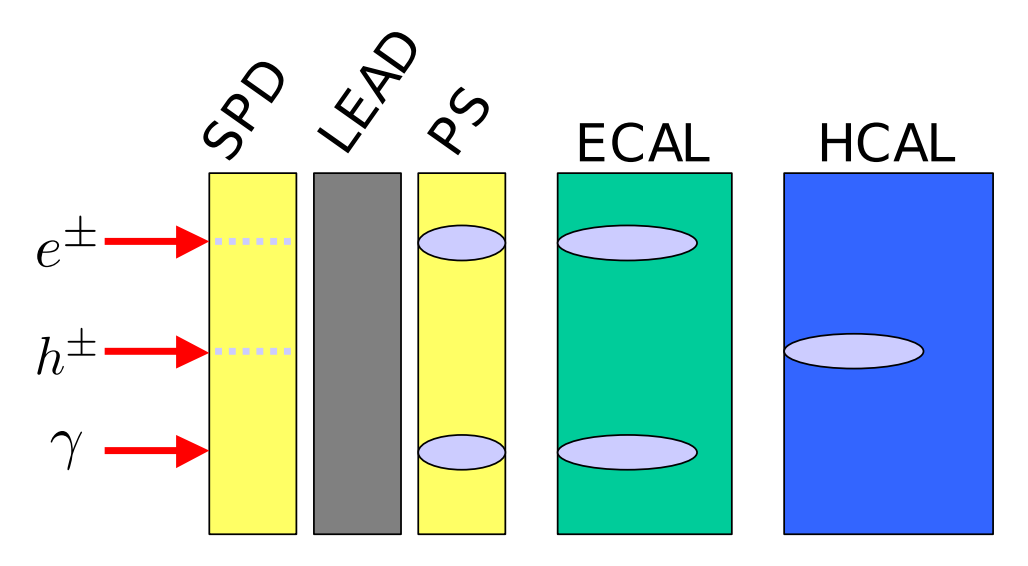


FIGURE 3.11 – L'énergie déposée dans les différentes parties du calorimètre par les électrons, hadrons chargés et photons. Les lignes pointillées représentent le dépôt d'énergie, les ellipses indiquent les gerbes.

LHCb dispose de deux détecteurs à effet Cherenkov qui servent à identifier les particules chargées. L'effet Cherenkov se produit quand une particule traverse un milieu avec une vitesse supérieure à la vitesse de la lumière dans ce milieu. La particule relativiste émet une lumière sous forme d'un cône dont l'angle d'ouverture θ_c dépend de la vitesse de cette particule comme illustré par la figure 3.12. En mesurant l'angle θ_c , on peut déterminer la vitesse de la particule. Connaissant son impulsion grâce au trajectographe, on en déduit sa masse. La particule est alors identifiée. Le premier RICH est placé avant l'aimant, entre le détecteur de vertex et la station TT du trajectographe. Les particules ayant une faible impulsion $(1-60\,\text{GeV}/c)$ sont identifiées par le premier RICH, grâce à de l'aérogel et à du gaz C₄F₁₀. Le second RICH est installé entre l'aimant et les calorimètres. Il utilise le CF₄ comme milieu radiateur afin de détecter les particules de hautes impulsions, soient entre 15 et 100 GeV/c. Des miroirs sphériques réfléchissent les photons Cherenkov vers des miroirs plans. Ces photons sont ensuite collectés par des photomultiplicateurs hybrides (HPD), qui disposent d'une photocathode pour les convertir en électrons, comme schématisé sur la figure 3.13. Ces sous-détecteurs assurent une efficacité typique d'identification de kaons de 95%, ainsi qu'une probabilité de mauvaise identification des kaons est de 5%.

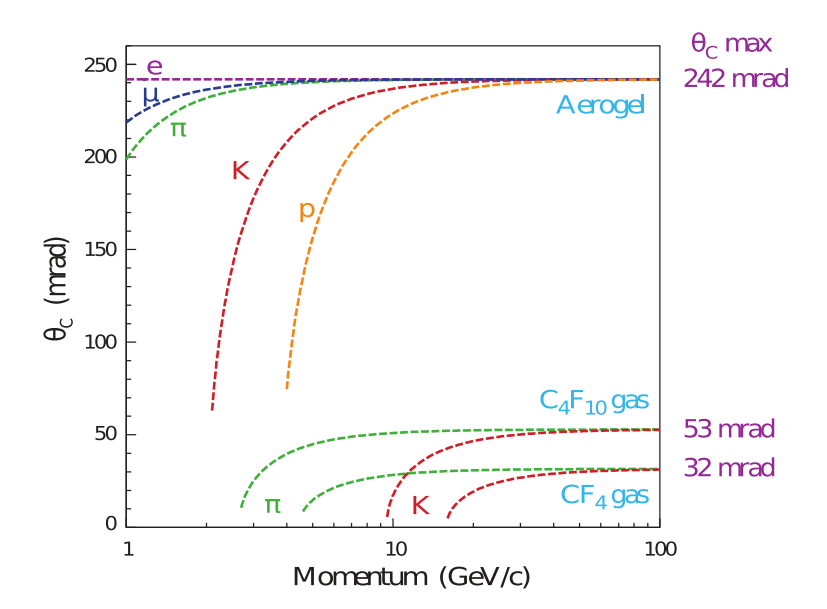


FIGURE 3.12 – L'angle de l'effet Cherenkov en fonction de l'impulsion de différentes particules dans les milieux radiateurs de RICH1 et RICH2 [55].

3.4.2 Calorimètres

Les calorimètres contribuent à l'identification des électrons, photons et hadrons tout en mesurant leur énergie et position. Les quatre sous-détecteurs destinés à la calorimétrie suivent le même principe de base : après avoir traversé le second détecteur à effet Cherenkov et la première station à muons M1, les particules franchissent le scintillateur SPD. Ce dernier différencie les particules chargées des particules neutres. Si les particules sont électromagnétiques, elles engendrent une gerbe dans une plaque de plomb de 12 mm d'épaisseur, placée après le SPD. Le détecteur de pied de gerbe PS permet ensuite d'identifier la nature hadronique ou électromagnétique de la particule suivant la forme de la gerbe déposée dans la plaque de plomb. Les particules arrivent ensuite dans le calorimètre électromagnétique (ECAL) puis dans le calorimètre hadronique (HCAL). Les deux sont formés d'éléments denses tels que le plomb ou le fer. Les particules y créent des gerbes qui sont détectées par des scintillateurs. Ceux-ci émettent des photons transmis à des photomultiplicateurs. Le ECAL contient les gerbes électromagnétiques, avec une résolution de :

$$\frac{\sigma(E)}{E} = \frac{10\%}{\sqrt{E}} \oplus 1.5\%,$$

où \oplus désigne une somme en quadrature.

Les gerbes hadroniques sont arrêtées dans le HCAL, sa résolution est donnée par :

$$\frac{\sigma(E)}{E} = \frac{80\%}{\sqrt{E}} \oplus 10\%,$$

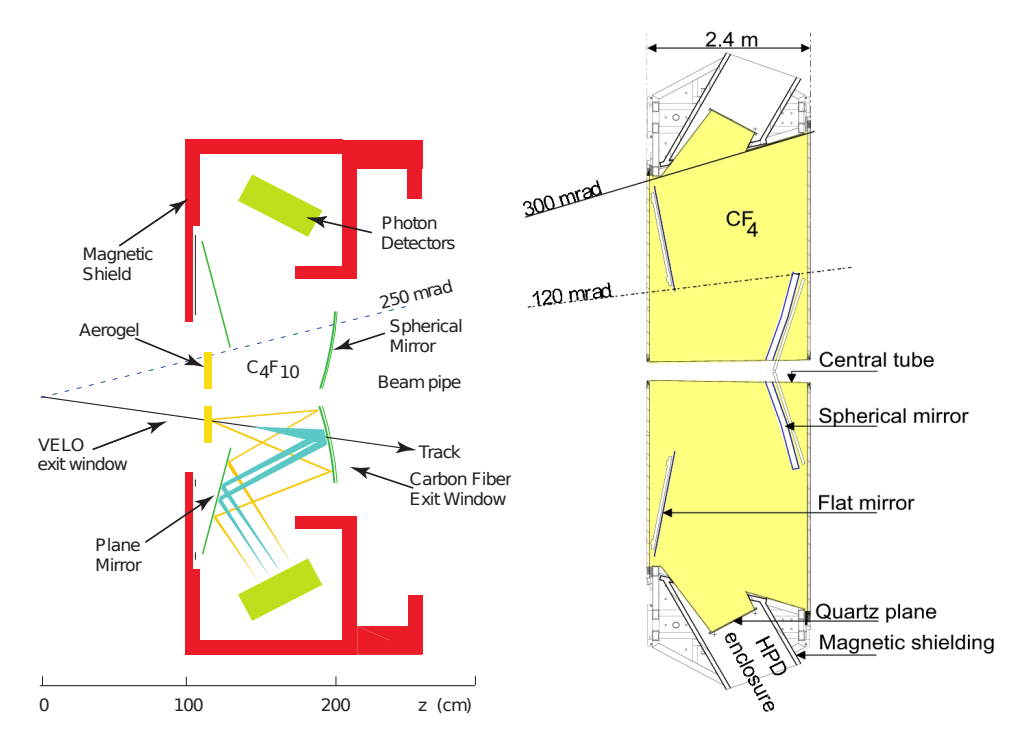


FIGURE 3.13 – Le fonctionnement du détecteur à effet Cherenkov RICH1 est illustré à gauche, celui du RICH2 à droite.

Les électrons sont identifiés avec une efficacité typique de 90%, la probabilité d'associer un électron à une particule hadronique est de 5%.

3.4.3 Système à muons

Le système à muons est composé de cinq stations de forme rectangulaire (M1-M5), placées le long de l'axe des faisceaux. La première station est située en amont des calorimètres, elle est donc traversée par un flux important de particules. Les muons étant très pénétrants, les autres stations sont placées à l'extrémité du détecteur. Les muons ayant une impulsion supérieure à 5 GeV/c peuvent traverser l'épaisseur de fer de 80 cm qui séparent les différentes chambres à muons. Plus que 99% de la surface totale de ce système est équipée de chambres proportionnelles multifils (MWPC) avec un mélange gazeux de Ar/CO₂/CF₄ (40 :55 :5). La partie interne de la station M1 est formée de 24 détecteurs GEM (Gas Electron Multiwire) à triple couche avec un mélange de Ar/CO₂/CF₄ (45 :15 :40).

Le système à muons est conçu pour fonctionner avec une efficacité supérieure à 99% et un niveau de bruit inférieur à 1 kHz. Les chambres à muons fournissent des informations au système de déclenchement niveau-0 et à l'identification des muons

de grandes impulsions transverses dans plusieurs analyses, telles $B^0_s o J/\psi \phi$ et $B^0_s o J/\psi ar K^{*0}$.

3.4.4 Algorithmes d'identification des particules

L'identification des kaons, pions et muons joue un rôle primordial dans l'étude des désintégrations $B_s^0 \to J/\psi \bar{K}^{*0}$. En utilisant les informations recueillies par les calorimètres et les détecteurs à effet Cherenkov, une fonction de vraisemblance hypothéquant sur la nature de la particule est développée. Elle est définie comme :

$$\Delta L L_{x\pi} = \ln L_x - \ln L_{\pi}. \tag{3.2}$$

Cette fonction est maximisée pour chaque hypothèse : kaon, proton et pion. Si $\Delta LL_{x\pi} > 0$, alors la trace reconstruite ressemble plus à une particule x qu'à un pion. D'autre part, la stratégie d'identification des muons est divisée en deux étapes :

- une sélection lâche des candidats de muons en fonction de leur pénétration à travers les calorimètres et les stations à muons, offre une bonne efficacité tout en réduisant la probabilité d'une erreur d'identification au niveau du pour cent;
- une fonction de vraisemblance, appelée $\Delta LL_{\mu\pi}$, qui teste l'hypothèse qu'une particule soit un muon est utilisée comme variable discriminante. Cette étape est basée sur les trajectoires des particules chargées, reconstruites avec une grande précision dans le trajectographe.

Cet algorithme permet d'atteindre une efficacité d'identification des muons de 97%.
Un pion peut être mal identifié comme un muon avec une probabilité de (1-3)%.
Ces fonctions de vraisemblance sont utilisées dans la sélection des candidats $B_s^0 \rightarrow J/\psi \bar{K}^{*0}$ (cf. table A.1).

3.5 Système de déclenchement

L'expérience LHCb fonctionne à une luminosité plus faible que les expériences ATLAS et CMS. La principale raison pour cela est de limiter le nombre d'interactions par collision, dit empilement, à un ou deux tout au plus, ce qui protège les sous-détecteurs des radiations et est essentiel pour le programme physique de LHCb. En effet, un nombre limité d'interactions par collision facilite la reconstruction de traces et permet de mesurer le temps de vie des mésons *B* et d'étiqueter leurs saveurs de manière rapide et efficace. En outre, la majorité des canaux étudiés dans LHCb comportent des hadrons dans l'état final. Ainsi, avoir un faible empilement est crucial pour la sélection des évènements intéressants. Le taux d'évènements au LHC est très grand, de 40 MHz. Le système de déclenchement sélectionne les évènements contenant des candidats intéressants. Il permet ainsi de réduire les données

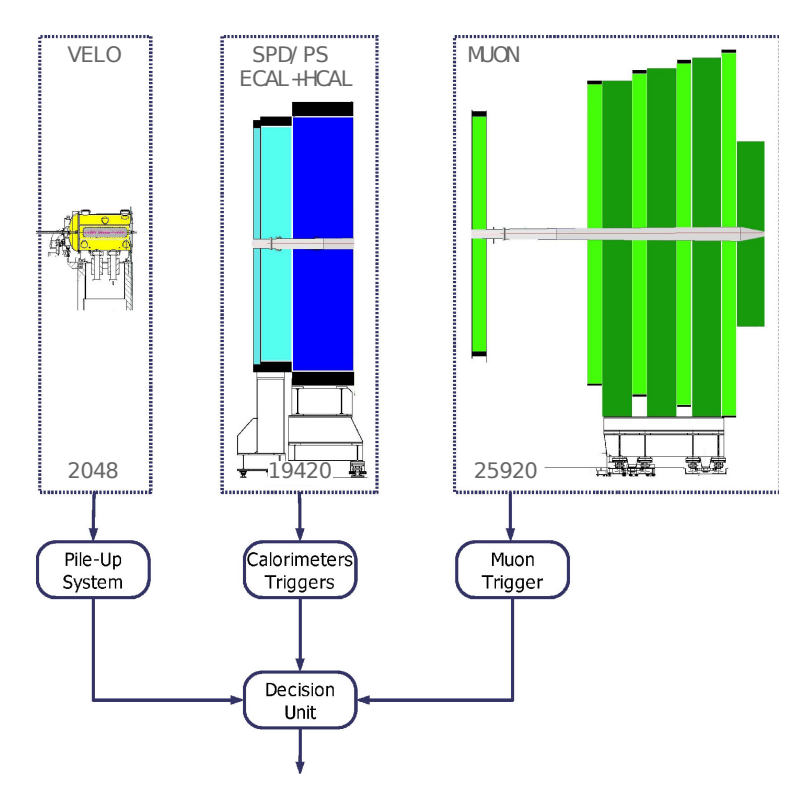


FIGURE 3.14 – Représentation du système à déclenchement de niveau 0.

de 40 MHz à 5 kHz pour les analyser [56]. Il est composé de deux niveaux. Le premier, L0, utilise un système électronique dédié basé sur les réponses de quelques
sous-détecteurs. Ce premier niveau réduit la fréquence des évènements de 40 MHz
à 1 MHz, dont 400 kHz dédiés à des évènements contenant des muons. Puis le second niveau du système de déclenchement performe une sélection plus raffinée via
un logiciel tournant sur une large ferme de calcul. Ceci réduit la fréquence des évènements écrits sur bande à 5 kHz.

3.5.1 Système de déclenchement de niveau 0 : L0

922

924

Le système de déclenchement de niveau 0 est destiné à réduire en temps réel la fréquence des évènements à un taux inférieur à 1 MHz [57]. Il est représenté sur la figure 3.14. Le nombre d'évènements qui passent le L0 est d'environ 450 kHz pour les hadrons chargés, 400 kHz pour les muons et 150 kHz pour les électrons et les photons. En général, le L0 permet de sélectionner les électrons, photons et hadrons ayant de hautes énergies transverses et des muons avec une grande impulsion transverse. Par exemple, la ligne Muon sélectionne les muons ayant une impulsion transverse supérieure à 1480 MeV/c. Avant de transférer les candidats sélectionnés

au niveau suivant, le système de déclenchement de niveau 0 utilise les informations du SPD et du compteur d'empilement afin d'éliminer les évènements ayant un nombre de traces trop important.

3.5.2 Système de déclenchement de haut niveau : HLT

Ce niveau exécute des algorithmes de sélection sur les évènements qui ont passé le niveau L0 [58]. En premier lieu, le taux d'évènements est réduit jusqu'à 30 kHz par le premier niveau du HLT, dit HLT1. Cette sélection est faite en utilisant toutes les données recueillies par le trajectographe. À ce stade, le niveau 2 du système de déclenchement (HLT2) permet la reconstruction globale des évènements sélectionnés. Ainsi, ce niveau sélectionne de manière inclusive ou exclusive les différentes désintégrations étudiées dans LHCb. À la fin de ce processus, la fréquence des évènements finalement enregistrés diminue jusqu'à 5 kHz.

3.6 Simulation et analyse des données

Dans LHCb, la simulation est assurée par des logiciels, en C++, inclus dans un environnement général nommé GAUDI. Les échantillons de données Monte Carlo utilisés dans l'analyse $B_s^0 \to J/\psi \overline{K}^{*0}$ sont générés via PYTHIA 6.4 [59] qui simule les collisions proton-proton. Les désintégrations des mésons B sont effectuées par EvtGen [60]. Tous ces logiciels de génération font partie du logiciel GAUSS [61]. Après la phase de génération, le logiciel PHOTOS simule l'émission de photons radiatifs. Puis, GEANT4 simule la réponse du détecteur suite à l'interaction des particules [62]. Le logiciel Boole a pour but la digitisation des évènements, qui consiste à simuler la réponse électronique des sous-détecteurs. À ce stade, la simulation produit des données dans le même format que les données collectées par LHCb. Les prochaines étapes présentées sont appliquées sur les données réelles et simulées. D'abord, le logiciel Brunel reconstruit complètement les évènements. Après la reconstruction, les évènements sont enregistrés en format de Data Summary Tape (DST). Finalement, DaVinci est le logiciel d'analyse [63]. Il assure la sélection des désintégrations intéressantes, puis l'enregistrement des données sous forme de fichiers «root» utilisés dans cette analyse.

3.7 Résumé

Le détecteur LHCb a été conçu pour réaliser le programme physique de l'expérience, à savoir l'étude des hadrons *B* et *D*. La très bonne qualité des données collectées par LHCb est due aux caractéristiques exceptionnelles du détecteur LHCb,

abordées dans ce chapitre. En effet, l'excellente résolution temporelle du trajectographe permet de résoudre l'oscillation rapide du système B_s^0 - $\overline{B_s^0}$. La bonne résolution sur l'impulsion permet de calculer précisément la masse des mésons B et les variables angulaires. Les systèmes d'identification des particules fournissent une excellente séparation des kaons et des pions. Cela est employé dans la sélection du signal et l'étiquetage de la saveur des mésons B. Dans ce chapitre, nous avons également présenté la simulation dans LHCb ainsi que les logiciels d'analyse physique. Cette thèse utilise l'intégralité des données enregistrées par LHCb en 2011 et 2012, soit 3 fb⁻¹ de luminosité intégrée (figure 3.15). La luminosité instantanée pour le détecteur LHCb était de 4×10^{32} cm $^{-2}$ s $^{-1}$. En 2013, le LHC a été arrêté pour redémarrer en 2015 avec une énergie dans le centre de masse de 13 TeV. Ce redémarrage va nous permettre de collecter de nouvelles données et d'entrer dans une nouvelle phase de la recherche en physique des particules où les résultats seront plus précis et apporteront d'éventuelles réponses sur la Nouvelle Physique. Pendant la phase de mise à jour qui commencera en 2019, LHCb devrait enregistrer des collisions avec une énergie de 14 TeV dans le centre de masse. La luminosité instantanée sera de l'ordre de 10³³cm⁻²s⁻¹. Après dix ans de prise de données, LHCb aura 50 fb⁻¹. Dans le chapitre suivant, nous allons aborder la présélection ainsi que la sélection hors ligne (offline) appliquées sur les évènements qui ont passé les coupures du système de déclenchement.

LHCb Integrated Luminosity

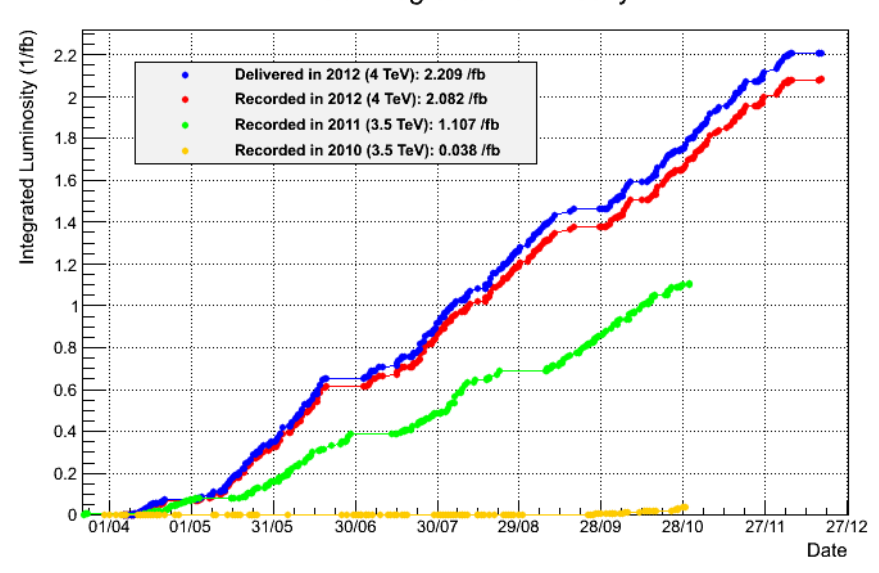


FIGURE 3.15 – Luminosités intégrées délivrées et enregistrées par le détecteur LHCb durant les années 2010, 2011 et 2012.

. Chapitre 4

• Analyse de $B^0_s o J/\psi ar K^{*0}$

"Experience has shown, and a true philosophy will always show, that a vast, perhaps the larger portion of the truth arises from the seemingly irrelevant."

Edgar Allan Poe

Dans ce chapitre, nous détaillons l'analyse du canal $B^0_s o J/\psi \overline{K}^{*0}$ $(\overline{K}^{*0} o$ $K^-\pi^+$) afin de mesurer les paramètres nécessaires à l'étude des processus pingouins dans la mesure de la phase ϕ_s violant la symétrie *CP*. Nous avons expliqué dans le chapitre 2 que nous avons besoin de l'asymétrie CP directe dépendante de polarisation, des fractions de polarisations ainsi que du rapport d'embranchement des désintégrations $B_s^0 o J/\psi \bar K^{*0}$ [4]. Dans ce canal, le méson B_s^0 est un pseudo-scalaire se désintégrant en deux mésons vecteurs J/ψ et \bar{K}^{*0} . Par conséquent, une analyse angulaire est requise afin de mesurer les amplitudes de polarisations et les phases fortes en tenant compte de la présence des ondes S et P dans le système $K\pi$. Nous effectuons un ajustement de la masse invariante $(J/\psi K^-\pi^+)$, puis nous utilisons la technique $_s\mathcal{P}lot$ afin de soustraire le bruit de fond. Nous ajustons ensuite les distributions angulaires des candidats $B^0_s o J/\psi \overline{K}^{*0}$ dans quatre bins de masse $K\pi$ afin de tenir compte de la variation de l'onde S avec la masse dans le système $K\pi$. La définition des bins $m_{K\pi}$ est donnée dans la table 4.1. Nous analysons l'échantillon de 3 fb⁻¹ de données collectées par le détecteur LHCb durant le Run I. Cet échantillon est divisé selon la charge du kaon dans l'état final dans le but de déterminer l'asymétrie CP directe. Dans la section 4.1, nous présentons brièvement la sélection des candidats $B_s^0 \rightarrow$ $J/\psi \bar{K}^{*0}$. Les différents bruits de fond sont présentés dans la section 4.2. Puis, nous expliquons l'ajustement de la masse dans la section 4.4 ainsi que la soustraction de bruit de fond par la méthode $_{s}\mathcal{P}lot$ dans 4.5. L'analyse angulaire est décrite dans la section 4.6, l'asymétrie CP directe en fonction des différents états de polarisations de l'état final dans la section 4.7. Nous validons la cohérence de notre analyse avec des pseudo-expériences dans la section 4.8. Après avoir présenté nos résultats dans la section 4.9, nous détaillons les incertitudes systématiques dans la section 4.10. Enfin, nous appliquons notre analyse sur le canal $B^0 \rightarrow J/\psi K^{*0}$ dans la section 4.11.

4.1 Sélection

La sélection des candidats $B_s^0 \to J/\psi \bar{K}^{*0}$ consiste en deux étapes : un ensemble de coupures rectangulaires utilisées pour réduire la taille des échantillons à un niveau gérable, et un arbre de décision boosté, de type BDTG [64], pour optimiser le rapport signal sur bruit de fond. Les coupures rectangulaires consistent à exiger une bonne séparation entre les vertex primaire et secondaire, une cohérence entre l'impulsion du méson B_s^0 et sa direction de vol ainsi qu'une bonne identification des kaons et des pions. De plus, des critères sur les impulsions des particules sont appliqués. Des informations supplémentaires concernant la sélection sont données dans l'appendice A.

L'algorithme de BDTG est entraîné en utilisant la simulation pour le signal et les vraies données pour le bruit de fond. Cet algorithme utilise principalement des informations sur le temps de vol, l'impulsion transverse et le paramètre d'impact par rapport au vertex de production des candidats B_s^0 (B^0) [65]. La fenêtre de masse pour le signal B_s^0 est de $20 \, \text{MeV}/c^2$ autour de sa masse nominale (5366.3 $\, \text{MeV}/c^2$). Les évènements du bruit de fond sont choisis dans la région de masse comprise entre $5401.3 \, \text{MeV}/c^2$ et $5700 \, \text{MeV}/c^2$. Enfin, une coupure est appliquée sur le BDTG pour obtenir l'échantillon final. Cette

Enfin, une coupure est appliquée sur le BDTG pour obtenir l'échantillon final. Cette coupure est optimisée de manière indépendante pour 2011 et 2012, de telle sorte qu'elle maximise la variable suivante [66] :

$$F(W_i) = \frac{\left(\sum W_i\right)^2}{\sum W_i^2}. (4.1)$$

Dans cette équation, W_i représente le poids de chaque évènement (cf. section 4.5). La valeur de $F(W_i)$ correspond au nombre effectif du signal. Cette technique permet d'isoler 68 100 évènements dans les données collectées en 2011. Dans l'échantillon de 2012, 147 760 évènements ont été sélectionnés.

TABLE 4.1 – Définitions des quatre bins $m_{K\pi}$ (en MeV/ c^2).

Bin 0	Bin 1	Bin 2	Bin 3
$826 \le m_{K\pi} \le 861$	$861 < m_{K\pi} \le 896$	$896 < m_{K\pi} \le 931$	$931 < m_{K\pi} \le 966$

4.2 Description des bruits de fond

dans les données simulées.

1040

1041

1058

1064

1067

Dans les désintégrations $B_s^0 \to J/\psi \bar{K}^{*0}$, on distingue deux types de bruits. Le premier est dit combinatoire, sa masse est modélisée par une loi exponentielle décroissante. Ce bruit de fond peut être étudié dans les bandes latérales de la masse invariante $J/\psi \bar{K}^{*0}$. Néanmoins, il est très important de vérifier si d'autres bruits de fond, non combinatoires, sont présents. Les bruits de fond non combinatoires sont plus dangereux car leurs distributions de masse piquent dans la même région que celles des B_s^0 et B^0 . Ces structures ne sont pas visibles dans les bandes latérales de la masse, donc elles doivent être étudiées

Les études MC montrent que plusieurs bruits de fond de type $B^0_{s,d} \to J/\psi h^+ h^-$, tels que $B^0_s \to J/\psi K^+ K^-$, $B^0_s \to J/\psi \pi^+ \pi^-$ et $B^0 \to J/\psi \pi^+ \pi^-$ contribuent. Les distributions de masses invariantes des évènements $B^0 \to J/\psi \pi^+ \pi^-$ et $B^0_s \to J/\psi \pi^+ \pi^-$ mal identifiés forment un pic proche de celui du signal $B^0_s \to J/\psi K\pi$. Les évènements $B^0_s \to J/\psi K^+ K^-$ mal identifiés sont situés presque sous le pic du signal $B^0 \to J/\psi K\pi$. Notons qu'une mauvaise hypothèse de masse dépend des impulsions des particules filles. Par conséquent, la distribution de masse de chacun de ces bruits de fond dépend de la distribution angulaire. Pour ces raisons, les évènements de bruits de fond mal identifiés sont exclus de la procédure $_s \mathcal{P}lot$ (cf. section 4.5).

Afin de se débarrasser de ces espèces sans altérer l'ajustement angulaire, nous décidons de les supprimer en introduisant des évènements MC dans les données réelles, avec un poids négatif. Ces évènements de bruit de fond sont simulés en utilisant un modèle d'espace de phase, et sont ensuite pondérés par des poids calculés selon les analyses d'amplitudes de ces désintégrations [67, 68, 69]. La somme des poids de chaque espèce est normalisée de telle sorte que les évènements simulés injectés annulent le nombre d'évènements attendus pour cette espèce dans les données réelles (cf. table 4.2).

Un autre type de bruit de fond provient des désintégrations du baryon Λ_b^0 , à savoir $\Lambda_b^0 \to J/\psi p K^-$ et $\Lambda_b^0 \to J/\psi p \pi^-$. Le canal $\Lambda_b^0 \to J/\psi p K^-$ est statistiquement soustrait, comme les bruits de fond abordés ci-dessus, en injectant des évènements simulés à partir du modèle figurant dans [70]. Les désintégrations $\Lambda_b^0 \to J/\psi p \pi^-$ sont traitées autrement dans l'ajustement de masse. En effet, les évènements $\Lambda_b^0 \to J/\psi p \pi^-$ sont ajoutés comme une espèce supplémentaire à la procédure ${}_s\mathcal{P}lot$. Cela est justifié par le fait que la structure d'amplitude n'est pas complètement connue [71]. De plus, le pic de masse $\Lambda_b^0 \to J/\psi p \pi^-$ dans le spectre $J/\psi K\pi$ est plus large que ceux des autres bruits de fond ce qui permet d'inclure cette espèce dans la procédure ${}_s\mathcal{P}lot$. Nous utilisons la fonction Amoroso [72] afin de décrire la masse $J/\psi K\pi$ provenant des évènements $\Lambda_b^0 \to J/\psi p \pi^-$ mal identi-

TABLE 4.2 – Le nombre d'évènements obtenus dans la simulation pour chaque type de bruit de fond dans une fenêtre de masse $K\pi$ de $\pm 70\,\text{MeV}/c^2$.

Espèce	2011	2012
$\int B^0 ightarrow J/\psi \pi^+\pi^-$	51 ± 10	115 ± 23
$\mid B_s^0 \rightarrow J/\psi \pi^+ \pi^- \mid$	9.3 ± 2.1	25.0 ± 5.4
$B_s^0 \rightarrow J/\psi K^+ K^-$	10.1 ± 2.3	19.2 ± 4.0
$\Lambda_h^0 \to J/\psi p K^-$	36 ± 17	90 ± 43
$\Lambda_b^0 \rightarrow J/\psi p \pi^-$	13.8 ± 5.3	27.3 ± 9.0

fiés, comme illustré sur la figure 4.1. Les valeurs des paramètres de cette distribution sont obtenues, pour chaque bin $m_{K\pi}$, dans les données simulées et sont ensuite fixées dans l'ajustement de masse nominal. Les taux attendus pour les deux désintégrations $B^0_{s,d} \to J/\psi h^+ h^-$ et $\Lambda^0_b \to J/\psi ph^-$ sont donnés dans la table 4.2.

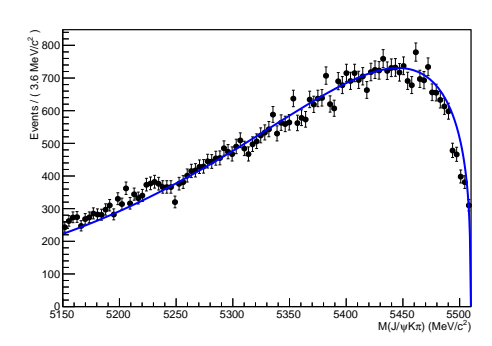


FIGURE 4.1 – Ajustement de la distribution des évènements $\Lambda_b^0 \to J/\psi p\pi^-$ dans les vraies données (points noirs) avec une fonction Amoroso (ligne bleue).

4.3 Méthode de maximum de vraisemblance étendue

1082

Avec la méthode de vraisemblance, un ou plusieurs paramètres inconnus $\vec{\lambda}$ représentant des quantités physiques peuvent être estimés à partir de variables, \vec{x} . La prédiction théorique pour la distribution de l'ensemble des variables \vec{x} est appelée la fonction de densité de probabilité (probability density function, PDF). La PDF dépend des paramètres inconnus $\vec{\lambda}$ et doit respecter la condition de normalisation :

$$\int_{D} f(\vec{x}; \vec{\lambda}) d\vec{x} = 1. \tag{4.2}$$

D est le domaine dans lequel se trouve \vec{x} . La fonction de vraisemblance d'un échantillon de N évènements est définie comme le produit des PDFs de chaque évènement :

$$\vec{\mathcal{L}}(\vec{\lambda}) = f(\vec{x_1}; \vec{\lambda}).f(\vec{x_2}; \vec{\lambda})...f(\vec{x_N}; \vec{\lambda}) = \prod_{i=1}^{N} f(\vec{x_i}; \vec{\lambda}). \tag{4.3}$$

La meilleure estimation $\vec{\hat{\lambda}}$ des paramètres inconnus $\vec{\lambda}$ maximise la fonction $F(\vec{\lambda})$.

En pratique, l'opposé du logarithme de la fonction $\vec{\mathcal{L}}(\vec{\lambda})$ est utilisé de telle sorte que la fonction :

$$F(\vec{\lambda}) = -\ln \mathcal{L}(\vec{\lambda}) = -\sum_{i=1}^{N} \ln f(\vec{x}_i; \vec{\lambda}). \tag{4.4}$$

est minimisée. Cette procédure est plus stable numériquement. Généralement, nous avons besoin de connaître le nombre d'évènements. Par conséquent, la méthode de maximum de vraisemblance est étendue afin d'inclure la probabilité, décrite pas une loi de Poisson, d'avoir *N* occurrences quand le nombre moyen d'occurrences est *v* :

$$\mathcal{L}(\mathbf{v}, \vec{\lambda}) = \frac{e^{-\mathbf{v}}\mathbf{v}^N}{N!} \prod_{i=1}^N f(\vec{x}_i; \vec{\lambda}) = \frac{e^{-\mathbf{v}}}{N!} \prod_{i=1}^N \mathbf{v} f(\vec{x}_i; \vec{\lambda}). \tag{4.5}$$

Dans un échantillon de données réaliste, nous avons plusieurs espèces d'évènements, n_s . Dans ce cas, l'équation 4.5 est généralisée telle que :

$$\mathcal{L}(\vec{n}, \vec{\lambda}) = \frac{e^{-\sum_{j=1}^{n_s} N_j}}{N!} \prod_{i=1}^{N} \left(\sum_{j=1}^{n_s} N_j f_j(\vec{x}_i; \vec{\lambda}) \right), \tag{4.6}$$

où N_j est le nombre d'évènements dans l'espèce j.

Dans cette analyse, la minimisation de $F(\vec{\lambda})$ est effectuée par Minuit [73].

Les éléments de la matrice de corrélation G entre les paramètres λ sont donnés par :

$$G_{ik} = \frac{\partial^2 F}{\partial \lambda_i \partial \lambda_k}. (4.7)$$

Pour un large nombre d'évènements $(N \to \infty)$, la distribution de probabilité, correspondant aux paramètres $\vec{\lambda}$, déterminée dans l'ajustement, est gaussienne. Dans ce cas, l'incertitude sur chaque paramètre λ est donnée par :

$$\sigma = \left(\frac{\mathrm{d}^2 F}{\mathrm{d}\lambda^2}|_{\hat{\lambda}}\right)^{-1/2}.\tag{4.8}$$

Pour un paramètre λ , la différence entre les logarithmes de fonction de vraisemblance est définie telle que :

$$\Delta \ln \mathcal{L}(\lambda_i) = -\left[\ln \mathcal{L}(\hat{\lambda}_i) - \ln \mathcal{L}(\lambda_i)\right]. \tag{4.9}$$

où $\hat{\lambda}_i$ est la meilleure estimation du paramètre λ déterminée via un ajustement sur les données. La signification statistique en nombre d'écarts types (N_{σ}) de la différence de vraisemblance en logarithme $(\Delta \ln \mathcal{L}(\lambda_i))$, s'exprime par :

$$N_{\sigma} = \sqrt{2\Delta \ln \mathcal{L}(\lambda_i)}.$$
 (4.10)

4.4 Modélisation de la masse

En premier lieu, nous expliquons le modèle utilisé afin de décrire la masse invariante $(J/\psi K^-\pi^+)$, puis nous donnons les résultats de l'ajustement.

4.4.1 Formalisme

1113

L'ajustement de masse est effectué dans 4 bins de $m_{K\pi}$ divisés chacun en 5 bins de $\cos\theta_{\mu}$, ce qui fait 20 bins au total. Les bins $m_{K\pi}$ et $\cos\theta_{\mu}$ sont respectivement donnés dans les tables 4.1 et 4.3. Les angles d'hélicité sont désignés par $(\theta_K, \theta_\mu, \phi_h)$ et leur définition est représentée sur la figure 1.9 (chapitre 1).

Les masses des mésons B_s^0 et B^0 sont modélisées par une fonction Hypatia [74]. Cette dernière est une fonction hyperbolique généralisée au centre avec des queues de Crystal Ball (CB) [75]. La queue du côté droit de la fonction Hypatia permet de tenir compte des évènements mal reconstruits ainsi que des photons radiatifs qui deviennent plus visibles après l'application de contraintes sur la masse du J/ψ [74]. La fonction Hypatia est définie telle que :

$$\frac{V(m,\mu,\sigma,\lambda,\zeta,\beta,a_{1},a_{2},n_{1},n_{2}) \propto}{\left\{ \frac{A}{(B+m-\mu)^{n_{1}}}, \sin m - \mu < -a_{1}\sigma \right\} \left\{ \frac{C}{(D+m-\mu)^{n_{2}}}, \sin m - \mu > a_{2}\sigma \right\} \left((m-\mu)^{2} + \delta^{2} \right)^{\frac{1}{2}\lambda - \frac{1}{4}} e^{\beta(m-\mu)} K_{\lambda - \frac{1}{2}} \left(\alpha \sqrt{(m-\mu)^{2} + \delta^{2}} \right), \text{ sinon,}$$
(4.11)

TABLE 4.3 – Définitions des cinq bins $\cos \theta_{\mu}$.

Bin	Définition
0	$-1.0 \le \cos \theta_{\mu} \le -0.6$
1	$-0.6 < \cos \theta_{\mu} \le -0.2$
2	$-0.2 < \cos \theta_{\mu} \le 0.2$
3	$0.2 < \cos \theta_{\mu} \le 0.6$
4	$0.6 < \cos \theta_{\mu} \le 1.0$

où $K_{\nu}(z)$ est une fonction de Bessel modifiée de second type.

1129

1132

1133

1135

1139

114

Les paramètres $\delta \equiv \sigma \sqrt{\frac{\zeta K_{\lambda}(\zeta)}{K_{\lambda+1}(\zeta)}}$, $\alpha \equiv \frac{1}{\sigma} \sqrt{\frac{\zeta K_{\lambda+1}(\zeta)}{K_{\lambda}(\zeta)}}$, et A,B,C,D sont obtenus en imposant la continuité et la différentiabilité.

Les paramètres β et ζ sont fixés à zéro. Les paramètres a_1 and n_1 décrivent la queue gauche de la fonction Hypatia et sont extraits, avec les paramètres a_2 , n_2 et λ , du MC et ensuite fixés dans l'ajustement.

Certains des paramètres de la fonction Hypatia, décrivant les évènements B_s^0 et B^0 , dépendent de la masse invariante $m_{K\pi}$. Ces paramètres sont fixés dans l'ajustement de la masse invariante $J/\psi K\pi$. De ce fait, nous décidons de diviser la masse $m_{K\pi}$ en 4 bins. Nous nous servons de l'ajustement de la masse invariante dans la procédure $_s\mathcal{P}lot$ permettant de calculer un poids pour chaque évènement dans l'échantillon de données. Ces poids sont ensuite utilisés dans l'ajustement angulaire. Cependant, la masse invariante $J/\psi K^-\pi^+$ est corrélée avec la variable $\cos\theta_\mu$, ce qui peut affecter la procédure $_s\mathcal{P}lot$. Puisque ces corrélations ne sont pas explicitement prises en compte lors du calcul des poids, nous divisons chaque bin $m_{K\pi}$ en 5 bins de $\cos\theta_\mu$.

4.4.2 Résultats de l'ajustement de la masse

Nous effectuons 20 ajustements indépendants de la masse invariante $m(J/\psi K^-\pi^+)$ en utilisant la méthode de maximum de vraisemblance étendue présentée dans la section 4.3. Dans l'ajustement de masse, les paramètres physiques dans l'équation 4.6 sont : $\vec{\lambda}_{\text{phys}} = (k_{\text{bkg}}, \mu_{B^0}, \mu_{B_s^0}, \sigma_{B^0}, \sigma_{B_s^0}, N_{B^0}, N_{B_s^0}, N_{Bkg}, N_{\Lambda p\pi})$. Le paramètre k_{bkg} décrit le bruit de fond combinatoire, tandis que μ_{B^0} et σ_{B^0} sont les paramètres de la fonction Hypatia modélisant les évènements $B^0 \to J/\psi K^{*0}$. Il en est de même pour les paramètres $\mu_{B_s^0}$ et $\sigma_{B_s^0}$. Le nombre d'évènements de l'espèce k est noté N_k . Dans notre cas, nous avons quatre espèces, à savoir $B_s^0 \to J/\psi \bar{K}^{*0}$, $B^0 \to J/\psi K^{*0}$, $A_b^0 \to J/\psi p\pi^-$ et le bruit de fond combinatoire. Chaque ajustement est effectué dans un bin de $m_{K\pi}$ et $\cos\theta_\mu$. Un ajustement simultané des 20 bins montre qu'il

n'y a pas de corrélations significatives entre les différents bins. Cet ajustement nous permet d'extraire le nombre d'évènements de chaque *catégorie* de signal et bruit de fond. Pour obtenir le nombre total des évènements B_s^0 et B^0 , nous additionnons le nombre de ces évènements, obtenus dans chaque bin, ce qui donne :

$$N_{B^0} = 208656 \pm 462_{-76}^{+78},$$

 $N_{B^0_s} = 1808 \pm 51_{-33}^{+38}.$ (4.12)

Les premières incertitudes sont statistiques et sont obtenues à partir de la somme quadratique de celles dans chaque sous-ensembles d'ajustement, les secondes correspondent aux incertitudes systématiques. Les corrélations entre les nombres d'évènements B_s^0 et B^0 sont inférieures à 4% dans tous les sous-ensembles d'ajustement. Par conséquent, nous négligeons ces corrélations dans le calcul du rapport suivant :

$$\frac{N_{B_s^0}}{N_{R^0}} = (8.66 \pm 0.24_{-0.16}^{+0.18}) \times 10^{-3}.$$
 (4.13)

Ce rapport sera utilisé dans le chapitre suivant afin de déterminer le rapport d'embranchement du canal $B_s^0 \to J/\psi \bar{K}^{*0}$. Les résultats complets de chaque ajustement sont donnés dans l'appendice B. La figure 4.2 montre la somme des projections de l'ajustement dans chaque bin superposées au spectre de masse $(J/\psi K^-\pi^+)$ pour la totalité de l'échantillon de données.

Le spectre $m_{\mu^+\mu^-}$ et le spectre $m_{K\pi}$ pour les mésons B_s^0 et B^0 après l'application des ${}_sWeights$ sont illustrés sur la figure 4.3. Le spectre di-muon a une forme très similaire pour le B_s^0 et le B^0 . En revanche, on remarque que le spectre $m_{K\pi}$ correspondant au signal B_s^0 est légèrement déformé par rapport à celui du B^0 . Cela pourrait être expliqué par la présence d'interférences entre l'onde S du système $K\pi$ et le méson K^{*0} plus fortes dans les désintégrations du méson B_s^0 en comparaison avec le B^0 . En premier lieu, nous vérifions que ce comportement n'est pas causé par le traitement du bruit de fond qui entre dans la technique ${}_s\mathcal{P}lot$. Dans ce but, nous calculons les ${}_sWeights$ sans injecter des données MC pour soustraire les bruits de fond non combinatoires. Nous n'observons pas de différence significative dans le spectre $m_{K\pi}$ après l'application de nouveaux ${}_sWeights$, comme illustré sur la figure 4.4. Nous répétons l'ajustement de masse en utilisant les mêmes moyennes et résolutions, dans les 20 bins, pour les fonctions Hypatia décrivant les masses du B_s^0 et du B^0 . Le nouvel échantillon de ${}_sWeights$ calculé via cet ajustement simultané des 20 bins ne modifie pas la forme du spectre $m_{K\pi}$.

Une autre étude est effectuée, elle consiste à annuler l'interférence entre les ondes S du système $K\pi$ et l'onde P du K^{*0} en corrigeant les effets de l'acceptance angulaire puis en intégrant sur les angles d'hélicité. Les spectres de masse obtenus sont illustrés sur la figure 4.5, où nous observons que la distribution de $m_{K\pi}$ pour le méson B_s^0 est plus proche de celle du méson B_s^0 . Cela valide notre hypothèse sur la

présence d'une interférence plus forte entre les ondes S et P dans le cas du méson B_S^0 par rapport au méson B_S^0 .

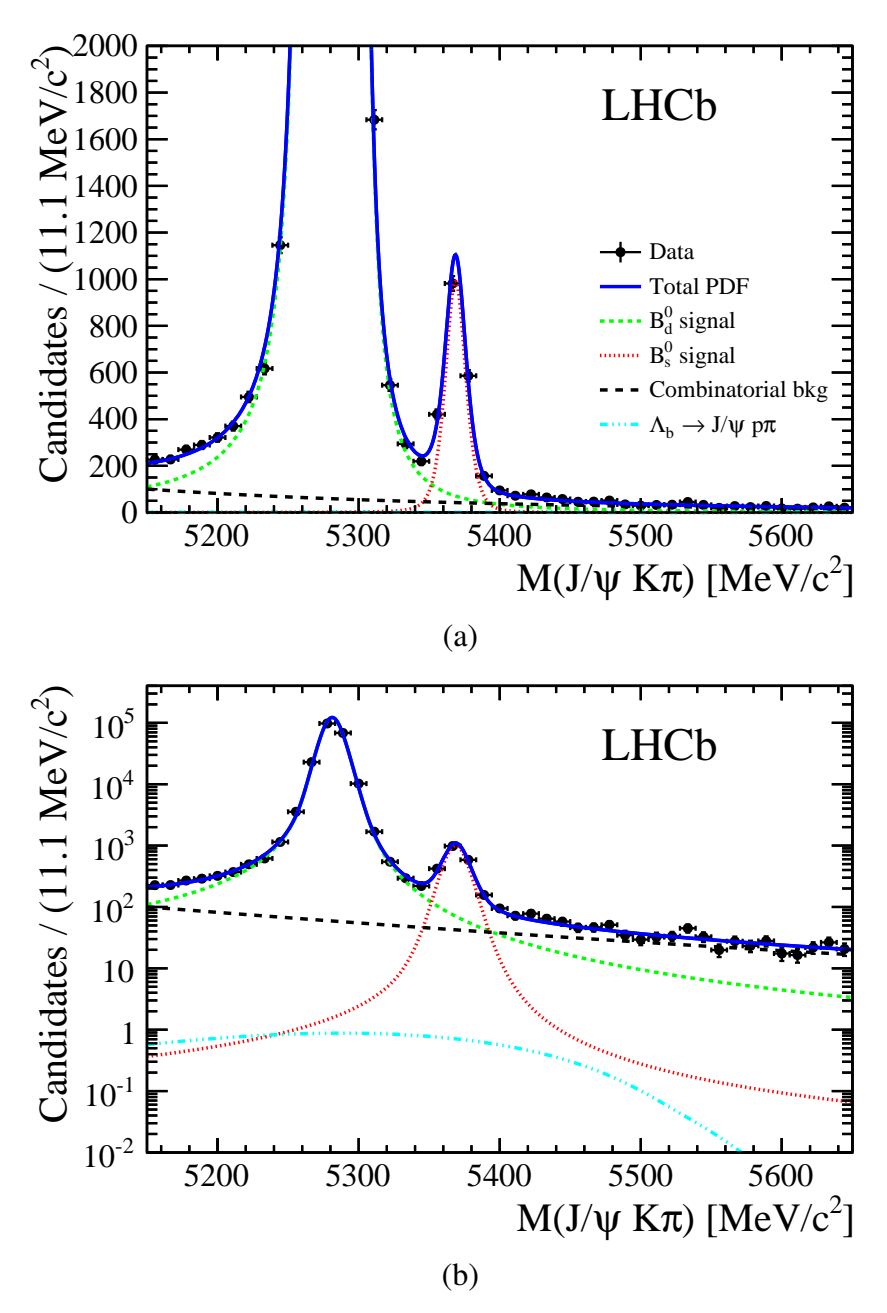


FIGURE 4.2 – Somme des projections de l'ajustement de masse dans 20 bins dans une échelle linéaire (a) et logarithmique (b) de l'axe des y. La légende illustrée dans (a) est aussi valide dans (b).

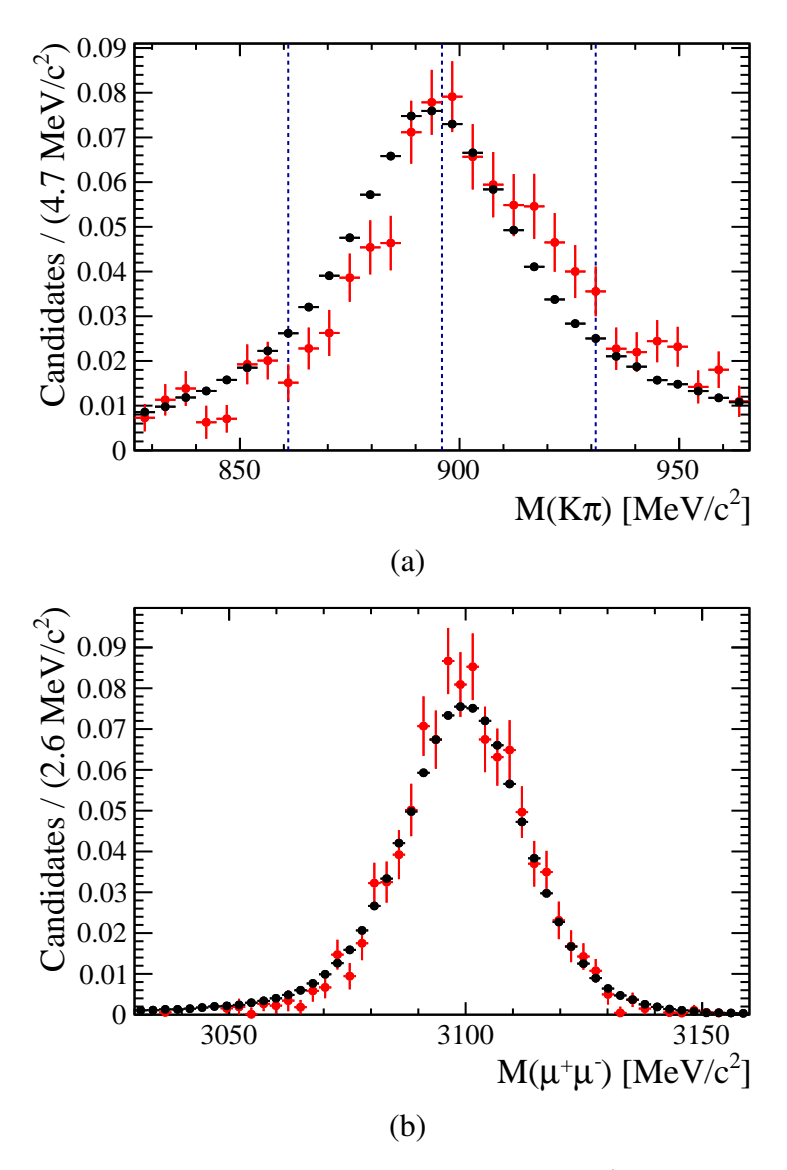


FIGURE 4.3 – Spectres de masses invariantes $K\pi$ (a) et $\mu^+\mu^-$ (b) pondérées par les $_sWeights$, correspondant au méson B_s^0 (en rouge) et au méson B^0 (en noir). Dans les deux cas, les $_sWeights$ sont calculés via l'ajustement de la masse invariante $J/\psi K^-\pi^+$ séparément dans quatre bins $m_{K\pi}$. Les lignes bleues dans (a) indiquent les quatre bins $m_{K\pi}$, définis dans la table 4.1

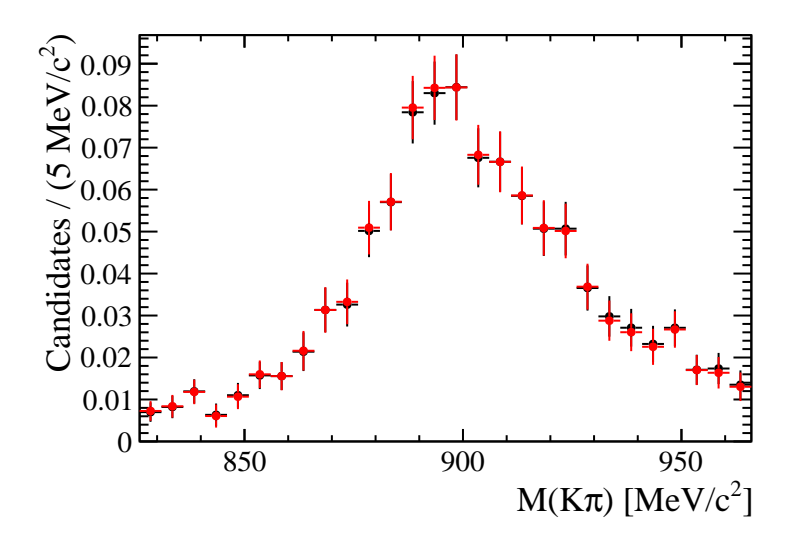


FIGURE 4.4 – Spectre de masse invariante $K\pi$, provenant du méson B_s^0 , pondérée par les $_sWeights$ calculés avec (en rouge) et sans (en noir) l'injection des évènements MC utilisés pour soustraire des bruits de fond non combinatoires. Dans les deux cas, les $_sWeights$ sont calculés via l'ajustement de la masse invariante $J/\psi K^-\pi^+$ séparément dans quatre bins $m_{K\pi}$.

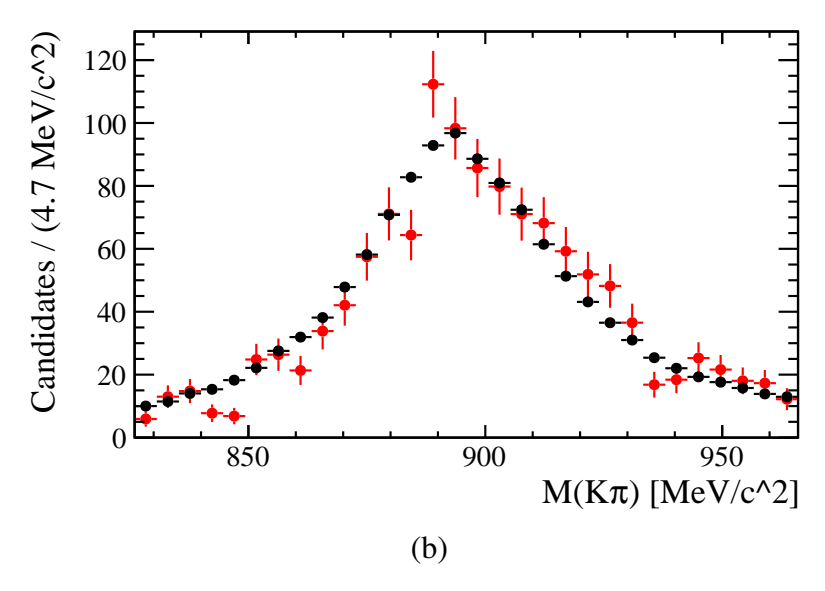


FIGURE 4.5 – Spectre de masse invariante $K\pi$ corrigée par l'acceptance angulaire et pondérée par les $_s\mathcal{W}eights$, correspondant au méson B_s^0 (en rouge) et au méson B^0 (en noir). Dans les deux cas, les $_s\mathcal{W}eights$ sont calculés via l'ajustement de la masse invariante $J/\psi K^-\pi^+$ séparément dans quatre bins $m_{K\pi}$.

4.5 Méthode $_{s}\mathcal{P}lot$

Nous utilisons la technique $_s\mathcal{P}lot$ afin d'extraire des poids correspondant à chaque espèce d'évènements. L'ajustement de la variable discriminante, $M_e = m(J/\psi K^-\pi^+)$, permet d'attribuer un poids ($_s\mathcal{W}eight$), noté $W_n(M_e)$, à chaque événement «e» de l'espèce n tel que[76]:

$$W_n(M_e) = \frac{\sum_{j=1}^{N_s} V_{nj} PDF_j(M_e)}{\sum_{k=1}^{N_s} N_k PDF_k(M_e)}.$$
 (4.14)

La matrice de covariance V est obtenue en inversant la matrice :

$$V_{nj}^{-1} = \sum_{e=1}^{N_{\text{tot}}} \frac{\text{PDF}_n(M_e)\text{PDF}_j(M_e)}{(\sum_{k=1}^{N_s} N_k \text{PDF}_k(M_e))^2},$$
(4.15)

où N_s est le nombre d'espèces d'évènements dans l'échantillon de données. Le nombre d'évènements attendus dans la $k^{\rm e}$ espèce est noté N_k , et le nombre d'évènements total dans l'échantillon de données est désigné par $N_{\rm tot}$.

La méthode $_s\mathcal{P}lot$ permet d'attribuer des poids négatifs ou très petits aux évènements de bruit de fond. Par conséquent, les évènements $\Lambda_b^0 \to J/\psi p\pi^-$ ainsi que le bruit de fond combinatoire sont statistiquement soustraits de notre échantillon de données réelles. Ainsi, un ajustement, dit sFit, peut être effectué sur la distribution angulaire pondérée, ce qui permet de modéliser uniquement le signal ainsi que de réduire le temps de calcul et les incertitudes systématiques associées à la modélisation de bruit de fond. Afin d'avoir un résultat fiable, la variable discriminante, $M(J/\psi K^-\pi^+)$, doit être indépendante des variables utilisées dans le sFit, à savoir les angles entre les produits de désintégration. Par la suite, nous notons « W_i » les $_sWeights$ correspondant au signal B_s^0 .

4.6 Modélisation angulaire

1209

1211

1214

Nous utilisons la méthode de maximum de vraisemblance afin d'ajuster les distributions angulaires des produits de désintégration. En premier lieu, nous expliquons le formalisme angulaire décrivant les distributions angulaires du signal. Puis, nous abordons les facteurs C_{SP} permettant de décrire le couplage entre les ondes S et P dans le système $K\pi$. Dans la dernière partie de cette section, nous abordons l'acceptance angulaire.

4.6.1 Formalisme angulaire

Cette analyse utilise les angles de désintégration définis dans la base d'hélicité. Les angles d'hélicité sont désignés par $(\theta_K, \theta_\mu, \varphi_h)$ et leur définition est représentée

sur la figure 1.9. Les définitions des angles sont les mêmes pour les désintégrations du méson $\bar{B_s^0}$. Elles sont également les mêmes pour le canal $B^0 \to J/\psi K^{*0}$.

La distribution angulaire de la désintégration $B_s^0 \to J/\psi \overline{K}^{*0}$ est donnée par [77] :

$$PDF(\theta_K, \theta_\mu, \varphi_h) = \sum_{\alpha_\mu = \pm 1} \left| \sum_{\lambda, J}^{|\lambda| < J} \sqrt{\frac{2J+1}{4\pi}} H_{\lambda}^J e^{-i\lambda \varphi_h} d_{\lambda, \alpha_\mu}^1(\theta_\mu) d_{-\lambda, 0}^1(\theta_K) \right|^2, \quad (4.16)$$

où $\lambda = 0, \pm 1$ est l'hélicité du méson J/ψ , $\alpha_{\mu} = \pm 1$ correspond à la différence d'hélicité entre les muons, J est le spin du système $K\pi$, H représente les amplitudes d'hélicité, et d les matrices de Wigner. Nous isolons les termes dépendants du spin J et nous définissons :

$$H_{\lambda}(\theta_K) = \sum_{I} \sqrt{\frac{2J+1}{4\pi}} H_{\lambda}^J d_{-\lambda,0}^1(\theta_K). \tag{4.17}$$

L'équation 4.16 devient :

1220

$$PDF(\theta_{K}, \theta_{\mu}, \varphi_{h}) = \sum_{\alpha_{\mu}=\pm 1} \left| \sum_{\lambda} e^{-i\lambda \varphi_{h}} d_{\lambda, \alpha_{\mu}}^{1}(\theta_{\mu}) H_{\lambda}(\theta_{K}) \right|^{2}$$

$$= \sum_{\alpha_{\mu}=\pm 1} \left[\left(\sum_{\lambda'} e^{-i\lambda' \varphi_{h}} d_{\lambda', \alpha_{\mu}}^{1}(\theta_{\mu}) H_{\lambda'}(\theta_{K}) \right)^{\star} \left(\sum_{\lambda} e^{-i\lambda \varphi_{h}} d_{\lambda, \alpha_{\mu}}^{1}(\theta_{\mu}) H_{\lambda}(\theta_{K}) \right) \right]$$

$$= \sum_{\lambda', \lambda} \left(\sum_{\alpha_{\mu}=\pm 1} d_{\lambda', \alpha_{\mu}}^{1}(\theta_{\mu}) d_{\lambda, \alpha_{\mu}}^{1}(\theta_{\mu}) \right) H_{\lambda'}^{\star}(\theta_{K}) H_{\lambda}(\theta_{K}) e^{-i(\lambda - \lambda') \varphi_{h}}.$$

$$(4.18)$$

En définissant :

$$\Theta_{\lambda\lambda'}(\theta_{\mu}) = \sum_{\alpha_{\mu}=\pm 1} d^{1}_{\lambda',\alpha_{\mu}}(\theta_{\mu}) d^{1}_{\lambda,\alpha_{\mu}}(\theta_{\mu}), \tag{4.19}$$

la PDF peut être écrite telle que :

$$PDF(\theta_K, \theta_\mu, \varphi_h) = \sum_{\lambda', \lambda} H_{\lambda'}^{\star}(\theta_K) H_{\lambda}(\theta_K) e^{-i(\lambda - \lambda')\varphi_h} \Theta_{\lambda'\lambda}(\theta_\mu). \tag{4.20}$$

Sachant que la fonction $\Theta_{\lambda'\lambda}(\theta_{\mu})$ reste invariante si λ' et λ sont inter-changées, c'est-à-dire : $\Theta_{\lambda'\lambda}(\theta_{\mu}) = \Theta_{\lambda\lambda'}(\theta_{\mu})$. Si les signes de λ' ou λ changent, la fonction $\Theta_{\lambda'\lambda}(\theta_{\mu})$ devient : $\Theta_{-\lambda'-\lambda}(\theta_{\mu}) = (-1)^{\lambda'-\lambda}\Theta_{\lambda'\lambda}(\theta_{\mu})$. En utilisant les expressions

explicites de $\Theta_{\lambda'\lambda}(\theta_{\mu})$, la PDF totale dans l'équation 4.16 s'écrit :

$$\begin{split} \text{PDF}(\theta_{K},\theta_{\mu},\varphi_{h}) &= |H_{0}(\theta_{K})|^{2} \sin^{2}\theta_{\mu} \\ &+ \frac{1}{2}(|H_{+}(\theta_{K})|^{2} \\ &+ |H_{-}(\theta_{K})|^{2}) \times (1 + \cos^{2}\theta_{K}) \\ &+ Re[H_{+}(\theta_{K})H_{-}^{\star}(\theta_{K})e^{-i\lambda\varphi_{h}}]\sin^{2}\theta_{\mu} \\ &+ \sqrt{2}Re[(H_{0}(\theta_{K})H_{+}^{\star}(\theta_{K}) - H_{0}^{\star}(\theta_{K})H_{-}(\theta_{K}))e^{i\lambda\varphi_{h}}] \times \sin\theta_{\mu}\cos\theta_{\mu}, \end{split}$$

$$(4.21)$$

où 0, + et - désignent respectivement $\lambda = 0$, $\lambda = +1$ et $\lambda = -1$. Afin de déterminer les composantes de CP, les amplitudes d'hélicité sont transformées en «amplitudes de transversité », telles que :

$$A_S = H_0^0, (4.22)$$

$$A_{J0} = H_0^J, (4.23)$$

$$A_{J||} = \frac{1}{\sqrt{2}}(H_+^J + H_-^J),$$
 (4.24)

$$A_{J\perp} = \frac{1}{\sqrt{2}} (H_+^J - H_-^J). \tag{4.25}$$

Les amplitudes de transversité associées à l'onde P (système $K\pi$ de spin 1) sont écrites simplement A_0 , $A_{||}$ et A_{\perp} , tandis que celles associées à une onde D (système $K\pi$ de spin 2) sont désignées par : A_{20} , $A_{2||}$ et $A_{2\perp}$. Le module d'une amplitude de transversité A_x est simplement noté $|A_x|$, tandis que sa phase forte est notée δ_x . La distribution angulaire pour l'état CP conjugué est obtenue en changeant le signe des termes d'interférences qui contiennent $|A_{\perp}|$ ou $|A_{2\perp}|$. Nous adoptons la convention $|A_0|^2 + |A_{||}|^2 + |A_{\perp}|^2 + |A_S|^2 = 1$ et définissons :

— les fractions correspondant à l'onde *P* comme :

$$f_i = \frac{|A_i|^2}{\sum_{i=1}^3 |A_i|^2} (i = 0, ||, \perp), \tag{4.26}$$

— la fraction de l'onde S comme :

$$F_S = \frac{|A_S|^2}{|A_0|^2 + |A||^2 + |A_\perp|^2 + |A_S|^2}. (4.27)$$

Le taux de désintégration complet est donné dans l'appendice C. Nous écrivons l'équation 4.21 en fonction des amplitudes de transversité :

$$PDF(\theta_K, \theta_\mu, \varphi_h) = \sum_{k=1}^{10} q_k(\bar{q}_k) g_k(\Omega)$$
 (4.28)

TABLE 4.4 – Définition des fonctions utilisées dans l'équation 4.28. La notation \pm est un raccourci et signifie + pour q_k et – pour \bar{q}_k [77].

k	$q_k(ar{q}_k)$	$g_k(\Omega)$
1	$ A_0 ^2$	$\sin^2 \theta_{\mu} \cos^2 \theta_{K}$
2	$ A_{ } ^2$	$\frac{1}{2}(1-\sin^2\theta_\mu\cos^2\varphi_h)\sin^2\theta_K$
3	$ A_{\perp} ^2$	$\frac{1}{2}(1-\sin^2\theta_\mu\sin^2\varphi_h)\sin^2\theta_K$
4	$\left \frac{A_S}{3}\right ^2$	$\sin^2 \varphi_h$
5	$Re(A_0^{\star}A_{ })$	$\frac{1}{2\sqrt{2}}(\sin 2\theta_{\mu}\sin 2\theta_{K})\cos \varphi_{h}$
6	$\pm Im(A_0^{\star}A_{\perp})$	$\frac{-1}{2\sqrt{2}}(\sin 2\theta_{\mu}\sin 2\theta_{K})\sin \varphi_{h}$
7	$Re(A_0^{\star} \frac{A_S}{3})$	$2\sin^2\theta_{\mu}\cos\theta_{K}$
8	$\pm Im(A_{ }^{\star}A_{\perp})$	$\frac{1}{2}\sin^2\theta_{\mu}\sin^2\theta_{K}\sin2\varphi_{h}$
9	$Re(A_{ }^{\star A_{S}})$	$\frac{1}{\sqrt{2}}(\sin 2\theta_{\mu}\sin \theta_{K})\cos \varphi_{h}$
10	$\pm Im(A^{\star}_{\perp}\frac{A_{S}}{3})$	$\frac{1}{\sqrt{2}}(\sin 2\theta_{\mu}\sin \theta_{K})\sin \varphi_{h}$

Les expressions explicites de $q_k(\bar{q}_k)$ et $g_k(\Omega)$ sont données dans le tableau 4.4. Les échantillons $K^+\pi^-$ et $K^-\pi^+$ sont séparés et ajustés simultanément.

Nous avons vérifié la description des distributions angulaires en ajustant des échantillons Monte Carlo générés avec différentes valeurs d'amplitudes et de phases. De plus, nous avons testé notre modèle avec les données qui ont servi à l'analyse $B^0 \to J/\psi K^{*0}$ [78]. Dans tous les cas, nous avons trouvé des résultats cohérents entre eux. Dans la section 4.11.1, nous présentons une comparaison entre nos résultats dans le canal $B^0 \to J/\psi K^{*0}$ et ceux déjà publiés en utilisant 1 fb⁻¹ des données [78].

Dans l'ajustement angulaire, nous adoptons la méthode sFit où la fonction de vraisemblance est ajustée dans un échantillon d'évènements pondérés par les poids W_i correspondant au signal B_s^0 . L'ajustement minimise alors l'opposé du logarithme de la fonction de vraisemblance étendue définie initialement par l'équation 4.5 [66]:

$$-\ln \mathcal{L}(\nu, \vec{\lambda}) = -\alpha \frac{e^{-\nu}}{N!} \sum_{i=1}^{N} \nu W_i \ln f(\vec{x}_i; \vec{\lambda}). \tag{4.29}$$

Le facteur de correction $\alpha = \sum_i W_i / \sum_i W_i^2$ tient compte de l'effet des $_s Weights$ dans la détermination des incertitudes statistiques, qui sont généralement sous-estimées par l'ajustement des distributions pondérées (sFit) [66]. La PDF du signal est :

$$f(\vec{x}; \vec{\lambda}) = PDF(\Omega; \vec{\lambda}),$$
 (4.30)

où la PDF décrit les distributions angulaires du signal B_s^0 (cf. équation 4.21) et $\Omega = \theta_K, \theta_\mu, \varphi_h$. Les paramètres $\vec{\lambda}$ sont des paramètres physiques angulaires :

 $\vec{\lambda}_{\text{phys}} = (f_0, f_{\parallel}, \delta_{\parallel}, \delta_{\perp}, F_S, \delta_S, A_0^{CP}, A_{\parallel}^{CP}, A_{\perp}^{CP}, A_S^{CP})$. Les paramètres $A_0^{CP}, A_{\parallel}^{CP}$ et A_{\perp}^{CP} désignent respectivement les asymétries CP directes pour les polarisations longitudinale, parallèle et perpendiculaire de l'onde P. L'asymétrie CP directe correspondant à l'onde S du système $K\pi$ est notée A_S^{CP} . L'asymétrie CP directe sera détaillée dans la section 4.7.

Les distributions angulaires sont déformées par l'acceptance du détecteur. La PDF totale avec laquelle nous ajustons notre échantillon final est :

$$PDF^{reco}(\Omega; \vec{\lambda}_{phys}) = \frac{\varepsilon(\Omega)PDF(\Omega; \vec{\lambda}_{phys})}{\int d\Omega \varepsilon(\Omega)PDF_{\Omega}(\Omega; \vec{\lambda}_{phys})},$$
(4.31)

où $\varepsilon(\Omega)$ est l'acceptance angulaire.

TABLE 4.5 – Les facteurs C_{SP} , C_{SD} et C_{PD} calculés dans 4 bins de $m_{K\pi}$ pour $B_s^0 \to J/\psi K\pi$. Les incertitudes sont obtenues en prenant les différences maximales trouvées lors de la comparaison avec les valeurs obtenues à l'aide des modèles alternatifs [65].

	$826 \le m_{K\pi} \le 861$	$861 < m_{K\pi} \le 896$	$896 < m_{K\pi} \le 931$	$931 < m_{K\pi} \le 966$
C_{SP}	0.968 ± 0.017	0.931 ± 0.012	0.952 ± 0.012	0.988 ± 0.011
C_{SD}	0.9968 ± 0.0030	0.9978 ± 0.0021	0.9983 ± 0.0016	0.9986 ± 0.0012
C_{PD}	0.9827 ± 0.0048	0.9402 ± 0.0048	0.9421 ± 0.0056	0.9802 ± 0.0066

4.6.2 Facteurs C_{SP}

127

1272

1277

En raison de la présence simultanée de l'onde P et de l'onde S, la distribution angulaire dépend de $m_{K\pi}$. Afin de tenir compte de la variation de l'amplitude angulaire avec $m_{K\pi}$ sans compliquer le modèle de l'ajustement angulaire, la région de masse est subdivisée en 4 bins de 35 MeV/ c^2 , ajustés simultanément. Cela permet d'éviter d'ajouter explicitement la variable $m_{K\pi}$ dans l'ajustement. L'intégration de la PDF dans un bin $m_{K\pi}$, $m_{K\pi}^L < m_{K\pi} \le m_{K\pi}^H$, donne lieu aux coefficients correctifs suivants, dans les termes d'interférence S - P (k = 7, 9, 10 dans la table 4.4):

$$\frac{\int_{m_{K\pi}^{H}}^{m_{K\pi}^{H}} p \times s^{\star} \Phi \varepsilon(m_{K\pi}) dm_{K\pi}}{\sqrt{\int_{m_{K\pi}^{L}}^{m_{K\pi}^{H}} |p|^{2} \Phi \varepsilon(m_{K\pi}) dm_{K\pi} \int_{m_{K\pi}^{L}}^{m_{K\pi}^{H}} |s|^{2} \operatorname{PhSp} \varepsilon(m_{K\pi}) dm_{K\pi}}} = C_{SP} e^{-i\theta_{SP}}, \quad (4.32)$$

où p et s représentent respectivement les propagateurs de masse de l'onde P et de l'onde S, et l'espace de phase est représenté par Φ . Le terme $\varepsilon(m_{K\pi})$ désigne l'efficacité de la sélection d'évènements dans un bin, $m_{K\pi}^L < m_{K\pi} \le m_{K\pi}^H$, en fonction

de la vraie distribution $m_{K\pi}$ obtenue dans la simulation. La fonction $\varepsilon(m_{K\pi})$ n'est pas exactement une fonction en escalier à cause des effets de la résolution [79]. La phase θ_{SP} est réabsorbée dans δ_S . Les facteurs C_{SP} sont des nombres réels définis dans l'intervalle [0,1], qui entrent dans l'ajustement angulaire. De même, les facteurs C_{SD} et C_{PD} sont calculés, ils sont nécessaires pour l'estimation de l'incertitude systématique due à la possibilité de la présence d'une onde D dans le système $K\pi$.

Le propagateur de l'onde S est construit en utilisant la paramétrisation dite LASS [80], constituée d'une combinaison linéaire de la résonance $K_2^*(1430)^0$ avec une composante non résonante. L'onde P est décrite par une combinaison des résonances $K^*(892)^0$ et $K_1^*(1410)^0$. On inclut la possibilité d'une onde D provenant de la résonance $K_2^*(1430)^0$. Les résonances sont paramétrées en utilisant des fonctions Breit Wigner relativistes. La table 4.5 contient les valeurs des facteurs C_{SP} , C_{SD} et C_{PD} . Des incertitudes systématiques leur sont assignées en utilisant des modèles alternatifs de propagateurs pour décrire les distributions de masse correspondant à l'onde S et l'onde P [65].

4.6.3 Acceptance angulaire

1283

1286

1287

1297

1306

1308

1309

1311

1312

1314

1315

Les effets de l'acceptance angulaire sont modélisés avec *des poids de normalisation* [81]. Ces coefficients de pondération sont obtenus à partir d'évènements de signal simulés. Ces poids sont affinés en utilisant la procédure itérative expliquée dans [66, 3] pour corriger les imperfections de la simulation du détecteur ainsi que la différence dans la physique sous-jacente entre la simulation et les vraies données, comme l'absence de l'onde S dans le MC. L'ensemble des poids de normalisation est calculé séparément pour chaque bin $m_{K\pi}$ et charge de kaons. Nous pouvons résumer la procédure itérative comme suit [65] :

- les poids de normalisation sont calculés en utilisant des évènements $B^0 \rightarrow J/\psi K^{*0}$ simulés et non corrigés,
- une première estimation des paramètres physiques est obtenue via un sFit sur les vraies données pondérées par les $_sWeights$ du méson B^0 ,
- l'échantillon MC est pondéré par la différence entre la PDF angulaire dans les vraies données et celle utilisée dans la simulation,
- on pondère les impulsions des particules filles K^{\pm} et π^{\pm} afin qu'elles décrivent mieux les distributions cinématiques dans les vraies données,
- on re-calcule les poids de normalisation en utilisant l'échantillon MC simulé et effectuer le sFit,
- on répète les deux dernières étapes jusqu'à ce que le changement des paramètres physiques soit négligeable ($< 0.01\sigma$)

A titre d'exemple, le tableau 4.6 montre les poids de normalisation dans le premier bin, avant la procédure itérative [65]. Bien que les poids de normalisation permettent

une description mathématique exacte de l'acceptance, ils ne permettent pas de visualiser les ajustements angulaires sur les données. Pour cette raison, un autre traitement est mis en oeuvre. Il consiste à paramétrer l'acceptance angulaire en utilisant
des harmoniques sphériques et des polynômes de Legendre. Les coefficients de la
fonction d'acceptance sont choisis de telle sorte qu'ils soient mathématiquement
identiques aux poids de normalisation. La figure 4.6 illustre des projections bidimensionnelles de la paramétrisation d'acceptance utilisée lors de la construction
des distributions angulaires. La forme asymétrique de l'acceptance dans la dimension $\cos \theta_K$ est due à la masse asymétrique des particules filles provenant du méson \overline{K}^{*0} . Dans le cas d'un état final symétrique comme $J/\psi K^+K^-$, l'acceptance dans la
dimension $\cos \theta_K$ doit être symétrique autour de $\cos \theta_K = 0$.

TABLE 4.6 – Les poids de l'acceptance angulaire avant la procédure itérative calculés avec un échantillon Monte Carlo. Les valeurs ci-dessous correspondent au premier bin de $m_{K\pi}$ et aux kaons négatifs. Les poids de l'acceptance sont normalisés par rapport au poids ξ_{00} .

	k	ξ_k/ξ_1
1	(00)	1.000
2	$(\ \)$	$+1.379 \pm 0.029$
3	$(\bot\bot)$	$+1.388 \pm 0.003$
4	(SS)	$+1.190\pm0.019$
5	$(0 \parallel)$	-0.003 ± 0.012
6	$(0 \perp)$	$+0.010\pm0.011$
7	(0S)	-0.929 ± 0.024
8	$(\ \bot)$	$+0.035 \pm 0.019$
9	$(\parallel S)$	-0.042 ± 0.017
_10	(\(\preceq\ S\)	$+0.029 \pm 0.016$

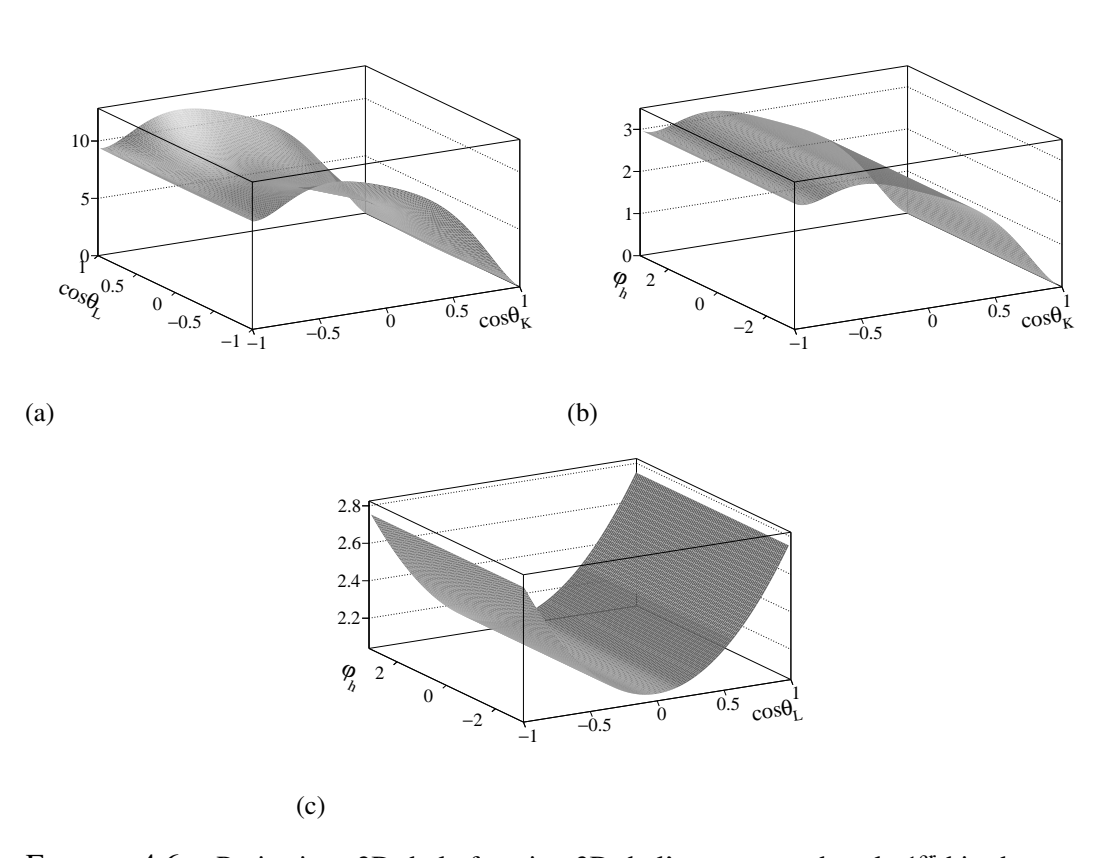


FIGURE 4.6 – Projections 2D de la fonction 3D de l'acceptance dans le 1^{er} bin de $m_{K\pi}$, pour les kaons négatifs.

4.7 Asymétrie CP directe

Cette section est consacrée à la première mesure mondiale de l'asymétrie CP directe dans les désintégrations $B_s^0 \to J/\psi \bar{K}^{*0}$. Le Modèle Standard prédit une asymétrie CP directe nulle dans ce canal [82]. Après avoir défini l'asymétrie CP directe, nous détaillons son implantation dans notre ajustement angulaire. Puis, nous abordons les asymétries de détection et de production qui tiennent compte des effets de détection et de production des hadrons B dans les collisions proton-proton au LHC. Il est important de mentionner que les asymétries CP directes étaient ajustées en aveugle dans notre analyse, en appliquant un décalage masqué (« blinding shift »), jusqu'à ce que les rapporteurs nous ont autorisés à démasquer ce décalage, en juin 2015.

4.7.1 Définition

1342

Le canal $B_s^0 \to J/\psi \overline{K}^{*0}$ ($\overline{K}^{*0} \to K^- \pi^+$) est un canal spécifique de saveur, c'està-dire que le signe du kaon donne la saveur du méson B_s^0 au moment de la désintégration. Nous définissons l'asymétrie CP de la façon suivante :

$$A^{CP}(B^{0}_{(s)} \to f_{(s)}) = \frac{\Gamma(\overline{B}^{0}_{(s)} \to \overline{f}_{(s)}) - \Gamma(B^{0}_{(s)} \to f_{(s)})}{\Gamma(\overline{B}^{0}_{(s)} \to \overline{f}_{(s)}) + \Gamma(B^{0}_{(s)} \to f_{(s)})},$$
(4.33)

où $f_s = J/\psi(K^-\pi^+)$ et $f = J/\psi(K^+\pi^-)$. En effet, le méson B_s^0 donne un \overline{K}^{*0} ($\to K^-\pi^+$), tandis que le B^0 donne K^{*0} ($\to K^+\pi^-$). L'asymétrie CP brute est définie comme :

$$A_{\text{brute}}^{CP}(B_{(s)}^{0} \to f_{(s)}) = \frac{N^{\text{obs}}(\overline{f}_{(s)}) - N^{\text{obs}}(f_{(s)})}{N^{\text{obs}}(\overline{f}_{(s)}) + N^{\text{obs}}(f_{(s)})}.$$
(4.34)

Dans cette équation, $A_{\mathrm{brute}}^{CP}(B_{(s)}^0 \to f_{(s)})$ représente l'asymétrie brute sans aucune correction des effets de détecteur et de la production des paires $b-\bar{b}$. De plus, N^{obs} et $N^{\mathrm{obs}}(\overline{f}_{(s)})$ désignent respectivement le nombre d'évènements observés ayant l'état final $f_{(s)}$ et $\overline{f}_{(s)}$. L'asymétrie CP totale est donnée par [83] :

$$A^{CP}(B^{0}_{(s)} \to f_{(s)}) = A^{CP}_{\text{brute}}(B^{0}_{(s)} \to f_{(s)}) - \zeta_{(s)}A_{D}(f) - \kappa_{(s)}A_{P}(B^{0}_{(s)}), \qquad (4.35)$$

où $A_{\rm D}(f)$ est l'asymétrie de détection et $A_{\rm P}(B^0_{(s)})$ est l'asymétrie de production. Le facteurs $\zeta_{(s)}=+1(-1)$ et $\kappa_{(s)}$ rendent compte de la dilution due aux oscillations $B^0_{(s)}-\overline{B^0_s}$ [19]. Le terme $\kappa_{(s)}$ est défini comme :

$$\kappa_{(s)} = \frac{\int_0^\infty e^{-\Gamma_{(s)}t} \cos\left(\Delta m_{(s)}t\right) \varepsilon(t) dt}{\int_0^\infty e^{-\Gamma_{(s)}t} \cosh\left(\frac{\Delta \Gamma_{(s)}}{2}t\right) \varepsilon(t) dt},$$
(4.36)

où $\varepsilon(t)$ est l'acceptance temporelle, que l'on suppose identique pour les désintégrations $B^0_s \to J/\psi \bar K^{*0}$ et $B^0 \to J/\psi K^{*0}$.

Nous mesurons l'asymétrie *CP* pour les 3 polarisations correspondant à l'onde P (0, \parallel , \perp), ainsi que pour l'onde S.

4.7.2 Asymétrie CP directe dépendante de polarisations

Nous définissons les asymétries CP dépendantes de polarisation en fonction des fractions de polarisation pour le méson B_s^0 et $\overline{B_s^0}$. Soit N^+ (N^-) le nombre d'évènements ayant un $K^+(K^-)$ dans l'état final. L'amplitude angulaire $|A_i|$ s'écrit comme :

$$|A_i|^2 = \frac{N^+ |A_i^+|^2 + N^- |A_i^-|^2}{N^+ + N^-},\tag{4.37}$$

où *i* est l'état de polarisation ($i = 0, ||, \perp, S$) et A_i^{\pm} est l'amplitude correspondante mesurée dans un échantillon avec des kaons positifs (négatifs). Les amplitudes de polarisation sont contraintes par la relation de normalisation $\sum_i |A_i|^2 = 1$.

Pour chacune des quatre polarisations, l'asymétrie *CP* brute peut être écrite comme :

$$A_{\text{brute},i}^{CP} = \frac{N^{+}|A_{i}^{+}|^{2} - N^{-}|A_{i}^{-}|^{2}}{N^{+}|A_{i}^{+}|^{2} + N^{-}|A_{i}^{-}|^{2}}.$$
(4.38)

Par conséquent, nous écrivons l'asymétrie *CP* directe dans l'équation 4.35 en fonction des différents états de polarisations de l'état final :

$$A_{i}^{CP}(B_{(s)}^{0} \to f_{(s)}) = A_{\text{brute},i}^{CP}(B_{(s)}^{0} \to f_{(s)})_{i} - \zeta_{(s)}A_{D}(f_{(s)}) - \kappa_{(s)}A_{P}(B_{(s)}^{0}).$$
 (4.39)

4.7.3 Asymétrie de production

1361

1364

Le LHC étant un collisionneur protons-protons, il se produit une asymétrie entre le nombre de quarks b et \bar{b} produits dans l'acceptance de LHCb. L'asymétrie de production que nous utilisons dans notre analyse est obtenue en pondérant les résultats reportés dans [84] avec l'impulsion transverse et la pseudo-rapidité de nos candidats B^1 . L'asymétrie de production est définie comme suit :

$$A_{\rm P}(B) \equiv \frac{\sigma(\bar{B}) - \sigma(B)}{\sigma(\bar{B}) + \sigma(B)},\tag{4.40}$$

où σ est la section efficace de production. Les asymétries de production $A'_{\rm P}(B)$ mesurées dans [84] sont données dans les tableaux 4.7 et 4.8. Elles sont ensuite pondérées suivant l'équation ci-dessous :

$$A_{\mathrm{P}}(B) \equiv \sum_{\mathrm{Bins i}} w_{i} A'_{\mathrm{P},i}(B), \qquad w_{i} \equiv \frac{N_{B} \in \mathrm{Bin i}}{N_{B}^{\mathrm{total}}}, \qquad B = B^{0}_{(s)}. \tag{4.41}$$
1. ici $B = B^{0}$ ou B^{0}_{s}

TABLE 4.7 – Les asymétries de production de B^0 en bins d'impulsion transverse (p_T) et de pseudo-rapidité (η) , ainsi que les poids des candidats $B^0 \to J/\psi K^{*0}$ (Poids w_i) après la sélection finale. Pour $A'_{P,i}(B^0)$ la première incertitude est statistique, la deuxième est systématique.

Bin	$p_T (\text{GeV}/c)$	η	Poids w_i	$A'_{\mathrm{P},i}(B)$
1	(1.0, 4.0)	(4.5,5.2)	0.0350 ± 0.0004	$0.0016 \pm 0.0253 \pm 0.0016$
2	(1.0, 4.0)	(3.7,4.5)	0.1038 ± 0.0007	$-0.0158 \pm 0.0162 \pm 0.0015$
3	(2.0, 4.0)	(3.0,3.7)	0.0551 ± 0.0005	$0.0055 \pm 0.0254 \pm 0.0016$
4	(4.0,12.0)	(4.5,4.7)	0.0031 ± 0.0001	$0.0160 \pm 0.0736 \pm 0.0067$
5	(4.0, 7.0)	(3.7,4.5)	0.0958 ± 0.0007	$-0.0189 \pm 0.0158 \pm 0.0032$
6	(4.0, 7.0)	(3.0,3.7)	0.1671 ± 0.0010	$-0.0311 \pm 0.0132 \pm 0.0014$
7	(4.0, 7.0)	(2.5,3.0)	0.0513 ± 0.0005	$0.0556 \pm 0.0254 \pm 0.0020$
8	(7.0,12.0)	(3.7,4.5)	0.0432 ± 0.0005	$-0.0145 \pm 0.0205 \pm 0.0027$
9	(7.0,12.0)	(3.0,3.7)	0.1558 ± 0.0009	$-0.0142 \pm 0.0111 \pm 0.0015$
10	(7.0,12.0)	(2.5,3.0)	0.1035 ± 0.0007	$-0.0236 \pm 0.0138 \pm 0.0014$
11	(7.0,12.0)	(2.2,2.5)	0.0172 ± 0.0003	$-0.0190 \pm 0.0348 \pm 0.0034$
12	(12.0,30.0)	(3.7,4.5)	0.0080 ± 0.0002	$-0.0550 \pm 0.0473 \pm 0.0020$
13	(12.0,30.0)	(3.0,3.7)	0.0508 ± 0.0005	$0.0067 \pm 0.0180 \pm 0.0021$
14	(12.0,30.0)	(2.5,3.0)	0.0557 ± 0.0005	$0.0177 \pm 0.0162 \pm 0.0023$
15	(12.0,30.0)	(2.0,2.5)	0.0276 ± 0.0004	$-0.0018 \pm 0.0236 \pm 0.0020$
16	(0.2, 1.0)	(4.5,6.0)	0.0098 ± 0.0002	$-0.0391 \pm 0.0501 \pm 0.0016$
17	(1.0, 2.2)	(5.2,6.0)	0.0034 ± 0.0001	$0.0523 \pm 0.0684 \pm 0.0025$

La fraction des évènements $B_{(s)}^0$ dans le bin i est donnée par w_i , obtenue en additionnant les ${}_sWeights$ calculés via l'ajustement de masse décrit dans la section 4.4.

En utilisant les poids et les asymétries de production donnés dans les tableaux 4.7 et 4.8 pour les systèmes B^0 et B_s^0 , respectivement, nous obtenons les asymétries de production suivantes pour notre analyse :

$$A_{\rm P}(B^0) = (-1.04 \pm 0.48 \,(\text{stat}) \pm 0.14 \,(\text{syst}))\%,$$
 (4.42)

$$A_{\rm P}(B_s^0) = (-1.64 \pm 2.28 \,(\text{stat}) \pm 0.55 \,(\text{syst}))\%.$$
 (4.43)

Afin de calculer le facteur $\kappa_{(s)}$ (cf. équation 4.36), l'acceptance temporelle est déterminée dans les données réelles après avoir appliqué les $_sWeights$ correspondant au méson B^0 (cf. figure 4.7). En premier lieu, nous générons une distribution à partir d'une convolution d'une exponentielle décrivant le temps propre et une gaussienne modélisant la résolution temporelle. Puis, nous divisons la distribution de temps propre du B^0 , dans les vraies données, par la distribution générée. Ensuite, nous ajustons l'histogramme résultant avec la fonction d'acceptance donnée dans [85]:

$$\varepsilon(t) = \frac{[1 + \beta(t - t_0)][a(t - t_0)]^n}{1 + [a(t - t_0)]^n},$$
(4.44)

TABLE 4.8 – Les asymétries de production de B^0_s en bins d'impulsion transverse (p_T) et de pseudo-rapidité (η) , ainsi que les poids des candidats $B^0_s \to J/\psi \overline{K}^{*0}$ (Poids w_i) après la sélection finale. Pour $A'_{P,i}(B^0_s)$ la première incertitude est statistique, la deuxième est systématique.

Bin	$p_T (\text{GeV}/c)$	η	Poids w_i	$A_{\mathrm{P},i}'(B)$
1	(2,4)	(3.0,5.0)	0.1630 ± 0.0103	$-0.1475 \pm 0.0895 \pm 0.0192$
2	(4,8)	(3.5,4.5)	0.1776 ± 0.0108	$-0.0471 \pm 0.0513 \pm 0.0112$
3	(4, 9)	(2.5,3.5)	0.2773 ± 0.0140	$0.0376 \pm 0.0467 \pm 0.0083$
4	(8,12)	(3.5,4.5)	0.0542 ± 0.0056	$0.0582 \pm 0.0537 \pm 0.0053$
5	(8,12)	(2.5,3.5)	0.1810 ± 0.0109	$0.0370 \pm 0.0332 \pm 0.0051$
6	(12,30)	(3.5,4.5)	0.0150 ± 0.0029	$-0.0339 \pm 0.0750 \pm 0.0095$
7	(12,30)	(2.5,3.5)	0.0815 ± 0.0070	$-0.0333 \pm 0.0309 \pm 0.0040$
8	(8,30)	(2.2,2.5)	0.0296 ± 0.0041	$-0.0351 \pm 0.0485 \pm 0.0059$

et obtenons $a=1.814, n=1.552, t_0=0.219$ et $\beta=0.020$. Par conséquent, le facteur de dilution dans l'équation 4.36 est égal à 0.06% pour le méson B_s^0 , et 41% pour le B^0 . La grande différence entre les deux valeurs est due aux oscillations qui sont plus rapides pour les mésons B_s^0 . L'asymétrie de production est de 10^{-5} pour le canal $B_s^0 \to J/\psi K^{*0}$ et 10^{-3} pour $B^0 \to J/\psi K^{*0}$. Par conséquent, l'asymétrie de production n'a d'influence significative que dans le cas du $B^0 \to J/\psi K^{*0}$.

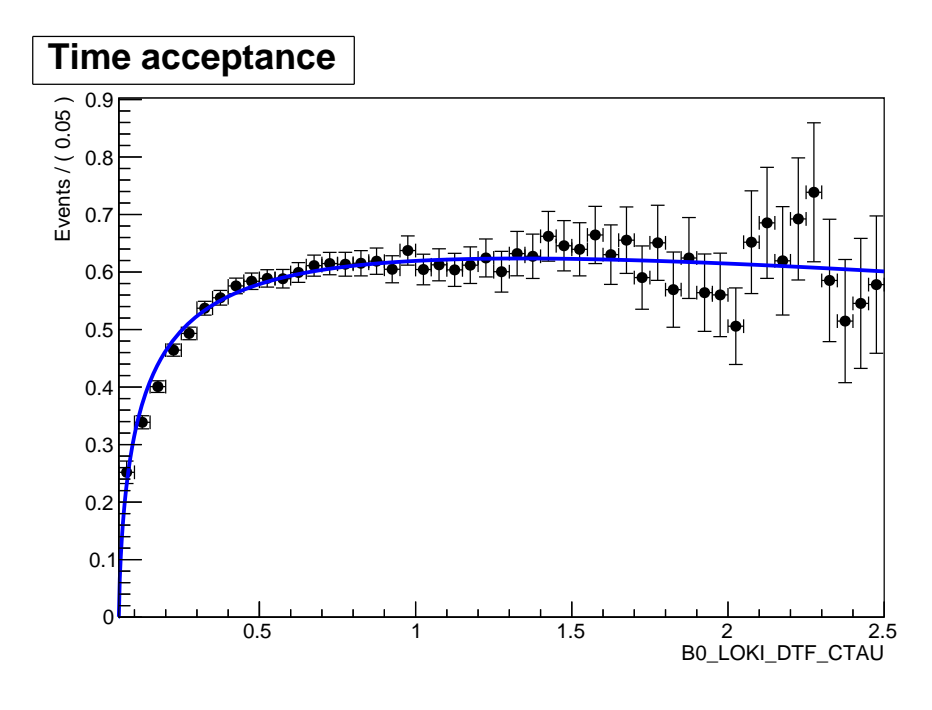


FIGURE 4.7 – L'ajustement de l'acceptance temporelle dans les données réelles pondérées avec les $_sWeights$ du B^0 .

4.7.4 Asymétrie de détection

1403

Dans la reconstruction de l'état final $(K^-\pi^+)$, il y a une asymétrie instrumentale, $A_{\rm D}(f)$, due à la différence de section efficace d'interaction entre les kaons positifs et négatifs. En outre, l'acceptance du détecteur et les inefficacités de détection et de sélection peuvent contribuer à cette asymétrie. Nous définissons ci-dessous l'asymétrie de détection $A_{\rm D}(f)$ pour l'état final f en fonction de l'efficacité de détection $\varepsilon(f)$:

$$A_{\rm D}(f) \equiv \frac{\varepsilon(\bar{f}) - \varepsilon(f)}{\varepsilon(\bar{f}) + \varepsilon(f)}.$$
 (4.45)

De manière similaire à l'asymétrie de production, nous utilisons les $A'_{\mathrm{D},i}(K\pi)$ mesurées en bins d'impulsions de K^+ [86], puis nous les pondérons par la distribution de l'impulsion de K^+ dans le canal $B^0_{d(s)} \to J/\psi K^{*0}(\bar{K}^{*0})$. Nous supposons négligeable l'asymétrie de détection provenant des pions [86], Par conséquent, nous écrivons :

$$A_{\mathcal{D}}(B) \equiv \sum_{\text{Bins i}} w_i A'_{\mathcal{D},i}(B), \qquad w_i \equiv \frac{N_B \in \text{Bin i}}{N_B^{\text{tot}}}, \qquad B = B^0_{(s)}, \tag{4.46}$$

Afin de calculer les incertitudes de manière conservative, nous supposons une corrélation de 100% entre les valeurs de $A'_{D,i}(K\pi)$ dans les différents bins.

En utilisant les valeurs de l'asymétrie de détection des kaons et les poids donnés dans les tableaux 4.9 et 4.10, nous obtenons les asymétries de détection dans les canaux $B^0 \to J/\psi K^{*0}$ et $B_s^0 \to J/\psi \bar{K}^{*0}$:

$$A_{\rm D}(B^0) = (1.12 \pm 0.55 \,(\text{stat}))\%,$$
 (4.47)

$$A_{\rm D}(B_s^0) = (-1.08 \pm 0.53 \,(\text{stat}))\%.$$
 (4.48)

Nous rappelons que le B_s^0 donne \overline{K}^{*0} , tandis que le B^0 donne un K^{*0} , ce qui explique la différence de signe dans les asymétries de détection ci-dessus.

TABLE 4.9 – Les asymétries de détection de $(K^- \pi^+)$ en bins d'impulsion de kaon (p), et les poids des candidats $B^0 \to J/\psi K^{*0}$ (Poids w_i) obtenus après la sélection finale. Les incertitudes sont statistiques [86]

Bin	p(GeV/c)	Poids w _i	$A'_{\mathrm{D},i}(K^-)$
1	(02.0,10.0)	0.1836 ± 0.0010	-1.37 ± 0.11
2	(10.0,17.5)	0.2954 ± 0.0014	-1.21 ± 0.10
3	(17.5,22.5)	0.1458 ± 0.0009	-1.15 ± 0.11
4	(22.5,30.0)	0.1446 ± 0.0009	-1.10 ± 0.12
5	(30.0,50.0)	0.1581 ± 0.0009	-0.89 ± 0.16
6	(50.0,70.0)	0.0472 ± 0.0005	-0.72 ± 0.29
7	(70.0,100)	0.0192 ± 0.0003	-0.33 ± 0.30
8	(100,150)	0.0054 ± 0.0002	0.18 ± 0.45

Table 4.10 – Les asymétries de détection de $(K^-\pi^+)$ en bins d'impulsion de kaon (p), et les poids des candidats $B^0_s \to J/\psi \bar{K}^{*0}$ (Poids w_i) obtenus après la sélection finale. Les incertitudes sont statistiques [86]

Bin	p(GeV/c)	Poids w_i	$A'_{\mathrm{D},i}(K^-)$
1	(02.0,10.0)	0.1557 ± 0.0100	-1.37 ± 0.11
2	(10.0,17.5)	0.2735 ± 0.0139	-1.21 ± 0.10
3	(17.5,22.5)	0.1389 ± 0.0094	-1.15 ± 0.11
4	(22.5,30.0)	0.1451 ± 0.0096	-1.10 ± 0.12
5	(30.0,50.0)	0.1884 ± 0.0111	-0.89 ± 0.16
6	(50.0,70.0)	0.0649 ± 0.0062	-0.72 ± 0.29
7	(70.0,100)	0.0243 ± 0.0037	-0.33 ± 0.30
8	(100,150)	0.0079 ± 0.0021	0.18 ± 0.45

4.8 Validation de l'ajustement avec des pseudo-expériences

Dans cette section, nous expliquons la validation de notre analyse avec des pseudo-expériences. Après avoir défini les paramètres utilisés dans ces études, nous développons la validation de l'ajustement de la masse puis celui des angles.

4.8.1 Généralités

1413

1414

1415

1417

1420

1423

1436

Les pseudo-expériences permettent de construire des distributions de « pulls » pour chaque paramètre dans l'ajustement afin d'estimer les biais potentiels qui peuvent résulter du modèle. Nous définissons le pull d'un paramètre libre a dans la i^e pseudo-expérience comme suit :

$$pull_i = \frac{a_i^f - a_i^t}{\sigma_i^f} , \qquad (4.49)$$

où a_i^f est la valeur ajustée du paramètre a et σ_i^f son incertitude estimée par l'ajustement. La valeur générée du paramètre est désignée par a_i^t . La définition du pull dans 4.49 est valable uniquement dans le cas où l'ajustement calcule des erreurs symétriques. Sinon, lors de l'utilisation de MINOS [73] par exemple, les erreurs peuvent être asymétriques. Dans ce cas, le pull est défini tel que :

$$\operatorname{pull}_{i} = \frac{\xi\left(a_{i}^{f} - a_{i}^{t}\right)}{\widetilde{\sigma}_{i}^{f}} \begin{cases} a_{i}^{f} < a_{i}^{t} \Rightarrow \xi = +1 \text{ et } \widetilde{\sigma}_{i}^{f} = \sigma_{i}^{f,+} \\ a_{i}^{f} \geq a_{i}^{t} \Rightarrow \xi = -1 \text{ et } \widetilde{\sigma}_{i}^{f} = \sigma_{i}^{f,-} \end{cases}, \tag{4.50}$$

où $\sigma_i^{f,+}$ et $\sigma_i^{f,-}$ sont les erreurs positive et négative calculées par l'ajustement. Un pull idéal suit une loi gaussienne, centrée à zéro avec une largeur de 1. Cela indique l'absence de biais et valide l'estimation de l'incertitude sur ce paramètre. Le biais sur le paramètre a_i est égale à la différence $\left(a_i^f - a_i^t\right)$. Toutes les pseudo-expériences sont générées avec le même nombre d'évènements que celui observé dans les données réelles.

Dans cette étude, nous considérons deux types de pseudo-expériences : pur et intégré. Dans le cas des pseudo-expériences pures, des échantillons de chaque catégorie d'évènements sont générés à partir du modèle qui a servi à l'ajustement des données réelles. Cette technique permet de déterminer quels paramètres de la PDF peuvent être libres dans la configuration nominale. Les biais qui apparaissent dans ce cas peuvent être dus à la petite taille de l'échantillon utilisé. D'autre part, le deuxième type de pseudo-expériences, dit intégré, permet d'utiliser des évènements MC reconstruits. Ces évènements simulés sont ensuite insérés dans l'échantillon total de la pseudo-expérience. Nous nous assurons que chaque évènement MC utilisé

est unique. Ces études *intégrées* sont limitées par le nombre d'échantillons MC statistiquement indépendants.

Dans cette analyse, les évènements correspondants aux mésons B_s^0 , B^0 et au bruit de fond combinatoire sont générés à partir de leurs PDF nominales (voir équation 4.16), tandis que les bruits de fond non combinatoires sont injectés à partir d'échantillons MC. La validation du modèle d'ajustement doit être effectuée en deux étapes :

- nous vérifions la présence de biais potentiels sur les paramètres entrant dans l'ajustement de masse. Les résultats de cette étude sont présentés dans la section 4.8.2.
- la deuxième étape consiste à valider l'analyse angulaire des produits de désintégration $B_s^0 \to J/\psi \bar{K}^{*0}$. Les paramètres angulaires sont extraits en ajustant les candidats $B_s^0 \to J/\psi \bar{K}^{*0}$ dans les données réelles après avoir appliqué les $_sWeights$ pour soustraire le bruit de fond [87]. Nous vérifions si l'ajustement de masse biaise les paramètres angulaires via les $_sWeights$. En outre, le modèle angulaire peut contenir des biais intrinsèques. Ces deux sources potentielles de biais sont étudiées à l'aide de pseudo-expériences, comme décrit dans la section 4.8.3.

Il est important de mentionner que la masse et les distributions angulaires sont générées en même temps pour s'assurer que les $_sWeights$ extraits de l'ajustement de la masse sont appliqués sur les évènements correspondants lors de l'exécution des pseudo-expériences liées à l'ajustement angulaire.

4.8.2 Validation de l'ajustement de la masse

Afin de tester le modèle nominal de masse, nous générons 1000 pseudo-expériences à partir de la PDF de masse. Pour chaque pseudo-expérience, le nombre d'évènements pour les *catégories* B_s^0 , B^0 et le bruit de fond combinatoire, est tiré aléatoirement selon une distribution de Poisson construite à partir des résultats de l'ajustement nominal de masse présenté dans la section 4.4. Nous divisons l'échantillon généré dans chaque pseudo-expérience en 20 sous-ensembles correspondant aux quatre bins $m_{K\pi}$ multipliés par les cinq bins $\cos \theta_{\mu}$ tels que définis dans les tables 4.1 et 4.3.

Les valeurs des paramètres fixes dans le modèle de masse sont extraites des données simulées, séparément pour chaque bin $m_{K\pi}$, et sont supposées identiques pour chaque bin $\cos \theta_{\mu}$. Les nombres d'évènements B_s^0 , B^0 ainsi que celui de bruit de fond combinatoire sont libres de varier dans l'ajustement.

Les évènements $B^0_s o J/\psi \overline{K}^{*0}$ et $B^0 o J/\psi K^{*0}$

Concernant la modélisation de la masse des mésons B_s^0 et B^0 , les paramètres des queues de la fonction Hypatia sont fixes, tandis que la moyenne et la résolution sont libres de varier dans l'ajustement.

Le bruit de fond combinatoire

1480

Le paramètre décrivant la forme exponentielle du bruit de fond combinatoire est libre de varier dans l'ajustement.

Les bruits de fond non combinatoires

Tous les paramètres décrivant la forme des bruits de fond non combinatoires 1487 sont fixes. Ces paramètres ne varient pas selon les bins $m_{K\pi}$. Ceci est imposé par la faible statistique de ces catégories dans les données réelles et simulées. Les bruits de fond non combinatoires, à savoir le $B^0 \to J/\psi \pi^+ \pi^-$, $B^0_s \to J/\psi \pi^+ \pi^-$, $B^0_s \to J/\psi \pi^+ \pi^ J/\psi K^+K^-$ et $\Lambda_b^0 \to J/\psi pK^-$ sont soustraits dans le modèle d'ajustement nominal à l'aide de poids négatifs, comme expliqué dans la section 4.2. Nous procédons de la même manière lors de la génération de pseudo-expériences. Un nombre d'évènements, N_i , est tiré aléatoirement d'une distribution de Poisson de moyenne égale au nombre d'évènements attendus pour la catégorie de bruit de fond j. Puis, nous prenons N_j évènements des données simulées correspondant au bruit de fond en question. Nous ajoutons ensuite ces évènements à l'échantillon de pseudo-expérience généré. Les poids appliqués à ces évènements sont égaux à 1. Puis, un autre nombre d'évènements, N_i , est tiré au hasard de la même distribution de Poisson et ajouté à l'échantillon de pseudo-expérience généré. Les poids appliqués aux évènements N_i sont donnés par :

$$w_j = -\frac{N_j}{N_j'}. (4.51)$$

De cette façon, la somme pondérée des évènements pour chacune de quatre *caté-gories* de bruit de fond sera statistiquement égale à zéro, i.e. elle sera égale à $N_j \times 1 + N_j' \times (-\frac{N_j}{N_j'})$. Notons que chaque évènement $B^0 \to J/\psi \pi^+ \pi^-$, $B_s^0 \to J/\psi \pi^+ \pi^-$, $B_s^0 \to J/\psi K^+ K^-$ et $\Lambda_b^0 \to J/\psi p K^-$ est unique dans l'échantillon de pseudo-expérience.

Le nombre d'évènements $\Lambda_b^0 \to J/\psi p\pi^-$ est petit et ne peut donc être déterminé librement dans l'ajustement. Cependant, lors de l'utilisation de la technique de $_s\mathcal{P}lot$ dans le cas où le nombre d'évènements d'une ou plusieurs catégories est fixe, l'estimation par la méthode de maximum de vraisemblance des distributions (x,y) doit être corrigée par la distribution de chaque catégorie fixe [76]. Cette procédure implique que les distributions (x,y) des (x,

Puisque les distributions angulaires des désintégrations $\Lambda_b^0 \to J/\psi p\pi^-$ ne sont pas bien connues, nous décidons de ne pas fixer le nombre d'évènements de cette *catégories*. Cependant, nous appliquons une contrainte gaussienne sur le nombre d'évènements $\Lambda_b^0 \to J/\psi p\pi^-$ dans l'ajustement de la masse, en suivant la procédure décrite dans [88]. En effet, la valeur moyenne de la contrainte gaussienne est tirée aléatoirement selon la PDF décrivant la distribution de masse $\Lambda_b^0 \to J/\psi p\pi^-$, à savoir la fonction Amoroso [72].

1514

1515

1519

1521

1522

1525

1526

1528

1531

1532

1539

1540

Le taux de convergence des ajustements est de 100 %. Les résultats des études de pseudo-expériences sont détaillés dans [65].

Dans certains bins $m_{K\pi}$, nous observons quelques petits biais sur le nombre des candidats $B_s^0 \to J/\psi \bar{K}^{*0}$. Ces biais peuvent être expliqués par le manque de statistique. Pour valider cette hypothèse, nous avons généré un ensemble de 1000 pseudo-expériences avec seulement les quatre bins $m_{K\pi}$. Dans ces échantillons, les nombres d'évènements correspondants au méson B_s^0 et au bruit de fond combinatoire sont respectivement multipliés par un facteur 20 et 10. Les résultats sont donnés dans [65], ils montrent que les biais sur le nombre d'évènements disparaissent.

Les biais dans chaque bin $m_{K\pi}$ et $\cos \theta_{\mu}$ sont ajoutés en quadrature et sont ensuite pris comme incertitudes systématiques sur le résultat final et propagés dans les incertitudes systématiques sur le rapport $N_{B_0^0}/N_{B^0}$.

En ajoutant les biais sur $N_{B_s^0}$ et N_{B^0} dans les 20 bins, nous obtenons :

$$biais_{N_{B^0}} = -11.7, (4.52)$$

$$biais_{N_{B_{u}^{0}}} = 5.3.$$
 (4.53)

Les valeurs de $N_{B_s^0}$ et N_{B^0} sont données dans l'équation 4.12.

4.8.3 Validation de l'ajustement des angles

Dans cette section, nous décrivons la validation de l'ajustement angulaire via des pseudo-expériences. Nous avons effectué 1000 pseudo-expériences en fixant les asymétries *CP* à zéro. En effet, les asymétries *CP* sont ajustées en aveugle dans la configuration nominale sur les données et nous nous attendons à ce que leurs valeurs soient quasi nulles.

Pseudo-expériences avec des valeurs nulles de A^{CP}

Le modèle angulaire décrit dans la section 4.6 est assez complexe et doit être testé attentivement afin de détecter tout biais dans les paramètres d'intérêt, à savoir

les fractions de polarisation et les asymétries *CP* directes. Les biais dans l'ajustement angulaire peuvent provenir de deux sources :

- les biais dans l'ajustement de masse peuvent affecter l'ajustement angulaire via les sWeights appliqués sur les distributions angulaires,
- les biais intrinsèques au modèle angulaire.

1546

1547

1548

1549

1550

1552

1554

1555

1558

1564

1567

1570

1572

1573

1576

1578

Afin de distinguer ces deux sources de biais, nous étudions deux cas :

- nous effectuons un sFit des distributions angulaires pondérées par les $_sWeights$ correspondant au signal B_s^0 , extraits d'un ajustement de masse pour chacune des 1000 pseudo-expériences,
- nous générons des distributions angulaires vraies du signal B_s^0 , puis nous les ajustons pour chacune des 1000 pseudo-expériences.

La comparaison entre les résultats de ces deux études de pseudo-expériences permet aussi de valider la procédure de normalisation des $_sWeights$ afin d'obtenir des incertitudes correctes, comme décrit dans la section 4.5.

Dans les deux études, l'ajustement angulaire est effectué simultanément pour 16 sous-ensembles définis par les deux périodes de prise de données 2011 et 2012, la charge du kaon et les 4 bins de $m_{K\pi}$. Tous les paramètres sont communs parmi les 16 sous-ensembles, sauf ceux de l'onde S (i.e. les fractions d'amplitudes F_S et les phases fortes δ_S), qui varient dans les 4 bins $m_{K\pi}$. Chacun des 16 paramètres angulaires est laissé libre dans l'ajustement.

La table 4.11 donne les résultats de l'étude de pseudo-expériences avec la configuration nominale où les distributions angulaires pondérées sont ajustées, montrant la moyenne et largeur obtenues par un ajustement de la distribution de pull correspondant à chaque paramètre libre dans le modèle angulaire du méson B_s^0 . Nous observons certains petits biais dans les paramètres de l'onde S. Cependant, ces biais ne sont pas significatifs en comparaison avec l'incertitude statistique des paramètres de l'onde S.

La table 4.12 donne les résultats des ajustements effectués sur les distributions angulaires vraies du B_s^0 , montrant la moyenne et la largeur données par un ajustement de la distribution de pull correspondant à chaque paramètre libre dans le modèle d'ajustement angulaire.

Afin de comparer les résultats entre ces deux études de pseudo-expériences, nous définissons $\Delta(\text{true}-\text{sWeight})$, la différence entre la valeur d'un paramètre donnée par l'ajustement des distributions vraies et celle du sFit, comme :

$$\Delta(\text{true} - \text{sWeight}) = (a^{f,\text{true dist.}} - a^{f,\text{sWeighted dist.}}), \tag{4.54}$$

l'incertitude totale est donnée par $\sigma_{\rm tot.}$, telle que :

$$\sigma_{\text{tot.}} = \sqrt{(\sigma^{f,\text{true dist.}})^2 + (\sigma^{f,\text{sWeighted dist.}})^2},$$
 (4.55)

où $a^{f,\text{true dist.}}$ et $\sigma^{f,\text{true dist.}}$ sont les valeurs ajustées d'un paramètre a et leurs incertitudes renvoyées par l'ajustement des distributions angulaires vraies du signal B_s^0 , respectivement. D'autre part, $a^{f,\text{sWeighted dist.}}$ et $\sigma^{f,\text{sWeighted dist.}}$ désignent la valeur ajustée d'un paramètre a et son incertitude obtenues via l'ajustement des distributions angulaires après $_s\mathcal{P}lot$.

1582

1585

1586

1594

Si $\Delta(\text{true} - s\text{Weight})/\sigma_{\text{tot.}}$ est proche de zéro, cela indique qu'il n'y a pas de biais dans le modèle angulaire provenant de la procédure $_s\mathcal{P}lot$. De plus, nous normalisons les $_s\mathcal{W}eights$ dans la procédure $_s\mathcal{P}lot$ afin d'obtenir des incertitudes correctes. Cette normalisation est validée si le rapport $\sigma^{f,\text{true dist.}}/\sigma^{f,\text{sWeighted dist.}}$ est égal à 1. La table 4.13 donne les résultats de la comparaison entre les deux études de pseudo-expériences. Les résultats sont en bon accord avec les valeurs attendues. Pour ces raisons, nous concluons que la procédure sFit est validée. Une autre conclusion peut aussi être tirée : les petits biais observés sur le nombre des candidats $B_s^0 \to J/\psi \bar{K}^{*0}$ n'affectent pas les pulls des paramètres d'intérêt dans l'ajustement angulaire.

Notons que le taux de convergence de l'ajustement est proche 100%. Les distributions de pull de chaque paramètre libre dans la procédure nominale de sFit sont données dans l'appendice D.1. De plus, les corrélations entre les paramètres libres sont données dans l'appendice D.2.

TABLE 4.11 – Moyennes et largeurs des distributions de pulls pour tous les paramètres libres de l'ajustement angulaire aux distributions angulaires pondérées du méson B_s^0 .

$a(B_s^0)$	$\mu(\text{pull})$	$\sigma(\text{pull})$	a^t	biais	$\mu(\sigma^f)$
A_0^{CP}	-0.060 ± 0.033	1.027 ± 0.024	0.000	-0.003	0.055
$A_{\rm c}^{CP}$	0.038 ± 0.033	1.014 ± 0.025	0.000	0.004	0.106
$A_{ }^{CP}$	0.016 ± 0.033	1.016 ± 0.024	0.000	0.002	0.156
A_{\perp}^{CP}	-0.062 ± 0.034	1.029 ± 0.023	0.000	-0.005	0.088
f_0	0.017 ± 0.033	1.025 ± 0.027	0.497	0.000	0.028
$f_{ }$	-0.035 ± 0.033	1.020 ± 0.027	0.179	-0.001	0.027
$oldsymbol{\delta_{ }}$	0.061 ± 0.034	1.056 ± 0.027	-2.700	0.010	0.160
$oldsymbol{\delta}_{\perp}^{''}$	-0.069 ± 0.034	1.059 ± 0.027	-0.010	-0.007	0.108
F _S _826_861	0.047 ± 0.035	1.078 ± 0.028	0.475	0.005	0.109
<i>F</i> _S _861_896	0.110 ± 0.033	0.971 ± 0.024	0.080	0.003	0.032
<i>Fs</i> _896_931	0.195 ± 0.033	1.010 ± 0.027	0.044	0.007	0.035
<i>F</i> _S _931_966	0.126 ± 0.034	1.047 ± 0.029	0.523	0.015	0.115
δ_{S} _826_861	0.061 ± 0.034	1.056 ± 0.027	0.540	0.010	0.156
δ_{S} _861_896	-0.069 ± 0.034	1.059 ± 0.027	-0.530	-0.017	0.244
δ_{S} _896_931	-0.108 ± 0.032	0.996 ± 0.020	-1.460	-0.022	0.208
δ_{S} _931_966	0.043 ± 0.035	1.063 ± 0.027	-1.760	0.006	0.136

TABLE 4.12 – Moyennes et largeurs des distributions de pulls pour tous les paramètres libres de l'ajustement aux distributions angulaires vraies du méson B_s^0 .

$a(B_s^0)$	$\mu(\text{pull})$	$\sigma(\text{pull})$	a^t	biais	$\mu(\sigma^f)$
$\frac{A^{CP}}{A_0^{CP}}$	0.008 ± 0.031	0.974 ± 0.026	0.000	0.000	0.056
$A_{\rm S}^{CP}$	-0.007 ± 0.033	1.022 ± 0.025	0.000	-0.001	0.100
$A_S^{CP} \ A_{ }^{CP}$	0.003 ± 0.032	0.987 ± 0.024	0.000	0.000	0.147
A_{\perp}^{CP}	0.011 ± 0.032	0.998 ± 0.024	0.000	0.001	0.094
f_0	-0.023 ± 0.031	0.970 ± 0.028	0.497	-0.001	0.023
f_{\parallel}	-0.030 ± 0.033	1.007 ± 0.028	0.179	-0.001	0.026
$\delta_{\parallel}^{\scriptscriptstyle \parallel}$	0.034 ± 0.032	0.979 ± 0.027	-2.700	0.005	0.161
$oldsymbol{\delta}_{\perp}^{''}$	-0.020 ± 0.032	1.003 ± 0.027	-0.010	-0.002	0.108
F _S _826_861	0.054 ± 0.031	0.970 ± 0.028	0.475	0.006	0.109
F _S _861_896	0.198 ± 0.031	0.961 ± 0.022	0.080	0.006	0.031
F _S _896_931	0.313 ± 0.033	1.011 ± 0.026	0.044	0.010	0.031
<i>F</i> _S _931_966	0.048 ± 0.031	0.962 ± 0.030	0.523	0.005	0.100
δ_{S} _826_861	0.034 ± 0.032	0.979 ± 0.027	0.540	0.005	0.145
δ_{S} _861_896	-0.020 ± 0.032	1.003 ± 0.027	-0.530	-0.005	0.229
δ_{S} _896_931	-0.104 ± 0.034	1.043 ± 0.020	-1.460	-0.022	0.212
δ_{S} _931_966	0.022 ± 0.035	1.071 ± 0.028	-1.760	0.003	0.124

TABLE 4.13 – Validation de la procédure sFit.

$a(B_s^0)$	$\Delta(\text{true} - \text{sWeight}) / \sigma_{\text{tot.}}$	$\sigma^{f,\text{true dist.}}/\sigma^{f,\text{sWeighted dist.}}$
A_0^{CP}	0.048	1.023
A_S^{CP}	-0.032	0.940
A_{\parallel}^{CP}	-0.010	0.943
A_{\perp}^{CP}	0.050	1.063
f_0	-0.028	0.843
$f_{ }$	0.005	0.955
$egin{array}{c} f_{\parallel} \ oldsymbol{\delta}_{\parallel} \ oldsymbol{\delta}_{\perp} \end{array}$	-0.019	1.005
δ_{\perp}^{-}	0.036	0.993
F _S _826_861	0.005	0.997
F_S _861_896	0.061	0.987
<i>F</i> _S _896_931	0.062	0.888
<i>F</i> _S _931_966	-0.064	0.869
δ_{S} _826_861	-0.022	0.925
δ_{S} _861_896	0.037	0.938
δ_{S} _896_931	0.001	1.021
δ_{S} _931_966	-0.017	0.914

Pseudo-expériences avec des valeurs non nulles de A^{CP}

Dans le but de tester la possibilité d'avoir des asymétries CP non nulles dans les données, nous effectuons des études supplémentaires où les A^{CP} sont générées avec des valeurs différentes de zéro. Compte tenu du temps nécessaire pour tester chaque configuration, nous avons simplifié la procédure décrite dans 4.8.3.

Nous générons aléatoirement 10 valeurs de A^{CP} à partir d'une distribution uniforme dans laquelle $A^{CP} \in [-0.6, 0.6]$. Les valeurs générées de A^{CP} sont données dans la table 4.14. Pour chaque ensemble de valeurs A^{CP} , nous générons 10 grands échantillons de distributions angulaires à partir de la PDF nominale décrivant le signal B_s^0 . Dans chaque échantillon généré, le nombre d'évènements B_s^0 est 1000 fois plus grand que le nombre d'évènements B_s^0 attendu dans les données. Enfin, nous réalisons un ajustement classique des distributions angulaires générées. Cela se justifie par le fait que les valeurs d' A^{CP} ne sont pas corrélées à la distribution de masse et par le fait que la procédure de pondération n'ajoute pas de biais supplémentaires sur les paramètres angulaires, comme nous l'avons montré dans la section 4.8.3. Tous les paramètres angulaires sont libres dans les 10 ajustements effectués.

Les résultats correspondants aux ensembles de 0 à 4 et de 5 à 9 sont donnés respectivement dans les tables 4.15 et 4.16. Dans ces tables, seules les valeurs ajustées des différentes A^{CP} sont affichées. Les résultats complets de l'ajustement pour chacun des dix tests avec les A^{CP} non nulles sont donnés dans l'appendice D.3.

En conclusion, nous n'observons pas de biais significatifs dans les paramètres A^{CP} dans aucune des 10 configurations testées. Notons de plus que les incertitudes statistiques correspondant aux valeurs de A^{CP} sont divisées par un facteur $\simeq 30$ par rapport à celles dans la configuration nominale. Ceci est dû à la grande taille des échantillons générés.

Nous pouvons donc conclure que le modèle de l'ajustement angulaire est stable et ne présente pas de biais intrinsèque pour les valeurs de A^{CP} comprises dans l'intervalle [-0.6, 0.6].

TABLE 4.14 – Valeurs des A^{CP} non-nulles générées aléatoirement pour les ensembles de 0 à 9.

Set	A_0^{CP}	A_{\parallel}^{CP}	A_{\perp}^{CP}	A_S^{CP}
0	-0.0768	-0.5689	-0.3779	0.5178
1	0.0596	-0.0776	0.5373	-0.0183
2	-0.0956	-0.2036	-0.2154	-0.4147
3	-0.3544	0.1431	0.2386	-0.4561
4	-0.2404	-0.2798	-0.0178	0.1593
5	0.1454	0.0350	0.3819	0.2196
6	-0.4385	0.0163	-0.0017	0.1042
7	-0.3787	0.3424	0.2637	-0.2898
8	0.4248	-0.0069	0.0554	-0.1112
9	0.4159	-0.5044	-0.3876	0.5636

TABLE 4.15 – Résultats des pseudo-expériences pour les ensembles 0 à 4 de valeurs non-nulles de A^{CP} .

A^{CP} set	$a(B_s^0)$	a^t	$a^f \pm \sigma^f$	$(a^f-a^t)/\sigma^f$
0	A_0^{CP}	-0.0768	-0.0745 ± 0.0017	1.369
	A_S^{CP}	0.5178	0.5184 ± 0.0043	0.139
	A_{\parallel}^{CP}	-0.3779	-0.3777 ± 0.0036	0.056
	A_{\perp}^{CP}	-0.5689	-0.5698 ± 0.0021	-0.438
1	$A_0^{\stackrel{\perp}{CP}}$	0.0596	0.0592 ± 0.0015	-0.277
	A_{S}^{CP}	-0.0183	-0.0190 ± 0.0029	-0.236
	A_{\parallel}^{CP}	0.5373	0.5354 ± 0.0038	-0.498
	A_{\perp}^{CP}	-0.0776	-0.0807 ± 0.0025	-1.217
2	$A_0^{\stackrel{\perp}{CP}}$	-0.0956	-0.0974 ± 0.0015	-1.160
	$A_{S}^{CP} = A_{\square}^{CP}$	-0.4147	-0.4151 ± 0.0030	-0.144
	l II	-0.2154	-0.2086 ± 0.0041	1.682
	A_{\perp}^{CP}	-0.2036	-0.2044 ± 0.0025	-0.340
3	$A_0^{\stackrel{\perp}{CP}}$	-0.3544	-0.3533 ± 0.0015	0.729
	A_{S}^{CP}	-0.4561	-0.4547 ± 0.0031	0.463
	A_{\parallel}^{CP}	0.2386	0.2341 ± 0.0040	-1.135
	A_{\perp}^{CP}	0.1431	0.1419 ± 0.0025	-0.460
4	$A_0^{\overline{CP}}$	-0.2404	-0.2432 ± 0.0015	-1.863
	A_S^{CP}	0.1593	0.1604 ± 0.0033	0.337
	A_{\parallel}^{CP}	-0.0178	-0.0154 ± 0.0041	0.591
	A_{\perp}^{CP}	-0.2798	-0.2768 ± 0.0024	1.245

Table 4.16 – Résultats des pseudo-expériences pour les ensembles 5 à 9 de valeurs non-nulles de A^{CP} .

A^{CP} set	$a(B_s^0)$	a^t	$a^f \pm \sigma^f$	$(a^f - a^t) / \sigma^f$
5	A_0^{CP}	0.1454	0.1450 ± 0.0015	-0.258
	$A_{S}^{ ilde{CP}} \ A_{\square}^{ ilde{CP}}$	0.2196	0.2200 ± 0.0028	0.153
	I II	0.3819	0.3776 ± 0.0039	-1.088
	A_{\perp}^{CP}	0.0350	0.0375 ± 0.0025	0.991
6	$A_0^{\overline{CP}}$	-0.4385	-0.4385 ± 0.0015	-0.017
	$A_{S}^{CP} = A_{\square}^{CP}$	0.1042	0.1059 ± 0.0032	0.544
	I II	-0.0017	-0.0028 ± 0.0041	-0.259
	A_{\perp}^{CP}	0.0163	0.0158 ± 0.0025	-0.182
7	A_0^{CP}	-0.3787	-0.3788 ± 0.0016	-0.036
	$A_S^{CP} = A_{ec{ec{ec{ec{S}}}}^{CP}$	-0.2898	-0.2855 ± 0.0030	1.443
	I II	0.2637	0.2671 ± 0.0039	0.874
	A_{\perp}^{CP}	0.3424	0.3437 ± 0.0024	0.534
8	A_0^{CP}	0.4248	0.4244 ± 0.0015	-0.243
	$A_{S}^{CP} = A_{\square}^{CP}$	-0.1112	-0.1127 ± 0.0032	-0.472
	I II	0.0554	0.0511 ± 0.0041	-1.051
	A_{\perp}^{CP}	-0.0069	-0.0065 ± 0.0025	0.163
9	$A_0^{\overline{CP}}$	0.4159	0.4127 ± 0.0016	-1.989
	l ACP	0.5636	0.5671 ± 0.0036	0.980
	$egin{array}{c} A_S^{CP} \ A_\parallel^{CP} \end{array}$	-0.3876	-0.3818 ± 0.0037	1.570
	A_{\perp}^{CP}	-0.5044	-0.4998 ± 0.0023	2.040

4.9 Résultats

Nous effectuons un ajustement simultané dans 16 sous-ensembles définis par les deux périodes de prise de données 2011 et 2012, la charge du kaon et les 4 bins de $m_{K\pi}$. Toutes les étapes de la construction du modèle de l'ajustement angulaire 1631 sont décrites dans la section 4.6. Les paramètres d'intérêt sont les fractions de polarisations et les asymétries CP directes dépendantes de polarisation. Les valeurs des paramètres angulaires et leurs incertitudes statistiques, obtenues à partir de l'ajuste-1634 ment, sont données dans les deuxième et troisième lignes des tableaux 4.18 et 4.19. Les amplitudes de l'onde P et leurs phases fortes ont des valeurs communes dans les quatre bins $m_{K\pi}$, tandis que les paramètres de l'onde S sont répartis dans les différents bins. L'analyse précédente des amplitudes de polarisation du canal $B^0_s o J/\psi \overline{K}^{*0}$ est effectuée dans un seul bin $m_{K\pi}$ et ne tient pas compte de la présence d'asymétrie CP. En analysant 0.37 fb⁻¹ de données réelles, LHCb a mesuré $f_0 = 0.50 \pm 0.08 \pm$ $0.02, f_{\parallel}=0.19^{+0.10}_{-0.08}\pm0.02$ et $\delta_{\parallel}=-2.78\pm0.54$ [89]. La première incertitude est statistique, la seconde est systématique. Dans notre analyse, la fenêtre de $m_{K\pi}$ autour 1643 du pic K^{*0} a été élargie jusqu'à $140 \,\mathrm{MeV}/c^2$ par rapport à la fenêtre de $80 \,\mathrm{MeV}/c^2$ utilisée dans la publication précédente [89]. Nos résultats avec 3 fb⁻¹ sont compatibles avec l'analyse précédente et sont plus précis d'un facteur ~ 3 . La distribution angulaire du signal et les projections de la PDF ajustée sont présentées dans la figure 4.8. En outre, les corrélations entre les paramètres ajustés sont données dans le tableau 4.17. 1640

FIGURE 4.8 – Projections de la PDF angulaire superposées aux distributions angulaires des candidats $B_s^0 \to J/\psi \bar{K}^{*0}$ dans les données réelles. Les points noirs correspondent aux données et la ligne noire à l'ajustement total. La ligne bleue en tiret aux composantes CP-paires de l'onde P, la ligne bleue en pointillés correspondant aux composantes CP-impaires de l'onde P ainsi qu'aux interférences entre ces polarisations, la ligne verte en pointillés pour l'onde S, et en rouge pour l'interférence entre les onde S et P.

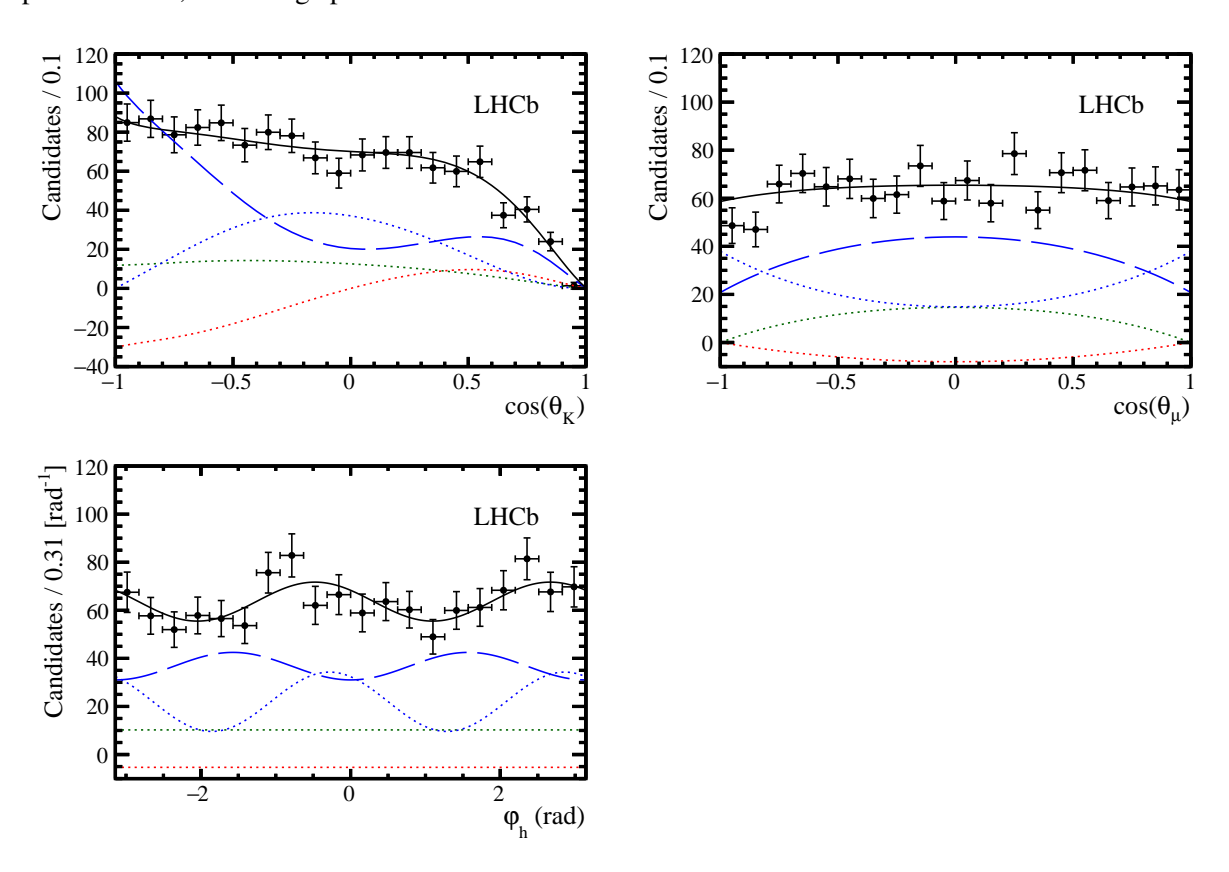


TABLE 4.17 – Corrélations linéaires entre les paramètres libres de l'ajustement angulaire dans les vraies données.

$\begin{array}{ c c c c c c c c c c c c c c c c c c c$	+1.00																f
$\begin{array}{c ccccccccccccccccccccccccccccccccccc$	-0.34	+1.00															f_0
$\begin{array}{c ccccccccccccccccccccccccccccccccccc$	+0.00	+0.11	+1.00														δ_S^3
$\begin{array}{c ccccccccccccccccccccccccccccccccccc$	-0.08	+0.27	+0.04	+1.00													δ_S^2
$\begin{array}{c ccccccccccccccccccccccccccccccccccc$	-0.05	+0.13	+0.04	+0.04	+1.00												δ_S^1
$\begin{array}{c ccccccccccccccccccccccccccccccccccc$	+0.04	+0.08	+0.04	+0.03	+0.04	+1.00											δ_{S}^{0}
$\begin{array}{ c c c c c c c c c c c c c c c c c c c$	-0.04	+0.05	+0.13	-0.02	+0.13	+0.17	+1.00										$\delta_{\!\scriptscriptstyle \perp}$
$\begin{array}{c ccccccccccccccccccccccccccccccccccc$	-0.03	+0.04	+0.11	+0.03	+0.14	+0.10	+0.62	+1.00									<u>\$</u>
$\begin{array}{c ccccccccccccccccccccccccccccccccccc$	+0.04	-0.09	-0.29	-0.03	-0.01	+0.00	+0.08	+0.08	+1.00								F_S^3
$\begin{array}{c ccccccccccccccccccccccccccccccccccc$	+0.04	-0.02			-0.00	+0.01	+0.07	-0.04	+0.01	+1.00							F_S^2
$\begin{array}{c ccccccccccccccccccccccccccccccccccc$	-0.10	+0.15			-0.25	-0.01	-0.05	-0.02	-0.00	-0.01	+1.00						F_S^1
$\begin{array}{c ccccccccccccccccccccccccccccccccccc$	-0.09	+0.10				-0.77	-0.24	-0.10	-0.03	-0.01	+0.01	+1.00					F_S^0
$\begin{array}{c ccccccccccccccccccccccccccccccccccc$	-0.06	+0.01	+0.07			-0.03	-0.03	-0.09	-0.07	-0.06	-0.01	-0.00	+1.00				$A_{\perp}^{C\!P}$
$\begin{array}{c ccccccccccccccccccccccccccccccccccc$	-0.07	-0.04	-0.12			-0.06	+0.06	+0.09	+0.08	-0.02	+0.09	+0.02	-0.49	+1.00			$_{\parallel}^{AG}$
$\begin{array}{c ccccccccccccccccccccccccccccccccccc$	+0.03	+0.01	+0.07		+0.07	+0.02	-0.06	+0.00	-0.10	+0.03	-0.12	+0.16	-0.12	-0.14	+1.00		A_S^{CP}
$A_S^{CP} = A_\parallel^{CP} = A_\perp^{CP} = F_S^0 = F_S^1 = F_S^2 = F_S^3 = \delta_\parallel = \delta_\perp = \delta_S^0 = \delta_S^1 = \delta_S^2 = \delta_S^3 =$	-0.05	+0.06	+0.01	+0.07	-0.00	+0.10	+0.02	+0.03	-0.01	-0.06	-0.02	-0.13	-0.17	-0.11	-0.12	+1.00	A_0^{CP}
	f_{\parallel}	f_0	δ_S^3	δ_S^2	δ_{S}^{1}	δ_S^0	δ_{\perp}	<u>S</u>	F_S^3	F_S^2	F_S^1	F_S^0	$A_{\perp}^{C\!P}$	A_{\parallel}^{CP}	A_S^{CP}	A_0^{CP}	

4.10 Incertitudes systématiques

Cette section est dédiée à l'étude des incertitudes systématiques sur les paramètres angulaires. La plus grande contribution provient de la détermination de l'acceptance angulaire.

L'acceptance angulaire est déterminée à partir d'évènements simulés, comme

4.10.1 Acceptance angulaire

1652

1656

1657

1662

1671

1674

expliqué dans la section 4.6.3. Les poids de l'acceptance sont fixes dans la procédure de l'ajustement nominal. En raison de la taille limitée de l'échantillon MC, les incertitudes statistiques sur les poids de normalisation doivent être prises en compte comme une incertitude systématique sur les paramètres physiques extraits de l'ajustement angulaire. Ces incertitudes systématiques sont évaluées en faisant varier, indépendamment dans tous les bins $m_{K\pi}$, les poids de normalisation de cinq déviations standards en tenant compte des corrélations. Nous répétons l'ajustement angulaire 200 fois, chacune avec un nouvel ensemble de poids de normalisation. Pour chaque paramètre ajusté, la variance de la distribution obtenue est prise comme incertitude systématique sur ce paramètre. Sachant que les données simulées ne décrivent pas parfaitement les données réelles, nous évaluons les incertitudes systématiques qui tiennent compte de cette différence. La procédure itérative (cf. section 4.6.3) a permis de corriger l'absence de l'onde S et les distributions cinématiques dans la simulation [3]. La différence résiduelle entre la simulation et les vraies données est ajoutée comme incertitude systématique. Dans ce but, nous calculons les poids de normalisation dans un échantillon de données réelles pondérées par les poids des candidats $B^0 \to J/\psi K^{*0}$. Ensuite, nous ajustons les distributions angulaires en appliquant les nouveaux poids de normalisation. Pour chaque paramètre de l'ajustement angulaire, nous attribuons une incertitude systématique égale à la différence entre la valeur de ce paramètre dans l'ajustement nominal, où les poids de normalisation sont calculés dans le MC, et celle dans l'ajustement utilisant les poids de normalisation extraits des données réelles. Notons que cette incertitude systématique est conservative parce que les différences entre les données réelles et le MC ont été déjà corrigées grâce à la procédure itérative.

4.10.2 Modèle de masse $m(J/\psi K^+\pi^-)$

Certains paramètres de la fonction Hypatia, utilisée pour modéliser les masses des mésons B_s^0 et B^0 , sont fixes dans l'ajustement nominal 2 . Les valeurs de ces

^{2.} Plus précisément, les paramètres fixes sont : λ , a_1 , n_1 , a_2 et n_2 , ainsi que les paramètres des fonctions Amoroso décrivant les bruits de fond Λ_b^0 (cf. section 4.4).

paramètres sont extraites des données simulées ce qui induit des incertitudes systématiques. Ces dernières sont évaluées en répétant l'ajustement de masse 1000 fois.

Dans chacun de ces ajustements, la valeur de chaque paramètre fixe est tirée aléatoirement d'une distribution gaussienne dont la moyenne et la largeur correspondent
respectivement à la valeur et l'incertitude de ce paramètre dans la procédure nominale. Cette stratégie prend en compte les corrélations entre les différents paramètres.
Les poids calculés dans chacun des ajustements de masse sont ensuite utilisés pour
pondérer les distributions angulaires avant de les ajuster. Ensuite, les incertitudes
systématiques positive et négative sur chaque paramètre angulaire correspondent à
sa valeur obtenue par une intégrale de $\pm 34.1\%$ de sa distribution autour de sa valeur
nominale. De plus, un ajustement de masse est fait en fixant le paramètre a_2 de la
fonction Hypatia à l'infini, ce qui permet de négliger la contribution des évènements
dans les queues provenant des effets autre que la résolution. Un autre ajustement est
effectué en laissant a_2 libre dans l'ajustement.

4.10.3 Bruit de fond non combinatoire

En se basant sur notre connaissance des bruits de fond non combinatoires, nous avons introduit des poids négatifs fixes dans le modèle de masse, comme décrit dans la section 4.2. L'ajustement de masse est répété en variant les poids des évènements $B_s^0 \to J/\psi K^+ K^-$, $B_s^0 \to J/\psi \pi^+ \pi^-$, $B_s^0 \to J/\psi \pi^+ \pi^-$ et $\Lambda_b^0 \to J/\psi p K^-$ de $\pm 1\sigma_b$ par rapport à ceux utilisés dans la procédure nominale. Ensuite, l'ajustement angulaire est répété avec le nouvel ensemble de poids. Les déviations sur chacun des paramètres angulaires sont ajoutées en quadrature et utilisées comme incertitudes systématiques.

4.10.4 Biais de l'ajustement

Le biais sur chaque paramètre, dans les études de pseudo-expériences, est pris comme une incertitude systématique sur ce paramètre (cf. section 4.8).

4.10.5 Facteurs C_{SP}

1708

1711

1714

Pour tenir compte de la dépendance entre la masse $K\pi$ et les amplitudes de polarisations, les facteurs C_{SP} , décrivant le couplage entre les onde S et P, sont calculés en bins de masse $m_{K\pi}$, comme expliqué dans la section 4.6.2. Cette procédure dépend des modèles choisis pour décrire les distributions des ondes S et P. L'incertitude systématique sur chaque facteur C_{SP} est égale à la plus grande différence entre sa valeur nominale et celle obtenue avec des modèles alternatifs [65].

4.10.6 Corrélations entre la masse et les angles

L'ajustement nominal de la masse, décrit dans la section 4.4, est effectué dans 4 bins de masse $m_{K\pi}$ et 5 bins de $\cos\theta_{\mu}$. L'ajustement de masse sert à calculer des poids pour chacune des *catégories* d'évènements, qui seront ensuite appliqués sur les distributions angulaires. Afin de tenir compte de la corrélation entre la masse invariante $(J/\psi K^-\pi^+)$ et les angles, nous varions le nombre de bins $\cos\theta_{\mu}$. Nous répétons l'ajustement de la masse et la procédure $_s\mathcal{P}lot$ dans 4 puis dans 6 bins de $\cos\theta_{\mu}$. Dans tous les cas, les bins ont une taille égale, elle est obtenue en divisant l'intervalle $-1 \le \cos\theta_{\mu} \le 1$ par le nombre choisi de bins. Les poids correspondent au signal $B_s^0 \to J/\psi \overline{K}^{*0}$ sont ensuite appliqués aux données avant d'effectuer l'ajustement angulaire. Les déviations sur chacun des paramètres angulaires dans les deux ajustements sont ajoutées en quadrature et prises comme incertitude systématique sur le paramètre en question.

4.10.7 Contribution de l'onde D

1718

1719

1727

L'onde D peut contribuer dans les distributions angulaires sous forme de $K_2^*(1430)^0$. Cette contribution est négligée dans l'ajustement nominal. Nous attribuons à chaque paramètre de l'ajustement angulaire une incertitude systématique égale à la différence entre sa valeur dans l'ajustement nominal et celle dans un ajustement qui inclue l'onde D. Les paramètres de l'onde D sont fixés à leurs valeurs mesurées dans la région du $K_2^*(1430)^0$ et extrapolées dans la région du $K^{*0}(892)$ [65]. Dans l'appendice \mathbb{C} , nous donnons la PDF angulaire totale incluant l'onde D.

Table 4.18 – Paramètres de l'onde P mesurés dans les désintégrations $B^0_s \to J/\psi \overline{K}^{*0}$ ainsi que leurs incertitudes statistiques et systématiques. Nous ne donnons pas de valeurs quand les incertitudes sont inférieures à 5×10^{-4} , sauf pour les deux phases fortes, δ_{\parallel} et δ_{\perp} , pour lesquels les incertitudes sont inférieures à 5×10^{-3} .

Paramètre	f_0	f_{\parallel}	δ_{\parallel}	δ_{\perp}	A_0^{CP}	$A_{\parallel}^{C\!P}$	$A_{\perp}^{C\!P}$
Valeur nominale	0.497	0.179	-2.70	0.01	-0.048	0.171	-0.049
Incertitudes statistiques	+0.024 -0.025	+0.027 -0.026	+0.15 -0.16	0.11	0.057	0.152	+0.095 -0.096
Acceptance angulaire (MC stat)	0.018	0.008	0.02	0.01	0.009	0.017	0.008
Acceptance angulaire (corrections data–MC)	0.015	0.007	0.17	0.10	0.007	_	0.015
Facteurs C_{SP}	_	0.001			0.001	0.002	0.002
Contribution de l'onde D	0.004	0.003			0.002	0.015	0.002
Modèle angulaire du bruit de fond	$+0.004 \\ -0.003$	0.002	0.02	0.01	$+0.003 \\ -0.004$	+0.012 -0.004	0.002
Paramètres de masse et contamination de B^0	_	_			0.001	0.001	_
Corrélations Mass— $\cos \theta_{\mu}$	0.007	0.006	0.07	$+0.02 \\ -0.04$	0.014	$+0.009 \\ -0.012$	0.016
Biais d'ajustement	_	0.001	0.01	0.07	0.003	0.002	0.005
Asymétrie de détection					0.005	0.005	$+0.005 \\ -0.006$
Asymétrie de production	_	_	_	_	_		
Somme quadratique des systématiques	0.025	0.013	0.19	+0.012 -0.013	0.020	$+0.028 \\ -0.027$	0.025
Incertitudes totales	0.035	0.030	0.25	$+0.016 \\ -0.017$	0.060	0.154	0.099

TABLE 4.19 – Paramètres de l'onde S mesurés dans les désintégrations $B_s^0 \to J/\psi \bar{K}^{*0}$ ainsi que leurs incertitudes statistiques et systématiques. Nous ne donnons pas de valeurs quand les incertitudes sont inférieures à 5×10^{-4} .

Paramètre	A_S^{CP}	$m_{K\pi}^{ m bin0}$		m_{I}^{b}	oin1 Kπ	m_{μ}^{t}	oin2 Kπ	$m_{K\pi}^{\mathrm{bin}3}$	
	Б	F_S	δ_{S}	F_S	δ_{S}	F_S	δ_{S}	F_S	δ_{S}
Valeur nominale	0.167	0.475	0.54	0.080	-0.53	0.044	-1.46	0.523	-1.76
Incertitudes statistiques	$+0.113 \\ -0.114$	$+0.108 \\ -0.112$	0.16	+0.031 -0.025	$+0.25 \\ -0.21$	$+0.042 \\ -0.029$	$+0.22 \\ -0.19$	+0.109 -0.112	+0.13 -0.14
Acceptance angulaire (MC stat)	0.028	0.039	0.03	0.012	0.065	0.015	0.10	0.065	0.06
Acceptance angulaire (corrections data–MC)	0.015	0.058	0.08	0.019	0.18	0.027	0.27	0.006	0.04
Facteurs C_{SP}	_	0.002	0.01	0.001	_	0.002		0.001	0.01
Contribution de l'onde D	0.008	0.010	0.02	0.005	0.03	0.008	0.08	0.002	0.04
Modèle angulaire du bruit de fond	0.001	0.002	0.01	$^{+0.000}_{-0.001}$	0.01	_	$^{+0.03}_{-0.02}$	$+0.002 \\ -0.000$	$^{+0.07}_{-0.04}$
Paramètres de masse et contamination de B^0	0.001	0.001	$^{+0.00}_{-0.01}$	_	_	_	_	_	_
Corrélations Mass— $\cos \theta_{\mu}$	$^{+0.023}_{-0.029}$	$^{+0.040}_{-0.028}$	0.05	0.003	0.040	$^{+0.006}_{-0.016}$	0.02	$+0.009 \\ -0.011$	$^{+0.02}_{-0.03}$
Biais d'ajustement	0.004	0.005	0.01	0.003	0.02	0.007	0.032	0.015	0.01
Asymétrie de détection	0.005	_	_	_	_	_			_
Asymétrie de production	_	_	_	_	_	_	_		_
Somme quadratique des systématiques	$+0.041 \\ -0.044$	$+0.081 \\ -0.076$	0.10	0.023	0.20	+0.033 -0.036	0.30	0.068	+0.11 -0.09
Incertitudes totales	$^{+0.120}_{-0.122}$	0.135	0.19	$^{+0.039}_{-0.034}$	$^{+0.32}_{-0.29}$	$^{+0.054}_{-0.047}$	$^{+0.37}_{-0.35}$	$^{+0.128}_{-0.131}$	0.17

4.11 Vérifications

174

1743

1744

1745

1748

175

1752

Dans cette section, nous présentons deux tests supplémentaires de notre modèle angulaire. En premier lieu, nous ajustons les distributions angulaires dans le canal $B^0 \to J/\psi K^{*0}$. Dans la deuxième partie, nous comparons la fraction de l'onde S dans les désintégrations $B_s^0 \to J/\psi \bar{K}^{*0}$ et $B^0 \to J/\psi K^{*0}$.

4.11.1 Ajustement angulaire pour le canal $B^0 \rightarrow J/\psi K^{*0}$

LHCb a publié une mesure des fractions de polarisation et des phases fortes dans le canal $B^0 \to J/\psi K^{*0}$ en quatre bins $m_{K\pi}$ autour de la masse nominale du méson $K^*(892)^0$, en utilisant 1 fb⁻¹ de données réelles [78]. Dans cette section, nous comparons cette mesure avec les résultats que nous avons obtenus en effectuant un sFit des distributions angulaires pondérées par les $_s\mathcal{W}eights$ du signal B^0 extrait de l'ajustement de masse (voir section 4.5). Les résultats sont donnés dans le tableau 4.20.

TABLE 4.20 – Paramètres de l'ajustement angulaire dans quatre bins de $m_{K\pi}$ autour de la masse nominale de $K^*(892)^0$. Les incertitudes dans la première colonne sont statistiques. Dans la deuxième colonne, les incertitudes sont obtenues en ajoutant en quadrature les incertitudes systématiques et statistiques. La dernière colonne donne la différence entre les deux résultats en unité de l'incertitude totale, σ_{tot} , qui est la somme en quadrature des incertitudes dans la première et deuxième colonnes.

Paramètre	Résultats avec 3 fb ⁻¹	Papier $B^0 \to J/\psi K^{*0}$ [78], 1 fb ⁻¹	différence/ $\sigma_{ m tot}$
f_0	0.552 ± 0.002	0.572 ± 0.014	-1.405
f_{\parallel}	0.225 ± 0.002	0.227 ± 0.012	-0.137
δ_{\parallel}	-2.93 ± 0.01	-2.94 ± 0.04	0.19
$\delta_{\perp}^{"}$	2.93 ± 0.01	2.94 ± 0.03	-0.29
F _S _826_861	0.090 ± 0.004	0.115 ± 0.021	-1.170
δ_{S} _826_861	3.17 ± 0.06	3.09 ± 0.08	0.78
F _S _861_896	0.025 ± 0.002	0.049 ± 0.008	-2.941
δ_{S} _861_896	2.54 ± 0.04	2.66 ± 0.08	-1.36
F _S _896_931	0.032 ± 0.003	0.052 ± 0.011	-1.742
δ_{S} _896_931	1.71 ± 0.02	1.94 ± 0.09	-2.53
F _S _931_966	0.109 ± 0.007	0.105 ± 0.016	0.221
δ_{S} _931_966	1.39 ± 0.02	1.53 ± 0.11	-1.30

Nous avons également comparé les deux analyses en incluant les asymétries *CP* dépendantes de polarisation dans notre ajustement. Les résultats sont présentés dans

la table 4.21. Nous trouvons un bon accord entre nos résultats et ceux du papier $B^0 \to J/\psi K^{*0}$. Cependant, nous observons quelques différences, notamment dans certains paramètres de l'onde S (F_S _861_896 et δ_S _896_931), qui peuvent être dues à la différence dans plusieurs aspects des deux analyses comme le traitement de bruit de fond et l'acceptance.

TABLE 4.21 – Paramètres de l'ajustement angulaire dans quatre bins de $m_{K\pi}$ autour de la masse nominale de $K^*(892)^0$. Les incertitudes dans la première colonne sont statistiques. Dans la deuxième colonne, les incertitudes sont obtenues en ajoutant en quadrature les incertitudes systématiques et statistiques. La dernière colonne donne la différence entre les deux résultats en unité de l'incertitude totale, σ_{tot} , qui est la somme en quadrature des incertitudes dans la première et deuxième colonnes.

Paramètre	Résultats avec 3fb^{-1}	Papier $B^0 \to J/\psi K^{*0}$ [78], 1 fb ⁻¹	différence/ $\sigma_{ m tot}$
$A_0^{CP} \ A_{ert ert}^{CP}$	0.010 ± 0.004	-	-
A_{\parallel}^{CP}	0.033 ± 0.009	_	-
A_{\perp}^{CP}	0.005 ± 0.009	-	-
$A_S^{\stackrel{\perp}{CP}}$	0.061 ± 0.026	-	-
f_0	0.552 ± 0.002	0.572 ± 0.014	-1.405
$f_{ }$	0.225 ± 0.002	0.227 ± 0.012	-0.137
$\delta_{ }$	-2.93 ± 0.01	-2.94 ± 0.04	0.19
$\delta_{\perp}^{''}$	2.93 ± 0.01	2.94 ± 0.03	-0.29
F _S _826_861	0.090 ± 0.004	0.115 ± 0.021	-1.156
δ_{S} _826_861	3.17 ± 0.06	3.09 ± 0.08	0.76
F _S _861_896	0.025 ± 0.002	0.049 ± 0.008	-2.940
δ_{S} _861_896	2.54 ± 0.04	2.66 ± 0.08	-1.37
F _S _896_931	0.032 ± 0.003	0.052 ± 0.011	-1.743
δ_{S} _896_931	1.71 ± 0.02	1.94 ± 0.09	-2.52
F _S _931_966	0.109 ± 0.007	0.105 ± 0.016	0.234
δ_{S} _931_966	1.39 ± 0.02	1.53 ± 0.11	-1.30

4.11.2 Fractions de l'onde S dans $B_s^0 o J/\psi \overline{K}^{*0}$ et $B^0 o J/\psi K^{*0}$

1760

Afin de comprendre la différence entre les amplitudes de l'onde S dans les canaux $B^0_s \to J/\psi \bar{K}^{*0}$ et $B^0 \to J/\psi K^{*0}$, nous calculons le nombre d'évènements correspondant aux ondes S et P dans les deux canaux. Le nombre d'évènements correspondant à l'onde P, $N^{P-\text{wave}}$, est défini tel que :

$$\frac{N^{\text{P-wave}}}{N_{\text{tot}}} = \frac{\sum_{i,j}^{i,j!=S} \xi_{ij} \times A_i^* A_j}{\sum_{i,j} \xi_{ij} \times C_{ij} \times A_i^* A_j} \quad (i, j = 0, \parallel, \perp, S),$$
(4.56)

où N_{tot} est le nombre total des candidats B_s^0 (ou B^0), ξ_{ij} sont les poids de l'acceptance, A_i et A_j représentent les amplitudes de polarisations et C_{ij} les facteurs C_{SP} .

Le nombre d'évènements correspondant à l'onde S, $N^{S-\text{wave}}$, est égal à :

$$\frac{N^{\text{S-wave}}}{N_{\text{tot}}} = \frac{\xi_{SS} \times A_S^{\star} A_S}{\sum_{ij} \xi_{ij} \times C_{ij} \times A_i^{\star} A_j} \quad (i, j = 0, \parallel, \perp, S).$$
 (4.57)

Les incertitudes sur ces valeurs incluent les incertitudes statistiques sur les fractions de l'onde S, F_S , ainsi que sur le nombre total des candidats B^0 et B_s^0 , $N_{B_s^0,B^0}$, provenant de l'ajustement de la masse dans la section 4.4 :

$$\begin{split} &\sigma(\mathbf{N}_{B_{s}^{0},B^{0}}^{S-\text{wave}}) = \sigma(\mathbf{N}_{B_{s}^{0},B^{0}} \cdot F_{S}), \\ &\sigma(\mathbf{N}_{B_{s}^{0},B^{0}}^{P-\text{wave}}) = \sigma(\mathbf{N}_{B_{s}^{0},B^{0}} \cdot (1 - F_{S})). \end{split} \tag{4.58}$$

Nous tenons aussi compte de l'incertitude systématique due à l'exclusion de l'asymétrie CP dans l'ajustement angulaire. Les incertitudes statistiques sont dominantes. Les résultats sont présentés sur la figure 4.9 et confirment que les contributions de l'onde S dans les canaux $B_s^0 \to J/\psi \bar{K}^{*0}$ et $B^0 \to J/\psi K^{*0}$ sont compatibles dans les incertitudes. Nous illustrons aussi sur la figure 4.9 la différence de phase forte de l'onde S entre les canaux $B_s^0 \to J/\psi \bar{K}^{*0}$ et $B^0 \to J/\psi K^{*0}$. Les valeurs et les incertitudes proviennent des résultats de l'ajustement angulaire.

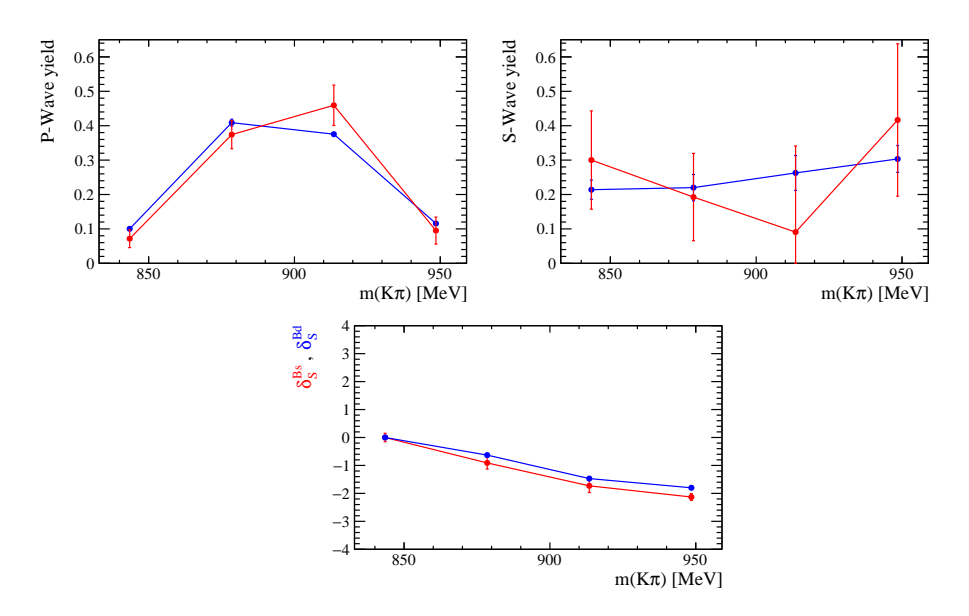


FIGURE 4.9 – Les fractions de l'onde P (en haut à gauche) et l'onde S (en haut à droite) ainsi que les phases fortes de l'onde S dans les quatre bins de $m_{K\pi}$ (en bas). La ligne bleue correspond au canal $B^0 \to J/\psi K^{*0}$ et la rouge à $B_s^0 \to J/\psi \bar{K}^{*0}$.

4.12 Résumé

Dans ce chapitre, nous avons présenté l'analyse des désintégrations $B_s^0 \to J/\psi \bar{K}^{*0}$ 1776 qui sert à extraire le nombre de candidats B_s^0 permettant de calculer le rapport d'embranchement de ce canal via un ajustement de la masse invariante $(J/\psi K^-\pi^+)$. Puis, nous avons effectué une analyse angulaire des produits de désintégration afin de déterminer les amplitudes de polarisations et les phases fortes ainsi que l'asymétrie *CP* directe. 1781 Les résultats peuvent être séparés en trois parties. Les paramètres correspondant à l'onde P du système $K\pi$ sont les résultats les plus importants de cette analyse. La fraction de polarisation longitudinale est majoritaire dans les désintégrations $B_s^0 \rightarrow J/\psi \bar{K}^{*0}$ $(f_0 = 0.497 \pm 0.025 (\text{stat}) \pm 0.025 (\text{syst}))$, conformément aux prédictions théoriques [90]. Les phases fortes correspondantes aux polarisations longitudinale et parallèle varient entre $-\pi$ et 0. Les paramètres de l'onde P sont compatibles avec une analyse d'un échantillon de 0.37 fb⁻¹ [89], ainsi qu'avec l'analyse d'un échantillon de 3 fb $^{-1}$ de $B_s^0 o \psi(2S) \overline{K}^{*0}$ qui donne $f_0 = 0.524 \pm 0.056 ({
m stat}) \pm 0.056 ({
m stat})$ 0.029(syst) [91]. Nous avons mesuré, pour la première fois, les paramètres de l'onde S dans quatre bins de masse $m_{K\pi}$ afin de tenir compte de la variation de l'onde S avec la masse $m_{K\pi}$. Cette procédure nous permet de décrire correctement l'onde S sans compliquer notre ajustement en incluant la masse $m_{K\pi}$ comme une observable physique supplémentaire. Nous constatons que les fractions de l'onde S sont plus grandes dans les bins $m_{K\pi}$ externes que dans les deux bins de milieu. En d'autres termes, les ampli-1796 tudes de l'onde S diminuent dans les régions de masse où les amplitudes de l'onde P dominent. Cela est attendu puisque la résonance \bar{K}^{*0} est centrée autour de sa masse nominale, à savoir $896 \,\mathrm{MeV}/c^2$. Nous avons également présenté une première mesure de la symétrie CP directe dépendante de polarisation. Les résultats sont compatibles avec le Modèle Standard, et ne montrent pas de violation de la symétrie CP dans ce canal. Les résultats de cette analyse seront exploités dans le chapitre suivant pour extraire les paramètres des processus pingouins contribuant aux désintégrations $B_s^0 \rightarrow$ $J/\psi\phi$.

Chapitre 5

Interprétation des résultats

"All meanings, we know, depend on the key of interpretation."

George Eliot

Dans ce chapitre, nous exploitons les résultats de l'analyse des désintégrations $B_s^0 \to J/\psi \bar{K}^{*0}$, présentée dans le chapitre précédent, afin de mesurer le rapport d'embranche chement de ce canal et de déterminer la déviation sur la phase ϕ_s due aux processus pingouins. Nous suivons la méthodologie expliquée dans le chapitre 2, en se basant sur les études phénoménologiques dans [36, 4, 35].

5.1 Mesure du rapport d'embranchement de

$$B_s^0 \to J/\psi \overline{K}^{*0}$$

1825

Nous présentons dans cette section la mesure du rapport d'embranchement du canal $B_s^0 \to J/\psi \bar{K}^{*0}$. La normalisation de $\mathcal{B}(B_s^0 \to J/\psi \bar{K}^{*0})$ par rapport à une désintégration $B_q \to J/\psi X$ ($\equiv B^0 \to J/\psi K^{*0}$ ou $B_s^0 \to J/\psi \phi$) est définie telle que :

$$\begin{split} \frac{\mathcal{B}(B_s^0 \to J/\psi \bar{K}^{*0}) \times \mathcal{B}(K^{*0} \to K^+\pi^-)}{\mathcal{B}(B_q \to J/\psi X) \times \mathcal{B}(X \to h^+h^-)} = \\ \frac{N_{B_s^0 \to J/\psi \bar{K}^{*0}}}{N_{B_q \to J/\psi X}} \times \frac{\varepsilon_{B_q \to J/\psi X}}{\varepsilon_{B_s^0 \to J/\psi \bar{K}^{*0}}} \times \frac{f_q}{f_s}, \quad (5.1) \end{split}$$

où N indique le nombre des candidats $B_q \to J/\psi X$, ε est l'efficacité totale incluant les effets de reconstruction, les coupures du système de déclenchement et la sélection finale. Le terme $f_q(f_s)$ désigne la fraction de production de mésons $B_q(B_s^0)$. Le rapport $\mathcal{B}(B_s^0 \to J/\psi \overline{K}^{*0})$ est obtenu en normalisant par rapport à deux canaux :

— le canal $B^0 \to J/\psi K^{*0}$: très semblable au signal B_s^0 , il permet d'obtenir de faibles incertitudes systématiques,

— le canal $B_s^0 \to J/\psi \phi$: optimal pour l'extraction des diagrammes pingouins dans la mesure de la phase ϕ_s . S'agissant d'un canal B_s^0 , cette mesure ne souffre pas de la grande incertitude sur $\frac{f_q}{f_s}$ comme dans le cas précédent.

5.1.1 Efficacités calculées dans la simulation

En premier lieu, les rapports d'efficacité sont estimés en utilisant des événements simulés, dans lesquels la résolution de l'impulsion et les variables liées à l'identification des particules sont calibrées afin de mieux décrire les vraies données. Nous obtenons les rapports d'efficacité suivants pour 2011(2012):

$$-\varepsilon_{B^0\to J/\psi K^{*0}}^{MC}/\varepsilon_{B^0_s\to J/\psi \bar{K}^{*0}}^{MC}=0.929\pm0.012(0.927\pm0.012),$$

$$-\varepsilon_{B^0_s\to J/\psi \phi}^{MC}/\varepsilon_{B^0_s\to J/\psi \bar{K}^{*0}}^{MC}=1.991\pm0.025(1.986\pm0.027),$$

1838

Puisque les efficacités sont déterminées en utilisant des évènements simulés, elles doivent être corrigées. Soient ω les facteurs de correction définis tels que :

$$\frac{N_{B_s^0 \to J/\psi \bar{K}^{*0}}}{N_{B_q \to J/\psi X}} \times \frac{\varepsilon_{B_q \to J/\psi X}}{\varepsilon_{B_s^0 \to J/\psi \bar{K}^{*0}}} = \frac{N_{B_s^0 \to J/\psi \bar{K}^{*0}}^M}{N_{B_q \to J/\psi X}^M} \times \frac{\varepsilon_{B_q \to J/\psi X}^{MC}}{\varepsilon_{B_s^0 \to J/\psi \bar{K}^{*0}}^M} \times \frac{\omega_{B_q \to J/\psi X}}{\omega_{B_s^0 \to J/\psi \bar{K}^{*0}}}, \quad (5.2)$$

où $N_{B_s^0 \to J/\psi \bar{K}^{*0}}^M$ et $N_{B_q \to J/\psi X}^M$ sont les nombres d'évènements obtenus à partir des ajustements de masse dans les vraies données. Le facteur de correction ω est défini comme :

$$\omega_{B_q \to J/\psi X} = \frac{F_{B_q \to J/\psi X}^X}{c_{B_q \to J/\psi X}},\tag{5.3}$$

où $F_{B_q \to J/\psi X}^X$ est la fraction de l'onde P donnant la résonance X dans le canal $B_q \to J/\psi X$ et $c_{B_q \to J/\psi X}$ est la correction de $\varepsilon_{B_q \to J/\psi X}^{\rm MC}$ afin de rendre compte de la différence entre les valeurs de paramètres physiques utilisées dans la simulation et les valeurs mesurées dans les vraies données. Les valeurs de ω sont [65]:

$$\omega_{R^0 \to L/yy\bar{K}^{*0}} = 1.149 \pm 0.044 \,(\text{stat}) \pm 0.018 \,(\text{syst}),$$
 (5.4)

$$\omega_{B^0 \to J/\psi K^{*0}} = 1.107 \pm 0.003 \,(\text{stat}) \pm 0.038 \,(\text{syst}),$$
 (5.5)

$$\omega_{B_s^0 \to J/\psi\phi} = 1.013 \pm 0.002 \,(\text{stat}) \pm 0.007 \,(\text{syst}).$$
 (5.6)

5.1.2 Normalisation avec $B^0_s o J/\psi \phi$

La normalisation par rapport au canal $B^0_s o J/\psi\phi$ est définie par l'équation ci-dessous :

$$\frac{\mathcal{B}(B_s^0 \to J/\psi \bar{K}^{*0})}{\mathcal{B}(B_s^0 \to J/\psi \phi)} = \frac{N_{B_s^0 \to J/\psi K\pi}^M}{N_{B_s^0 \to J/\psi K^+K^-}^M} \times \frac{\varepsilon_{B_s^0 \to J/\psi \phi}^{MC}}{\varepsilon_{B_s^0 \to J/\psi \bar{K}^{*0}}^{MC}} \times \frac{\omega_{B_s^0 \to J/\psi \bar{K}^{*0}}}{\omega_{B_s^0 \to J/\psi \bar{K}^{*0}}} \times \frac{\mathcal{B}(\phi \to K^+K^-)}{\mathcal{B}(\bar{K}^{*0} \to K^-\pi^+)}, \tag{5.7}$$

avec les facteurs $\mathcal{B}(\bar{K}^{*0} \to K^-\pi^+) = 2/3$ et $\mathcal{B}(\phi \to K^+K^-) = (49.5 \pm 0.5)\%$ [37].

Le résultat obtenu est :

$$\frac{\mathcal{B}(B_s^0 \to J/\psi \bar{K}^{*0})}{\mathcal{B}(B_s^0 \to J/\psi \phi)} = (4.09 \pm 0.20(\text{stat}) \pm 0.12(\text{syst})) \%.$$
 (5.8)

5.1.3 Normalisation avec $B^0 o J/\psi K^{*0}$

La normalisation avec le canal $B^0 o J/\psi K^{*0}$ est donnée par :

$$\frac{\mathcal{B}(B_s^0 \to J/\psi \bar{K}^{*0})}{\mathcal{B}(B^0 \to J/\psi K^{*0})} = \frac{N_{B_s^0 \to J/\psi K\pi}^M}{N_{B^0 \to J/\psi K\pi}^M} \times \frac{f_d}{f_s} \times \frac{\varepsilon_{B^0 \to J/\psi K^{*0}}^{MC}}{\varepsilon_{B_s^0 \to J/\psi \bar{K}^{*0}}^{MC}} \times \frac{\omega_{B^0 \to J/\psi K^{*0}}}{\omega_{B_s^0 \to J/\psi \bar{K}^{*0}}}, \quad (5.9)$$

1853 Où:

$$\frac{\omega_{B^0 \to J/\psi K^{*0}}}{\omega_{B^0 \to J/\psi \bar{K}^{*0}}} = 0.963 \pm 0.036 \,(\text{stat}) \pm 0.031 \,(\text{syst}). \tag{5.10}$$

Ce qui donne le résultat suivant :

$$\frac{\mathcal{B}(B_s^0 \to J/\psi \bar{K}^{*0})}{\mathcal{B}(B^0 \to J/\psi K^{*0})} = \left(2.99 \pm 0.14 \,(\text{stat}) \pm 0.12 \,(\text{syst}) \pm 0.17 \,(\frac{f_d}{f_s})\right)\%. \tag{5.11}$$

5.1.4 Calcul de $\mathcal{B}(B^0_s o J/\psi ar{K}^{*0})$

Pour calculer le rapport $\mathcal{B}(B_s^0 \to J/\psi \overline{K}^{*0})$, nous multiplions le résultat obtenu dans l'équation 5.11 par le rapport d'embranchement mesuré par l'expérience Belle : $(1.29 \pm 0.05 \, (\text{stat}) \pm 0.13 \, (\text{syst})) \times 10^{-3} \, [92]$. Ce dernier est choisi car il est le seul à soustraire la contribution de l'onde S. En tenant compte de la différence dans les taux de production des paires B^+B^- et $B^0\overline{B^0}$ pour les résonances Y(4S), i.e. $\Gamma(B^+B^-)/\Gamma(B^0\overline{B^0}) = 1.058 \pm 0.024 \, [93]$, nous obtenons :

$$\mathcal{B}(B_s^0 \to J/\psi \bar{K}^{*0})_d = \left(3.95 \pm 0.18 \,(\text{stat}) \pm 0.16 \,(\text{syst}) \pm 0.23 \,(\frac{f_d}{f_s})\right) (5.12)$$
$$\pm 0.43 \,(\mathcal{B}(B^0 \to J/\psi K^{*0})) \times 10^{-5},$$

TABLE 5.1 – Les valeurs des rapports d'embranchement normalisés et leurs incertitudes statistiques et systématiques (%).

Rapport d'embranchement normalisé	$\frac{\mathcal{B}(B^0_s \to J/\psi \bar{K}^{*0})}{\mathcal{B}(B^0 \to J/\psi K^{*0})}$	$rac{\mathcal{B}(B^0_s{ o}J/\psiar{K}^{*0})}{\mathcal{B}(B^0_s{ o}J/\psi\phi)}$
Valeur nominale	2.99	4.09
Incertitudes statistiques	0.14	0.20
Rapport d'efficacité	0.04	0.05
Correction angulaire (ω)	0.09	0.07
Effet de modèle de masse	0.06	0.08
f_d/f_s	0.17	0.
Somme en quadrature des systématiques (sans f_d/f_s)	0.12	0.12
Incertitudes totales	0.25	0.23

Nous considérons ensuite le rapport d'embranchement dans le canal $B_s^0 \to J/\psi \phi$ [94], recalculé en utilisant les dernières valeurs de $\frac{f_d}{f_s}$ [93] :

$$\mathcal{B}(B_s^0 \to J/\psi \phi) = (1.038 \pm 0.013 \pm 0.063 \pm 0.060) \times 10^{-3}$$
. Ce qui donne :

$$\mathcal{B}(B_s^0 \to J/\psi \bar{K}^{*0})_{\phi} = \left(4.25 \pm 0.20(\text{stat}) \pm 0.13(\text{syst}) \pm 0.36(\mathcal{B}(B_s^0 \to J/\psi \phi))\right) \times 10^{-5}.$$
(5.13)

Les deux résultats de $\mathcal{B}(B_s^0 \to J/\psi \overline{K}^{*0})$ sont compatibles dans les incertitudes. Nous combinons les deux résultats en tenant compte des corrélations :

$$\mathcal{B}(B_s^0 \to J/\psi \bar{K}^{*0}) = (4.17 \pm 0.18 \text{ (stat)} \pm 0.26 \text{ (syst)} \pm 0.24 (f_d/f_s)) \times 10^{-5},$$

Les incertitudes sur les paramètres externes $\frac{f_d}{f_s}$, $\mathcal{B}(B^0 \to J/\psi K^{*0})$, et $\mathcal{B}(B_s^0 \to J/\psi \phi)$ sont ajoutées en quadrature et prises comme incertitudes systématiques sur $\mathcal{B}(B_s^0 \to J/\psi \bar{K}^{*0})$. Toutes les incertitudes systématiques sur les paramètres angulaires sont propagées dans les facteurs ω utilisés dans la normalisation de $\mathcal{B}(B_s^0 \to J/\psi \bar{K}^{*0})$. Les incertitudes systématiques sur les rapports d'embranchement sont détaillées dans le tableau 5.1.

5.2 Effets des processus pingouins sur ϕ_s

En premier lieu, nous rappelons les paramètres requis afin de contraindre les processus pingouins dans la mesure de la phase ϕ_s (cf. chapitre 2). Puis, nous donnons les résultats sur la pollution pingouin en utilisant le canal $B_s^0 \to J/\psi \bar{K}^{*0}$ et enfin en combinant les canaux $B_s^0 \to J/\psi \bar{K}^{*0}$ et $B^0 \to J/\psi \rho^0$.

5.2.1 Formalisme

La pollution due aux processus pingouins, $\Delta \phi_{s,i}$, peut être calculée en utilisant les paramètres pingouins a_i et θ_i comme définit dans l'équation 2.3 du chapitre 2 [36, 35]. Nous pouvons calculer les effets des diagrammes pingouins en utilisant une autre paramétrisation avec les coordonnées cartésiennes telle que : $\Re[a_i] = a_i \cos \theta_i$ et $\Im[a_i] = a_i \sin \theta_i$. Les deux paramètres expérimentaux utilisés afin d'extraire les paramètres pingouins sont :

— le paramètre H_i écrit en fonction de rapport d'embranchement et de fractions de polarisations dans les deux canaux $B_s^0 \to J/\psi \bar{K}^{*0}$ et $B_s^0 \to J/\psi \phi$:

$$H_{i} \equiv \frac{1}{\varepsilon} \left| \frac{\mathcal{A}'_{i}}{\mathcal{A}_{i}} \right|^{2} \frac{\Phi(m_{J/\psi}/m_{B_{s}^{0}}, m_{\phi}/m_{B_{s}^{0}})}{\Phi(m_{J/\psi}/m_{B_{s}^{0}}, m_{\overline{K}^{*0}}/m_{B_{s}^{0}})} \frac{\mathcal{B}(B_{s}^{0} \to J/\psi \overline{K}^{*0})_{\text{theo}}}{\mathcal{B}(B_{s}^{0} \to J/\psi \phi)_{\text{theo}}} \frac{f_{i}}{f'_{i}}, \quad (5.14)$$

$$= \frac{1 - 2a_{i}\cos\theta_{i}\cos\gamma + a_{i}^{2}}{1 + 2\varepsilon a'_{i}\cos\theta'_{i}\cos\gamma + \varepsilon^{2}a'_{i}^{2}},$$

Le prime (') désigne le canal $B_s^0 \to J/\psi \phi$ tandis que les autres termes sont mesurés dans les désintégrations $B_s^0 \to J/\psi \bar{K}^{*0}$. Le passage du rapport d'embranchement théorique au rapport d'embranchement expérimental intégré sur le temps se fait selon [95] :

$$\frac{\mathcal{B}(B_s \to f)_{\text{theo}}}{\mathcal{B}(B_s \to f)_{\text{exp}}} = \left[\frac{1 - y_s^2}{1 + \mathcal{A}_{\Lambda\Gamma} y_s} \right], \tag{5.15}$$

avec:

$$y_s \equiv \frac{\Delta \Gamma_s}{2\Gamma_s} \tag{5.16}$$

Le paramètre de la symétrie CP, $\mathcal{A}_{\Delta\Gamma,i}$, intervenant dans l'équation ci-dessus, est donné par :

$$\mathcal{A}_{\Delta\Gamma,i} = -\eta_i \left(\frac{\cos \phi_s + 2\varepsilon a_i' \cos \theta_i' \cos(\phi_s + \gamma) + \varepsilon^2 a_i'^2 \cos(\phi_s + 2\gamma)}{1 + 2\varepsilon a_i' \cos \theta_i' \cos \gamma + \varepsilon^2 a_i'^2} \right)$$
(5.17)

Par conséquent, l'équation 5.15 dépend des différents états de polarisations de l'état final.

Le canal $B^0_s \to J/\psi \overline{K}^{*0}$ est spécifique de saveur, alors : $\mathcal{A}_{\Delta\Gamma}(B^0_s \to J/\psi \overline{K}^{*0}) = 0$. Par conséquent, le facteur de conversion dans l'équation 5.15 est égal à 0.9963 ± 0.0006 . Quant aux désintégrations $B^0_s \to J/\psi \phi$, l'asymétrie $\mathcal{A}_{\Delta\Gamma}$ est non nulle et elle dépend des paramètres pingouins. Les paramètres pingouins a_i et θ_i sont supposés nuls dans le calcul de l'équation 5.15, ce qui donne :

$$\mathcal{A}_{\Lambda\Gamma,i} = -\eta_i \cos \phi_s,\tag{5.18}$$

et:

$$\frac{\mathcal{B}(B_s \to f)_{\text{theo}}}{\mathcal{B}(B_s \to f)_{\text{exp}}} = 1.0608 \pm 0.0045 \, (0.9392 \pm 0.0045), \tag{5.19}$$

pour les états de CP pairs (impairs).

— L'asymétrie *CP* directe A_i^{CP} dans le canal $B_s^0 \to J/\psi \overline{K}^{*0}$ est :

$$A_i^{CP} = -\frac{2a_i \sin \theta_i \sin \gamma}{1 - 2a_i \cos \theta_i \cos \gamma + a_i^2}.$$
 (5.20)

En connectant les canaux $B^0_s o J/\psi ar K^{*0}$ et $B^0_s o J/\psi \phi$ via l'approximation SU(3) de saveur, nous écrivons :

$$a_i = a_i', \qquad \theta_i = \theta_i', \tag{5.21}$$

Les paramètres a_i et θ_i permettent de calculer la déviation sur la phase ϕ_s due aux processus pingouins:

$$\tan(\Delta \phi_{s,i}) = \frac{2\varepsilon a_i' \cos \theta_i' \sin \gamma + \varepsilon^2 a_i'^2 \sin 2\gamma}{1 + 2\varepsilon a_i' \cos \theta_i' \cos \gamma + \varepsilon^2 a_i'^2 \cos 2\gamma}.$$
 (5.22)

5.2.2 **Facteurs théoriques**

Les amplitudes hadroniques $|\mathcal{A}'_i/\mathcal{A}_i|$ sont calculées suivant la méthode décrite dans la référence [96], et en utilisant les derniers résultats sur les facteurs de forme [97]. Les résultats sont :

$$\left| \frac{\mathcal{A}'_0(B^0_s \to J/\psi \phi)}{\mathcal{A}_0(B^0_s \to J/\psi \bar{K}^{*0})} \right| = 1.23 \pm 0.16, \tag{5.23}$$

$$\left| \frac{\mathcal{A}'_{0}(B^{0}_{s} \to J/\psi\phi)}{\mathcal{A}_{0}(B^{0}_{s} \to J/\psi\bar{K}^{*0})} \right| = 1.23 \pm 0.16,$$

$$\left| \frac{\mathcal{A}'_{\parallel}(B^{0}_{s} \to J/\psi\bar{K}^{*0})}{\mathcal{A}_{\parallel}(B^{0}_{s} \to J/\psi\bar{K}^{*0})} \right| = 1.28 \pm 0.15,$$
(5.24)

$$\left| \frac{\mathcal{A}'_{\perp}(B^0_s \to J/\psi \phi)}{\mathcal{A}_{\perp}(B^0_s \to J/\psi \bar{K}^{*0})} \right| = 1.20 \pm 0.12.$$
 (5.25)

Ce qui donne:

$$H_0 = 0.99 \pm 0.07 \text{ (stat)} \pm 0.06 \text{ (syst)} \pm 0.27 \left(|\mathcal{A}'_i/\mathcal{A}_i| \right) = 0.99 \pm 0.28, \quad (5.26)$$

$$H_{\parallel} = 0.91 \pm 0.14 \text{ (stat)} \pm 0.08 \text{ (syst)} \pm 0.21 \left(|\mathcal{A}'_i/\mathcal{A}_i| \right) = 0.91 \pm 0.27, \quad (5.27)$$

$$H_{\perp} = 1.47 \pm 0.14 \text{ (stat)} \pm 0.11 \text{ (syst)} \pm 0.28 \left(|\mathcal{A}'_i/\mathcal{A}_i| \right) = 1.47 \pm 0.33.$$
 (5.28)

Résultats de l'ajustement avec le canal $B^0_s o J/\psi \overline{K}^{*0}$ 5.2.3

Pour chacune des trois polarisations, un ajustement par la méthode des moindres carrés est effectué. Les trois degrés de liberté sont : $\Re[a]$, $\Im[a]$ et l'angle γ du triangle d'unitarité. Une contrainte gaussienne est appliquée sur γ [98] :

$$\gamma = \left(73.2_{-7.0}^{+6.3}\right)^{\circ}.\tag{5.29}$$

Les fonctions χ^2 sont minimales pour les valeurs suivantes de $\Re[a]$ et $\Im[a]$:

$$\Re[a_0] = 0.01^{+0.97}_{-0.32}, \quad \Im[a_0] = 0.025^{+0.035}_{-0.031}, \quad \chi^2_{\min} = 1.1 \times 10^{-7}, \quad (5.30)$$

$$\Re[a_{\parallel}] = 0.31^{+0.58}_{-0.51}, \quad \Im[a_{\parallel}] = -0.082^{+0.074}_{-0.087}, \quad \chi^{2}_{\min} = 1.2 \times 10^{-3}, \quad (5.31)$$

$$\Re[a_0] = 0.01^{+0.97}_{-0.32}, \quad \Im[a_0] = 0.025^{+0.035}_{-0.031}, \quad \chi^2_{\min} = 1.1 \times 10^{-7}, \quad (5.30)$$
 $\Re[a_{\parallel}] = 0.31^{+0.58}_{-0.51}, \quad \Im[a_{\parallel}] = -0.082^{+0.074}_{-0.087}, \quad \chi^2_{\min} = 1.2 \times 10^{-3}, \quad (5.31)$
 $\Re[a_{\perp}] = -0.44^{+0.27}_{-0.21}, \quad \Im[a_{\perp}] = 0.037^{+0.079}_{-0.076}, \quad \chi^2_{\min} = 1.5 \times 10^{-6}, \quad (5.32)$

Cela implique:

1910

1911

1913

1914

$$a_0 = 0.03^{+0.97}_{-0.03},$$
 $\theta_0 = \left(64^{+116}_{-244}\right)^{\circ},$ (5.33)
 $a_{\parallel} = 0.32^{+0.58}_{-0.32},$ $\theta_{\parallel} = -\left(15^{+165}_{-195}\right)^{\circ},$ (5.34)

$$a_{\parallel} = 0.32_{-0.32}^{+0.58}, \qquad \qquad \theta_{\parallel} = -\left(15_{-195}^{+165}\right)^{\circ}, \qquad (5.34)$$

$$a_{\perp} = 0.45^{+0.21}_{-0.27}, \qquad \theta_{\perp} = (175 \pm 10)^{\circ}.$$
 (5.35)

Pour les états de polarisations longitudinale et parallèle, la phase forte θ est affectée par une grande incertitude. Les contraintes sur les paramètres pingouins provenant des paramètres H_i et A_i^{CP} sont illustrées en coordonnées cartésiennes dans la figure 5.1 et en coordonnées polaires dans la figure 5.2.

En supposant une symétrie SU(3) parfaite et en négligeant les diagrammes pingouins d'annihilation et les diagrammes d'échange dans $B^0_s o J/\psi \phi$ ainsi que la différence entre les mésons \overline{K}^{*0} et ϕ , les paramètres pingouins dans les équations (5.30)–(5.32) donnent ¹:

$$\Delta \phi_{s,0} = 0.001^{+0.087}_{-0.011} (\text{stat})^{+0.013}_{-0.008} (\text{syst})^{+0.048}_{-0.030} (|\mathcal{A}'_i/\mathcal{A}_i|)$$
 (5.36)

$$= 0.001^{+0.100}_{-0.033}, (5.37)$$

$$\Delta \phi_{s,\parallel} = 0.031^{+0.049}_{-0.038} (\text{stat})^{+0.013}_{-0.013} (\text{syst})^{+0.031}_{-0.033} (|\mathcal{A}'_i/\mathcal{A}_i|)$$
 (5.38)

$$= 0.031_{-0.052}^{+0.059}, (5.39)$$

$$\Delta\phi_{s,0} = 0.001^{+0.087}_{-0.011} (\text{stat})^{+0.013}_{-0.008} (\text{syst})^{+0.048}_{-0.030} (|\mathcal{A}'_i/\mathcal{A}_i|) \qquad (5.36)$$

$$= 0.001^{+0.100}_{-0.033}, \qquad (5.37)$$

$$\Delta\phi_{s,\parallel} = 0.031^{+0.049}_{-0.038} (\text{stat})^{+0.013}_{-0.013} (\text{syst})^{+0.031}_{-0.033} (|\mathcal{A}'_i/\mathcal{A}_i|) \qquad (5.38)$$

$$= 0.031^{+0.059}_{-0.052}, \qquad (5.39)$$

$$\Delta\phi_{s,\perp} = -0.046^{+0.012}_{-0.012} (\text{stat})^{+0.007}_{-0.008} (\text{syst})^{+0.017}_{-0.024} (|\mathcal{A}'_i/\mathcal{A}_i|) \qquad (5.40)$$

$$= -0.046^{+0.022}_{-0.028}. \qquad (5.41)$$

$$= -0.046^{+0.022}_{-0.028}. (5.41)$$

^{1.} Les résultats sont obtenus en propageant les incertitudes obtenues de l'analyse angulaire dans $B_s^0 \rightarrow J/\psi \bar{K}^{*0}$

La dernière incertitude provient de $(|\mathcal{A}'_i/\mathcal{A}_i|)$. On peut écrire ces résultats en degrés tels que :

$$\Delta \phi_{s,0} = \left(0.1^{+5.0}_{-0.6} (\text{stat})^{+0.7}_{-0.5} (\text{syst})^{+2.7}_{-1.7} \left(|\mathcal{A}'_i/\mathcal{A}_i|\right)\right)^{\circ} = \left(0.1^{+5.7}_{-1.9}\right)^{\circ}, \quad (5.42)$$

$$\Delta \phi_{s,\parallel} = \left(1.8^{+2.8}_{-2.2} (\text{stat})^{+0.7}_{-0.7} (\text{syst})^{+1.8}_{-1.9} \left(|\mathcal{A}'_i/\mathcal{A}_i|\right)\right)^{\circ} = \left(1.8^{+3.4}_{-3.0}\right)^{\circ}, \quad (5.43)$$

$$\Delta \phi_{s,\perp} = -\left(2.6^{+0.7}_{-0.7} (\text{stat})^{+0.5}_{-0.4} (\text{syst})^{+1.4}_{-1.0} \left(|\mathcal{A}'_i/\mathcal{A}_i|\right)\right)^{\circ} = -\left(2.6^{+1.6}_{-1.3}\right)^{\circ}. \quad (5.44)$$

5.2.4 Brisure de la symétrie SU(3)

1918

193

1932

1937

Nous incluons les paramètres ξ et δ représentant la brisure de symétrie SU(3) dans la relation 5.21 :

$$a'_i = \xi \times a_i, \qquad \theta'_i = \theta_i + \delta.$$
 (5.45)

Le cas $\xi=1$ et $\delta=0$ correspond à une symétrie SU(3) parfaite. Puisque les paramètres $a_i^{(\prime)}$ sont des rapports d'amplitudes (cf. équation 2.3), les corrections factorisables, du premier ordre de la brisure de symétrie SU(3), peuvent être simplifiées. Par conséquent, les termes restant dans $a_i^{(\prime)}$ sont des corrections non-factorisables de brisure de symétrie SU(3) très difficiles à calculer mais sous-dominantes par rapport aux corrections factorisables. Les incertitudes sur les paramètres ξ et δ sont traitées comme des contraintes gaussiennes dans l'ajustement de χ^2 . La déviation $\Delta\phi_{S,i}$ varie avec l'incertitude sur le paramètre ξ comme le montre la figure 5.3. Cependant, elle est indépendante de l'incertitude sur δ . Cela est dû à la structure algébrique de $\Delta\phi_{S,i}$ ainsi qu'à la solution obtenue par l'ajustement, à savoir $\Im[a] \approx 0$, ce qui réduit l'effet de δ sur $\Delta\phi_{S,i}$.

5.2.5 Ajustement global combinant les canaux $B_s^0 o J/\psi \overline{K}^{*0}$ et $B^0 o J/\psi \rho^0$

En suivant la méthode proposée dans [35], un ajustement combiné des asymétries CP et des rapports d'embranchement dans les canaux $B_s^0 \to J/\psi \bar{K}^{*0}$ et $B^0 \to J/\psi \rho^0$ a été effectué en supposant que :

$$\left| \frac{\mathcal{A}_{i}'(B_{s}^{0} \to J/\psi\phi)}{\mathcal{A}_{i}(B_{s}^{0} \to J/\psi\bar{K}^{*0})} \right| = \left| \frac{\mathcal{A}_{i}'(B_{s}^{0} \to J/\psi\phi)}{\mathcal{A}_{i}(B^{0} \to J/\psi\rho^{0})} \right|. \tag{5.46}$$

Cet ajustement permet de déterminer le rapport $|\mathcal{A}'_i/\mathcal{A}_i|$ directement dans les données expérimentales, comme expliqué dans le chapitre 2. Pour chacune des trois polarisations, un ajustement de moindres carrés est effectué. Il y a cinq degrés de liberté dans l'ajustement : $\Re[a]$, $\Im[a]$, $|\mathcal{A}'_i/\mathcal{A}_i|$, γ et ϕ_d , ce dernier est contraint par une gaussienne. La phase γ est prise de l'équation (5.29), tandis que ϕ_d est égale à :

$$\phi_d = 0.767 \pm 0.029 \quad ([99]), \tag{5.47}$$

FIGURE 5.1 – En coordonnées cartésiennes, contraintes sur les paramètres pingouins a_i et θ_i obtenus à partir des mesures de A_i^{CP} (en bleu) et H_i (en jaune) dans le canal $B_s^0 \to J/\psi \bar{K}^{*0}$. La partie interne représente le contour associé à la valeur centrale du paramètre considéré. Les contours sont obtenus par un ajustement χ^2 dans les vraies données. La polarisation longitudinale est illustrée en haut à gauche, la polarisation parallèle en haut à droite et la perpendiculaire en bas.

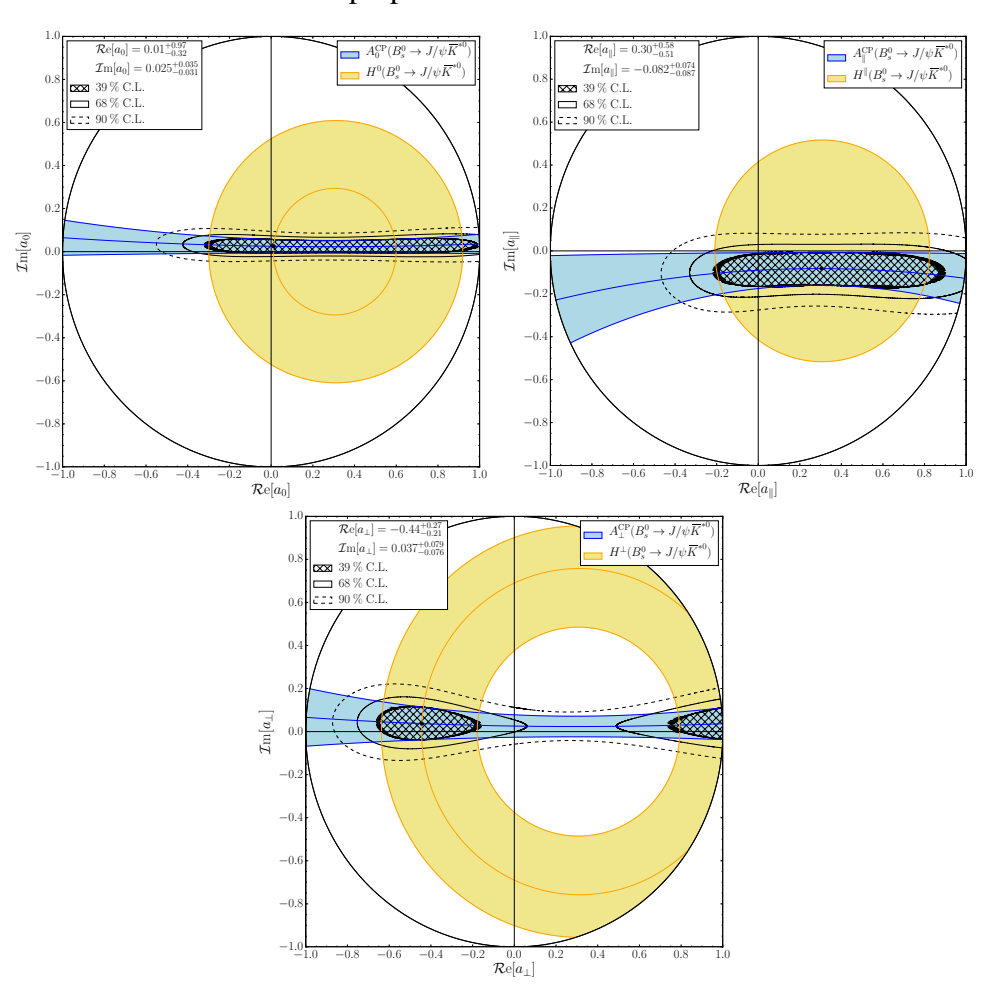


FIGURE 5.2 – Identique à 5.1, en coordonnées polaires.

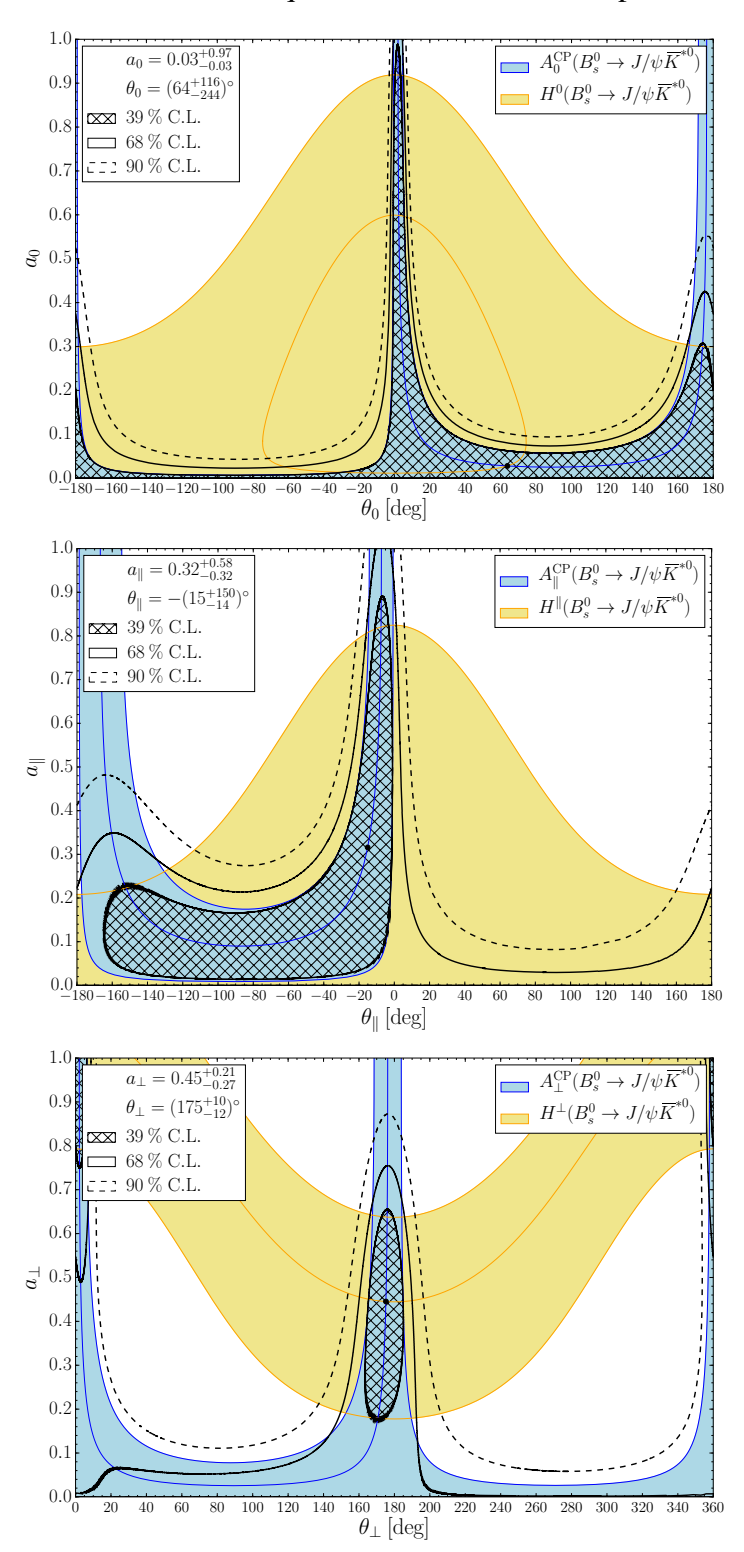
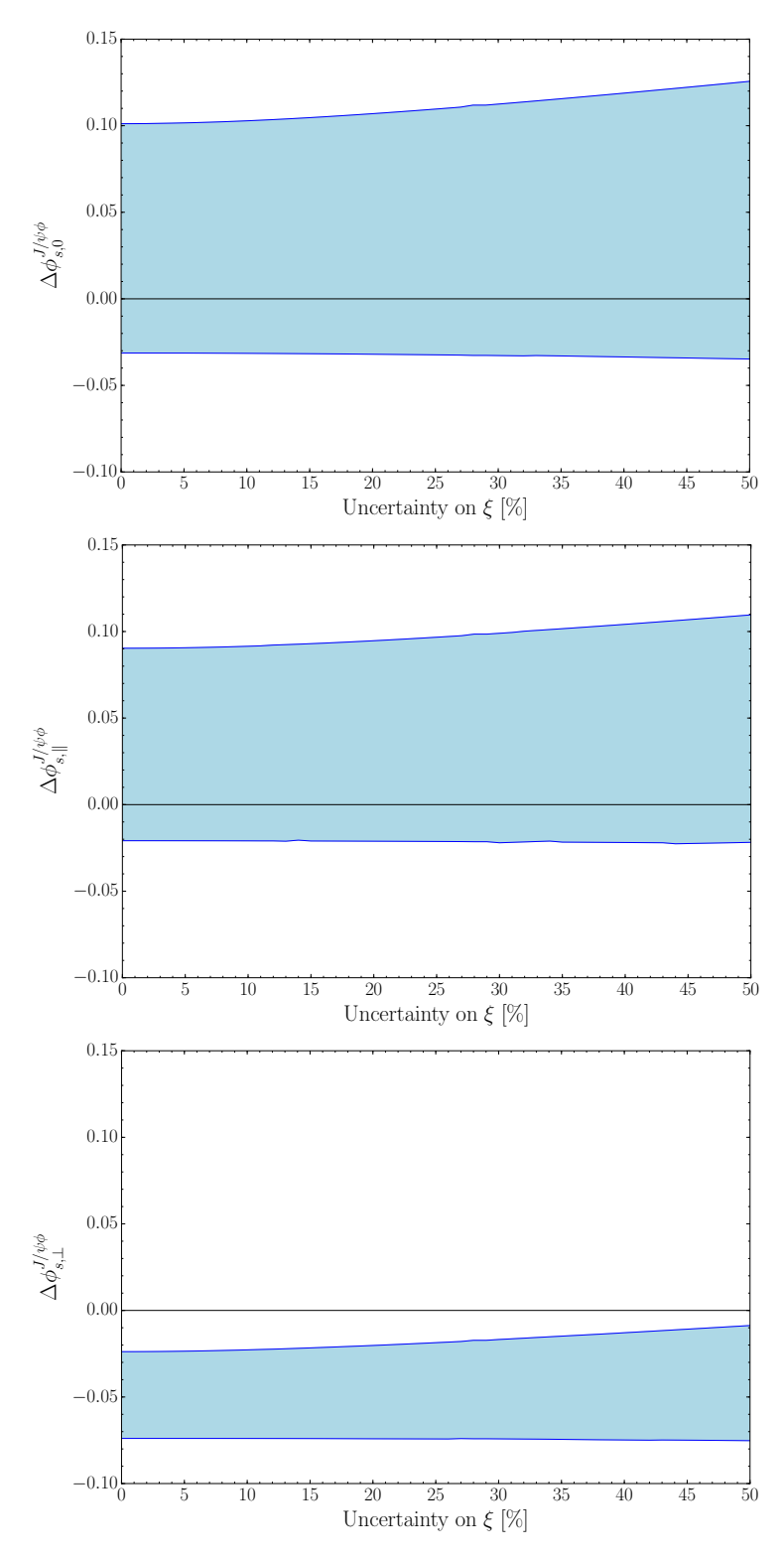


FIGURE 5.3 – Variation de la déviation $\Delta\phi_{s,i}$ avec les incertitudes sur le paramètre de brisure de symétrie SU(3), ξ . Les contours correspondent à un intervalle de 68% C.L.



En supposant que la symétrie SU(3) de saveur est parfaite et en négligeant la contribution des processus d'ordre supérieur dans $B^0_s o J/\psi \phi$, les résultats suivants sont obtenus: 1943

$$\Re[a_0] = 0.00^{+0.11}_{-0.13},$$
 $\Im[a_0] = -0.006 \pm 0.024,$ (5.48)

$$\left. \frac{\mathcal{A}_0'}{\mathcal{A}_0} \right| = 1.190_{-0.056}^{+0.074},\tag{5.49}$$

$$\Re[a_{\parallel}] = 0.01^{+0.11}_{-0.16}, \qquad \Im[a_{\parallel}] = -0.073^{+0.050}_{-0.052}, \quad (5.50)$$

$$\begin{vmatrix} \mathcal{A}'_{0} \\ \mathcal{A}'_{0} \\ | = 1.190^{+0.074}_{-0.056}, \\ \Re[a_{\parallel}] = 0.01^{+0.11}_{-0.16}, \qquad \Im[a_{\parallel}] = -0.073^{+0.050}_{-0.052}, \quad (5.49)$$

$$\begin{vmatrix} \mathcal{A}'_{\parallel} \\ \overline{\mathcal{A}}_{\parallel} \\ | = 1.233^{+0.104}_{-0.079}, \qquad (5.51)$$

$$\Re[a_{\perp}] = 0.03^{+0.12}_{-0.16}, \qquad \Im[a_{\perp}] = 0.024 \pm 0.047, \quad (5.52)$$

$$\begin{vmatrix} \mathcal{A}'_{\perp} \\ \overline{\mathcal{A}}_{\perp} \\ | = 1.039^{+0.080}_{-0.063}. \qquad (5.53)$$

$$\left| \frac{\overline{A}_{\parallel}}{\overline{A}_{\parallel}} \right| = 1.233_{-0.079}^{+0.101}, \tag{5.51}$$

$$\Re[a_{\perp}] = 0.03_{-0.16}^{+0.12}, \qquad \Im[a_{\perp}] = 0.024 \pm 0.047, \tag{5.52}$$

$$\left| \frac{\mathcal{A}_{\perp}'}{\mathcal{A}_{\perp}} \right| = 1.039_{-0.063}^{+0.080}. \tag{5.53}$$

En coordonnées polaires :

1944

1945

1946

1948

$$a_0 = 0.01^{+0.10}_{-0.01},$$
 $\theta_0 = -\left(82^{+98}_{-262}\right)^{\circ},$ (5.54)

$$a_{\parallel} = 0.07^{+0.11}_{-0.05}, \qquad \qquad \theta_{\parallel} = -\left(85^{+71}_{-63}\right)^{\circ}, \qquad (5.55)$$

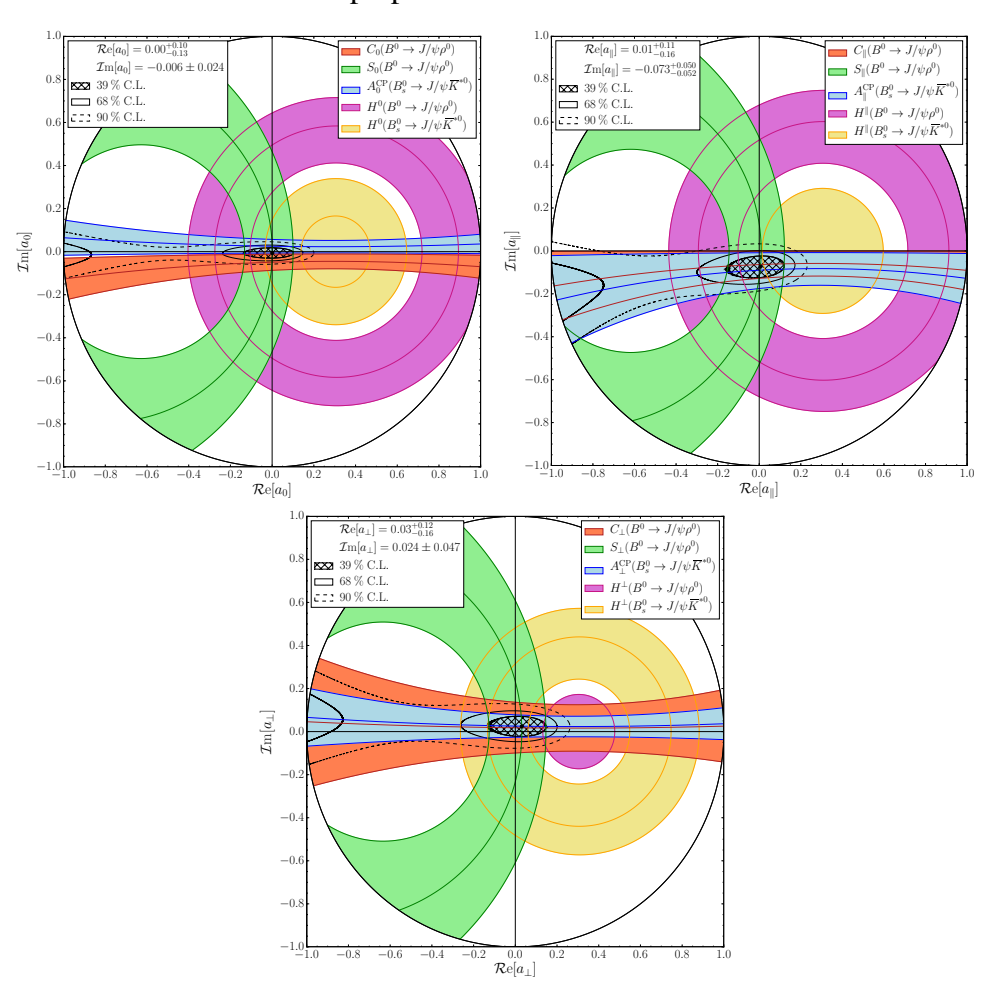
$$a_{0} = 0.01^{+0.10}_{-0.01},$$
 $\theta_{0} = -\left(82^{+98}_{-262}\right)^{\circ},$ (5.54)
 $a_{\parallel} = 0.07^{+0.11}_{-0.05},$ $\theta_{\parallel} = -\left(85^{+71}_{-63}\right)^{\circ},$ (5.55)
 $a_{\perp} = 0.04^{+0.12}_{-0.04},$ $\theta_{\perp} = \left(38^{+142}_{-218}\right)^{\circ}.$ (5.56)

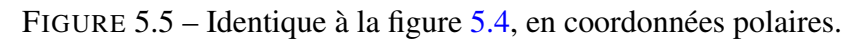
En négligeant les effets de brisure de symétrie SU(3) et les diagrammes pingouins d'annihilation et d'échange dans le canal $B^0 \to J/\psi \rho^0$, l'ajustement combiné donne une déviation ϕ_s :

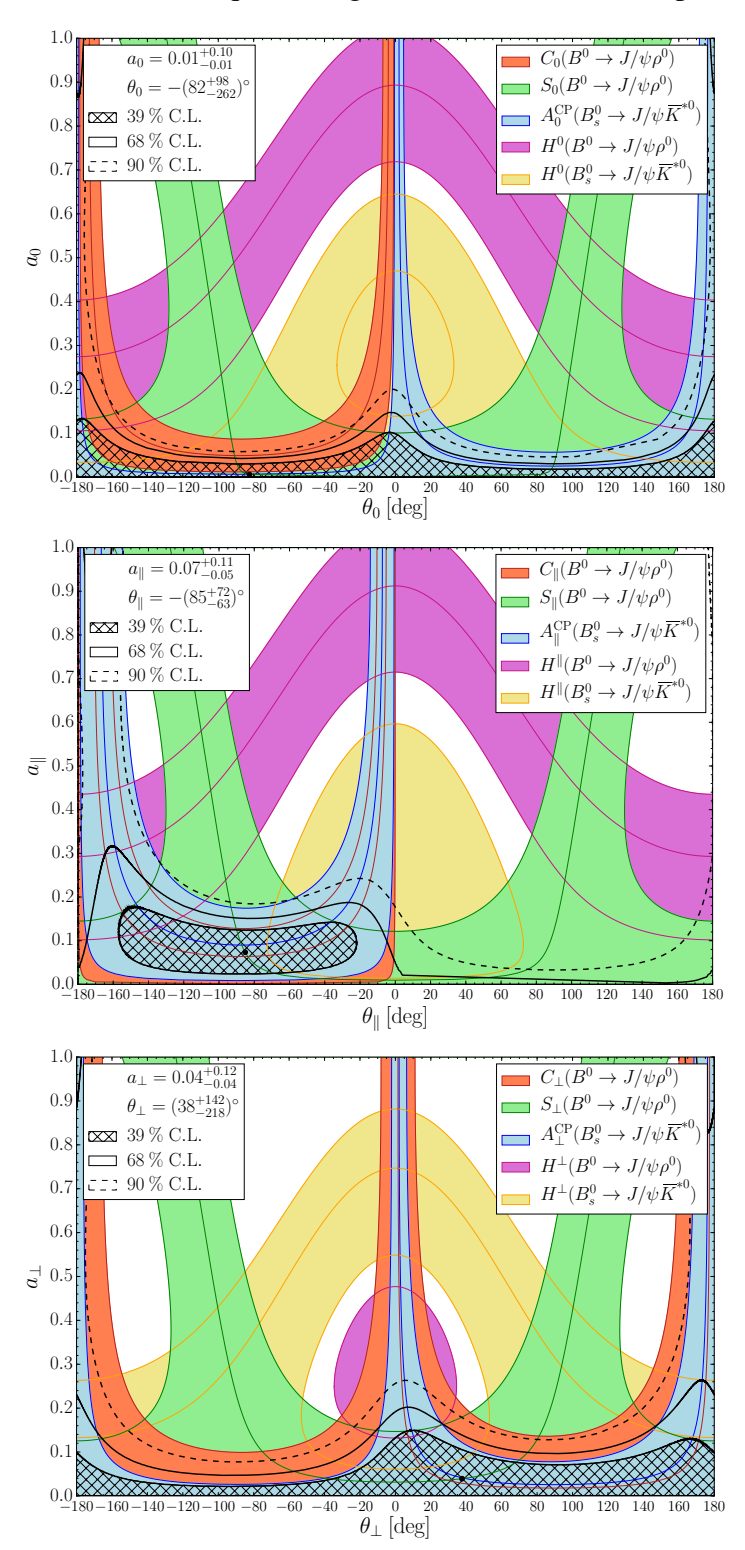
$$\begin{split} \Delta\phi_{s,0} &= 0.000^{+0.009}_{-0.011}\,(\text{stat})^{+0.004}_{-0.009}\,(\text{syst})\,,\\ \Delta\phi_{s,\parallel} &= 0.001^{+0.010}_{-0.014}\,(\text{stat})^{+0.007}_{-0.008}\,(\text{syst})\,,\\ \Delta\phi_{s,\perp} &= 0.003^{+0.010}_{-0.014}\,(\text{stat})^{+0.007}_{-0.008}\,(\text{syst})\,. \end{split}$$

Ainsi, la pollution pingouin sur ϕ_s est inférieure à 19 mrad, quelque soit la po-1949 larisation de l'état final. Les résultats sont dominés par les incertitudes statistiques. Les contraintes sur les paramètres pingouins provenant des paramètres H_i et A_i^{CP} 195 sont illustrées en coordonnées cartésiennes dans la figure 5.4 et en coordonnées po-1952 laires dans la figure 5.5. Les résultats sont dominés par les mesures d'asymétries CP dans le canal $B^0 \to J/\psi \rho^0$. Ces résultats montrent une petite tension entre les pa-1954 ramètres H_i calculés dans les canaux $B_s^0 \to J/\psi \overline{K}^{*0}$ et $B^0 \to J/\psi \rho^0$. S'il ne s'agit pas de fluctuations statistiques, cette tension peut indiquer une violation de l'équation 5.46, c'est-à-dire une différence entre les termes factorisables brisant SU(3)1957 dans les désintégrations $B^0 o J/\psi
ho^0$ et $B^0_s o J/\psi \overline{K}^{*0}$.

FIGURE 5.4 – En coordonnées cartésiennes, contraintes sur les paramètres pingouins a_i et θ_i obtenus à partir des mesures de A_i^{CP} et H_i dans les canaux $B_s^0 \to J/\psi \bar{K}^{*0}$ et $B^0 \to J/\psi \rho^0$. La partie interne représente le contour associé à la valeur centrale du paramètre considéré. Les contours sont obtenus par un ajustement χ^2 dans les vraies données. La polarisation longitudinale est illustrée en haut à gauche, la polarisation parallèle en haut à droite et la perpendiculaire en bas.







5.3 Résumé

1967

1968

1970

Nous obtenons la meilleure mesure mondiale du rapport d'embranchement du canal $B_s^0 \to J/\psi \bar{K}^{*0}$:

$$\mathcal{B}(B_s^0 \to J/\psi \overline{K}^{*0}) = (4.17 \pm 0.18 \text{ (stat)} \pm 0.26 \text{ (syst)} \pm 0.24 (f_d/f_s)) \times 10^{-5},$$

Elle est compatible avec la mesure précédente de LHCb effectuée avec $0.4 \, {\rm fb}^{-1}$ [89]. Nous avons utilisé le rapport d'embranchement et l'asymétrie CP directe dépendante de la polarisation dans les désintégrations $B_s^0 \to J/\psi \bar{K}^{*0}$ afin de contraindre les diagrammes pingouins dans la mesure de la phase ϕ_s . Nous supposons une symétrie SU(3) parfaite et nous négligeons la contribution des diagrammes pingouins d'annihilation et les diagrammes d'échange présents dans le canal $B_s^0 \to J/\psi \phi$ et qui n'ont pas d'homologues dans $B_s^0 \to J/\psi \bar{K}^{*0}$. Nous obtenons les déviations sur la phase ϕ_s , $\Delta \phi_s$, pour les trois polarisations :

$$\begin{array}{lll} \Delta\phi_{s,0} = & 0.001^{+0.087}_{-0.011}\,(\mathrm{stat})^{+0.013}_{-0.008}\,(\mathrm{syst})^{+0.048}_{-0.030}\,(|\mathcal{A}_i'/\mathcal{A}_i|) = & 0.001^{+0.100}_{-0.033}\,,\\ \Delta\phi_{s,\parallel} = & 0.031^{+0.049}_{-0.038}\,(\mathrm{stat})^{+0.013}_{-0.013}\,(\mathrm{syst})^{+0.031}_{-0.033}\,(|\mathcal{A}_i'/\mathcal{A}_i|) = & 0.031^{+0.059}_{-0.052}\,,\\ \Delta\phi_{s,\perp} = & -0.046^{+0.012}_{-0.012}\,(\mathrm{stat})^{+0.007}_{-0.008}\,(\mathrm{syst})^{+0.017}_{-0.024}\,(|\mathcal{A}_i'/\mathcal{A}_i|) = & -0.046^{+0.022}_{-0.028}\,. \end{array}$$

Elles sont compatibles avec les résultats obtenus dans le canal $B^0 \to J/\psi \rho^0$ [32]. Nous avons aussi combiné nos résultats avec ceux obtenus dans le canal $B^0 \to J/\psi \rho^0$ en supposant que le rapport des amplitudes hadroniques $(|\mathcal{A}_i'/\mathcal{A}_i|)$ est le même pour les désintégrations $B_s^0 \to J/\psi \bar{K}^{*0}$ et $B^0 \to J/\psi \rho^0$ et en négligeant les effets de brisure de la symétrie SU(3) et la présence des diagrammes pingouins d'annihilation et d'échange dans $B^0 \to J/\psi \rho^0$, les résultats sont :

$$\begin{split} \Delta\phi_{s,0} &= 0.000^{+0.009}_{-0.011}\,(\text{stat})^{+0.004}_{-0.009}\,(\text{syst})\,,\\ \Delta\phi_{s,\parallel} &= 0.001^{+0.010}_{-0.014}\,(\text{stat})^{+0.007}_{-0.008}\,(\text{syst})\,,\\ \Delta\phi_{s,\perp} &= 0.003^{+0.010}_{-0.014}\,(\text{stat})^{+0.007}_{-0.008}\,(\text{syst})\,. \end{split}$$

Ces résultats montrent que la pollution due aux diagrammes pingouins est très faible (< 19 mrad) dans la mesure de ϕ_s ($\sigma_{\phi_s} = 35$ mrad [22]). Cette pollution est suffisamment faible pour considérer que la mesure de ϕ_s demeure une mesure essentielle et incontournable jusqu'à la fin de la phase de mise à jour du détecteur LHCb.

119

Conclusions et perspectives

1973

Le détecteur LHCb est principalement dédié à la mesure de la violation CP et les désintégrations rares dans le secteur des hadrons beaux. Un des buts de LHCb est de mesurer la phase ϕ_s . Dans le cadre du Modèle Standard : $-2\beta_s = -2\arg\left(-\frac{V_{ts}V_{tb}^*}{V_{cs}V_{cb}^*}\right) = -0.0363 \pm 0.0013$ rad [1] en ignorant les contributions des diagrammes pingouins. En 2015, LHCb a obtenu la meilleure précision mondiale sur ce paramètre dans les désintégrations $B_s^0 \to J/\psi K^-K^+$. Une combinaison de toutes les mesures de ϕ_s des expériences CDF, D0, ATLAS, CMS et LHCb donne : -0.015 ± 0.035 [22]. Cette combinaison est compatible avec le Modèle Standard, mais n'exclut pas la possible présence de Nouvelle Physique.

Avec le démarrage du Run II et bientôt la phase de mise à jour du LHC, les contributions des diagrammes pingouins, aux désintégrations $B_s^0 \to J/\psi \phi$, doivent être mesurées afin d'isoler les contributions du Modèle Standard et de la Nouvelle Physique.

Durant ma thèse, j'ai participé à l'étude de la désintégration $B_s^0 \to J/\psi \bar{K}^{*0}$, utilisée comme canal de contrôle afin de contraindre l'effet des diagrammes pingouins, sous-dominants à la phase ϕ_s . Nous avons utilisé l'intégralité des données collectées par LHCb pendant le Run I, soit 3 fb⁻¹. Nous avons sélectionné 1 808 candidats $B_s^0 \to J/\psi \bar{K}^{*0}$ et mesuré le rapport d'embranchement :

$$J/\psi \bar{K}^{*0}$$
 et mesuré le rapport d'embranchement : $\mathcal{B}(B_s^0 \to J/\psi \bar{K}^{*0}) = (4.17 \pm 0.18 \, (\text{stat}) \pm 0.26 \, (\text{syst}) \pm 0.24 \, (f_d/f_s)) \times 10^{-5}$,

où $f_{d(s)}$ est la fraction de production du méson B^0 (B_s^0). Un ajustement tridimensionnel des distributions angulaires des produits de désintégration a permis d'extraire les fractions de polarisations et, pour la première fois, l'asymétrie CP directe en fonction des différents états de polarisations de l'état final et en incluant un terme décrivant l'onde S du système $K\pi$. Les principaux résultats sont donnés ci-dessous :

La mesure du rapport d'embranchement et des paramètres de l'onde P sont compatibles avec la mesure précédente de LHCb utilisant seulement $0.37 \, \text{fb}^{-1}$ de données [89].

En utilisant l'approximation SU(3) de saveur connectant les deux canaux $B_s^0 \to J/\psi \phi$ et $B_s^0 \to J/\psi \overline{K}^{*0}$, et en négligeant la différence entre les mésons ϕ et K^{*0} , ainsi que les topologies pingouins d'annihilation et d'échange, nous obtenons les contraintes suivantes sur la contributions des diagrammes pingouins affectant la phase ϕ_s :

$$\begin{split} \Delta\phi_{s,0} &= \quad 0.001^{+0.087}_{-0.011}\,(\text{stat})^{+0.013}_{-0.008}\,(\text{syst})^{+0.048}_{-0.030}\left(|\mathcal{A}_i'/\mathcal{A}_i|\right),\\ \Delta\phi_{s,\parallel} &= \quad 0.031^{+0.049}_{-0.038}\,(\text{stat})^{+0.013}_{-0.013}\,(\text{syst})^{+0.031}_{-0.033}\left(|\mathcal{A}_i'/\mathcal{A}_i|\right),\\ \Delta\phi_{s,\perp} &= -0.046^{+0.012}_{-0.012}\,(\text{stat})^{+0.007}_{-0.008}\,(\text{syst})^{+0.017}_{-0.024}\left(|\mathcal{A}_i'/\mathcal{A}_i|\right), \end{split}$$

où la dernière incertitude provient des facteurs hadroniques $(|\mathcal{A}'_i/\mathcal{A}_i|)$.

Nous combinons ces résultats avec une analyse précédente dans le canal $B^0 \to J/\psi \rho^0$ [32] en supposant que le rapport des amplitudes hadroniques $(|\mathcal{A}'_i/\mathcal{A}_i|)$ est le même pour les désintégrations $B^0_s \to J/\psi \bar{K}^{*0}$ et $B^0 \to J/\psi \rho^0$ et en négligeant les effets de brisure de symétrie SU(3) et la présence des diagrammes pingouins d'annihilation et d'échange dans le canal $B^0 \to J/\psi \rho^0$, nous obtenons :

$$\begin{split} \Delta\phi_{s,0} &= 0.000^{+0.009}_{-0.011}\,(\text{stat})^{+0.004}_{-0.009}\,(\text{syst})\,,\\ \Delta\phi_{s,\parallel} &= 0.001^{+0.010}_{-0.014}\,(\text{stat})^{+0.007}_{-0.008}\,(\text{syst})\,,\\ \Delta\phi_{s,\perp} &= 0.003^{+0.010}_{-0.014}\,(\text{stat})^{+0.007}_{-0.008}\,(\text{syst})\,. \end{split}$$

La déviation sur la phase ϕ_s due aux processus pingouins, est donc inférieure à 19 mrad, quelque soit la polarisation de l'état final. Le détecteur LHCb devrait avoir collecté $5\,\mathrm{fb}^{-1}$ supplémentaires à la fin de 2017 et $50\,\mathrm{fb}^{-1}$ à la fin de la phase de mise à jour qui commencera en 2019. L'incertitude sur ϕ_s sera alors de 8 mrad [100], ce qui est du même ordre de grandeur que la plus grande des incertitudes systématiques actuelles sur $\Delta\phi_s$. En conclusion, la pollution due aux diagrammes pingouins est suffisamment faible pour que la mesure de ϕ_s demeure une façon essentielle de sonder la Nouvelle Physique jusqu'à la fin de la prise de données de LHCb. Le canal $B_s^0 \to J/\psi \bar{K}^{*0}$ sera utilisé avec $B^0 \to J/\psi \rho^0$ et d'autres canaux dans un ajustement global permettant de déterminer simultanément l'effet de différents types de diagrammes sous-dominants dans les mesures des phases ϕ_s et ϕ_d [95].

Annexe A

Sélection

Les coupures de la présélection ainsi que de la sélection hors ligne (offline) sont présentées dans la table A.1. Dans cette analyse, aucune ligne spécifique du système de déclenchement n'est choisie, c'est-à-dire chaque évènement est présélectionné s'il passe au moins une ligne du système de déclenchement. Nous définissons les échantillons du signal et du bruit de fond dans la table A.2.

Decay mode	Cut parameter	Stripping line	Final selection
$J/\psi ightarrow \mu \mu$	$\Delta LL\mu\pi(\mu)$	>0	_
	$\chi^2_{\rm vtx}/{\rm nDoF}(J/\psi)$	< 16	_
	$\chi^2_{\rm DOCA}/{\rm nDoF}(J/\psi)$	< 20	_
	$\chi^2_{ m IP}(\mu)$	_	> 16
	$p_T(\mu)$	$> 500 \mathrm{GeV}/c$	_
	IsMuon (μ)	> 0	_
	$ M(\mu^+\mu^-)-M(J/\psi) $	$< 150 \mathrm{MeV}/c^2$	_
$\overline{K}^{*0} \rightarrow K^- \pi^+$	$\Delta LLK\pi(K)$	>0	_
	$p_T(K)$	$> 0.5 \mathrm{GeV}/c$	$> 0.5 \mathrm{GeV}/c$
	$Prob_{ghost}(track)(K)$	< 0.8	_
	$\chi^2_{ ext{IP}}(K)$	_	> 2
	$\operatorname{ProbNNK}(K)$	_	> 0.21
	ProbNNK(K)/ProbNNp(K) (*)	_	> 0.99
	$\Delta LLK\pi(\pi)$	< 0	_
	$p_T\left(\pi\right)$	$> 0.5 \mathrm{GeV}/c$	$> 0.5 \mathrm{GeV}/c$
	$Prob_{ghost}(track)(\pi)$	< 0.8	_
	$\chi^2_{ m IP}(\pi)$	_	> 2
	$ProbNNK(\pi)$	_	< 0.01
	$\operatorname{ProbNN}\pi(\pi)/\operatorname{ProbNNp}(\pi)$ (*)	_	> 21.9
	$\chi^2_{ m vtx}/{ m nDoF}(ar K^{*0})$	< 25	_
	$\chi^2_{\mathrm{DOCA}}/\mathrm{nDoF}(\overline{K}^{*0})$	< 30	_
	$M(K^-\pi^+)$	\in [750, 1900] MeV/ c^2	_
	$ M(K^-\pi^+) - 896 $	_	$< 70 \mathrm{MeV}/c^2$
$B_s^0 \to J/\psi \overline{K}^{*0}$	$M(B_s^0)$	$\in [5100, 5700] \mathrm{MeV}/c^2$	\in [5150, 5650] MeV/ c^2
	$\chi^2_{\rm vtx}/{\rm nDoF}(B_s^0)$	< 10	_
	$DIRA(B_s^0)$	> 0.999	_
	VS	> 1.5 mm	_
$B^+ \to J/\psi K^+$ veto	$ M(J/\psi,K)-5279 $	_	$> 60 \mathrm{MeV}/c^2$
BDTG (MVA)	2011 data/MC (**)	_	> 0.2
	2012 data/MC (**)	_	> 0.12

TABLE A.1 – Critères de présélection et de sélection hors ligne (offline) des candidats $B^0_s \to J/\psi \bar K^{*0}$. Les coupures marquées par (*) sont utilisées pour supprimer les évènements correspondant aux bruits de fond non combinatoires $\Lambda^0_b \to J/\psi p K^-$ et $\Lambda^0_b \to J/\psi p \pi^-$. Les coupures correspondant à l'arbre de décision boosté sont marquées par (**). La variable $M(J/\psi)$ est la masse nominale du méson J/ψ dans le PDG. La séparation entre un vertex donné et le vertex primaire est représentée par VS.

	Decay mode	Cut parameter	Cut value
Signal sample	$B_s^0 \to J/\psi \overline{K}^{*0}$	$ M(K^-\pi^+,J/\psi)-5366.3 $	$< 25 \mathrm{MeV}/c^2$
		mcTruth	yes
Background sample	$B_s^0 \to J/\psi \overline{K}^{*0}$		$> 35 \mathrm{MeV}/c^2$
	$ar{K}^{*0} ightarrow K^- \pi^+$	$ProbNNK(K)$ ou $ProbNNK(\pi)$	$ < 0.21 \parallel > 0.01 $
Common preselection	$B^+ \rightarrow J/\psi K^+$ veto	$ M(J/\psi,K)-5279 $	$> 60 \mathrm{MeV}/c^2$
	$J/\psi ightarrow \mu \mu$	$\chi^2_{\text{IP}}(\mu)$	> 16
	$ar{K}^{*0} ightarrow K^- \pi^+$	$p_T(K)$	$> 0.5 \mathrm{GeV}/c$
		$\chi^2_{\text{IP}}(K)$	> 2
		$p_T(\pi)$	$> 0.5 \mathrm{GeV}/c$
		$\chi^2_{ m IP}(\pi)$	> 2
		$ M(K^-\pi^+) - 896 $	$< 70 \mathrm{MeV}/c^2$

TABLE A.2 – Définitions des échantillon du signal et du bruit de fond ainsi que la présélection commune, extraite de la table A.1, pour les échantillons utilisés dans la sélection multivariée (MVA).

Annexe B

Résultats de l'ajustement de masse

Dans cette section, nous donnons les résultats de l'ajustement de masse invariante $J/\psi K^-\pi^+$ dans 20 bins correspondant aux quatre bins $m_{K\pi}$ multipliés par cinq bins de $\cos\theta_\mu$.

TABLE B.1 – Résultats de l'ajustement de la masse invariante dans chaque bin $m_{K\pi}$ pour $-1.0 \le \cos \theta_{\mu} < -0.6$.

	$826 \le m_{K\pi} \le 861$	$861 < m_{K\pi} \le 896$	$896 < m_{K\pi} \le 931$	$931 < m_{K\pi} \le 966$
	MeV/c^2	MeV/c^2	MeV/c^2	MeV/c^2
$k_{\rm bkg}$	$-0.0043 \pm 0.0014^{+0.0003}_{-0.0003}$	$-0.0007 \pm 0.0016^{+0.0008}_{-0.0007}$	$-0.0042 \pm 0.0011^{+0.0004}_{-0.0004}$	$-0.0043 \pm 0.0009^{+0.0004}_{-0.0004}$
μ_{B^0}	$5\ 280.95 \pm 0.15^{+0.00}_{-0.00}$	$5281.00 \pm 0.07^{+0.03}_{-0.04}$	$5281.44 \pm 0.08^{+0.02}_{-0.02}$	$5\ 281.72 \pm 0.14^{+0.01}_{-0.01}$
$\mu_{B^0_{\mathfrak{s}}}$	$5\ 370.17 \pm 2.48^{+0.33}_{-0.40}$	$5369.05\pm0.87^{+0.55}_{-0.16}$	$5368.38 \pm 1.17^{+0.50}_{-0.51}$	$5\ 367.68 \pm 1.72^{+0.19}_{-0.30}$
$\sigma_{\!B^0}$	$10.03 \pm 0.16^{+0.18}_{-0.14}$	$10.26 \pm 0.08^{+0.07}_{-0.06}$	$9.91 \pm 0.08^{+0.07}_{-0.07}$	$10.37 \pm 0.14^{+0.15}_{-0.12}$
$\sigma_{\!B^0_{\scriptscriptstyle S}}$	$12.23 \pm 3.15^{+0.36}_{-0.34}$	$9.07 \pm 0.95^{+0.38}_{-0.83}$	$12.67 \pm 1.51^{+1.48}_{-1.48}$	$9.02 \pm 2.06^{+0.84}_{-0.79}$
N_{B^0}	$4008.8 \pm 66.1^{+5.4}_{-5.0}$	$15964.8 \pm 127.4^{+12.6}_{-12.6}$	$14664.2 \pm 122.2^{+29.7}_{-29.6}$	$4842.2 \pm 70.9^{+15.7}_{-15.4}$
$N_{B_s^0}$	$31.9 \pm 7.7^{+1.1}_{-0.8}$	$132.2 \pm 13.2^{+3.6}_{-12.1}$	$138.0 \pm 14.4^{+16.9}_{-16.7}$	$42.0 \pm 8.8^{+4.3}_{-4.2}$
N_{Bkg}	$87.2 \pm 22.4^{+6.4}_{-7.3}$	$66.7 \pm 19.7^{+11.0}_{-11.7}$	$97.6 \pm 19.5^{+10.9}_{-11.2}$	$116.6 \pm 17.6^{+9.6}_{-9.7}$
$N_{\Lambda p\pi}$	$1.8 \pm 0.6^{+0.0}_{-0.0}$	$2.0 \pm 0.6^{+0.0}_{-0.0}$	$2.0 \pm 0.6^{+0.0}_{-0.0}$	$2.3 \pm 0.7^{+0.0}_{-0.0}$

2023

TABLE B.2 – Résultats de l'ajustement de la masse invariante dans chaque bin $m_{K\pi}$ pour $-0.6 \le \cos\theta_{\mu} < -0.2$.

	$826 \le m_{K\pi} \le 861$	$861 < m_{K\pi} \le 896$	$896 < m_{K\pi} \le 931$	$931 < m_{K\pi} \le 966$
	MeV/c^2	MeV/c^2	MeV/c^2	MeV/c^2
kbkg	$-0.0028 \pm 0.0014^{+0.0002}_{-0.0002}$	$-0.0045 \pm 0.0008^{+0.0001}_{-0.0002}$	$-0.0030 \pm 0.0011^{+0.0002}_{-0.0002}$	$-0.0071 \pm 0.0014^{+0.0010}_{-0.0010}$
μ_{B^0}	$5281.06 \pm 0.11^{+0.01}_{-0.01}$	$5281.08 \pm 0.06^{+0.00}_{-0.00}$	$5281.59 \pm 0.06^{+0.01}_{-0.01}$	$5281.52 \pm 0.12^{+0.01}_{-0.01}$
$\mu_{B^0_{\mathfrak{s}}}$	$5\ 367.44 \pm 1.60^{+0.07}_{-0.05}$	$5369.35\pm0.87^{+0.17}_{-0.09}$	$5368.16\pm0.73^{+0.30}_{-0.32}$	$5368.78 \pm 1.46^{+0.08}_{-0.11}$
$\sigma_{\!\scriptscriptstyle B^0}$	$8.42 \pm 0.12^{+0.15}_{-0.12}$	$8.69 \pm 0.06^{+0.05}_{-0.05}$	$8.58 \pm 0.07^{+0.06}_{-0.06}$	$9.04 \pm 0.12^{+0.12}_{-0.14}$
$\sigma_{\!B^0_{\scriptscriptstyle S}}$	$7.74 \pm 1.89^{+0.31}_{-0.25}$	$7.90 \pm 1.07^{+0.33}_{-0.28}$	$8.58 \pm 0.85^{+0.67}_{-0.65}$	$10.33 \pm 1.69^{+0.65}_{-0.46}$
$\overline{N_{B^0}}$	$5012.9 \pm 72.8^{+7.9}_{-7.9}$	$17416.8 \pm 133.4^{+11.0}_{-10.9}$	$15481.1 \pm 125.6^{+26.4}_{-26.3}$	$5016.5 \pm 72.2^{+17.1}_{-15.8}$
$N_{B_s^0}$	$33.2 \pm 7.1^{+1.0}_{-0.8}$	$105.1 \pm 12.3^{+2.9}_{-2.8}$	$152.3 \pm 14.1^{+10.9}_{-10.7}$	$63.9 \pm 10.0^{+5.2}_{-4.0}$
N_{Bkg}	$78.4 \pm 19.8^{+10.1}_{-10.2}$	$169.9 \pm 24.0^{+12.3}_{-11.6}$	$95.9 \pm 19.6^{+13.9}_{-13.9}$	$95.6 \pm 16.5^{+12.3}_{-10.9}$
$N_{\Lambda p\pi}$	$1.8 \pm 0.6^{+0.0}_{-0.0}$	$2.0 \pm 0.6^{+0.0}_{-0.0}$	$2.0 \pm 0.6^{+0.0}_{-0.0}$	$2.3 \pm 0.7^{+0.0}_{-0.0}$

TABLE B.3 – Résultats de l'ajustement de la masse invariante dans chaque bin $m_{K\pi}$ pour $-0.2 \le \cos \theta_{\mu} < 0.2$.

	$826 \le m_{K\pi} \le 861$	$861 < m_{K\pi} \le 896$	$896 < m_{K\pi} \le 931$	$931 < m_{K\pi} \le 966$
	MeV/c^2	MeV/c^2	MeV/c^2	MeV/c^2
kbkg	$-0.0017 \pm 0.0011^{+0.0002}_{-0.0002}$	$-0.0040 \pm 0.0008^{+0.0002}_{-0.0002}$	$-0.0049 \pm 0.0008^{+0.0003}_{-0.0003}$	$-0.0040 \pm 0.0009^{+0.0003}_{-0.0003}$
μ_{B^0}	$5281.11 \pm 0.10^{+0.01}_{-0.01}$	$5281.00 \pm 0.05^{+0.16}_{-0.39}$	$5\ 281.67 \pm 0.06^{+0.01}_{-0.01}$	$5\ 281.45 \pm 0.11^{+0.02}_{-0.01}$
$\mu_{B^0_{\mathfrak s}}$	$5\ 370.94 \pm 2.72^{+0.27}_{-0.27}$	$5369.72\pm0.82^{+0.45}_{-0.11}$	$5368.59 \pm 0.76^{+0.11}_{-0.11}$	$5\ 370.61 \pm 1.12^{+0.10}_{-0.20}$
$\sigma_{\!B^0}$	$7.97 \pm 0.11^{+0.15}_{-0.11}$	$8.01 \pm 0.06^{+0.11}_{-0.11}$	$7.95 \pm 0.06^{+0.06}_{-0.05}$	$8.35 \pm 0.11^{+0.12}_{-0.09}$
$\sigma_{\!\scriptscriptstyle B^0_{\scriptscriptstyle S}}$	$14.59 \pm 4.91 ^{+1.11}_{-1.09}$	$7.53 \pm 0.89^{+0.50}_{-0.46}$	$8.88 \pm 0.92^{+0.50}_{-0.50}$	$8.08 \pm 1.20^{+0.49}_{-0.36}$
$\overline{\mathrm{N}_{B^0}}$	$5470.4 \pm 75.2^{+9.2}_{-8.7}$	$18252.7 \pm 136.3^{+12.2}_{-11.5}$	$15713.0 \pm 126.3^{+26.7}_{-26.2}$	$5102.4 \pm 72.8^{+15.5}_{-13.5}$
$N_{B_s^0}$	$38.1 \pm 9.0^{+1.8}_{-2.0}$	$110.1 \pm 12.1^{+3.6}_{-2.9}$	$144.9 \pm 13.8^{+8.8}_{-8.8}$	$67.2 \pm 9.8^{+3.4}_{-3.2}$
N_{Bkg}	$86.6 \pm 17.7^{+10.0}_{-9.9}$	$146.8 \pm 22.2^{+11.9}_{-11.3}$	$143.2 \pm 19.6^{+15.3}_{-14.9}$	$114.3 \pm 17.0^{+11.4}_{-9.8}$
$N_{\Lambda p\pi}$	$1.8 \pm 0.6^{+0.0}_{-0.0}$	$2.0 \pm 0.6^{+0.1}_{-1.1}$	$2.0 \pm 0.6^{+0.0}_{-0.0}$	$2.2 \pm 0.7^{+0.0}_{-0.0}$

TABLE B.4 – Résultats de l'ajustement de la masse invariante dans chaque bin $m_{K\pi}$ pour $0.2 \le \cos \theta_{\mu} < 0.6$.

	$826 \le m_{K\pi} \le 861$	$861 < m_{K\pi} \le 896$	$896 < m_{K\pi} \le 931$	$931 < m_{K\pi} \le 966$
	MeV/c^2	MeV/c^2	MeV/c^2	MeV/c^2
$k_{\rm bkg}$	$0.0000 \pm 0.0067^{+0.0001}_{-0.0003}$	$-0.0018 \pm 0.0011^{+0.0002}_{-0.0002}$	$-0.0054 \pm 0.0009^{+0.0004}_{-0.0004}$	$-0.0038 \pm 0.0008^{+0.0003}_{-0.0003}$
μ_{B^0}	$5281.06 \pm 0.11^{+0.01}_{-0.01}$	$5281.00 \pm 0.06^{+0.01}_{-0.01}$	$5281.64 \pm 0.06^{+0.02}_{-0.02}$	$5\ 281.57 \pm 0.11^{+0.01}_{-0.01}$
$\mu_{B^0_{\mathfrak s}}$	$5\ 371.86 \pm 2.05^{+0.12}_{-0.12}$	$5368.07\pm0.96^{+0.11}_{-0.12}$	$5367.91\pm0.91^{+0.32}_{-0.32}$	$5\ 367.50 \pm 1.07^{+0.08}_{-0.18}$
$\sigma_{\!\scriptscriptstyle B^0}$	$8.37 \pm 0.12^{+0.15}_{-0.12}$	$8.70 \pm 0.06^{+0.06}_{-0.05}$	$8.50 \pm 0.06^{+0.06}_{-0.06}$	$8.80 \pm 0.12^{+0.12}_{-0.14}$
$\sigma_{\!B^0_s}$	$11.60 \pm 2.60_{-0.28}^{+0.\overline{29}}$	$9.54 \pm 1.04^{+0.24}_{-0.23}$	$11.25 \pm 1.07 ^{+0.75}_{-0.75}$	$7.11 \pm 1.33^{+0.53}_{-0.32}$
N_{B^0}	$4904.6 \pm 70.6^{+5.4}_{-5.0}$	$17315.8 \pm 132.7^{+10.7}_{-10.7}$	$15528.2 \pm 125.6^{+26.4}_{-26.2}$	$4993.6 \pm 72.0^{+15.5}_{-14.9}$
$N_{B_s^0}$	$36.6 \pm 7.5^{+0.8}_{-0.8}$	$127.3 \pm 13.0^{+2.9}_{-2.8}$	$169.6 \pm 15.1^{+12.8}_{-12.7}$	$57.0 \pm 9.5^{+3.8}_{-3.2}$
N_{Bkg}	$53.2 \pm 11.0^{+7.2}_{-6.4}$	$103.9 \pm 20.2^{+11.3}_{-11.1}$	$135.8 \pm 19.8^{+11.6}_{-11.6}$	$129.4 \pm 17.7^{+10.9}_{-10.4}$
$N_{\Lambda p\pi}$	$1.8 \pm 0.6^{+0.0}_{-0.0}$	$2.0 \pm 0.6^{+0.0}_{-0.0}$	$2.0 \pm 0.6^{+0.0}_{-0.0}$	$2.3 \pm 0.7^{+0.0}_{-0.0}$

Table B.5 – Résultats de l'ajustement de la masse invariante dans chaque bin $m_{K\pi}$ pour $0.6 \le \cos\theta_{\mu} < 1.0$.

	$826 \le m_{K\pi} \le 861$	$861 < m_{K\pi} \le 896$	$896 < m_{K\pi} \le 931$	$931 < m_{K\pi} \le 966$
	MeV/c^2	MeV/c^2	MeV/c^2	MeV/c^2
$k_{\rm bkg}$	$-0.0057 \pm 0.0014^{+0.0005}_{-0.0006}$	$-0.0014 \pm 0.0015^{+0.0004}_{-0.0003}$	$-0.0017 \pm 0.0013^{+0.0002}_{-0.0003}$	$-0.0042 \pm 0.0012^{+0.0005}_{-0.0005}$
μ_{B^0}	$5280.90 \pm 0.14^{+0.00}_{-0.00}$	$5\ 280.85 \pm 0.07^{+0.01}_{-0.01}$	$5281.48 \pm 0.08^{+0.12}_{-0.11}$	$5\ 281.41 \pm 0.14^{+0.01}_{-0.01}$
$\mu_{B^0_{\mathfrak{s}}}$	$5\ 371.26 \pm 1.99^{+0.11}_{-0.20}$	$5368.80\pm0.97^{+0.04}_{-0.08}$	$5368.36 \pm 0.93^{+0.20}_{-0.20}$	$5\ 368.01 \pm 1.72^{+0.49}_{-0.26}$
$\sigma_{\!B^0}$	$10.05 \pm 0.16^{+0.18}_{-0.14}$	$10.23 \pm 0.08^{+0.06}_{-0.06}$	$9.80 \pm 0.08^{+0.08}_{-0.09}$	$10.28 \pm 0.15^{+0.15}_{-0.12}$
$\sigma_{\!B^0_{\scriptscriptstyle S}}$	$10.56 \pm 2.78^{+0.54}_{-0.52}$	$10.06 \pm 1.06^{+0.40}_{-0.38}$	$10.67 \pm 1.07^{+0.97}_{-0.97}$	$10.02 \pm 2.36^{+1.18}_{-1.04}$
N_{B^0}	$4046.6 \pm 65.3^{+6.5}_{-6.0}$	$15804.8 \pm 126.5^{+12.7}_{-11.1}$	$14422.5 \pm 120.9^{+30.3}_{-29.7}$	$4693.7 \pm 69.8^{+14.1}_{-14.1}$
$N_{B_s^0}$	$32.8 \pm 7.5^{+1.0}_{-0.9}$	$129.9 \pm 13.1^{+4.3}_{-3.5}$	$145.9 \pm 13.9^{+24.4}_{-14.0}$	$49.6 \pm 9.5^{+6.0}_{-5.2}$
N_{Bkg}	$71.7 \pm 17.9^{+8.9}_{-9.8}$	$63.1 \pm 17.2^{+9.8}_{-12.4}$	$62.0 \pm 15.5^{+13.2}_{-13.6}$	$80.2 \pm 16.5^{+7.8}_{-7.7}$
$N_{\Lambda p\pi}$	$1.8 \pm 0.6^{+0.0}_{-0.0}$	$2.0 \pm 0.6^{+0.0}_{-0.0}$	$2.0 \pm 0.6^{+0.1}_{-1.9}$	$2.3 \pm 0.7^{+0.0}_{-0.0}$

Annexe C

Taux de désintégration complet

Le taux de désintégration complet est donné dans cette section, incluant les facteurs de correction C_{SP} , C_{SD} et C_{PD} . Le terme $c\theta_K$ désigne $\cos\theta_K$ et $c\theta_\ell$ désigne $\cos\theta_U$.

$$\begin{split} \int_{K\pi \mathrm{bin}} \frac{d\Gamma(\Omega, m_{K\pi})}{d\Omega} dm_{K\pi} & \approx \frac{3}{4} \frac{|A_0|^2 c \theta_K^2 \left(-c \theta_\ell^2 + 1\right)}{\pi} \\ & + \frac{\sqrt{15} C_{PD} |A_0| |A_{2\parallel}| c \theta_K \left(6 c \theta_K^2 - 2\right) \left(-c \theta_\ell^2 + 1\right) \cos \left(\delta_{20}\right)}{8\pi} \\ & + \frac{3}{4} \frac{\sqrt{10} C_{PD} |A_0| |A_{2\parallel}| c \theta_K^2 c \theta_\ell \sqrt{-c \theta_K^2 + 1} \sqrt{-c \theta_\ell^2 + 1} \cos \left(\delta_{2\parallel}\right) \cos \left(\phi\right)}{\pi} \\ & - \frac{3}{4} \frac{\sqrt{10} C_{PD} |A_0| |A_{2\perp}| c \theta_K^2 c \theta_\ell \sqrt{-c \theta_K^2 + 1} \sqrt{-c \theta_\ell^2 + 1} \sin \left(\delta_{2\perp}\right) \sin \left(\phi\right)}{\pi} \\ & + \frac{\sqrt{3} C_{SP} |A_0| |A_S| c \theta_K \left(-c \theta_\ell^2 + 1\right) \cos \left(\delta_S\right)}{2\pi} \\ & + \frac{3}{4} \frac{\sqrt{2} |A_0| |A_{\parallel}| c \theta_K c \theta_\ell \sqrt{-c \theta_K^2 + 1} \sqrt{-c \theta_\ell^2 + 1} \sin \left(\delta_{\perp}\right) \sin \left(\phi\right)}{\pi} \\ & - \frac{3}{4} \frac{\sqrt{2} |A_0| |A_{\perp}| c \theta_K c \theta_\ell \sqrt{-c \theta_K^2 + 1} \sqrt{-c \theta_\ell^2 + 1} \sin \left(\delta_{\perp}\right) \sin \left(\phi\right)}{\pi} \\ & + \frac{5}{64} \frac{|A_{2\parallel}|^2 \left(-c \theta_\ell^2 + 1\right) \left(-36 c \theta_K^2 \left(-c \theta_K^2 + 1\right) + 12 c \theta_K^2 + 4\right)}{\pi} \\ & + \frac{5}{64} \frac{\sqrt{6} |A_{2\parallel}| |A_{2\parallel}| c \theta_K c \theta_\ell \sqrt{-c \theta_K^2 + 1} \left(6 c \theta_K^2 - 2\right) \sqrt{-c \theta_\ell^2 + 1} \left(\sin \left(\delta_{20}\right) \sin \left(\delta_{2\parallel}\right) + \cos \left(\delta_{20}\right) \cos \left(\delta_{2\parallel}\right)\right) \cos \left(\phi\right)}{\pi} \\ & - \frac{5}{16} \frac{\sqrt{6} |A_{2\parallel}| |A_{2\perp}| c \theta_K c \theta_\ell \sqrt{-c \theta_K^2 + 1} \left(6 c \theta_K^2 - 2\right) \sqrt{-c \theta_\ell^2 + 1} \left(-\sin \left(\delta_{20}\right) \cos \left(\delta_{2\perp}\right) + \sin \left(\delta_{2\perp}\right) \cos \left(\delta_{20}\right)\right) \sin \left(\phi\right)}{\pi} \end{split}$$

$$+\frac{\sqrt{5C_{SD}}|A_{2\parallel}||A_{3}|(6c\theta_{R}^{2}-2)\left(-c\theta_{\ell}^{2}+1\right)\left(\sin(\delta_{20})\sin(\delta_{3})+\cos(\delta_{20})\cos(\delta_{5})\right)}{8\pi}\\+\frac{\sqrt{30}C_{PD}|A_{2\parallel}||A_{\parallel}|c\theta_{\ell}\sqrt{-c\theta_{\ell}^{2}+1}\left(6c\theta_{R}^{2}-2\right)\sqrt{-c\theta_{\ell}^{2}+1}\left(\sin(\delta_{20})\sin(\delta_{\parallel})+\cos(\delta_{20})\cos(\delta_{\parallel})\right)\cos(\phi)}{16\pi}\\+\frac{16\pi}{\sqrt{30}C_{PD}|A_{2\parallel}||A_{\perp}|c\theta_{\ell}}\left(-6c\theta_{R}^{2}+2\right)\sqrt{-c\theta_{\ell}^{2}+1}\sqrt{-c\theta_{\ell}^{2}+1}\left(\sin(\delta_{20})\cos(\delta_{\perp})-\sin(\delta_{\perp})\cos(\delta_{20})\sin(\phi)}\\+\frac{15|A_{2\parallel}|^{2}c\theta_{R}^{2}\left(-c\theta_{R}^{2}+1\right)\left(2c\theta_{\ell}^{2}\cos^{2}(\phi)+2\sin^{2}(\phi)\right)}{\pi}\\+\frac{15|A_{2\parallel}||A_{2\perp}|c\theta_{R}^{2}\left(-c\theta_{\ell}^{2}+1\right)\left(-c\theta_{\ell}^{2}+1\right)\left(\sin(\delta_{2\parallel})\cos(\delta_{2\perp})+\sin(\delta_{2\perp})\cos(\delta_{2\parallel})\right)\sin(\phi)\cos(\phi)}{4\pi}\\+\frac{15|A_{2\parallel}||A_{2\perp}|c\theta_{R}^{2}\left(-c\theta_{\ell}^{2}+1\right)\left(-c\theta_{\ell}^{2}+1\right)\left(\sin(\delta_{2\parallel})\cos(\delta_{\perp})+\sin(\delta_{2\perp})\cos(\delta_{2\parallel})\right)\sin(\phi)\cos(\phi)}{4\pi}\\+\frac{3\sqrt{30}C_{SD}|A_{2\parallel}||A_{\parallel}|c\theta_{R}\left(-c\theta_{R}^{2}+1\right)\left(2c\theta_{\ell}^{2}\cos^{2}(\phi)+2\sin^{2}(\phi)\right)\left(\sin(\delta_{2\parallel})\sin(\delta_{\parallel})+\cos(\delta_{2\parallel})\cos(\delta_{\parallel})\right)}{\pi}\\+\frac{3\sqrt{5}C_{PD}|A_{2\parallel}||A_{\parallel}|c\theta_{R}\left(-c\theta_{R}^{2}+1\right)\left(-c\theta_{\ell}^{2}+1\right)\sin(\delta_{2\parallel})\cos(\delta_{\perp})-\sin(\delta_{\perp})\cos(\delta_{2\parallel})\sin(\phi)\cos(\phi)}{\pi}\\+\frac{15|A_{2\perp}|^{2}c\theta_{R}^{2}\left(-c\theta_{R}^{2}+1\right)\left(-c\theta_{\ell}^{2}+1\right)\sin(\delta_{2\parallel})\cos(\delta_{\perp})-\sin(\delta_{\perp})\cos(\delta_{2\parallel})\sin(\phi)\cos(\phi)}{\pi}\\+\frac{15|A_{2\perp}|^{2}c\theta_{R}^{2}\left(-c\theta_{R}^{2}+1\right)\left(-c\theta_{\ell}^{2}+1\right)\sin(\delta_{2\parallel})\cos(\delta_{\parallel})-\sin(\delta_{\parallel})\cos(\delta_{2\parallel})\sin(\phi)\cos(\phi)}{\pi}\\-\frac{\sqrt{30}C_{SD}|A_{2\perp}||A_{\parallel}|c\theta_{R}\left(-c\theta_{R}^{2}+1\right)\left(-c\theta_{\ell}^{2}+1\right)\sin(\delta_{2\parallel})\cos(\delta_{\parallel})-\sin(\delta_{\parallel})\cos(\delta_{\perp})\sin(\phi)\cos(\phi)}{\pi}\\+\frac{3\sqrt{5}C_{PD}|A_{2\parallel}||A_{\parallel}|c\theta_{R}\left(-c\theta_{R}^{2}+1\right)\left(-c\theta_{\ell}^{2}+1\right)\sin(\delta_{\perp})\cos(\delta_{\parallel})-\sin(\delta_{\parallel})\cos(\delta_{\perp})\right)\sin(\phi)\cos(\phi)}{\pi}\\+\frac{3\sqrt{5}C_{PD}|A_{2\perp}||A_{\parallel}|c\theta_{R}\left(-c\theta_{R}^{2}+1\right)\left(-c\theta_{\ell}^{2}+1\right)\sin(\delta_{\perp})\cos(\delta_{\parallel})-\sin(\delta_{\parallel})\cos(\delta_{\perp})\right)\sin(\phi)\cos(\phi)}{\pi}\\+\frac{4\pi}{4\pi}\\+\frac{|A_{S}|^{2}\left(-c\theta_{\ell}^{2}+1\right)}{4\pi}\\+\frac{|A_{S}|^{2}\left(-c\theta_{\ell}^{2}+1\right)\left(-c\theta_{\ell}^{2}+1\right)\sin(\delta_{\parallel})\cos(\delta_{\perp})+\sin(\delta_{\parallel})\cos(\delta_{\parallel})\right)\sin(\phi)\cos(\phi)}{4\pi}\\+\frac{3|A_{\parallel}|A_{\parallel}|c\theta_{\ell}\sqrt{-c\theta_{R}^{2}+1}\sqrt{-c\theta_{\ell}^{2}+1}\left(-\sin(\delta_{S})\sin(\delta_{\parallel})+\cos(\delta_{S})\cos(\delta_{\parallel})\right)\sin(\phi)\cos(\phi)}}{\pi}\\+\frac{3|A_{\parallel}|A_{\parallel}|c\theta_{\ell}\sqrt{-c\theta_{\ell}^{2}+1}\sqrt{-c\theta_{\ell}^{2}+1}\left(-\sin(\delta_{S})\cos(\delta_{\perp})+\sin(\delta_{\parallel})\cos(\delta_{\parallel})\right)\sin(\phi)\cos(\phi)}{\pi}\\+\frac{3|A_{\parallel}|A_{\parallel}|(-c\theta_{\ell}^{2}+1)\left(-c\theta_{\ell}^{2}+1\right)\left(-c\theta_{\ell}^{2}+1\right)\sin(\delta_{\parallel}\cos(\delta_{\parallel})+\sin(\delta_{\parallel})\cos(\delta_{\parallel})\right)\sin(\phi)\cos(\phi)}{\pi}\\+\frac{3|A_{\parallel}|A_{\parallel}|(-c\theta_{\ell}^{2}+1)\left(-c\theta_{\ell}^{2}+1\right)\left(-c\theta_{\ell}^{2}+1$$

Annexe D

Pseudo-expériences pour le modèle angulaire

D.1 Distributions de pulls

Dans cette section, nous présentons les distributions de pulls correspondant aux paramètres angulaires obtenues à partir des pseudo-expériences décrites dans la section 4.8.3.

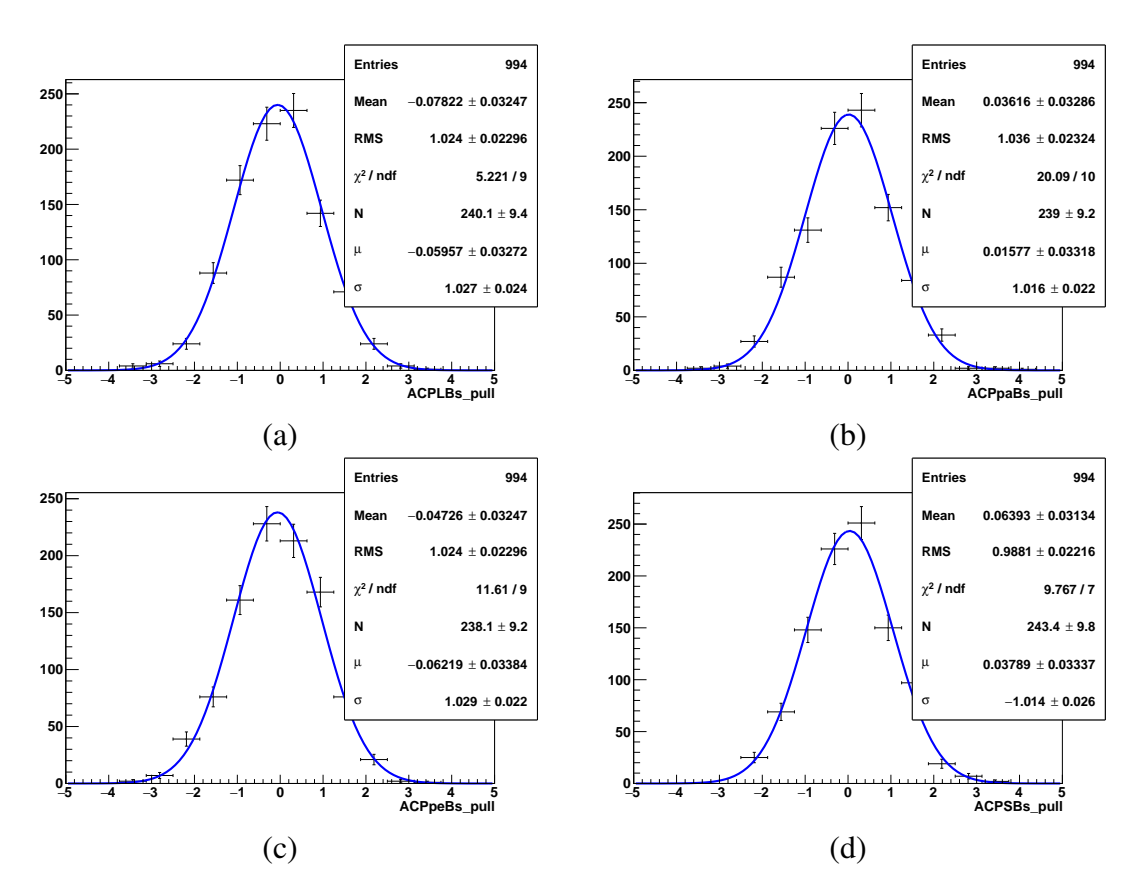


FIGURE D.1 – Distributions des pulls correspondant aux asymétries $CP:A_0^{CP}$ (a), A_{\parallel}^{CP} (b), A_{\perp}^{CP} (c) et A_{S}^{CP} (d).

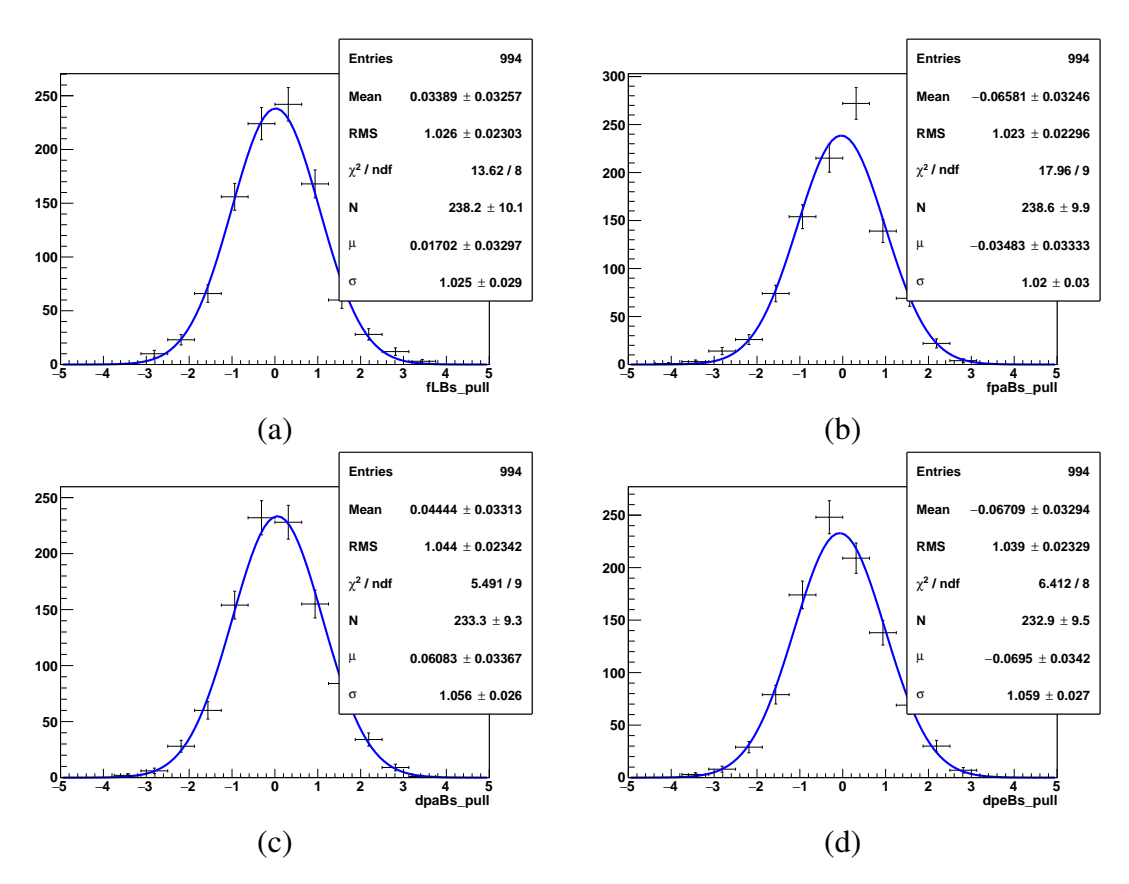


FIGURE D.2 – Distributions des pulls correspondant aux fractions de polarisations longitudinale f_0 (a), parallèle f_\parallel (b) ainsi que les phases fortes parallèle δ_\parallel (c) et perpendiculaire δ_\perp (d).

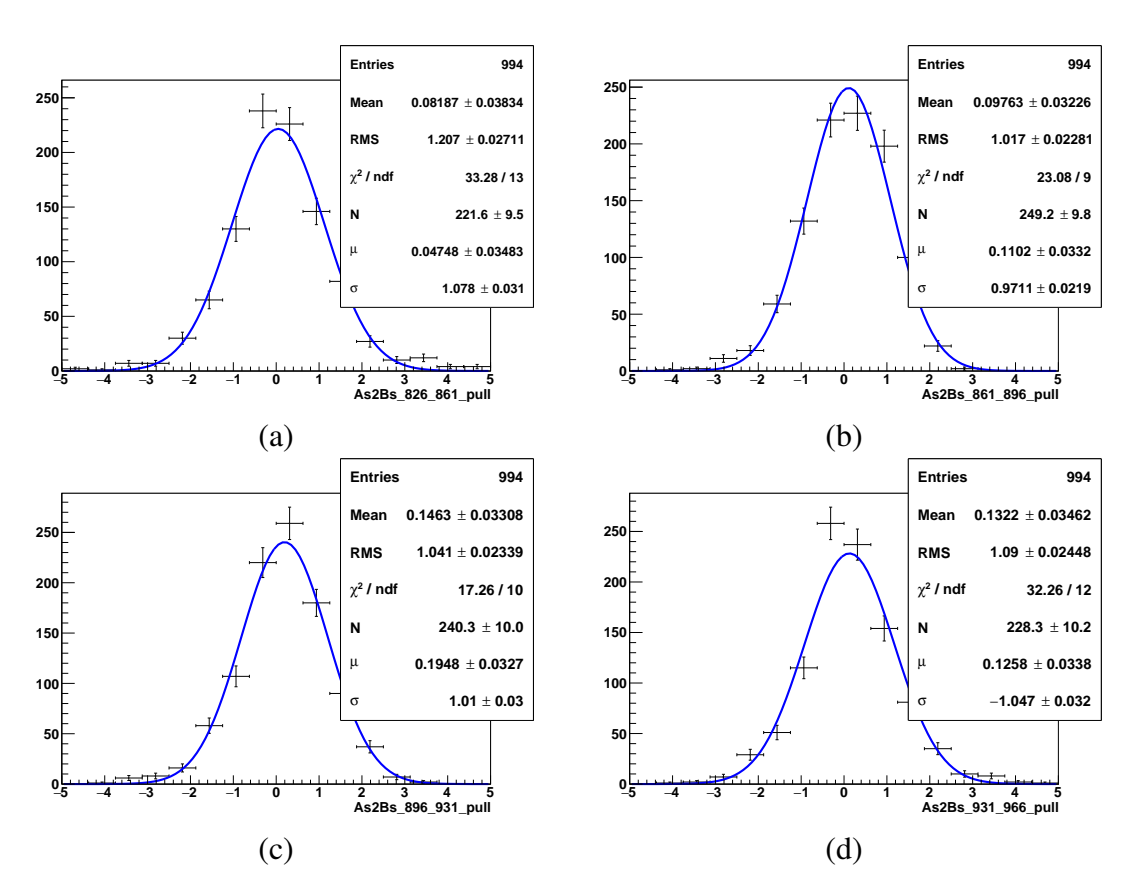


FIGURE D.3 – Distributions des pulls correspondant aux fractions de l'onde S dans les bins $m_{K\pi}$: F_S _826_861 (a), F_S _861_896 (b), F_S _896_931 (c) et F_S _931_966 (d).

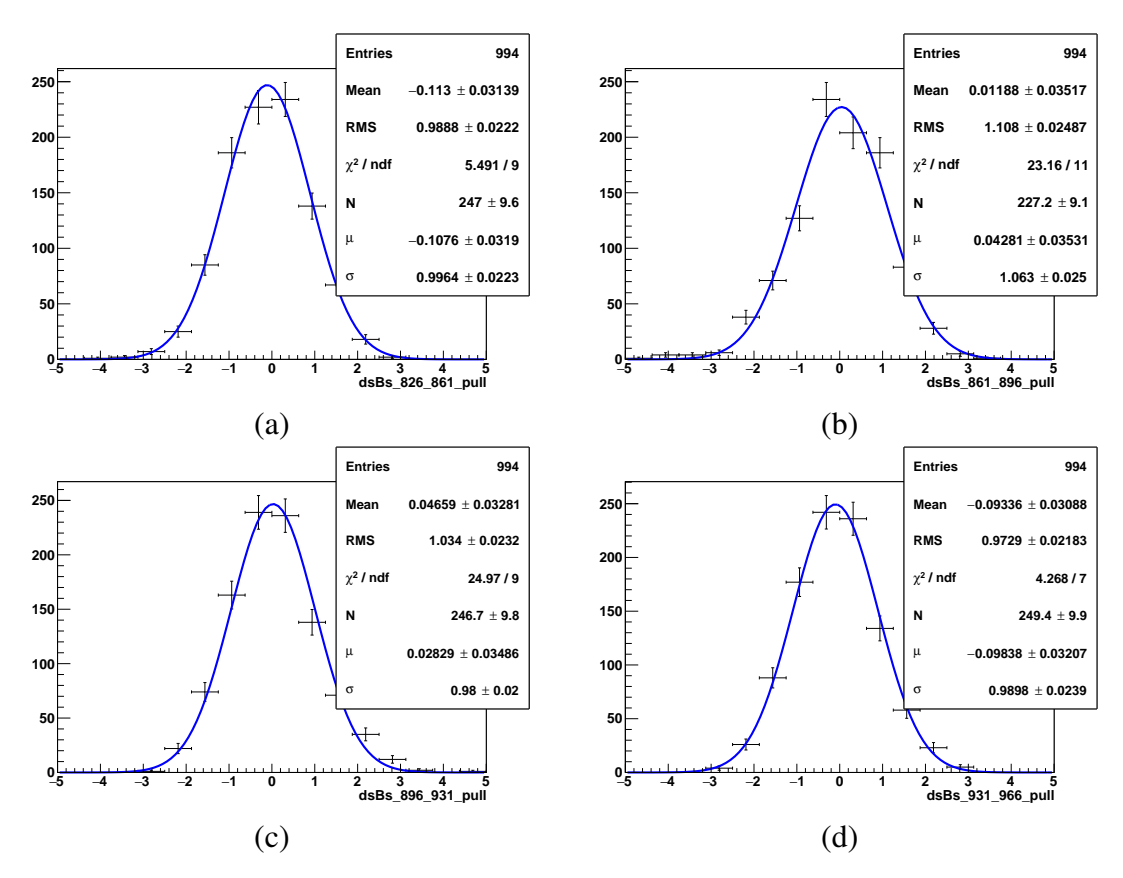


FIGURE D.4 – Distributions des pulls correspondant aux phases fortes dans les bins $m_{K\pi}$: δ_S _826_861 (a), δ_S _861_896 (b), δ_S _896_931 (c) et δ_S _931_966 (d).

D.2 Corrélations entre les paramètres angulaires

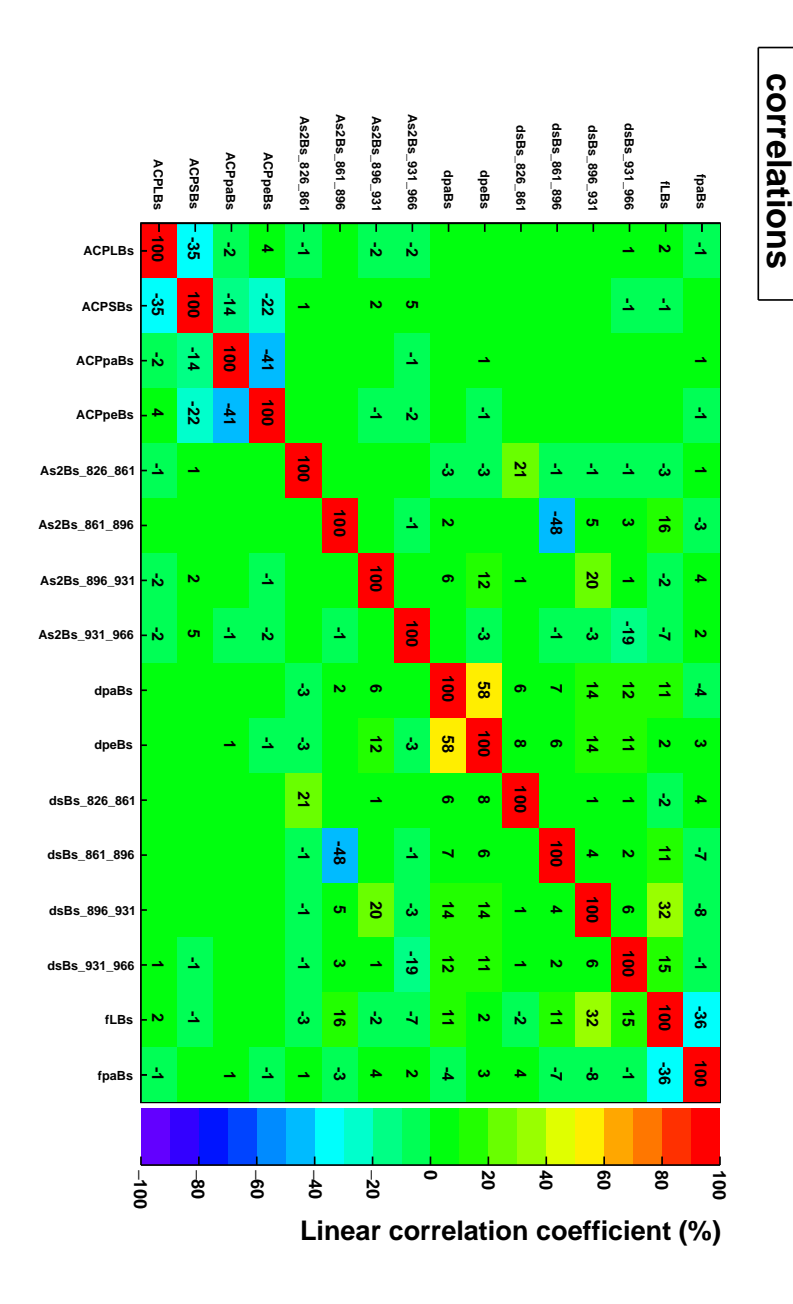


FIGURE D.5 – Corrélations linéaires entre les paramètres libres dans l'ajustement angulaire pour les candidats $B^0_s \to J/\psi \bar K^{*0}$, obtenues à partir d'un ensemble de 1000 pseudo-expériences.

D.3 Pseudo-expériences avec des valeurs non nulles de A^{CP}

Dans cette section, nous présentons les résultats complets des études de pseudo-expériences effectuées avec des valeurs non nulles de A^{CP} . Les tables D.1—D.10 donnent les résultats pour chacune des dix séries de valeurs aléatoires de A^{CP} , données dans la table 4.14. Dans chacun des tableaux suivants, nous donnons pour chaque paramètre libre dans l'ajustement, sa valeur vraie, a_i^t , sa valeur ajustée et son incertitude renvoyées par HESSE, $a_i^f \pm \sigma_i^f$, ainsi que la différence entre la valeur ajustée et la valeur vraie divisée par l'incertitude, $(a_i^f - a_i^t)/\sigma_i^f$.

TABLE D.1 – Résultats complets correspondant à l'ensemble 0 de valeurs non nulles de A^{CP} .

$a_i (B_s^0)$	a_i^t	$a_i^f \pm \sigma_i^f$	$\left(a_i^f - a_i^t\right) / \sigma_i^f$
A_0^{CP}	-0.0768	-0.0745 ± 0.0017	1.369
A_S^{CP}	0.5178	0.5184 ± 0.0043	0.139
A_{\parallel}^{CP}	-0.3779	-0.3777 ± 0.0036	0.056
A_{\perp}^{CP}	-0.5689	-0.5698 ± 0.0021	-0.438
f_0	0.5100	0.5101 ± 0.0007	0.121
f_{\parallel}	0.1720	0.1725 ± 0.0007	0.755
δ_{\parallel}	-2.6190	-2.6164 ± 0.0040	0.666
$\delta_{\perp}^{''}$	0.0530	0.0542 ± 0.0029	0.391
F _S _826_861	0.4680	0.4699 ± 0.0023	0.820
<i>F</i> _S _861_896	0.0680	0.0676 ± 0.0007	-0.592
<i>F</i> _S _896_931	0.0730	0.0728 ± 0.0009	-0.194
<i>F</i> _S _931_966	0.5910	0.5902 ± 0.0025	-0.326
δ_{S} _826_861	0.8360	0.8400 ± 0.0033	1.189
δ_{S} _861_896	-0.6030	-0.6047 ± 0.0068	-0.246
δ_{S} _896_931	-1.7480	-1.7452 ± 0.0043	0.654
δ_{S} _931_966	-1.8190	-1.8152 ± 0.0034	1.109

Table D.2 – Résultats complets correspondant à l'ensemble 1 de valeurs non nulles de A^{CP} .

$a_i(B_s^0)$	a_i^t	$a_i^f \pm oldsymbol{\sigma}_i^f$	$\left(a_i^f - a_i^t\right)/\sigma_i^f$
A_0^{CP}	0.0596	0.0592 ± 0.0015	-0.277
$A_S^{CP} \ A_{arphi}^{CP}$	-0.0183	-0.0190 ± 0.0029	-0.236
	0.5373	0.5354 ± 0.0038	-0.498
A_{\perp}^{CP}	-0.0776	-0.0807 ± 0.0025	-1.217
f_0	0.5100	0.5095 ± 0.0007	-0.815
f_{\parallel}	0.1720	0.1726 ± 0.0007	0.913
$oldsymbol{\delta}_{ }^{''}$	-2.6190	-2.6163 ± 0.0040	0.672
$\delta_{\perp}^{^{''}}$	0.0530	0.0565 ± 0.0029	1.237
F _S _826_861	0.4680	0.4694 ± 0.0030	0.477
F _S _861_896	0.0680	0.0676 ± 0.0007	-0.587
<i>F</i> _S _896_931	0.0730	0.0721 ± 0.0010	-0.897
<i>Fs</i> _931_966	0.5910	0.5967 ± 0.0028	2.045
δ_{S} _826_861	0.8360	0.8390 ± 0.0034	0.869
δ_{S} _861_896	-0.6030	-0.6018 ± 0.0068	0.175
δ_{S} _896_931	-1.7480	-1.7495 ± 0.0044	-0.334
δ _S _931_966	-1.8190	-1.8245 ± 0.0035	-1.552

Table D.3 – Résultats complets correspondant à l'ensemble 2 de valeurs non nulles de A^{CP} .

$a_i (B_s^0)$	a_i^t	$a_i^f \pm \sigma_i^f$	$\left(a_i^J - a_i^t\right) / \sigma_i^J$
A_0^{CP}	-0.0956	-0.0974 ± 0.0015	-1.160
$A_S^{ ilde{CP}} \ A_{arphi}^{ ilde{CP}}$	-0.4147	-0.4151 ± 0.0030	-0.144
II .	-0.2154	-0.2086 ± 0.0041	1.682
A_{\perp}^{CP}	-0.2036	-0.2044 ± 0.0025	-0.340
f_0	0.5100	0.5102 ± 0.0007	0.251
$f_{ }$	0.1720	0.1705 ± 0.0007	-2.186
$\delta_{\parallel}^{''}$	-2.6190	-2.6222 ± 0.0040	-0.792
$oldsymbol{\delta}_{\perp}$	0.0530	0.0520 ± 0.0029	-0.364
F _S _826_861	0.4680	0.4706 ± 0.0029	0.881
F _S _861_896	0.0680	0.0678 ± 0.0007	-0.292
<i>F</i> _S _896_931	0.0730	0.0714 ± 0.0010	-1.602
<i>F</i> _S _931_966	0.5910	0.5901 ± 0.0028	-0.336
δ_{S} _826_861	0.8360	0.8373 ± 0.0035	0.389
δ_{S} _861_896	-0.6030	-0.5977 ± 0.0069	0.765
δ_{S} _896_931	-1.7480	-1.7452 ± 0.0044	0.628
δ_{S} _931_966	-1.8190	-1.8196 ± 0.0035	-0.176

TABLE D.4 – Résultats complets correspondant à l'ensemble 3 de valeurs non nulles de A^{CP} .

$a_i (B_s^0)$	a_i^t	$a_i^f \pm \sigma_i^f$	$(a_i^f - a_i^t) / \sigma_i^f$
(),	·	ı ı	
A_0^{CP}	-0.3544	-0.3533 ± 0.0015	0.729
$A_S^{CP} \ A_{arphi}^{CP}$	-0.4561	-0.4547 ± 0.0031	0.463
II .	0.2386	0.2341 ± 0.0040	-1.135
A_{\perp}^{CP}	0.1431	0.1419 ± 0.0025	-0.460
$\overline{f_0}$	0.5100	0.5108 ± 0.0007	1.206
f_{\parallel}	0.1720	0.1711 ± 0.0007	-1.260
$\delta_{ }^{\cdot \cdot}$	-2.6190	-2.6184 ± 0.0040	0.146
$oldsymbol{\delta}_{\perp}^{^{''}}$	0.0530	0.0515 ± 0.0029	-0.505
F _S _826_861	0.4680	0.4754 ± 0.0027	2.745
F _S _861_896	0.0680	0.0672 ± 0.0007	-1.162
<i>F</i> _S _896_931	0.0730	0.0733 ± 0.0010	0.289
<i>F</i> _S _931_966	0.5910	0.5918 ± 0.0027	0.292
δ_{S} _826_861	0.8360	0.8375 ± 0.0034	0.439
δ_{S} _861_896	-0.6030	-0.6013 ± 0.0069	0.241
δ_{S} _896_931	-1.7480	-1.7468 ± 0.0043	0.275
δ_{S} _931_966	-1.8190	-1.8174 ± 0.0035	0.473

TABLE D.5 – Résultats complets correspondant à l'ensemble 4 de valeurs non nulles de A^{CP} .

$a_i (B_s^0)$	a_i^t	$a_i^f \pm \sigma_i^f$	$\left(a_i^f - a_i^t\right)/\sigma_i^f$
A^{CP}	-0.2404	-0.2432 ± 0.0015	-1.863
$A_0^{CP} \ A_S^{CP} \ A_{\square}^{CP}$	0.1593	0.1604 ± 0.0033	0.337
III	-0.0178	-0.0154 ± 0.0041	0.591
A_{\perp}^{CP}	-0.2798	-0.2768 ± 0.0024	1.245
f_0	0.5100	0.5101 ± 0.0007	0.202
$f_{ }$	0.1720	0.1723 ± 0.0007	0.491
$\delta_{\parallel}^{''}$	-2.6190	-2.6175 ± 0.0040	0.384
$oldsymbol{\delta}_{\perp}^{''}$	0.0530	0.0527 ± 0.0029	-0.120
F _S _826_861	0.4680	0.4673 ± 0.0028	-0.240
F_S _861_896	0.0680	0.0689 ± 0.0007	1.184
F_S _896_931	0.0730	0.0723 ± 0.0010	-0.676
F _S _931_966	0.5910	0.5899 ± 0.0027	-0.411
δ_{S} _826_861	0.8360	0.8356 ± 0.0035	-0.110
δ_{S} _861_896	-0.6030	-0.6098 ± 0.0067	-1.011
δ_{S} _896_931	-1.7480	-1.7496 ± 0.0044	-0.363
δ_{S} _931_966	-1.8190	-1.8170 ± 0.0035	0.566

Table D.6 – Résultats complets correspondant à l'ensemble 5 de valeurs non nulles de A^{CP} .

$a_i (B_s^0)$	a_i^t	$a_i^f \pm \sigma_i^f$	$\left(a_i^f - a_i^t\right) / \sigma_i^f$
	ľ	· ·	
A_0^{CP}	0.1454	0.1450 ± 0.0015	-0.258
$A_{S}^{CP} \ A_{\square}^{CP}$	0.2196	0.2200 ± 0.0028	0.153
III	0.3819	0.3776 ± 0.0039	-1.088
A_{\perp}^{CP}	0.0350	0.0375 ± 0.0025	0.991
$\overline{f_0}$	0.5100	0.5094 ± 0.0007	-0.829
f_{\parallel}	0.1720	0.1727 ± 0.0007	0.989
$oldsymbol{\delta}_{ }^{''}$	-2.6190	-2.6210 ± 0.0040	-0.505
$oldsymbol{\delta}_{\perp}^{''}$	0.0530	0.0509 ± 0.0029	-0.737
F _S _826_861	0.4680	0.4697 ± 0.0030	0.576
F _S _861_896	0.0680	0.0671 ± 0.0007	-1.222
<i>Fs</i> _896_931	0.0730	0.0722 ± 0.0010	-0.814
F _S _931_966	0.5910	0.5937 ± 0.0028	0.947
δ_{S} _826_861	0.8360	0.8355 ± 0.0035	-0.155
δ_{S} _861_896	-0.6030	-0.5977 ± 0.0069	0.759
δ_{S} _896_931	-1.7480	-1.7527 ± 0.0044	-1.052
δ_{S} _931_966	-1.8190	-1.8149 ± 0.0035	1.162

Table D.7 – Résultats complets correspondant à l'ensemble 6 de valeurs non nulles de A^{CP} .

(50)		$f \cdot f$	f f
$a_i (B_s^0)$	a_i^t	$a_i^f \pm oldsymbol{\sigma}_i^f$	$\left(a_i^f - a_i^t\right) / \sigma_i^f$
A_0^{CP}	-0.4385	-0.4385 ± 0.0015	-0.017
$A_S^{\check{C}P} \ A_{:::}^{CP}$	0.1042	0.1059 ± 0.0032	0.544
II .	-0.0017	-0.0028 ± 0.0041	-0.259
A_{\perp}^{CP}	0.0163	0.0158 ± 0.0025	-0.182
$\overline{f_0}$	0.5100	0.5097 ± 0.0007	-0.502
$f_{ }$	0.1720	0.1721 ± 0.0007	0.111
$\delta_{ }^{''}$	-2.6190	-2.6174 ± 0.0040	0.396
$oldsymbol{\delta}_{\perp}^{''}$	0.0530	0.0538 ± 0.0029	0.265
F _S _826_861	0.4680	0.4646 ± 0.0028	-1.212
F _S _861_896	0.0680	0.0695 ± 0.0008	1.977
<i>Fs</i> _896_931	0.0730	0.0723 ± 0.0010	-0.651
<i>F</i> _S _931_966	0.5910	0.5895 ± 0.0027	-0.535
δ_{S} _826_861	0.8360	0.8318 ± 0.0035	-1.192
δ_{S} _861_896	-0.6030	-0.6230 ± 0.0067	-2.984
δ_{S} _896_931	-1.7480	-1.7440 ± 0.0044	0.917
δ_{S} _931_966	-1.8190	-1.8158 ± 0.0036	0.887

TABLE D.8 – Résultats complets correspondant à l'ensemble 7 de valeurs non nulles de A^{CP} .

$a_i (B_s^0)$	a_i^t	$a_i^f \pm oldsymbol{\sigma}_i^f$	$\left(a_i^f - a_i^t\right) / \sigma_i^f$
A_0^{CP}	-0.3787	-0.3788 ± 0.0016	-0.036
$A_{S}^{CP} \ A_{\square}^{CP}$	-0.2898	-0.2855 ± 0.0030	1.443
	0.2637	0.2671 ± 0.0039	0.874
A_{\perp}^{CP}	0.3424	0.3437 ± 0.0024	0.534
f_0	0.5100	0.5107 ± 0.0007	1.120
f_{\parallel}	0.1720	0.1716 ± 0.0007	-0.581
$oldsymbol{\delta}_{ }^{''}$	-2.6190	-2.6214 ± 0.0041	-0.578
$\delta_{\perp}^{\cdot\cdot}$	0.0530	0.0496 ± 0.0030	-1.136
F _S _826_861	0.4680	0.4708 ± 0.0027	1.022
F _S _861_896	0.0680	0.0672 ± 0.0007	-1.029
<i>Fs</i> _896_931	0.0730	0.0742 ± 0.0010	1.147
<i>F</i> _S _931_966	0.5910	0.5969 ± 0.0027	2.212
δ_{S} _826_861	0.8360	0.8375 ± 0.0034	0.445
δ_{S} _861_896	-0.6030	-0.5938 ± 0.0070	1.314
δ_{S} _896_931	-1.7480	-1.7450 ± 0.0043	0.706
δ_{S} _931_966	-1.8190	-1.8232 ± 0.0035	-1.184

TABLE D.9 – Résultats complets correspondant à l'ensemble 8 de valeurs non nulles de A^{CP} .

$a_i (B_s^0)$	a_i^t	$a_i^f \pm \sigma_i^f$	$\left(a_i^f - a_i^t\right) / \sigma_i^f$
A_0^{CP}	0.4248	0.4244 ± 0.0015	-0.243
A_S^{CP}	-0.1112	-0.1127 ± 0.0032	-0.472
$A_{\parallel}^{\widetilde{CP}}$	0.0554	0.0511 ± 0.0041	-1.051
A_{\perp}^{CP}	-0.0069	-0.0065 ± 0.0025	0.163
f_0	0.5100	0.5108 ± 0.0007	1.165
$f_{ }$	0.1720	0.1715 ± 0.0007	-0.681
$oldsymbol{\delta}_{ }^{ }$	-2.6190	-2.6198 ± 0.0040	-0.188
$oldsymbol{\delta}_{\perp}^{\cdot\cdot}$	0.0530	0.0509 ± 0.0029	-0.728
F _S _826_861	0.4680	0.4650 ± 0.0028	-1.088
F _S _861_896	0.0680	0.0693 ± 0.0008	1.707
<i>F</i> _S _896_931	0.0730	0.0743 ± 0.0010	1.231
<i>F</i> _S _931_966	0.5910	0.5866 ± 0.0027	-1.643
δ_{S} _826_861	0.8360	0.8309 ± 0.0035	-1.467
δ_{S} _861_896	-0.6030	-0.6075 ± 0.0069	-0.652
δ_{S} _896_931	-1.7480	-1.7451 ± 0.0043	0.659
δ_{S} _931_966	-1.8190	-1.8177 ± 0.0036	0.373

Table D.10 – Résultats complets correspondant à l'ensemble 9 de valeurs non nulles de A^{CP} .

$a_i (B_s^0)$	a_i^t	$a_i^f \pm \pmb{\sigma}_i^f$	$(a_i^f - a_i^t)/\sigma_i^f$
A_0^{CP}	0.4159	0.4127 ± 0.0016	-1.989
$A_S^{CP} \ A_{\parallel}^{CP}$	0.5636	0.5671 ± 0.0036	0.980
III	-0.3876	-0.3818 ± 0.0037	1.570
A_{\perp}^{CP}	-0.5044	-0.4998 ± 0.0023	2.040
f_0	0.5100	0.5100 ± 0.0007	0.040
$f_{ }$	0.1720	0.1719 ± 0.0007	-0.191
$\delta_{ }^{\cdot \cdot}$	-2.6190	-2.6212 ± 0.0041	-0.532
$oldsymbol{\delta}_{\perp}^{''}$	0.0530	0.0481 ± 0.0031	-1.597
F _S _826_861	0.4680	0.4634 ± 0.0024	-1.954
F _S _861_896	0.0680	0.0663 ± 0.0007	-2.381
<i>Fs</i> _896_931	0.0730	0.0735 ± 0.0010	0.469
<i>F</i> _S _931_966	0.5910	0.5909 ± 0.0025	-0.047
δ_{S} _826_861	0.8360	0.8346 ± 0.0033	-0.410
δ_{S} _861_896	-0.6030	-0.5874 ± 0.0070	2.234
δ_{S} _896_931	-1.7480	-1.7500 ± 0.0043	-0.468
δ_{S} _931_966	-1.8190	-1.8246 ± 0.0034	-1.618

Bibliographie

- J. Charles, O. Deschamps, S. Descotes-Genon, R. Itoh, H. Lacker, et al. Predictions of selected flavour observables within the Standard Model, updated results and plots available at: http://ckmfitter.in2p3.fr. *Phys.Rev.*, D84:033005, 2011.
- Ulrich Nierste. Bounds on new physics from B_s mixing. *Int.J.Mod.Phys.*, A22:5986–5996, 2007.
- ²⁰⁵¹ [3] R. Aaij et al. Precision measurement of *CP* violation in $B_s^0 \to J/\psi K^+ K^-$ decays. *Phys. Rev. Lett.* 114, 041801 (2015), 2014.
- Sven Faller, Robert Fleischer, and Thomas Mannel. Precision Physics with $B_s^0 \to J/\psi \phi$ at the LHC : The Quest for New Physics. *Phys.Rev.*, D79:014005, 2009.
- S.L. Glashow. Partial Symmetries of Weak Interactions. *Nucl.Phys.*, 22:579–588, 1961.
- Abdus Salam and John Clive Ward. Electromagnetic and weak interactions. *Phys.Lett.*, 13:168–171, 1964.
- [7] Steven Weinberg. A Model of Leptons. *Phys.Rev.Lett.*, 19:1264–1266, 1967.
- ²⁰⁶¹ [8] Guido ALTARELLI. The Standard model of particle physics. hep-ph/0510281. CERN-PH-TH-2005-206. 2005.
- Guido Altarelli. The Standard electroweak theory and beyond. hep-ph/0011078. CERN-TH-2000-291.
- [10] Guido Altarelli. A QCD primer. AIP Conf. Proc., 631:70, 2002.
- G.S. Guralnik, C.R. Hagen, and T.W.B. Kibble. Global Conservation Laws and Massless Particles. *Phys.Rev.Lett.*, 13:585–587, 1964.
- R. Aaij et al. Observation of the resonant character of the $Z(4430)^-$ state. Phys. Rev. Lett., 112:222002, 2014.

- [13] R. Aaij et al. Observation of $J/\psi p$ resonances consistent with pentaquark states in $\Lambda_b^0 \to J/\psi K^- p$ decays. hep-ex 1507.03414. LHCB-PAPER-2015-029, CERN-PH-EP-2015-153.
- G. Aad et al. Observation of a new particle in the search for the Standard Model Higgs boson with the ATLAS detector at the LHC. Phys.Lett., B716:1-29, 2012.
- 2076 [15] S. Chatrchyan et al. Observation of a new boson at a mass of 125 GeV 810 with the CMS experiment at the LHC. Phys.Lett., B716:30-61, 2012.
- In Interior 2078 [16] J.H. Christenson, J.W. Cronin, V.L. Fitch, and R. Turlay. Evidence for the 2 π Decay of the k Meson. *Phys.Rev.Lett.*, 13:138–140, 1964.
- Enteropy [17] Bernard Aubert et al. Observation of CP violation in the B^0 meson system.

 Phys. Rev. Lett., 87:091801, 2001.
- [18] K. Abe et al. Observation of large CP violation in the neutral *B* meson system. *Phys.Rev.Lett.*, 87:091802, 2001.
- ²⁰⁹⁴ [19] R. Aaij et al. First observation of CP violation in the decays of B_s^0 mesons. Phys. Rev. Lett., 110:221601, 2013.
- Makoto Kobayashi and Toshihide Maskawa. CP Violation in the Renormalizable Theory of Weak Interaction. *Prog.Theor.Phys.*, 49:652–657, 1973.
- ²⁰⁸⁸ [21] Lincoln Wolfenstein. Parametrization of the Kobayashi-Maskawa Matrix. *Phys.Rev.Lett.*, 51:1945, 1983.
- Y. Amhis et al. Averages of B-Hadron, C-Hadron, and tau-lepton properties as of early 2012. Heavy Flavor Averaging Group. hep-ex 1207.1158. 2012.
- Robert Fleischer. Extracting γ from $B(s/d) \rightarrow J/\psi K_S$ and $B(d/s) \rightarrow D^+(d/s)D^-(d/s)$. Eur.Phys.J., C10:299–306, 1999.
- ²⁰⁹⁴ [24] C.Langenbruch. *Measurement of the B_s mixing phase in the decay B*⁰_s \rightarrow $J/\psi\phi$ *with the LHCb experiment*. PhD thesis, University of Heidelberg, Germany, 2011.
- 2097 [25] B.Khanji. Recherche de la Nouvelle Physique dans le canal $B_s^0 \to J/\psi \phi$ auprès de l'expérience LHCb. PhD thesis, Université Aix-Marseille, 2011.
- ²⁰⁹⁹ [26] Sven Faller, Martin Jung, Robert Fleischer, and Thomas Mannel. The Golden Modes $B_0 \to J/\psi K(S,L)$ in the Era of Precision Flavour Physics. *Phys.Rev.*, D79:014030, 2009.
- 2102 [27] R. Harnik et al. Atmospheric Neutrinos Can Make Beauty Strange. Phys.Rev.D, (69), 2004. arXiv:hep-ph/0212180v3.

- [28] Alexander J. Lenz. A simple relation for B_s mixing. *Phys.Rev.*, D84:031501, 2011.
- [29] Xin Liu, Wei Wang, and Yuehong Xie. Penguin pollution in $B \to J/\psi V$ decays and impact on the extraction of the $B_s \bar{B}_s$ mixing phase. *Phys.Rev.*, D89(9):094010, 2014.
- Yuehong Xie. sFit: a method for background subtraction in maximum like-lihood fit. arXiv 0905.0724v1. *Phys.Rev.*, 2009.
- [31] R. Aaij et al. Measurement of *CP* violation and the B_s^0 meson decay width difference with $B_s^0 \to J/\psi K^+ K^-$ and $B_s^0 \to J/\psi \pi^+ \pi^-$ decays. *Phys. Rev.*, D87:112010, 2013.
- Roel Aaij et al. Measurement of the CP-violating phase β in $B^0 \to J/\psi \pi^+ \pi^-$ decays and limits on penguin effects. *Phys. Lett.*, B742 :38–49, 2015.
- Georges Aad et al. Flavor tagged time-dependent angular analysis of the $B_s \to J/\psi \phi$ decay and extraction of $\Delta \Gamma$ s and the weak phase ϕ_s in ATLAS. Phys. Rev., D90(5):052007, 2014.
- ²¹¹⁹ [34] CMS Collaboration. Measurement of the CP-violating weak phase ϕ_s and the decay width difference $\Delta\Gamma_s$ using the $B_s^0 \to J/\psi\phi$ (1020) decay channel. CMS-PAS-BPH-13-012. 2014.
- Kristof De Bruyn and Robert Fleischer. A Roadmap to Control Penguin Effects in $B_d^0 \to J/\psi K_S^0$ and $B_s^0 \to J/\psi \phi$. *JHEP*, 1503:145, 2015.
- 2124 [36] Robert Fleischer. Extracting CKM phases from angular distributions of B(d,s) decays into admixtures of CP eigenstates. *Phys.Rev.*, D60:073008, 1999. 22 pages, 1 figure (modified presentation, including an extended discussion of $B_d \rightarrow J/\psi \rho^0$; conclusions partly changed) Report-no: CERN-TH/99-92.
- [37] K.A. Olive et al. Review of Particle Physics. Chin. Phys., C38:090001, 2014.
- [38] Lyndon Evans and Philip Bryant. LHC Machine. JINST, 3:S08001, 2008.
- [39] LHCb ollaboration. The LHCb Detector at the LHC. JINST 3 S08005,...
- ²¹³¹ [40] G. Aad et al. The ATLAS Experiment at the CERN Large Hadron Collider. *JINST*, 3:S08003, 2008.
- 2193 [41] S. Chatrchyan et al. The CMS experiment at the CERN LHC. *JINST*, 3:S08004, 2008.
- [42] K. Aamodt et al. The ALICE experiment at the CERN LHC. *JINST*, 3:S08002, 2008.

- Markus Nordberg Peter Jenni, Marzio Nessi and Kenway Smith. ATLAS high-level trigger, data-acquisition and controls: Technical Design Report. Technical Design Report ATLAS. CERN, Geneva, 2003.
- ²¹⁴⁰ [44] R. Aaij et al. Measurement of J/ψ production in pp collisions at $\sqrt{s} = 7$ TeV. *Eur. Phys. J.*, C71:1645, 2011.
- LHCb Collaboration. Vertex locator technical design report. CERN-LHCC-2001-011, 2001.
- Torbjorn Sjostrand, Stephen Mrenna, and Peter Z. Skands. PYTHIA 6.4 Physics and Manual. *JHEP*, 0605:026, 2006.
- Torbjorn Sjostrand, Stephen Mrenna, and Peter Z. Skands. A Brief Introduction to PYTHIA 8.1. *Comput.Phys.Commun.*, 178:852–867, 2008.
- P R Barbosa-Marinho et al. Technical Design 1437 Report. Technical Design Report LHCb. CERN, Geneva, 2001.
- LHCb collaboration. A. Barbosa et al., LHCb inner tracker: Technical Design Report, CERN document server (2002).
- LHCb Collaboration. Outer tracker technical design report. CERN-LHCC-2153 2001-024, 2001.
- LHCb collaboration. The LHCb reconstruction program, http://lhcb-release-area.web.cern.ch/LHCb-release-area/DOC/brunel/.
- M. Adinolfi et al. Performance of the LHCb RICH detector at the LHC. *Eur.Phys.J.*, C73:2431, 2013.
- ²¹⁵⁸ [53] LHCb Collaboration. LHCb Calorimeter technical design report. CERN-LHCC- 2000-036, 2000.
- ²¹⁶⁰ [54] LHCb Collaboration. LHCb Muon sytem technical design report. CERN-LHCC-2001-010, 2001.
- ²¹⁶² [55] M. Perrin-Terrin. *Searches for B meson decays to purely leptonic final states*.
 PhD thesis, Université Aix-Marseille, 2013.
- Emilie Maurice. Search for new physics in $B_s^0 \to J/\psi \phi$ decays. Mater 2 thesis, Centre de physique des particules de Marseille, june 2009.
- Olivier Leroy. Trigger à muons, étiquetage de la saveur et performances physiques de l'exérience LHCb. HDR, Centre de physique des particules de Marseille, 2007.
- ²¹⁶⁹ [58] LHCb Collaboration. LHCb Trigger system technical design report. CERN-LHCC-2003-010, 2003.

- L. Lonnblad. S. Mrenna et P. Skands. T. Sjostrand. Pythia 6.3 physics and manual. 2003.
- ²¹⁷³ [60] D. Lange. The EvtGen particle decay simulation package. *Nucl. Instrum.*²¹⁷⁴ *Meth. A* 462 (2001) 152.
- M. Clemencic et al. The LHCb simulation application, Gauss: design, evolution and experience. *J. of Phys, Conf. Ser* 331 (2011) 032023.
- S. Agostinelli et al. GEANT4 : A Simulation toolkit. *Nucl.Instrum.Meth.*, A506 :250–303, 2003.
- ²¹⁷⁹ [63] LHCb collaboration. The LHCb analysis program, http://lhcb-release-area.web.cern.ch/LHCb-release-area/DOC/davinci/.
- A. Hoecker et al. Tmva toolkit for multivariate data analysis, tech. rep., cern, mar, 2007. arxiv:physics/0703039.
- LHCb Collaboration. Measurement of CP violation and polarization fractions in $B_s^0 \to J/\psi K^*(892)^0$ with 3 fb^{-1} . LHCb-ANA-2015-013.
- Yuehong Xie. Some physics and technical issues in analysis of the decay $B_s^0 \to J \psi K^+ K^-$. LHCb-INT-2012-017.
- ²¹⁸⁷ [67] R Aaij et al. Amplitude analysis and the branching fraction measurement of $\bar{B}_s^0 \to J/\psi K^+ K^-$. *Phys. Rev.*, D87(7):072004, 2013.
- Roel Aaij et al. Measurement of resonant and CP components in $\bar{B}_s^0 \rightarrow J/\psi \pi^+ \pi^-$ decays. *Phys.Rev.*, D89(9):092006, 2014.
- Roel Aaij et al. Measurement of the resonant and CP components in $\overline{B}^0 \to J/\psi \pi^+ \pi^-$ decays. *Phys.Rev.*, D90(1):012003, 2014.
- Yuanning Gao, Zhenwei Yang, and Xuhao Yuan. Measurement of Λ_b differential production cross section in $\Lambda_b \to J/\psi pK^-$ decay. LHCb-ANA-2014-057.
- [71] R. Aaij et al. Observation of the $\Lambda_b^0 \to J/\psi p \pi^-$ decay. *JHEP*, 07:103, 2014.
- L. Amoroso. Ricerche intorno alla curva dei redditi. *Ann. Mat. Pura. Appl.*, 21:123–159, 1925.
- F. James. Minuit, Function Minimization and Error Analysis. CERN long writeup DPhys. Rev. D 79, 074024 (2009).
- Diego Martinez Santos and Frederic Dupertuis. Mass distributions marginalized over per-event errors. *Nucl.Instrum.Meth.*, A764:150–155, 2014.

- Tomasz Skwarnicki. *A study of the radiative cascade transitions between the Upsilon-prime and Upsilon resonances*. PhD thesis, Institute of Nuclear Physics, Krakow, 1986. DESY-F31-86-02.
- Muriel Pivk and Francois R. Le Diberder. SPlot: A Statistical tool to unfold data distributions. *Nucl.Instrum.Meth.*, A555:356–369, 2005.
- Liming Zhang and Sheldon Stone. Time-dependent Dalitz-plot formalism for $B_{s,d}^0 \to J/\psi h^+ h^-$. *Phys.Lett.*, B719 :383–387, 2013.
- ²²¹⁰ [78] R. Aaij et al. Measurement of the polarization amplitudes in $B^0 \rightarrow J/\psi K^*(892)^0$ decays. *Phys. Rev.*, D88 :052002, 2013.
- ²²¹² [79] LHCb Collaboration. Flavour tagged time-dependent angular analysis of $B_s^0 \to J/\psi K^+ K^-$ decays in the low $K^+ K^-$ mass range.LHCb-ANA-2014-039.
- [80] D. Aston, N. Awaji, T. Bienz, F. Bird, J. D'Amore, W. Dunwoodie, R. Endorf, K. Fujii, H. Hayashi, S. Iwata, W.B. Johnson, R. Kajikawa, P. Kunz, D.W.G.S. Leith, L. Levinson, T. Matsui, B.T. Meadows, A. Miyamoto, M. Nussbaum, H. Ozaki, C.O. Pak, B.N. Ratcliff, D. Schultz, S. Shapiro, T. Shimomura, P.K. Sinervo, A. Sugiyama, S. Suzuki, G. Tarnopolsky, T. Tauchi, N. Toge, K. Ukai, A. Waite, and S. Williams. A study of $k^-\pi^+$ scattering in the reaction $k^-p \rightarrow k^-\pi^+n$ at 11 gev/c. *Nuclear Physics B*, 296(3):493 526, 1988.
- T. du Pree. Search for a strange phase in beautiful oscillations, PhD Thesis. *VU University, Amsterdam, CERN-THESIS-2010-124*, 2010.
- ²²²⁴ [82] Wei-Shu Hou Xiao-Gang He. Direct *CP* violation in angular distribution of $B \rightarrow J/\psi K^*$ decays. *Phys.Rev.*, D58.
- ²²²⁶ [83] R. Aaij et al. First evidence of direct CP violation in charmless two-body decays of B_s^0 mesons. *Phys. Rev. Lett.*, 108:201601, 2012.
- R. Aaij et al. Measurement of the \bar{B}^0 - B^0 and \bar{B}^0_s - B^0_s production asymmetries in pp collisions at $\sqrt{s}=7$ TeV. $Phys.\ Lett.$, B739:218, 2014.
- ²²³⁰ [85] R. Aaij et al. Measurement of the semileptonic CP asymmetry in $B^0 \bar{B}^0$ mixing. 2014. to appear in Phys. Rev. Lett.
- [86] R. Aaij et al. Measurement of *CP* asymmetry in $D^0 \to K^-K^+$ and $D^0 \to \pi^-\pi^+$ decays. *JHEP*, 07:041, 2014.
- Yuehong Xie. sFit: a method for background subtraction in maximum like-lihood fit. arXiv 0905.0724. 2009.
- Till Moritz Karbach and Maximilian Schlupp. Constraints on Yield Parameters in Extended Maximum Likelihood Fits. arXiv 1210.7141. 2012.

- ²²³⁸ [89] R. Aaij et al. Measurement of the $B_s^0 \to J/\psi \bar{K}^{*0}$ branching fraction and angular amplitudes. *Phys. Rev.*, D86:071102(R), 2012.
- ²²⁴⁰ [90] Gudrun Hiller and Roman Zwicky. (A)symmetries of weak decays at and near the kinematic endpoint. *JHEP*, 1403:042, 2014.
- ²²⁴² [91] R. Aaij et al. Observation of the decay $\overline{B}_s^0 \to \psi(2S)K^+\pi^-$. 2015. submitted to Phys. Lett. B.
- ²²⁴⁴ [92] K. Abe et al. Measurements of branching fractions and decay amplitudes in $B \rightarrow J/\psi K^*$ decays. *Phys.Lett.*, B538:11–20, 2002.
- Y. Amhis et al. Averages of *b*-hadron, *c*-hadron, and τ -lepton properties as of early 2012. 2012. updated results and plots available at http://www.slac.stanford.edu/xorg/hfag/.
- ²²⁴⁹ [94] R. Aaij et al. Amplitude analysis and branching fraction measurement of $\bar{B}_s^0 \to J/\psi K^+ K^-$. *Phys. Rev.*, D87:072004, 2013.
- ²²⁵¹ [95] Kristof De Bruyn, Robert Fleischer, Robert Knegjens, Patrick Koppenburg, Marcel Merk, et al. Branching Ratio Measurements of B_s Decays. *Phys.Rev.*, D86:014027, 2012.
- ²²⁵⁴ [96] Amol S. Dighe, Isard Dunietz, and Robert Fleischer. Extracting CKM phases and $B_s \bar{B}_s$ mixing parameters from angular distributions of nonleptonic B decays. *Eur.Phys.J.*, C6:647–662, 1999.
- Aoife Bharucha, David M. Straub, and Roman Zwicky. $B \to V \ell^+ \ell^-$ in the Standard Model from Light-Cone Sum Rules. 2015.
- J. Charles, O. Deschamps, S. Descotes-Genon, H. Lacker, A. Menzel, et al. Current Status of the Standard Model CKM Fit and Constraints on $\Delta F = 2$ New Physics. *Phys.Rev.*, D91(7):073007, 2015. Online update: CKM 2014.
- ²²⁶² [99] K. De Bruyn. Searching for Penguin Footprints, PhD Thesis. *VU University,*²²⁶³ *Amsterdam*, 2015.
- [100] LHCb collaboration. Framework TDR for the LHCb upgrade. CERN-LHCC-2012-007; LHCB-TDR-012.

Résumé: La désintégration $B_s^0 \to J/\psi \phi$ peut se faire suivant deux processus principaux : l'arbre et les pingouins sous-dominants. Négligée jusqu'à maintenant, la contribution des diagrammes pingouins doit être contrôlée afin d'isoler les effets du Modèle Standard de l'éventuelle présence de Nouvelle Physique dans la mesure de la phase ϕ_s . Nous avons étudié le canal $B^0_s o J/\psi \bar K^{*0}$ dans lequel les diagrammes pingouins ne sont pas négligeables par rapport à l'arbre. Avec 3 fb⁻¹ de données enregistrées par LHCb, nous avons mesuré le rapport d'embranchement : $\mathcal{B}(B_s^0 \to J/\psi \overline{K}^{*0}) = (4.17 \pm 0.18 \text{(stat)} \pm 0.26 \text{(syst)} \pm 0.24 (f_d/f_s)) \times 10^{-5}$, où $f_{d(s)}$ est la fraction de production du méson B^0 (B_s^0). Nous avons effectué une analyse angulaire des produits de désintégrations J/ψ et \bar{K}^{*0} afin d'extraire les fractions de polarisations et, pour la première fois, l'asymétrie CP en fonction des différents états de polarisations de l'état final. Les asymétries CP directes mesurées sont nulles, comme prédit par le Modèle Standard. Nous avons mesuré : $f_0 =$ $0.497^{+0.024}_{-0.025}({\rm stat})\pm 0.025({\rm syst})$ et $f_{\parallel}=0.179^{+0.027}_{-0.026}({\rm stat})\pm 0.013({\rm syst})$. Nous avons déterminé les premières contraintes sur les diagrammes pingouins dans la phase ϕ_s en utilisant le canal $B_s^0 \to J/\psi \overline{K}^{*0}$. En combinant avec le canal $B^0 \to J/\psi \rho^0$, la déviation sur la phase ϕ_s due aux processus pingouins, est inférieure à 19 mrad pour les trois polarisations. L'effet des processus pingouins est donc suffisamment petit pour que la mesure de la phase ϕ_s ($\sigma_{\phi_s} = 35$ mrad) demeure une des mesures phares de LHCb dans les années à venir, pour rechercher de la Nouvelle Physique.

Abstract: Within the Standard Model, the decay $B_s^0 \to J/\psi \phi$ can occur via two main processes: the predominant tree and the sub-leading penguin. Penguin contributions have been so far ignored. Controlling them is crucial in order to disentangle Standard Model effects from possible New Physics in the measurement of ϕ_s . We studied the $B_s^0 \to J/\psi \overline{K}^{*0}$ channel where penguin diagrams are not negligible compared to tree. Using 3 fb⁻¹ of data collected by LHCb, we measured the branching ratio: $\mathcal{B}(B_s^0 \to J/\psi \overline{K}^{*0}) = (4.17 \pm 0.18 \text{(stat)} \pm 0.26 \text{(syst)} \pm 0.24 (f_d/f_s)) \times 10^{-5}$, where $f_{d(s)}$ is the production fraction of the B^0 (B_s^0) meson. We performed an angular analysis of the decay products J/ψ and \bar{K}^{*0} to extract the polarisation fractions and the first estimate of the polarization-dependent direct CP asymmetry. Our results show no evidence for direct *CP* violation in $B_s^0 \to J/\psi \bar{K}^{*0}$, as expected in the Standard Model. We measured: $f_0 = 0.497^{+0.024}_{-0.025}(\text{stat}) \pm 0.025(\text{syst})$ and $f_{\parallel}=0.179^{+0.027}_{-0.026}(\mathrm{stat})\pm0.013(\mathrm{syst})$. We determined the first constraints on penguin diagrams in ϕ_s phase using the $B_s^0 \to J/\psi \bar{K}^{*0}$ channel. Combining with the $B^0 \to J/\psi \rho^0$ decays, the shift on ϕ_s , due to penguin processes, is below 19 mrad for the three polarizations. The effect of penguin processes is therefore sufficiently small to keep the ϕ_s measurement ($\sigma_{\phi_s} = 35$ mrad) among the top priorities of LHCb for the upcoming years, to search for New Physics.

2285